

**INSTITUTUL POLITEHNIC "TRAIAN VULIU"
TIMIȘOARA**

**FACULTATEA DE CONSTRUCTII
CATEDRA DE BETON ARMIAT SI CLADIRI**

Ing.Tudor - Simion CLIPPI

**CONTRIBUTII PRIVIND COMPORTAREA IN EXPLOATARE
SI CALCULUL ELEMENTELOR INCOVIOIATE DIN BETON
PRECOMPRESAT PARTIAL, CU SI FARA SUPRAEEXTONARE**

**BIBLIOTECA CENTRALĂ
UNIVERSITATEA "POLITEHNICA"
TIMIȘOARA**

**Conducător științific
Prof.em.ing.Constantin AVRALI
Membru corespondent al Academiei R.S.R.**

- 1 9 8 4 -

**473040
345 D**

C U P R I N S

Pag.

| | |
|--|----|
| 1. Introducere..... | 5 |
| 2. Considerații privind determinarea efortului real de precomprimare..... | 12 |
| 2.1.Pierderi de tensiune. Pierderi de tensiune din scurtarea elastică a betonului | 12 |
| 2.2.Relatii și prevederi privind luarea în considerare a pierderii de tensiune din scurtarea elastică a betonului | 15 |
| 2.3.Determinarea efortului real de precomprimare cu luarea în considerare a scurării elastice a betonului. | 17 |
| 2.4.Calculuri comparative privind consecințele neglijării efortului real de precomprimare asupra siguranței elementelor precomprimate | 24 |
| 2.5.Concluzii privind luarea în considerare a pierderii de tensiune din scurtarea elastică a betonului..... | 31 |
| 3. Calculul eforturilor unitare în secțiunile normale ale elementelor compuse beton precomprimat-beton armat | 35 |
| 3.1.Aspecte generale | 35 |
| 3.2.Influența contractiei și curgerii lente asupra stării de eforturi unitare normale din elementele compuse beton precomprimat - beton armat | 41 |
| 3.3.Relatii și prevederi privind calculul elementelor compuse beton precomprimat - beton armat în stadiul de exploatare | 68 |
| 3.4.Calculul eforturilor unitare în secțiunile normale nefisurate ale elementelor compuse | 73 |
| 3.5.Determinarea momentului încovoietor de fisurare al elementelor compuse beton precomprimat-beton armat.. | 82 |
| 3.6.Determinarea eforturilor unitare în secțiunile normale fisurate ale elementelor compuse | 86 |
| 4. Influența prezentei și distribuției armăturii nepretensionate de rezistență asupra comportării la fisurare a elementelor din beton precomprimat parțial cu armături preîntinsă și bare PC | 95 |

| | |
|--|-----|
| 4.1.Generalități | 95 |
| 4.2.Definiția mărimi precomprimării și factorii care determină alegerea gradului de precomprimare..... | 96 |
| 4.3.Factorii care influențează mărimea deschiderii fisurilor | 102 |
| 4.4.Relatii pentru calculul mărimi deschiderii fisurilor | 106 |
| 5. Studiu experimental privind comportarea în exploatare a elementelor din beton precomprimat parțial cu și fără suprabetonare | 109 |
| 5.1.Programul experimental și efectuarea încercărilor.... | 109 |
| 5.2.Resultatele încercărilor experimentale din etapa I.... | 117 |
| 5.3.Resultatele încercărilor experimentale din etapa II .. | 124 |
| 5.4.Prelucrarea statistică a datelor experimentale..... | 137 |
| 6. Concluzii și verificarea rezultatelor cercetării ... | 145 |
| Bibliografie | 156 |

1. INTRODUCERE

Betonul, material cu proprietăți elasto-visco-plastice, prezintă o serie de avantaje așa cum ar fi: o bună comportare la compresiune; o impermeabilitate și rezistență la gelevitate adecvată, asigurîndu-se în acest fel o durabilitate corespunzătoare; rezistență la foc, etc. Dintre principalele dezavantaje se rețin: comportamentul necorespunzător la întindere; densitate specifică aparentă mare; cimentul este un material energointensiv, etc.

Comportamentul defavorabil la întindere este caracterizat prin deformații specifice limită mici, ceea ce conferă ruperii (în cazul încovoierii, torsunii, compresiunii excentrice cu mare excentricitate și întinderii centrice sau excentrice) un pronuntat caracter casant, deși ruperea este precedată de o microfisurare ce determină apariția unor deformații plastice. Fisura odată apărută se dezvoltă instantaneu și cu excepția compresiunii excentrice cu medie excentricitate, ea duce la ruperea elementului. În cazul elementelor de beton simplu capacitatea portantă la fisurare este sinonimă cu capacitatea portantă la rupere.

Calculul elementelor de beton simplu la solicitări ce pot produce ruperea prin cedarea zonei întinse se face ținînd cont de deformația specifică limită, de rezistență la întindere respectivă și de comportamentul elasto-plastic al betonului. Comportamentul elasto-plastic depinde de calitatea betonului și de forma și dimensiunile secțiunii transversale. Din cauza rezistenței reduse la întindere pentru această categorie de elemente rezultă dimensiuni exagerate ceea ce face ca utilizarea betonului simplu să devină în acest caz neeconomică.

Avinde în vedere cele de mai sus utilizarea betonului simplu este rațională numai atunci cînd din acțiunile exterioare rezultă eforturi unitare de compresiune.

Pentru ca betonul să poată fi utilizat și la solicitări care produc întinderi s-a procedat la prevederea în aceste zone a unor materiale capabile de a prelua întinderi. În acest fel s-a ajuns, în ultimul timp, la armări disperse cu fibre de sticlă sau cu fibre de oțel. Pentru mărirea rezistenței la întindere s-a procedat și prin polimerizarea betonului.

Soluția clasică de suplinirea a lipsei de rezistență la întindere este introducerea în zona întinsă a armăturilor de oțel moale. În acest fel întinderile sint preluate de armătura, iar compresiunile de către beton, rezultînd în acest fel betonul armat.

In stadiul de exploatare elementele de beton armat lucrează cu zona intinsă fisurată, dar prin limitarea deschiderii fisurilor, la ammitite valori maxime în funcție de condițiile de mediu, se asigură protecția împotriva coroziunii armăturii.

Ruperea elementelor de beton armat se produce, de regulă, prin curgerea armăturii intinse urmată de zdrobirea betonului comprimat. Datorită curgerii armăturii ruperea are un pronunțat caracter ductil (în cazul elementelor prevăzute cu procente medii de armare). Crescerea excesivă a cantității de armătură duce la o situație neeconomică: betonul supraarmat. In acest caz se produce zdrobirea betonului comprimat fără ca armătura intinsă să atingă curgerea. In cazul elementelor slab armate înainte de zdrobirea betonului efortul unitar din armătură intinsă ajunge în portiunea de consolidare a curbei caracteristice.

Unul din dezavantajele betonului armat îl constituie neutilizarea completă a întregii secțiuni efective de beton din cauza fisurării.

Introducerea precomprimării, devenită posibilă datorită unor materiale de calitate superioară, a făcut ca acest dezavantaj să dispare, astfel că întreaga secțiune de beton devine activă, deoarece eforturile unitare de compresiune, create de efortul de precomprimare, au rolul de a anula eforturile unitare de întindere produse de încărcările exterioare.

Principala consecință a intrării în lucru a întregii secțiuni de beton o constituie reducerea dimensiunilor acesteia în comparație cu varianta beton armat, și deci reducerea greutății proprii a elementului. In aceste condiții elementele precomprimate au deschideri ce incep să concureze cu cele ale construcțiilor metalice.

Preyssinet a conceput betonul precomprimat în așa fel ca sub efectul încărcărilor totale întreaga secțiune să fie comprimată. Această situație corespunde noțiunii actuale de precomprimare integrală.

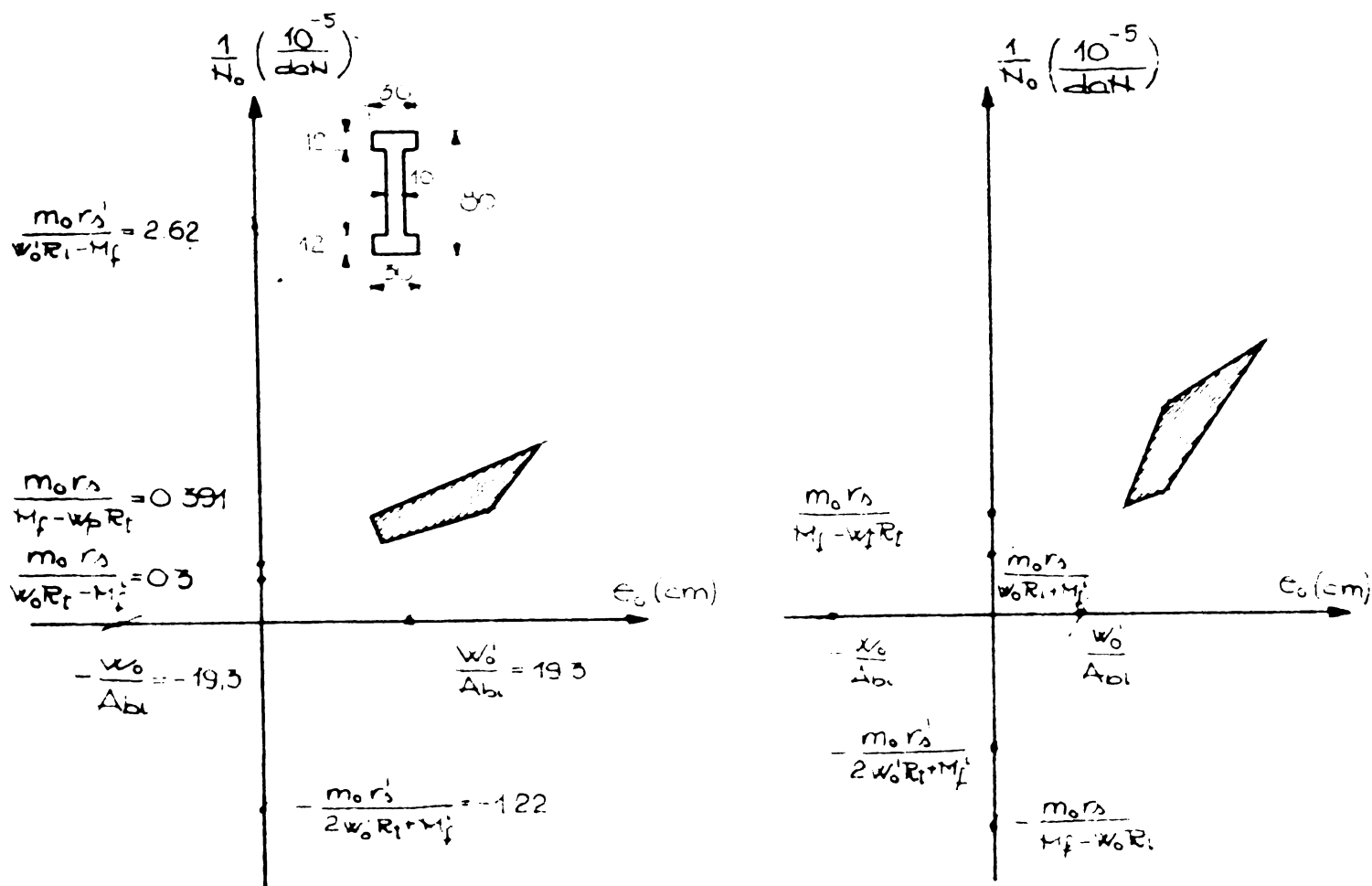
Pentru evaluarea corectă a stării de eforturi unitare normale este necesară o evaluarea corespunzătoare a efortului de precomprimare, care este redus de la valoarea din momentul pretensionării datorită pierderilor de tensiune, între care face parte și cea datorită scurtării elastice a betonului.

Codul Model CEB-FIP /112/ prevede luarea în considerare a acestei pierderi de tensiune atât în cazul armăturilor preintinse cât și în cazul armăturilor postintinse. Pentru calculul acestei pierderi de tensiune sunt prevăzute diferite relații între care se pot aminti cele ale lui Brunson /86/, Ghabban /46/, Kurt-Martinek /53/ și

Leonhardt /56/. In normele românesti nu există prevederi pentru larea în considerare a acestei pierderi de tensiune.

In această situație efortul de precomprimare și poziția lui trebuie să fie astfel determinate încit să se asigure comprimarea întregii secțiuni atât în faza initială, cind precomprimarea este maximă iar încărcarea exterioară minimă, cît și în faza finală, cind precomprimarea este minimă iar încărcarea exterioară este maximă.

Primele norme românesti /106/ privind calculul elementelor precomprime admiteau atingerea rezistenței la întindere R_t în fibra superioară la transfer și în fibra inferioară în faza finală. În fibrele comprimate efortul unitar se limită la valoarea R_i . Reprezentarea grafică a acestor condiții permite alegerea efortului de precomprimare și a poziției sale în așa fel ca cele patru condiții să fie satisfăcute /9/. In figura 1.1 se prezintă domeniul pentru care perechea de valori: efortul de precomprimare-excentricitate, asigură satisfacerea simultană a celor patru condiții. Din figura 1.1.a, unde se dă valori numerice concrete, se constată că acest domeniu este destul de restrins, fiind dificilă respectarea simultană a celor patru condiții. Situația



a) DIAGRAMĂ DE EFORȚURI UNITARE LA TRANSFER CU UN SINGUR SEMN

b) DIAGRAMĂ DE EFORȚURI UNITARE LA TRANSFER CU DOUA SEMNE

FIG 1.1 DOMENIUL VALORILOR N_0 și ϵ_0 PENTRU RESPECTAREA CONDIȚIILOR DIN FIBRELE EXTREME

devine și mai complicată dacă se are în vedere că cele patru condiții trebuie respectate în fiecare secțiune a elementului.

Riscul apariției fisurilor este generat de o eventuală supra-sarcină a încărcării utile de exploatare precum și de dezvoltarea pierderilor de tensiune peste valorile prevăzute.

Cercetările efectuate ulterior apariției betonului precomprimat au arătat că este posibil ca elementele să funcționeze în deplină siguranță și cu zona întinsă fisurată sub efectul încărcărilor de scurtă durată, apărind în acest fel precomprimarea parțială, cu cele două variante ale ei, precomprimarea moderată și precomprimarea limitată. Precomprimarea limitată se realizează, de regulă, cu armătură pretensionată cu sau fără armătură nepretensionată, armătura nepretensionată neavând un rol hotăritor în exploatare și la rupere. Precomprimarea moderată se realizează cu armătură nepretensionată, această armătură având un rol important atât în exploatare cît și la rupere. În tabelul 1.1. se sintetizează tipurile de precomprimări utilizate în prezent.

Tabelul 1.1.

Tipuri de precomprimări

| Tipul precomprimării | Grad de precompr. $k = \frac{H_d}{H_e}$ | Rolul armăturii nepretensionate |
|-------------------------|--|--|
| Precomprimare integrală | $k > 1$ | Nu este necesară |
| Precomprimare limitată | $k < 1$ | Nu este necesară; dacă totuși se prevede rolul ei nu este esențial |
| Precomprimare moderată | $k \ll 1$ | Rol esențial în exploatare și la rupere |

În primele sale preocupări Abeles realizează precomprimarea limitată prin pretensionarea incompletă a armăturii sau prin pretensionarea numai a unei singure părți din aceasta. Ulterior se trece la introducerea și a unei cantități de armătură nepretensionată.

În prezent este acceptat ca grad de precomprimare k raportul dintre momentul încovoietor de decompresiune și momentul încovoietor de exploatare.

Trecerea de la precomprimarea integrală la precomprimarea parțială atrage după sine:

- reducerea consumului de ciment deoarece la transfer efortul de precomprimare este mai mic, iar verificările necesare în această fază pot fi făcute și cu o marcă de beton mai mică;

- reducerea părții inferioare a elementului datorită reducării cantității de armătură ce trebuie prevăzută;
- reducerea cantității de armătură pretensionată;
- creșterea ductilității datorită prevederii de armătură complementară nepretensionată.

Actualele norme românești pentru calculul elementelor precomprimate folosite în construcții civile și industriale /108/, precum și viitoarele norme referitoare la acest domeniu /109/, prevăd în clasa II-a de fisurabilitate și elementele realizate cu armătură preintinsă de tipul toroanelor TRP. Pentru aceste elemente se admite deschiderea fisurilor normale sub încărcările totale de exploatare și închiderea fisurilor normale sub efectul încărcărilor de lungă durată. Instrucțiunile tehnice, referitoare la elementele cu precomprimare parțială și prevăzute și cu armătură nepretensionată complementară /116/ admit înlocuirea condiției de închidere a fisurilor cu limitarea deschiderii fisurilor la valoarea medie de 0,03 mm.

Prevederea de armătură nepretensionată complementară influențează în mod favorabil comportarea în exploatare prin reducerea distanței dintre fisuri și implicit prin reducerea deschiderii fisurii.

In actuale norme românești /103/ pentru calculul deschiderii fisurilor se acceptă că distanța dintre fisuri este egală cu distanța dintre strieri iar valoarea coeficientului de conlucrare a betonului întins dintre fisuri se admite egal cu unitatea.

Proiectul noilor norme /109/ este aliniat la prevederile CEB-FIP /112/ în privința calculului distanței dintre fisuri la elementele din beton armat. În privința distanței dintre fisuri este prevăzută indicația din actualele norme /108/, iar pentru coeficientul de conlucrare este prevăzută valoarea 0,8. De fapt aplicarea prevederilor CEB-FIP este problematică în cazul elementelor realizate cu toroane TRP și armătură complementară PC deoarece acestea sunt bare cu proprietăți diferite de aderență.

Este evident că prevederile din /108/ și /109/ sunt îndepărtate de realitate.

In baza cercetărilor efectuate în Catedra de Beton armat și clădiri din cadrul I.P."T.Vuia" pe elemente parțial precomprimate realizate numai cu toroane TRP, incomplet pretensionate, s-au dedus relații pentru coeficientul β_p și pentru coeficientul de conlucrare γ în funcție de gradul de precomprimare $\frac{\sigma_{po}}{R_p^n}$ /8/, /75/, /98/.

In literatura de specialitate sunt prevăzute relații specifice betonului precomprimat parțial, pentru calculul deschiderii fisuri-

lor aşa cum ar fi cele ale lui Lloyd-Rejali-Realer și Navy-Huang.

Pentru elementele prevăzute cu toroane TBP și bare PC nu există o relație de evaluare a coeficientului β_p , pentru calculul distanței dintre fisuri și nici pentru coeficientul de conlucrare ψ în funcție de gradul de precomprimare k .

In practica realizării tablierelor de poduri se utilizează elemente precomprimate peste care se toarnă beton armat, rezultând în acest fel elementele compuse beton precomprimat - beton armat. În ultimul timp această soluție constructivă este folosită și în realizarea planșelor în construcțiile civile și industriale prin suprabetonaarea elementelor de planșeu, care de regulă fac parte din clasa a II-a de fizurabilitate, elementele compuse fiind deci elemente cu precomprimare parțială.

Utilizarea elementelor compuse beton precomprimat - beton armat prezintă cîteva avantaje din care se rețin următoarele:

- reducerea greutății elementelor precomprimate și în consecință simplificarea problemelor legate de montajul acestora;
- reducerea consumului de ciment ca o consecință a reducerii volumului de beton de calitate superioară și a înlocuirii în zona comprimată a betonului de calitate superioară cu beton de calitate inferioară;
- crearea continuătății pe reazem, cu toate avantajele ce decurg din această continuitate;
- crearea unei șaibe monolite.

Calculul elementelor compuse beton precomprimat - beton armat ridică numeroase probleme legate de calitatea diferită a celor două betoane și de diferența de contractie și curgere lentă, în literatura de specialitate existind puține informații referitoare la calculul acestor elemente. În această direcție se rețin următorii autori străini care s-au preocupat de calculul elementelor compuse: Branson /86/, Busenam /26/, Cestelli Guidi /28/, Chigman /46/ și Guyon /43/.

Lucrarea, care are la bază găse contracte de cercetare-proiectare desfășurate în perioada 1972-1983, a încercat să răspundă la unele din problemele enumerate mai sus și legate de elementele precomprimate cu armături preîntinsă de tipul toroanelor TBP.

In capitolul 2 se analizează problema determinării efortului real de precomprimare, avind în vedere pierderea de tensiune din scurtarea elastică a betonului, probleme deosebite apărind în cazul elementelor cu armătură preîntinsă. Se trăc în revistă relațiile existente în bibliografie și se compară cu relația propusă. Se anali-

zează influența neluării în considerare a pierderii de tensiune din scurtarea elastică asupra verificărilor ce se fac în stadiul de exploatare. Capitolul se încheie cu recomandări practice privind luarea în considerare a acestei pierderi de tensiune.

Capitolul 3 tratează calculul în secțiuni normale a elementelor compuse beton precomprimat - beton armat. Se face o trecere în revistă a evaluării contractiei și curgerii lente, având în vedere că aceste două fenomene influențează sensibil starea de eforturi unitare normale. Se prezintă procedeele existente pînă în prezent în privința calculului elementelor compuse.

Se propune o metodă de calcul a stării de decompresiune, bazată pe interacțiunea deformațiilor specifice, și se compară cu metoda asimilării cu secțiunile compuse otel-beton /5/, făcîndu-se și recomandări privind utilizarea acestor două metode. Se propun procedee exacte și aproximative pentru calculul momentului încovoietor de fisurare și pentru calculul stării de eforturi unitare normale în secțiuniile fisurate. Capitolul se încheie cu o analiză a influenței datei de realizare a porțiunii de beton armat asupra stării de eforturi unitare în secțiunile normale.

Capitolul 4 tratează probleme legate de precomprimarea parțială așa cum ar fi: gradul de precomprimare, factorii ce determină alegerea gradului de precomprimare, factorii ce influențează mărimea deschiderii fisurilor. La finalul capitolului se fac propuneri pentru relații de calcul pentru coeficientii β_p și ψ , a căror expresii vor fi deduse din prelucrarea statistică a datelor experimentale.

Capitolul 5 se referă la programul experimental, desfășurat în două etape. Etapa I se bazează pe incercările efectuate în Catedra de Beton armat și clădiri pe elemente cu precomprimare parțială și realizate numai cu toroane TRP. Această etapă s-a axat pe studiul apariției fisurilor și pe studiul influenței gradului de precomprimare și asupra deschiderii fisurilor. Etapa II se bazează pe incercările efectuate pe elemente cu precomprimare parțială, cu și fără supra-betonare, elemente realizate cu toroane TRP și bare PC 52. Etapa II a fost axată pe studiul apariției fisurilor, al distanței dintre fisuri și al deschiderii fisurilor. Capitolul se încheie cu prelucrarea statistică a datelor experimentale în urma cărora s-au dedus relații pentru coeficientul β_p și ψ . Relațiile deduse au fost verificate pe elementele experimentale din cele două etape, precum și pe elemente experimentale studiate de altă autori.

In ultimul capitol al lucrării se redau concluziile ce se

desprind din lucrare și recomandări de proiectare.

Lucrarea cuprinde o anexă în care sunt cuprinse programele întocmite pentru calculul secțiunilor compuse și pentru prelucrarea statistică a datelor experimentale.

2. CONSIDERATII PRIVIND DETERMINAREA EFORTELUI REAL DE PRECOMPRIARE

2.1. Pierderi de tensiune. Pierderi de tensiune din scurtaresă elastică a betonului

Precomprimarea are rolul de a crea o stare inițială de eforturi unitare, cu caracter permanent, care să amileze starea de eforturi unitare produsă de încărcările exterioare. Precomprimarea creată de efortul de precomprimare, este variabilă în timp și spațiu din cauza unor factori specifici betonului precomprimat: pierderile de tensiune.

Din cauza apariției acestor pierderi de tensiune efortul de precomprimare scade de la valoarea maximă din faza inițială la o valoare minimă în faza finală (stadiul de exploatare). Această scădere a efortului de precomprimare este pusă față în față cu creșterea încărcărilor de la valoarea minimă, în faza inițială, la valoarea maximă, în faza finală (stadiul de exploatare). În acest fel elementul se găsește în faza finală, în stadiul de exploatare, într-o situație defavorabilă: precomprimare minimă și încărcare maximă (Fig.2.1). Efortul de precomprimare trebuie astfel evaluat încit să producă o precomprimare corespunzătoare în stadiul de exploatare, care să ducă, în special, la respectarea condițiilor privitoare la fisurare. Pentru respectarea acestor condiții este deci necesară, pe lîngă alte condiții, și obținerea unui efort de precomprimare corespunzător.

Obținerea unui efort de precomprimare corespunzător este condiționată de realizarea efectivă a efortului unitar de control γ_{pk} și de estimarea corectă a pierderilor de tensiune.

Pierderile de tensiune se produc înaintea, în timpul și după efectuarea transferului. În tabelul 2.1 sunt prezentate cauzele și momentul producerii pierderilor de tensiune în conformitate cu normele românești /107/, /108/, /109/, /110/.

În conformitate cu normele românești în vigoare /107/, /108/, /110/, precum și în conformitate cu proiectul STAS 10107/0-83 /109/

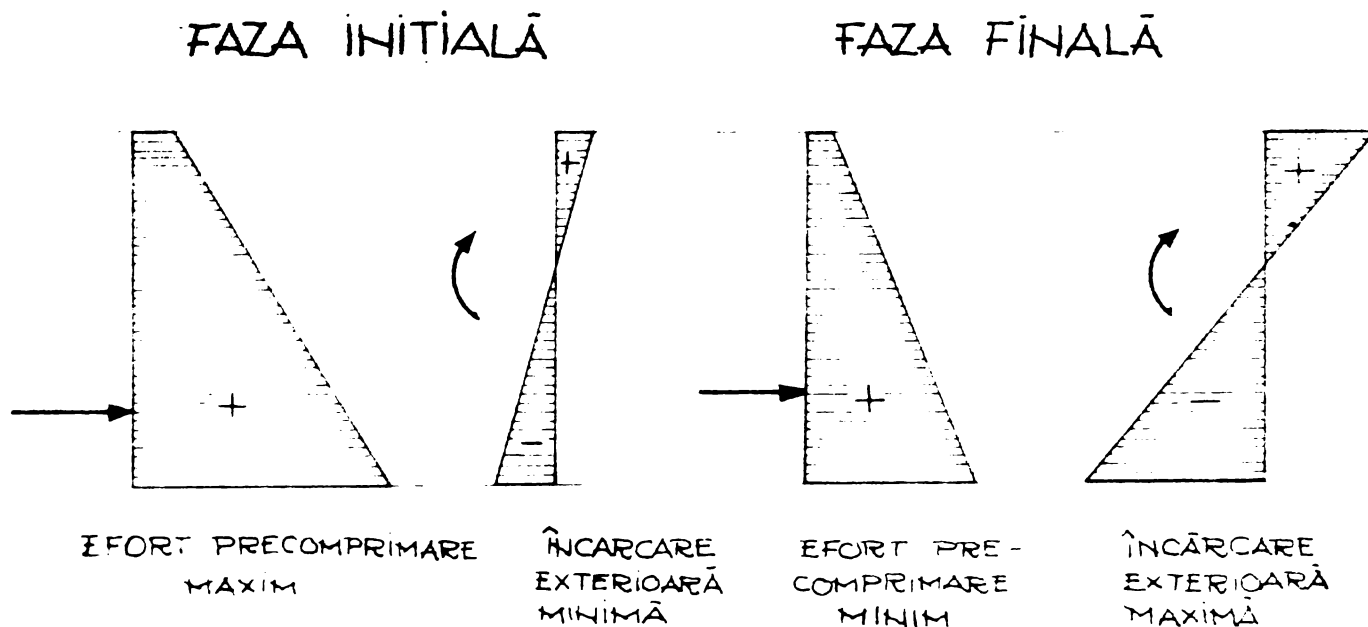


Fig. 2.1. DIAGRAAME DE EFORȚURI UNITARE DIN PRECOMPRIMARE
SI ÎNCĂRCĂRI EXTERIOARE

Efortul de precomprimare se determină cu relațiile:

$$- \text{în fază initială: } N_o = A_p \bar{\sigma}_{po} + A'_p \bar{\sigma}'_{po} \quad (2.1)$$

$$- \text{în fază finală: } N_o = A_p \bar{\sigma}_{po} + A'_p \bar{\sigma}'_{po} - A_a \Delta \bar{\sigma}_a - A'_a \Delta \bar{\sigma}'_a \quad (2.2)$$

Efortul unitar de calcul din armătura pretensionată se ia în considerare cu următoarele valori, ținând cont de pierderile de tensiune:

armătura preintinsă: - fază initială:

$$\bar{\sigma}_{po} = \bar{\sigma}_{pk} - (\Delta \bar{\sigma}_\lambda + \Delta \bar{\sigma}_f + \Delta \bar{\sigma}_s + \Delta \bar{\sigma}_t + \Delta \bar{\sigma}_{ri}) \quad (2.3)$$

- fază finală:

$$\bar{\sigma}_{po} = \bar{\sigma}_{po} - [(\Delta \bar{\sigma}_r - \Delta \bar{\sigma}_{ri}) + \Delta \bar{\sigma}_\varphi] \quad (2.4)$$

armătura postintinsă: - fază initială:

$$\bar{\sigma}_{po} = \bar{\sigma}_{pp} + n_p \bar{\sigma}_{bp} \quad (2.5)$$

unde:

$$\bar{\sigma}_{pp} = \bar{\sigma}_{pk} - (\Delta \bar{\sigma}_\lambda + \Delta \bar{\sigma}_f + \Delta \bar{\sigma}_s + \Delta \bar{\sigma}_{str}) \quad (2.6)$$

- fază finală:

$$\bar{\sigma}_{po} = \bar{\sigma}_{po} - (\Delta \bar{\sigma}_r + \Delta \bar{\sigma}_\varphi) \quad (2.7)$$

Din relațiile ce permit determinarea efortului unitar de calcul se constată că pierderea de tensiune din scurtarea elastică a betonului sub efectul efortului de precomprimare $\Delta \bar{\sigma}_e$ nu este luată în considerare la determinarea efortului de precomprimare.

Efectul scurtării elastice a betonului este pus în evidență numai în cazul armăturii postintinsă prin valoarea $\bar{\sigma}_{pp}$ din relația (2.6), dar, prin relația (2.5) acest efect este scos din discuție.

Neluată în considerare a pierderii de tensiune $\Delta \bar{\sigma}_e$ conferă

Tabelul 2.1 .

Cauzele și momentul producerii pierderilor de tensiune

| Cauzele pierderii de tensiune | Simbol | Momentul producerii pierderii de tensiune | |
|---|---------------------------------------|--|---|
| | | Arm. preîntinsă | Arm. postîntinsă |
| Lunecări și deformări în ancore la blocare | $\Delta \bar{\sigma}_\lambda$ | Inaintea transferului | La blocare |
| Efectul tratamentului termic al betonului | $\Delta \bar{\sigma}_t$ | Inaintea transferului | - |
| Precarea armăturii pe traseu | $\Delta \bar{\sigma}_f$ | Inaintea transferului (numai pentru arm. deflectate) | In timpul transferului |
| Efectul întinderii successive a armăturilor | $\Delta \bar{\sigma}_s$ | Inaintea transferului (numai în cazul utilizării tipelor metalice autoportante). | In timpul transferului |
| Strivirea betonului sub armături înfășurate | $\Delta \bar{\sigma}_{str}$ | - | In timpul transferului |
| Scurtarea elastică a betonului sub efectul efortului de precomprimare | $\Delta \bar{\sigma}_e$ | In timpul transferului | In timpul transferului (se ia în considerare la $\Delta \bar{\sigma}_s$) |
| Relaxarea armăturii | $\Delta \bar{\sigma}_r$ | In timp | In timp |
| Contractia și curgere lentă a betonului | $\Delta \bar{\sigma}_{\bar{\varphi}}$ | In timp | In timp |

efortului de precomprimare, definit conform (2.1) și (2.2), un evident caracter convențional.

Determinarea efortului de precomprimare cu relațiile (2.1 - 2.7) are drept consecință supraevaluarea acestuia. Această supraevaluare duce la un calcul descooperitor pentru verificările în stadiul de exploatare (în special verificarea la fisurare).

O altă consecință a utilizării relațiilor amintite constă în cunoașterea, doar aproximativă, a efortului unitar efectiv în armătura pretensionată.

În cazul elementelor cu armătură postîntinsă neutilizarea relației (2.5) soluționează problema.

În cazul elementelor cu armătură preîntinsă determinarea efortului unitar $\bar{\sigma}_{pp}$ din relația (2.5) ar conduce la un efort de precomprimare N'_p care trebuie considerat constant pe durata dezvoltării

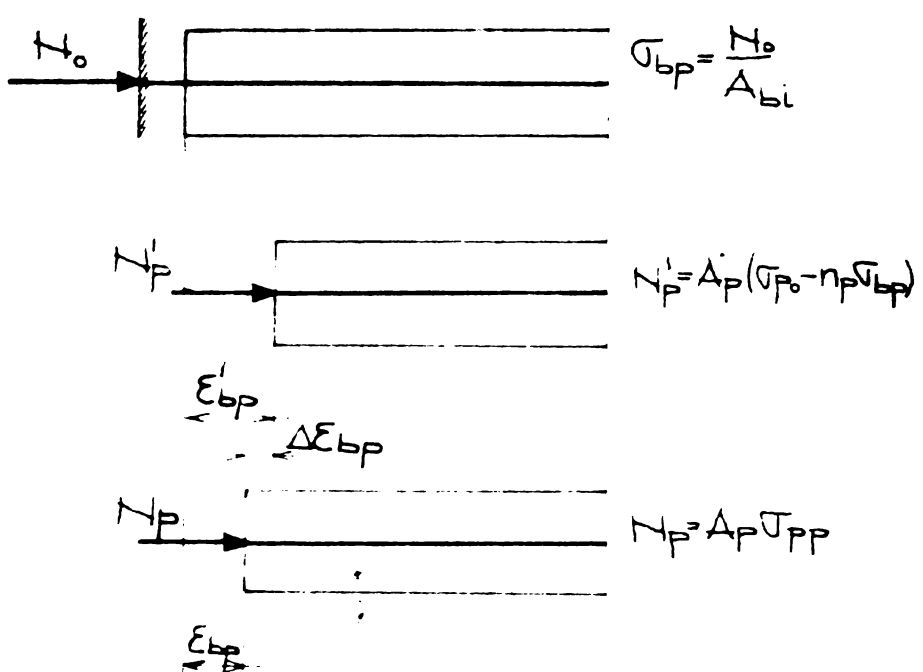


Fig 2.2 AUTOREDUCEREA DEFORMATIEI SPECIFICE ELASTICE

din scurtarea elastică a betonului trebuie să se aibă în vedere și faptul că această pierdere de tensiune se produce, de regulă, atunci cînd betonul a atins numai 70% din marca prescrisă, deci și modulul de elasticitate este mai mic, betonul fiind mai deformabil.

Utilizarea relațiilor (2.1) și (2.3) conduce la un calcul acoperitor, pentru elementele cu armătură preîntinsă, în faza inițială, cînd betonul nu și-a atins încă marca finală iar precomprimarea este preponderentă.

2.2. Relații și prevederi privind luarea în considerare a pierderii de tensiune din scurtarea elastică a betonului

Pentru evaluarea pierderii de tensiune din scurtarea elastică a betonului, în armătura preîntinsă, Herberg /50/ recomandă relația:

$$\Delta \bar{\sigma}_E = n \bar{\sigma}_{bV_a}^{(z)} \quad (2.8)$$

unde: n este coeficiențul de echivalentă pentru armătura pretensionată;

$\bar{\sigma}_{bV_a}^{(z)}$ – efortul unitar în beton, în dreptul centrului de greutate al armăturii pretensionate, sub efectul forței initiale de

deformației specifice elastice ϵ'_{bp} . În realitate pe măsura dezvoltării deformațiilor specifice elastice efortul efectiv de precomprimare se diminuează astfel că deformația specifică elastică ϵ_{bp} va fi mai mică (Fig.2.2.b,c). Se produce o autoreducere a deformațiilor specifice și în consecință, și o autoreducere a pierderii de tensiune din scurtarea elastică.

In evaluarea corectă a pierderii de tensiune

precomprimare V_a .

După cum rezultă din relația (2.8) Herberg consideră că forța de precomprimare este constantă după efectuarea transferului și nu ține cont de autoreducerea pierderii de tensiune din scurtarea elastică a betonului.

Pentru elementele cu armătura preîntinsă Ghibsman /46/ indică pentru calculul pierderii de tensiune din scurtarea elastică următoarea relație:

$$\bar{\sigma}_{pl} = \left(\frac{\sum \bar{t}_i F_{ti}}{F_{btr}} + \frac{\sum \bar{t}_i F_{ti} e_i}{I_{btr}} y_i \right) \frac{E_t}{E_b} \quad (2.9)$$

unde:

F_{ti} este aria armăturii curente i;

$\bar{t}_i = \bar{t}_c - \bar{t}_{p2} - \bar{t}_{p4}$;

\bar{t}_c - efortul unitar de control;

\bar{t}_{p2} - pierderea de tensiune din relaxarea armăturii;

\bar{t}_{p4} - pierderea de tensiune din tratament termic;

F_{btr} - aria secțiunii ideale de beton;

I_{btr} - momentul de inertie al secțiunii ideale de beton;

y - distanța de la centrul de greutate al secțiunii ideale de beton la armătura considerată;

E_t - modulul de elasticitate al armăturii preîntinse;

E_b - modulul de elasticitate al betonului.

Relația (2.9) nu ține cont de pierderea de tensiune din luncarea în ancore și de autoreducerea pierderii de tensiune din scurtarea elastică.

Pentru determinarea pierderii de tensiune în armătura preîntinsă, din scurtarea elastică a betonului Branson /86/ propune valoarea:

$$n_{fc1} \quad (2.10)$$

unde: n este coeficientul de echivalentă al armăturii pretensionate;

$f_{ci} = \frac{P_0}{A_2} + \frac{P_0 e^2}{I_2} - \frac{M_2 e}{I_2}$ - efortul unitar în beton în dreptul armăturii pretensionate;

A_2 - aria secțiunii transversale a elementului;

I_2 - momentul de inertie al secțiunii transversale a elementului.

M_2 - momentul încovoiector din greutatea proprie;

e - distanța din centrul de greutate al secțiunii transversale pînă la armătura pretensionată

P_0 - forța de precomprimare după producerea scurtării elas-

tice a betonului și care este $P_o = P_1 / (1 + 2 n A_{ps} / A_2)$;

P_1 - forță la presă de pretensionare;

A_{ps} - aria armăturii pretensionate.

Valoarea obținută din expresia (2.10) este utilizată numai pentru a obține valoarea reală a efortului unitar în armătura pretensionată deoarece forță de precomprimare, după scurtarea elastică, este dată de mărimea P_o .

Se constată că se urmărește să se țină cont de fenomenul de autoreducere, introducindu-se însă și efectul din greutatea proprie a elementului, această încărcare producând de fapt o mărire a efortului unitar în armătură.

Kurt-Lartinek /53/ propune pentru armăturile preîntinse, relația:

$$\Delta \sigma_{zv} = n_{zv} \sigma_{bzv} \quad (2.11)$$

unde: n_{zv} este coeficientul de echivalentă al armăturii pretensionate;

σ_{bzv} - efortul unitar în beton, în dreptul centrului de greutate al armăturii, produs de forță de precomprimare inițială.

Această relație este practic identică cu relația propusă de Herberg, situație în care se găsește și relația propusă de Leonhardt /56/.

Codul Model CEB-FIP /112/ recomandă luarea în considerare a scurtării elastice a betonului sub efectul forței de precomprimare atât în cazul elementelor cu armătură preîntinsă cât și în cazul elementelor cu armătură postîntinsă.

O serie de alți autori așa cum sunt Guyon /48/, Dreux /34/, Cestelli Guidi /28/, Lopatto /60/ nu iau în considerare scurtarea elastică a betonului decât în cazul elementelor cu armătură postîntinsă introducând pierderea de tensiune din întindere succesivă a armăturilor și fără a mai efectua unele modificări în spiritul relației (2.5).

2.3. Determinarea efortului real de precomprimare cu luarea în considerare a scurtării elastice a betonului

2.3.1. Determinarea pierderii de tensiune din scurtarea elastică a betonului în armăturile preîntinse

In cazul elementelor cu armătură postîntinsă efectul scurtării elastice a betonului este prins prin intermediul pierderii de

473649

tensiune din întindere succesivă. Din acest motiv pierderea de tensiune din scurtarea elastică a betonului $\Delta \tilde{\epsilon}_e$ se calculează numai pentru elementele cu armătură preîntinsă.

Sub efectul efortului real de precomprimare N_p (Fig. 2.3.b) betonul va avea în dreptul armăturii preîntinse deformațiile specifice ϵ_{bp} , respectiv ϵ'_{bp} .

Valorile acestor două deformații specifice sunt date de relațiile:

$$\epsilon_{bp} = \frac{\tilde{\epsilon}_{bp}}{E_b} = \frac{N_p}{E_b} \left(\frac{1}{A_{bi}} + \frac{e_p y_p}{I_{bi}} \right) = \frac{N_{pi} + N_{ps}}{E_b A_{bi}} \left(1 + \frac{e_p y_p}{i^2} \right) \quad (2.12-2.13)$$

$$\epsilon'_{bp} = \frac{\tilde{\epsilon}'_{bp}}{E_b} = \frac{N_p}{E_b} \left(\frac{1}{A_{bi}} - \frac{e_p y'_p}{I_{bi}} \right) = \frac{N_{pi} + N_{ps}}{E_b A_{bi}} \left(1 - \frac{e_p y'_p}{i^2} \right)$$

unde:

$$i^2 = \frac{I_{bi}}{A_{bi}}$$

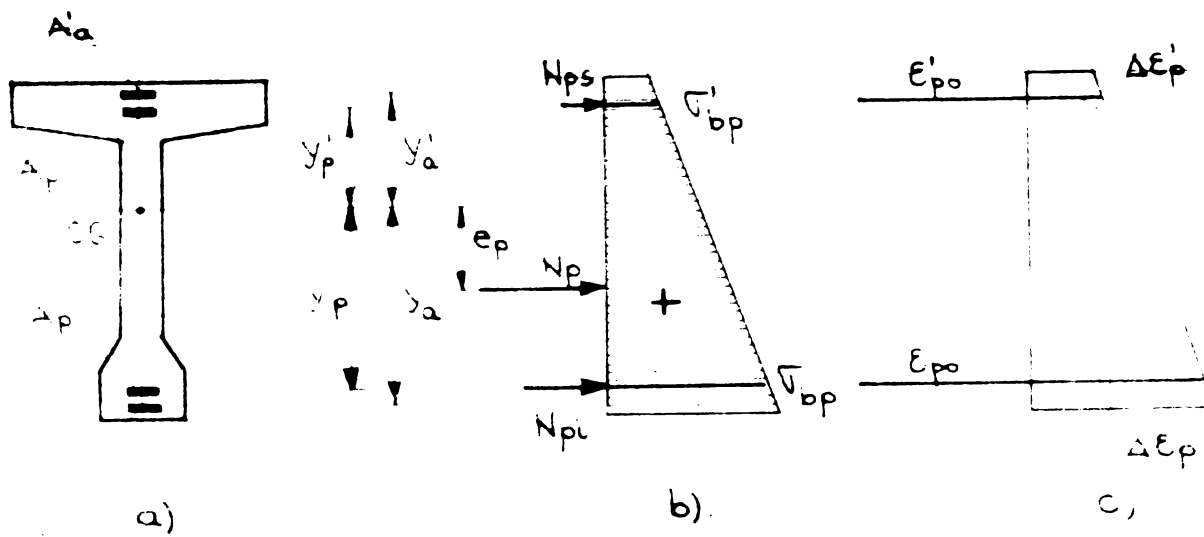


FIG. 2.3. DETERMINAREA EFORTULUI REAL DE PRECOMPRIMARE

Utilizarea caracteristicilor geometrice ale secțiunii transversale ideale introduce și efectul scurării elastice a armăturilor nepretensionate de rezistență.

Având în vedere relațiile (2.26) și (2.28), relațiile (2.12 - 2.13) devin:

$$\epsilon_{bp} = \frac{(\tilde{\epsilon}_{poi} - \Delta \tilde{\epsilon}_e) A_p + (\tilde{\epsilon}_{pos} - \Delta \tilde{\epsilon}_e) A'_p}{E_b A_{bi}} \left(1 + \frac{e_p y_p}{i^2} \right) \quad (2.12'-2.13')$$

$$\epsilon'_{bp} = \frac{(\tilde{\epsilon}_{poi} - \Delta \tilde{\epsilon}_e) A_p + (\tilde{\epsilon}_{pos} - \Delta \tilde{\epsilon}_e) A'_p}{E_b A_{bi}} \left(1 - \frac{e_p y'_p}{i^2} \right)$$

Din cauza scurării elastice a betonului în armăturile pre-

intinse vor apărea variații ale deformațiilor specifice $\Delta \varepsilon_p$, respectiv $\Delta \varepsilon'_p$ (Fig. 2.3.c) corespunzătoare scăderii eforturilor N_{oi} și N_{os} la valorile N_{pi} și N_{ps} .

Valorile acestor două variații ale deformațiilor specifice sunt date de relațiile:

$$\Delta \varepsilon_p = \frac{N_{oi} - N_{pi}}{E_p A_p} = \frac{\Delta \tilde{\varepsilon}_{ei}}{E_p} \quad (2.14-2.15)$$

$$\Delta \varepsilon'_p = \frac{N_{os} - N_{ps}}{E_p A'_p} = \frac{\Delta \tilde{\varepsilon}_{es}}{E_p}$$

Valoarea pierderii de tensiune din scurtarea elastică a betonului rezultă din egalarea, la nivelul armăturilor A_p și A'_p , a deformației specifice a betonului cu variația deformației specifice a armăturii, la care se asociază relația pentru stabilirea poziției efortului N_p . Sistemul de ecuații ce se formează este:

$$\begin{aligned} \varepsilon_{bp} &= \Delta \varepsilon_p \\ \varepsilon'_{bp} &= \Delta \varepsilon'_p \end{aligned} \quad (2.16-2.18)$$

$$e_p = \frac{N_{pi} y_p - N_{ps} y'_p}{N_{pi} + N_{ps}}$$

In urma rezolvării sistemului de ecuații rezultă:

$$\Delta \tilde{\varepsilon}_{ei} = \tilde{\varepsilon}_{poi} - \frac{\omega_s \tilde{\varepsilon}_{poi} - \delta_i \tilde{\varepsilon}_{pos}}{\omega_i \omega_s - \delta_i \delta_s} \quad (2.19-2.20)$$

$$\Delta \tilde{\varepsilon}_{es} = \tilde{\varepsilon}_{pos} - \frac{\omega_i \tilde{\varepsilon}_{pos} - \delta_s \tilde{\varepsilon}_{poi}}{\omega_i \omega_s - \delta_i \delta_s}$$

unde: $\omega_i = n_p \frac{A_p}{A_{bi}} \left(1 + \frac{y_p^2}{i^2}\right) + 1$

$$\omega_s = n_p \frac{A'_p}{A_{bi}} \left(1 + \frac{y'_p}{i^2}\right) + 1$$

$$\delta_i = n_p \frac{A_p}{A_{bi}} \left(1 - \frac{y_p y'_p}{i^2}\right) \quad (2.21-2.24)$$

$$\delta_s = n_p \frac{A'_p}{A_{bi}} \left(1 - \frac{y_p y'_p}{i^2}\right)$$

$$n_p = \frac{E_p}{E_b} - \text{pentru momentul transferului}$$

Având în vedere că, de regulă, $\tilde{\varepsilon}_{poi} = \tilde{\varepsilon}_{pos} = \tilde{\varepsilon}_{po}$ rezultă:

$$\Delta \tilde{\tau}_{ei} = \tilde{\tau}_{pe} \left(1 - \frac{\omega_i - \delta_1}{\omega_i \omega_s - \delta_1 \delta_s} \right)$$

(2.19'-2.20')

$$\Delta \tilde{\tau}_{es} = \tilde{\tau}_{pe} \left(1 - \frac{\omega_1 - \delta_s}{\omega_1 \omega_s - \delta_1 \delta_s} \right)$$

In cazul elementelor prevăzute numai cu armătură A_p , pierdere de tensiune din scurtarea elastică devine:

$$\Delta \tilde{\tau}_e = \tilde{\tau}_{pe} \left(1 - \frac{1}{\omega_1} \right) \quad (2.25)$$

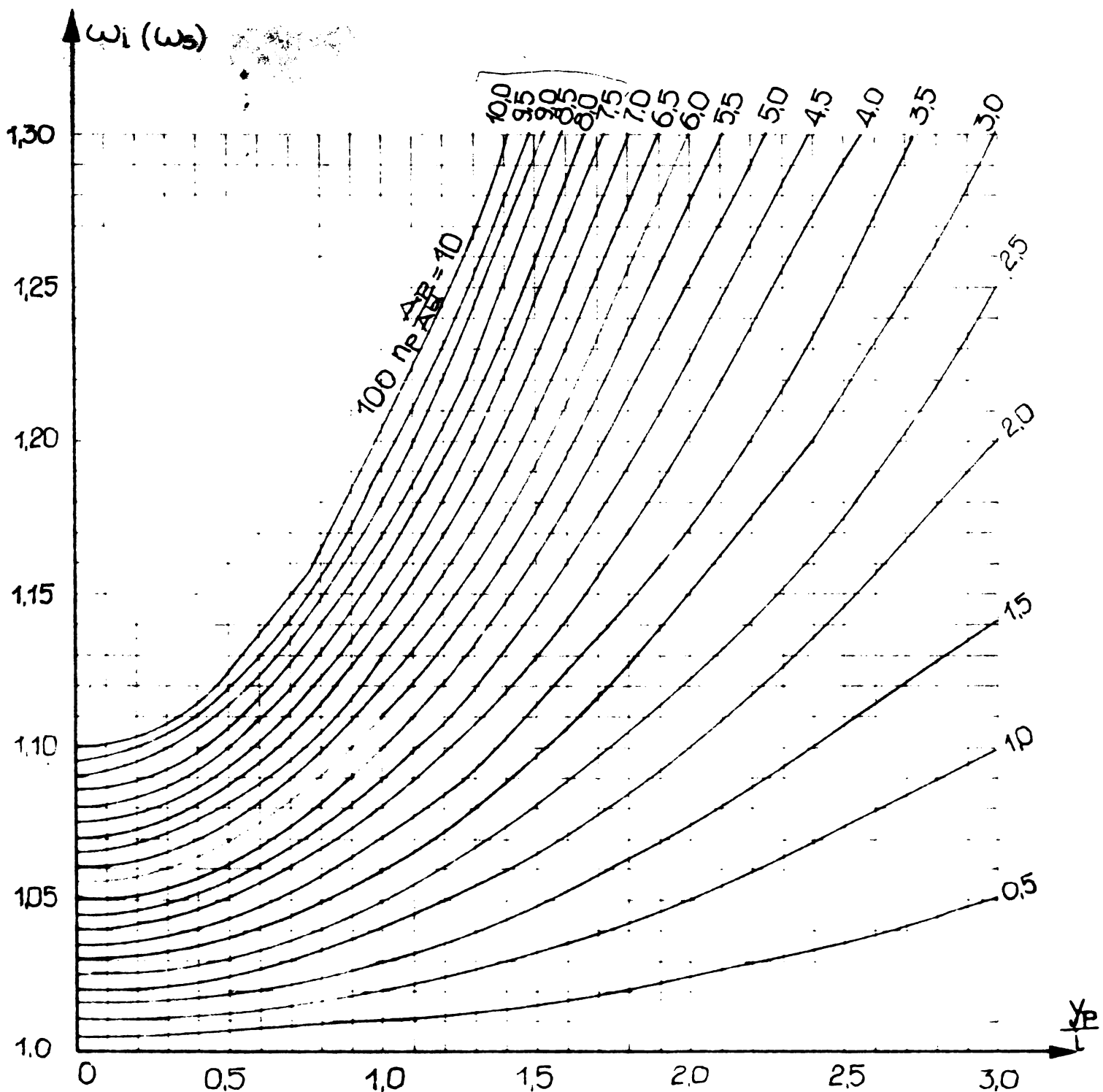


Fig. 2.4. DIAGRAMĂ PENTRU DETERMINAREA COEFICIENTILOR w_1 SI w_s

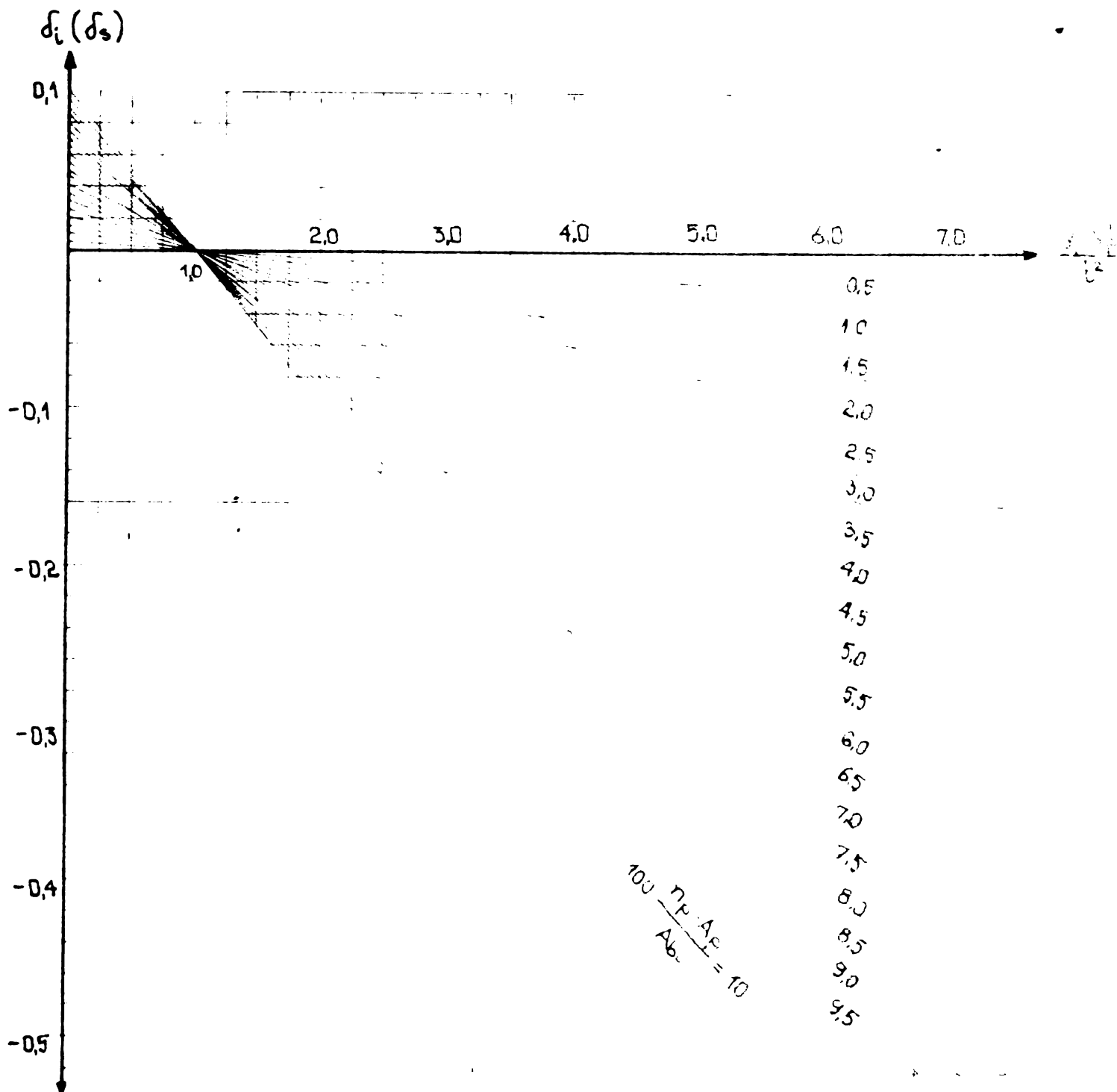


FIG. 2.5. DIAGRAMA PENTRU DETERMINAREA COEFICIENTILOR δ_1 și δ_2

Coeficientii ω_1 și δ_1 se determină din figura 2.4 în funcție de y_p/i și loco $n_p A_p / A_{b1}$, respectiv din figura 2.5 în funcție de $y_p y'_p / i^2$ și loco $n_p A_p / A_{b1}$. Coeficientii ω_s și δ_s se determină în mod similar dar înlocuind pe y_p cu y'_p și pe A_p cu A'_p .

Coeficientii ω_1 , ω_s , δ_1 și δ_s sunt funcție de:

- coeficientul de echivalentă al armăturii preîntinse n_p ;
- raportul A_p / A_{b1} , respectiv A'_p / A_{b1} ;
- distanța y_p , respectiv y'_p din centrul de greutate al secțiunii transversale ideale pînă la armatura A_p , respectiv A'_p ;
- raza de inertie i .

In vederea stabilirii limitelor de variație ale variabilelor

de mai sus s-a efectuat o prelucrare statistică (Anexa 1) a acestor variabile pe un număr de 193 elemente precomprime tipizate, prevăzute cu armătură numai la partea inferioară /119/. Rezultatele acestei prelucrări sunt prezentate în tabelul 2.2.

Din prelucrarea statistică a datelor se constată o mare împărtiere pentru variabila $\text{loc } n_p \frac{A_p}{A_{bi}}$, în cazul grinzelor secundare și al elementelor de acoperis. Acest lucru se datoră faptului că pe o gamă dimensională relativ redusă există o scară largă de valori pentru aria armăturii pretensionate.

In cazul elementelor de acoperis și planșeu se constată valori ridicate pentru variabila y_p/i , datorită faptului că distanța de la partea inferioară a elementului pînă la centrul de greutate al secțiunii este mare, din cauza ponderii ridicate a tălpiei în ansamblul elementului.

Avind în vedere valorile obținute, limitele variabilelor din diagrame au fost stabilite astfel:

$$\text{loc } n_p \frac{A_p}{A_{bi}} = 0,5 \dots 1,0$$

$$\frac{y_p}{i} = 0 \dots 3,0 \quad \frac{y'_p}{i} = 0 \dots 3,0$$

$$\frac{y_p y'_p}{i^2} = 0 \dots 7,5$$

Față de valorile din tabelul 2.2 în stabilirea acestor limite s-a mai avut în vedere: - pentru grinză unică aria de armătură pretensionată poate să fie mai mare decît valorile curente prevăzute în elementele tip;

- luarea în considerare și a precomprimării centrice.

Coefficientul $\omega_1 (\omega_s)$ a fost reprezentat pînă la valoarea de 1,3, ceea ce în baza relației (3.28'') înseamnă că efortul real din armătură $\bar{\sigma}_{pp}$ este cu 30% mai mic decît efortul unitar de calcul $\bar{\sigma}_{po}$.

2.3.2. Evaluarea efortului real de precomprimare

Efortul real de precomprimare se determină cu relațiile:

- în fază inițială:

$$N_p = A_p \bar{\sigma}_{pp} + A'_p \bar{\sigma}'_{pp} \quad (2.26)$$

- în fază finală:

$$\bar{N}_p = A_p \bar{\sigma}_{pp} + A'_p \bar{\sigma}'_{pp} - A_a \Delta \bar{\sigma}_a - A'_a \Delta \bar{\sigma}'_a \quad (2.27)$$

Tabelul 2.2

Rezultatul prelucrării variabilelor ce intervin în calculul lui ω_{gi}

| Elemente | Variabile | | | | | | $100 \frac{A_p}{A_{b1}}$ | $100 \frac{n_{p,p}}{n_{A_p/A_{b1}}}$ | | |
|---|----------------|----------------|----------------|----------------|----------------|----------------|--------------------------|--------------------------------------|----------------|--|
| | y_p/h | | $y_p/1$ | | $y_p/1$ | | | | | |
| | Inf. | Val. | Inf. | Val. | Inf. | Val. | | | | |
| Grindzi prinț. longitudinală | 0,221 0,473 | 0,403 18,0 | 0,357 0,353 | 0,322 7,72 | 0,639 1,58 | 1,24 13,73 | 0,135 0,811 | 0,458 0,487 | 39,64 4,908 | |
| Grindzi prinț. trans- | 0,398 0,397 | 11,55 0,470 | 0,366 0,326 | 0,347 3,26 | 0,999 1,410 | 1,14 13,59 | 0,249 0,811 | 0,431 0,487 | 31,39 2,79 | |
| Variable | | | | | | | | | | |
| Grindzi secun- dare | 0,407 0,497 | 0,470 7,01 | 0,303 0,326 | 0,313 0,313 | 1,93 1,590 | 1,50 1,340 | 6,15 1,26 | 0,709 0,319 | 57,69 4,11 | |
| Elemente acoperită | 0,543 0,688 | 0,612 7,39 | 0,256 0,333 | 0,299 0,299 | 8,63 7,719 | 2,07 2,680 | 16,03 1,172 | 0,524 0,226 | 55,09 1,312 | |
| Elemente planșeu | 0,574 0,575 | 0,398 0,552 | 0,366 0,353 | 0,349 0,322 | 2,30 1,883 | 1,14 1,235 | 7,19 0,489 | 0,566 0,22,34 | 22,34 3,29 | |
| Grindzi de ru- lare | 0,367 0,427 | 0,552 4,54 | 0,329 0,353 | 0,322 2,86 | 1,934 1,257 | 1,721 0,401 | 6,31 18,53 | 0,401 0,372 | 2,328 19,53 | |
| Ansamblul de elemente supuse prelu- cerii | 0,221 0,638 | 0,431 19,81 | 0,256 0,359 | 0,335 0,335 | 6,95 2,689 | 1,302 1,135 | 25,549 1,226 | 0,186 0,186 | 37,99 37,99 | |

Efortul unitar din armătura pretensionată se ia în considerare cu următoarele valori ținând cont de pierderile de tensiune:

armătura preîntinsă: - fază inițială:

$$\bar{\sigma}_{pp} = \bar{\sigma}_{po} - \Delta \bar{\sigma}_e \quad (2.26)$$

cu $\bar{\sigma}_{po}$ definit conform relației (2.3):-

- fază finală

$$\bar{\sigma}_{pp} = \bar{\sigma}_{po} - [(\Delta \bar{\sigma}_r - \Delta \bar{\sigma}_{ri}) + \Delta \bar{\sigma}_{\bar{p}}] \quad (2.29)$$

armătura postîntinsă: - fază inițială

$\bar{\sigma}_{pp}$ - conform relației (2.6)

- fază finală:

$$\bar{\sigma}_{pp} = \bar{\sigma}_{po} - (\Delta \bar{\sigma}_r + \Delta \bar{\sigma}_{\bar{p}}) \quad (2.30)$$

Evaluarea pierderilor de tensiune $\Delta \bar{\sigma}_l$, $\Delta \bar{\sigma}_t$, $\Delta \bar{\sigma}_f$, $\Delta \bar{\sigma}_s$, $\Delta \bar{\sigma}_{str}$, $\Delta \bar{\sigma}_r$, $\Delta \bar{\sigma}_{\bar{p}}$ se face în conformitate cu normele în vigoare /103/, /110/ și /116/.

Având în vedere expresiile (2.19'-2.20') sau (2.25) de calcul a pierderii de tensiune din scurtarea elastică a betonului, relația (2.28) de calcul a efortului unitar devine:

- în cazul dublei armări cind $\bar{\sigma}_{poi} = \bar{\sigma}_{pos} = \bar{\sigma}_{po}$

$$\bar{\sigma}_{ppi} = \bar{\sigma}_{po} \frac{\omega_s - \delta_i}{\omega_i \omega_s - \delta_i \delta_s}; \quad \bar{\sigma}_{pps} = \bar{\sigma}_{po} \frac{\omega_i - \delta_s}{\omega_i \omega_s - \delta_i \delta_s}; \quad (2.23' - 2.23'')$$

- în cazul simplei armări

$$\bar{\sigma}_{pp} = \frac{\bar{\sigma}_{po}}{\omega_i} \quad (2.23''')$$

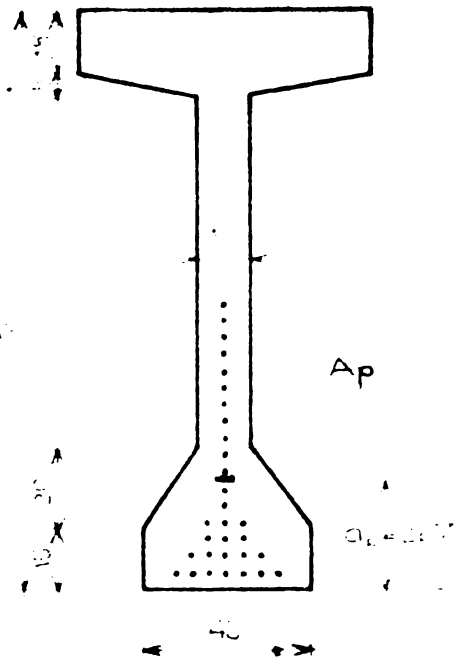
2.4. Calcule comparative privind consecintele neglijării efortului real de precomprimare asupra sigurantei elementelor precomprimate

2.4.1. Calcule comparative pe un exemplu de proiectare

In vederea comparării relațiilor propuse de diversi autori și procedeul propus la punctul 2.3.1, pentru evaluarea pierderii de tensiune din scurtarea elastică $\Delta \bar{\sigma}_e$ și a efectului neglijării efortului real de precomprimare se ia în discuție exemplul 12.2 de proiectare a unei grinzi din beton precomprimat cu secțiune variabilă, de 21,0 m deschidere cu armătură preîntinsă /35/.

Configurația secțiunii transversale periculoase, modul de dispunere al armăturilor și alte date initiale sunt prezentate în figura 3.6.

ELEMENT DIN CLASA II DE
FISURABILITATE



| | |
|--|---|
| $A_p = 27,9 \text{ cm}^2$ | $y_p = e_p = 69,8$ |
| $A_{bi} = 3836 \text{ cm}^2$ | $I_{bi} = 14227500 \text{ cm}^4$ |
| $n_p = 5,0$ | $\eta_p = 5,8$ (la transfer) |
| $\Delta \sigma_\lambda = 338 \text{ daN/cm}^2$ | $\Delta \sigma_t = 200 \text{ daN/cm}^2$ |
| $\Delta \sigma_s = 520 \text{ daN/cm}^2$ | $\Delta \sigma_{ri} = 680 \text{ daN/cm}^2$ |
| $\sigma_{po}^{\max} = 12480 \text{ daN/cm}^2$ | $\sigma_{pc}^{\min} = 11862 \text{ daN/cm}^2$ |
| $\Delta \sigma_q = 2060 \text{ daN/cm}^2$ | $\Delta \sigma_r - \Delta \sigma_{ri} = 620 \text{ daN/cm}^2$ |
| $F_{po}^{\min} = 9192 \text{ daN/cm}^2$ | $\sigma_{po}^{\max} = 10740 \text{ daN/cm}^2$ |
| $M_{g(b)} = 44,24 \text{ tm}$ | $M_{ld}^E = 254,05 \text{ tm}$ |
| $M^E = 290,9 \text{ tm}$ | |
| $R_{bo} = 350 \text{ daN/cm}^2$ | $R_{co}^n = 17,5 \text{ daN/cm}^2$ |
| $\tau_b^{\text{lim}} = 10 \text{ daN/cm}^2$ | $R_t^n = 21 \text{ daN/cm}^2$ |

FIG.2.6. DATELE PRINCIPALE ALE EXEMPLULUI DE PROIECTARE [35]

Comparatii privind evaluarea pierderii de tensiune din scurtarea elastică a betonului

Pentru a compara valorile ce se obțin se consideră că celelalte pierderi de tensiune se consumă integral, deci în evaluarea esfertului de precomprimare se utilizează valoarea σ_{po}^{\min} .

Având în vedere relațiile de la punctul 2.2 și datele initiale rezultă urmatoarele pierderi de tensiune:

$$\text{Herberg } \Delta \sigma_e = 1083 \text{ daN/cm}^2$$

$$\text{Gibbsman } \sigma_{pl} = 1161 \text{ daN/cm}^2$$

$$\text{Branson } n_{fc} = 1023 \text{ daN/cm}^2$$

$$\text{Kurt-Martinek } \Delta \sigma_{zv} = 1083 \text{ daN/cm}^2$$

$$\text{Leonhardt } n \sigma_{zv} = 1083 \text{ daN/cm}^2$$

Pentru calculul pierderii de tensiune pe baza procedeului propus la punctul 2.3.1. se calculează urmatoarele valori:

$$i = \sqrt{\frac{I_{bi}}{A_{bi}}} = \sqrt{\frac{14227500}{3836}} = 60,9 \text{ cm}$$

$$\frac{y_p}{i} = \frac{69,8}{60,9} = 1,08 \quad 100 \frac{n_p A_p}{A_{bi}} = 100 \frac{5 \times 27,9}{3836} = 4,2$$

Din figura 2.4 rezultă $\omega_i = 1,09$

Deoarece armatura prețintată este dispusă numai la partea inferioară pierderea de tensiune din scurtarea elastică se calculează cu relația (2.25):

$$\Delta \sigma_e = \sigma_{po}^{\min} \left(1 - \frac{1}{\omega_i} \right) = 11862 \left(1 - \frac{1}{1,09} \right) = 379 \text{ daN/cm}^2$$

Lunind ca bazi relația (2.25), care ține cont de fenomenul de autoreducere al pierderii de tensiune din scurtarea elastică a betonului, celelalte relații dău următoarele sporuri procentuale:

| | |
|---------------|--------|
| Herberg | 10,4 % |
| Gibson | 18,5 % |
| Branson | 5,1 % |
| Kurt-Martinek | 10,4 % |
| Leonhardt | 10,4 % |

Valorile procentuale arată măsura în care se subestimează efectul fenomenului de autoreducere a pierderii de tensiune din scurtarea elastică a betonului, cea mai apropiată de realitate fiind relația lui Branson.

Calcule privind influența neglijării pierderii de tensiune din scurtarea elastică a betonului asupra verificărilor la fisurare

Calculul eforturilor unitare în secțiuni normale nefisurate.

Diagramele de eforturi unitare normale în faza inițială ($N_0 = 348000$ daN) și în faza finală ($N_f = 255000$ daN), obținute pe baza efortului de precomprimare definit de relațiile (2.1) și (2.2) și întocmite pe baza exemplului de calcul discutat săt prezentate în figura 2.7.a.

Recalcularea efortului real de precomprimare și a eforturilor unitare se face după cum urmează:

Calculul în faza inițială

$$\sigma_{pp}^{\max} = \frac{\sigma_{po}^{\max}}{\omega_i} = \frac{12430}{1,03} = 11556 \text{ daN/cm}^2$$

$$N_p^{\max} = A_p \sigma_{pp}^{\max} = 27,9 \cdot 11556 = 322412 \text{ daN}$$

Diagrama de eforturi unitare în faza inițială, obținută pe baza efortului de precomprimare N_p^{\max} și a momentului încovoiator $L_E^E g(v)$ este prezentată în figura 2.7.b.

Calculul în faza finală

$$\sigma_{pp}^{\min} = \frac{\sigma_{po}^{\min}}{\omega_i} = \frac{11862}{1,09} = 10882 \text{ daN/cm}^2$$

$$N_p^{\min} = A_p \sigma_{pp}^{\min} = 27,9 \cdot 10882 = 303623 \text{ daN}$$

Pierderile de tensiune pentru faza finală devin:

$$\Delta \sigma_{\bar{y}} = 1783 \text{ daN/cm}^2 \quad \Delta \sigma_r - \Delta \sigma_{ri} = 660 \text{ daN/cm}^2$$

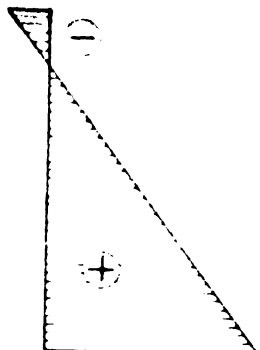
Efortul unitar în armătura preîntinsă și efortul real de precomprimare în faza finală săt:

$$\bar{\sigma}_{pp} = \sigma_{pp}^{\min} - [(\Delta \sigma_r - \Delta \sigma_{ri}) + \Delta \sigma_{\bar{y}}] = 10882 - (660 + 1783) = 8439 \text{ daN/cm}^2$$

$$R_p = A_p \bar{\sigma}_{pp} = 27,9 \cdot 8439 = 235448 \text{ daN}$$

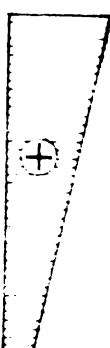
Diagrama de eforturi unitare în faza finală, obținută pe baza efortului de precomprimare $\bar{\sigma}_p$ și a momentului încovoiator $L_E^E l_d$, este

$$\bar{\sigma}_{bs} = -18,5 < 1,5 R_{t_0}^n$$



$\sigma_{b1} = 210 = 0,6 R_{bs}$
FAZA INITIALĂ

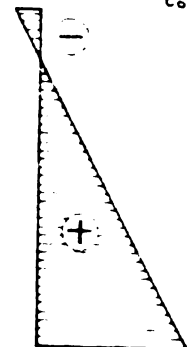
$$\bar{\sigma}_{bs} = 108,5$$



$\bar{\sigma}_{b1} = 19,5 > \sigma_b^{\text{lim}}$
FAZA FINALĂ

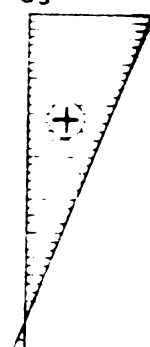
a)

$$\bar{\sigma}_{bs} = -9,9 < R_{t_0}^n$$



$\sigma_{b1} = 186 < 0,6 R_{bs}$
FAZA INITIALĂ

$$\bar{\sigma}_{bs} = 117,1$$



$\bar{\sigma}_{b1} = -0,4 < \sigma_b^{\text{lim}}$
FAZA FINALĂ

b).

FIG 2.7. RESPECTAREA CONDIȚIILOR LA TRANSFER SI ÎN EXPLOATARE.

Calculul eforturilor unitare în secțiuni normale fisurate.

Diagrama de eforturi unitare, determinată pe baza efortului de precomprimare $\bar{\sigma}_o = 255000$ daN, este prezentată în figura 2.8.a iar cea determinată pe baza efortului real de precomprimare este prezentată în figura 2.8.b.

Verificarea apariției fisurilor longitudinale.

Utilizarea relației (2.1) pentru determinarea efortului de precomprimare conduce la un calcul acoperitor deoarece în realitate eforturile unitare în fibra inferioară sunt mai mici decât cele rezultate din calcul.

Verificarea închiderii fisurilor normale.

prezentată în figura 2.7.b.

Calculul eforturilor unitare principale în faza finală

Eforturile unitare principale în dreptul centrului de greutate a secțiunii ideale de calcul la reazem sint:

$$\sigma_{b1} = -13 \text{ daN/cm}^2, \sigma_{b2} = 48 \text{ daN/cm}^2$$

In această secțiune efortul unitar de calcul în armătură preîntinsă este:

$$9192 \frac{57}{97,5} = 5374 \text{ daN/cm}^2,$$

efort unitar ce s-a luat în considerare la calculul eforturilor unitare principale.

In cazul luării în considerare a pierderii de tensiune $\Delta\sigma_e$ efortul unitar în armătura preîntinsă este:

$$8439 \frac{57}{97,5} = 4925 \text{ daN/cm}^2$$

Eforturile unitare principale sint:

$$\sigma_{b1} = -13,6 \text{ daN/cm}^2, \sigma_{b2} = 46,0 \text{ daN/cm}^2$$

Utilizarea relației (2.2) pentru efortul de precomprimare duce la un calcul descoperitor deoarece în realitate efortul unitar în fibra inferioară este de întindere (Fig.2.7).

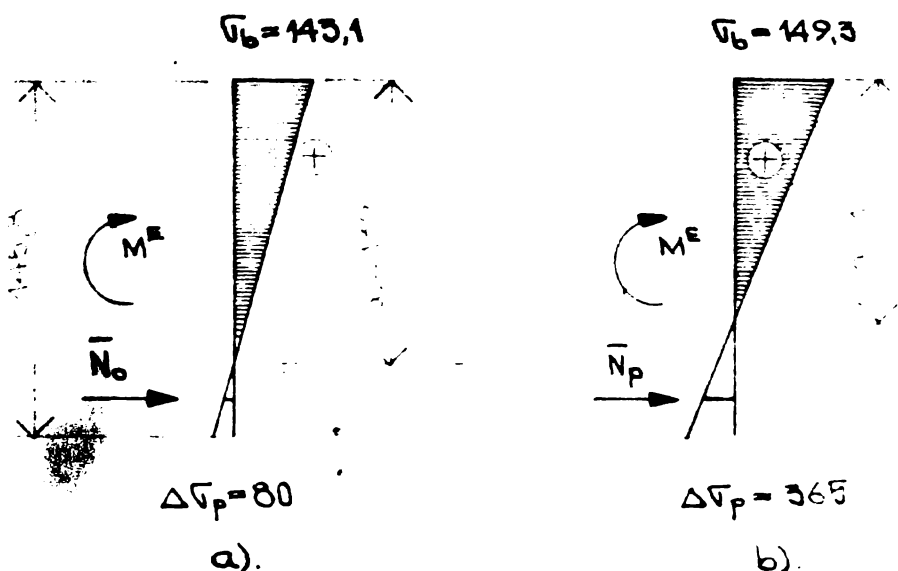


FIG.2.8. EFORȚURI UNITARE NORMALE ÎN SECȚIUNI FISURATE

Verificarea deschiderii fisurilor inclinate.

Se constată că utilizarea efortului real de precomprimare influențează puțin valorile eforturilor unitare principale astfel că se respectă

condiția de verificare, adică:

$$\frac{R_t^n}{R_c^n} \left(1 - \frac{\sigma_b^2}{R_c^n}\right) = 21 \left(1 - \frac{46}{290}\right) = 17,3 > 13,6 \text{ daN/cm}^2$$

Verificarea deschiderii fisurilor normale.

Condiția de verificare

$$\Delta\sigma_p < 1000 \text{ daN/cm}^2$$

este asigurată dar se constată o scădere a mărimi zonei comprimate cu 16%, un spor nesemnificativ al efortului unitar σ_b și un spor substanțial (4,5 ori) al efortului unitar $\Delta\sigma_p$.

Dăsi în acest caz condiția de verificare este îndeplinită, în alte situații se va ajunge la nerespectarea acestei condiții.

2.4.2. Calcule comparative privind influența efortului de precomprimare asupra momentului încovoiator de fisurare

Apariția fisurilor nu este luată în considerare ca o stare limită, totuși ea prezintă interes pentru cercetare și omologarea elementelor din beton precomprimat.

Calculul momentului încovoiator de fisurare pentru exemplu

plul de proiectare de la momentul 2.4.1.

Pentru calculul momentului încovoiector de fisurare se utilizează relația (3.43).

Valoarea momentului încovoiector de fisurare calculat pe baza efortului de precomprimare N_0 este:

$$\frac{M^S}{f_0} = 281,1 \text{ tm}$$

iar cea calculată cu luarea în considerare a efortului real de precomprimare \bar{N}_p este:

$$\frac{M^S}{f_p} = 264,9 \text{ tm}$$

Se constată o supraevaluare cu 9,9% a valorii momentului încovoiector de fisurare în cazul neglijării pierderii de tensiune din scurtarea elastică a betonului.

Calculul momentului încovoiector de fisurare pentru o serie de elemente precomprimate cu armătură postîntinsă

Pinglot-Pons efectuează în lucrarea /73/ și în studiu, cu suficiente date initiale pentru a permite o abordare ulterioară, asupra momentului încovoiector de fisurare al unor elemente precomprimate cu armătură postîntinsă și armături complementare (Fig.2.9) cu diferite grade de precomprimare. Drept grad de precomprimare autorii iau în considerare raportul dintre momentul încovoiector de rupere preluat numai de armătura pretensionată și momentul încovoiector de rupere preluat de ambele tipuri de armături, conform relației (4.2). În figura 2.9 se prezintă și gradele de precomprimare ale elementelor experimentale și stabilite în baza relației (4.4), deci ca raport între momentul încovoiector de decompresiune și momentul încovoiector de exploatare.

În evaluarea valorii efortului real de precomprimare N_p autorii au plecat de la deformațiile specifice ale betonului, înregistrate pînă în momentul încercării, ținînd astfel cont de efectul contractiei, surgerii lente, relaxării și al scurării elastice în momentul transferului.

Calculul valorii teoretice a momentului încovoiector de fisurare a fost făcut de Pinglot-Pons admitînd ipoteza comportării elastice a betonului întins. Plecînd de la relația (2.5) s-a determinat valoarea efortului convențional de precomprimare N_0 și apoi momentul încovoiector teoretic de fisurare, în aceeași ipoteză a comportării elastice a betonului întins.

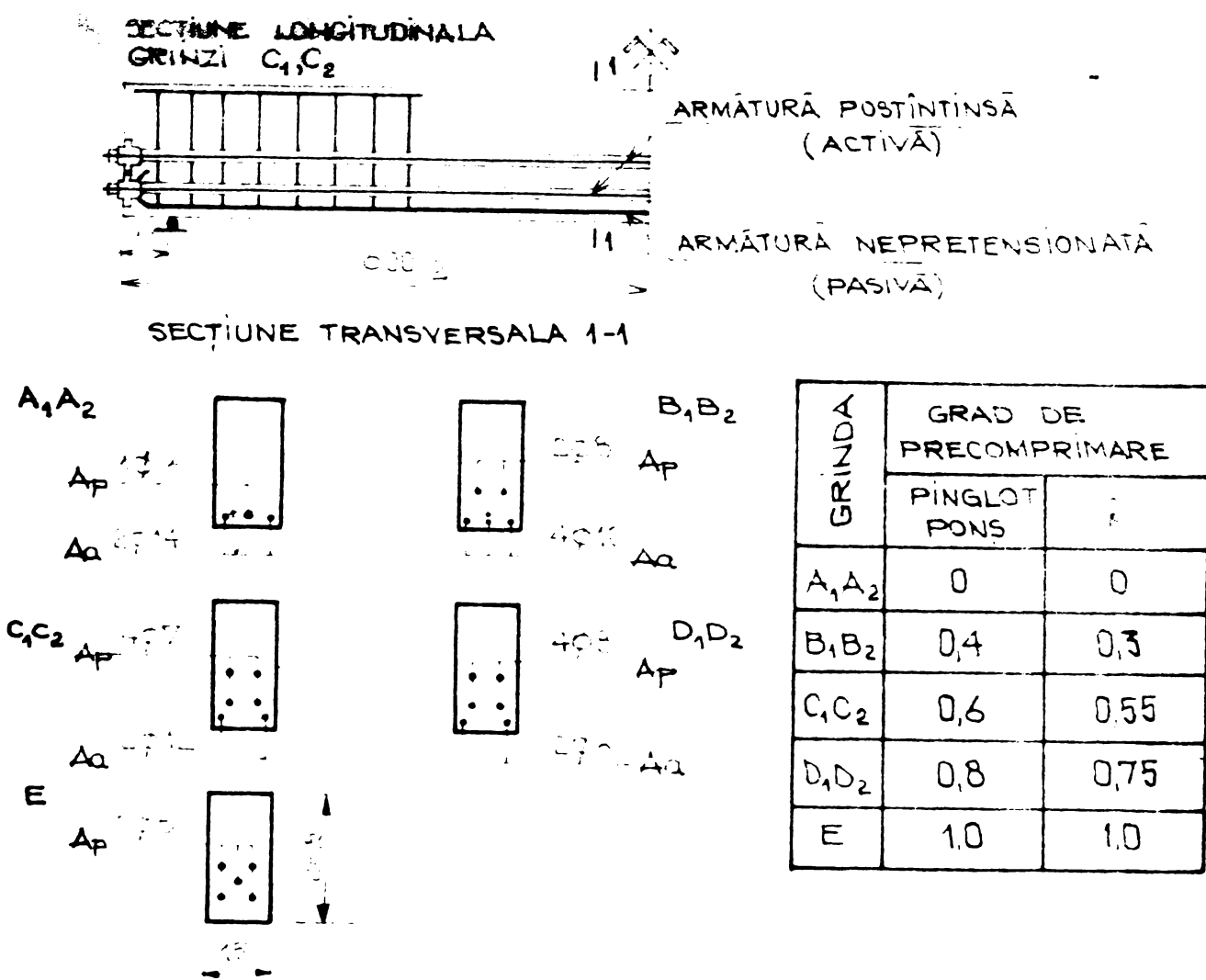


FIG. 2.9. ELEMENTE EXPERIMENTALE PINGLOT-PONS

In tabelul 2.3 sunt prezentate rezultatele calculelor, constatindu-se următoarile:

- avind în vedere ariile mici de armături pretensionată supraevaluarea efortului convențional de precomprimare N_0 este mic, începînd să devină sensibil numai la grinda ..;

- la grinzile la care raportul dintre momentul încovoiator experimental de fisurare și cel teoretic este ≤ 1 , utilizarea efortului convențional de precomprimare conduce la reducerea acestui raport;

- supraevaluarea valorii teoretice a momentului încovoiator de fisurare este nesemnificativă în cazul acestor grinză din cauza cantităților reduse de armături; corelînd rezultatele din tabelul 2.3 și rezultatul de la calculul momentului încovoiator de fisurare pentru exemplul de proiectare se constată că supraevaluarea crește cu creșterea cantității de armături.

Tabelul 2.3

Compararea momentelor încovoietoare de fizurare

| Cota- da de arm- ătură t_p | Efort unitar în arm. pretenso- nată (daN/cm^2) | Efort de precampli- mare (daN) | Supra- rea ef- covant. | Moment de fizurare (daNm) | Valori relative | |
|---|--|--|------------------------------|---------------------------|-------------------------------|---------------------------------------|
| | | | | | expres- rin. real conv. | teoretic de ba- za lui N. f. |
| B ₁ | 1,0 | 3,24 | 12464 | 12651 | 1,5 | 1720 |
| B ₂ | | 12487 | 12651 | 12661 | 1,4 | 1850 |
| C ₁ | 1,54 | 2,26 | 12507 | 12768 | 19261 | 19663 |
| C ₂ | | 12448 | 12710 | 19170 | 19574 | 2,1 |
| D ₁ | 2,01 | 1,0 | 12361 | 12734 | 24346 | 25599 |
| D ₂ | | 12294 | 12655 | 24711 | 25436 | 3,0 |
| E | 2,5 | - | 12185 | 12743 | 30624 | 31857 |

(%)

M_e
 M_f

M_{tp}
 M_f

- 31 -

2.5. Concluzii privind luarea în considerare a pierderii de tensiune din scurtarea elastică a betonului

Existența pierderii de tensiune din scurtarea elastică a betonului $\Delta \sigma_e$ este un fapt care trebuie luat în considerare pentru realizarea siguranței elementului.

Pentru a aprofunda efectul pierderii de tensiune $\Delta \sigma_e$ asupra efortului real din armătura pretenzionată în cadrul prelucrării statistiche, prezentată la punctul 2.3.1, s-a calculat și valoarea coeficientului ω_i pentru cele 193 de elemente tipizate prevăzute numai cu armături prefintinsă la partea inferioară. În cazul elementelor cu armătură prefintinse, prevăzute numai la partea inferioară, coeficientul ω_i arată măsura în care efortul unitar real din armătura este mai mic decât efortul unitar de calcul (vezi relația 3.23'')

Valorile extreme, medii și coeficienții de variație obținuți, pe grupe de elemente și pe ansamblu sunt prezentate în tabelul 2.4.

Valorile coeficientilor ω_i formează o distribuție normală de valori, după cum rezultă din rețeaua de probabilitate (fig. 2.10). Pentru verificarea normalității distribuției s-a aplicat în prealabil criteriul Chauvenet de eliminare a rezultatelor extreme. În urma aplicării acestui criteriu au rămas 188 valori cuprinse în intervalul /1,02; 1,20/.

În cazul grinziilor secundare și al elementelor de acoperis există o mai mare împrăștiere a valorilor coeficientului ω_i .

Se constată că efortul unitar real este cu 2,1...23,7% mai mic decât efortul unitar de calcul care se ia în considerare la evaluarea efortului de precomprimare. Desigur că valorile inferioare nu vor avea efecte sensibile asupra stării de eforturi unitare din element.

În figura 2.11 se prezintă, pe categorii de elemente, zona de dispunere a coeficientelor ω_i . Se relevă, încă odată, împrăștiearea valorilor pentru grinziile secundare și elementelor de acoperis, în timp ce la toate categoriile de grinzi există o suprapunere, aproape perfectă, a zonelor de dispunere.

Tabelul 2.4

Rezumatul prelucrării coeficientului ω_i

| Element | limita inf. limita sup. | Valoarea medie | Coefficientul de variație (%) |
|---|----------------------------|-------------------|-------------------------------------|
| Grinzi principale longitudinale | 1,021 1,113 | 1,066 | 2,017 |
| Grinzi principale transversale | 1,023 1,116 | 1,064 | 1,739 |
| Grinzi secundare | 1,050 1,232 | 1,133 | 6,605 |
| Elemente de acoperis | 1,066 1,287 | 1,075 | 5,063 |
| Elemente de planșeu | 1,062 1,119 | 1,092 | 1,523 |
| Grinzi de rulare | 1,053 1,190 | 1,075 | 1,241 |
| Ansamblul de elemente supuse prelucrării | 1,021 1,287 | 1,077 | 3,51 |

După cum s-a arătat mai înainte valorile mici ale coeficientului ω_i nu vor influența în mod sensibil starea de eforturi unitare. Pentru a stabili o valoare a coeficientului ω_i sub care să nu fie necesară introducerea în calcule a pierderii de tensiune din

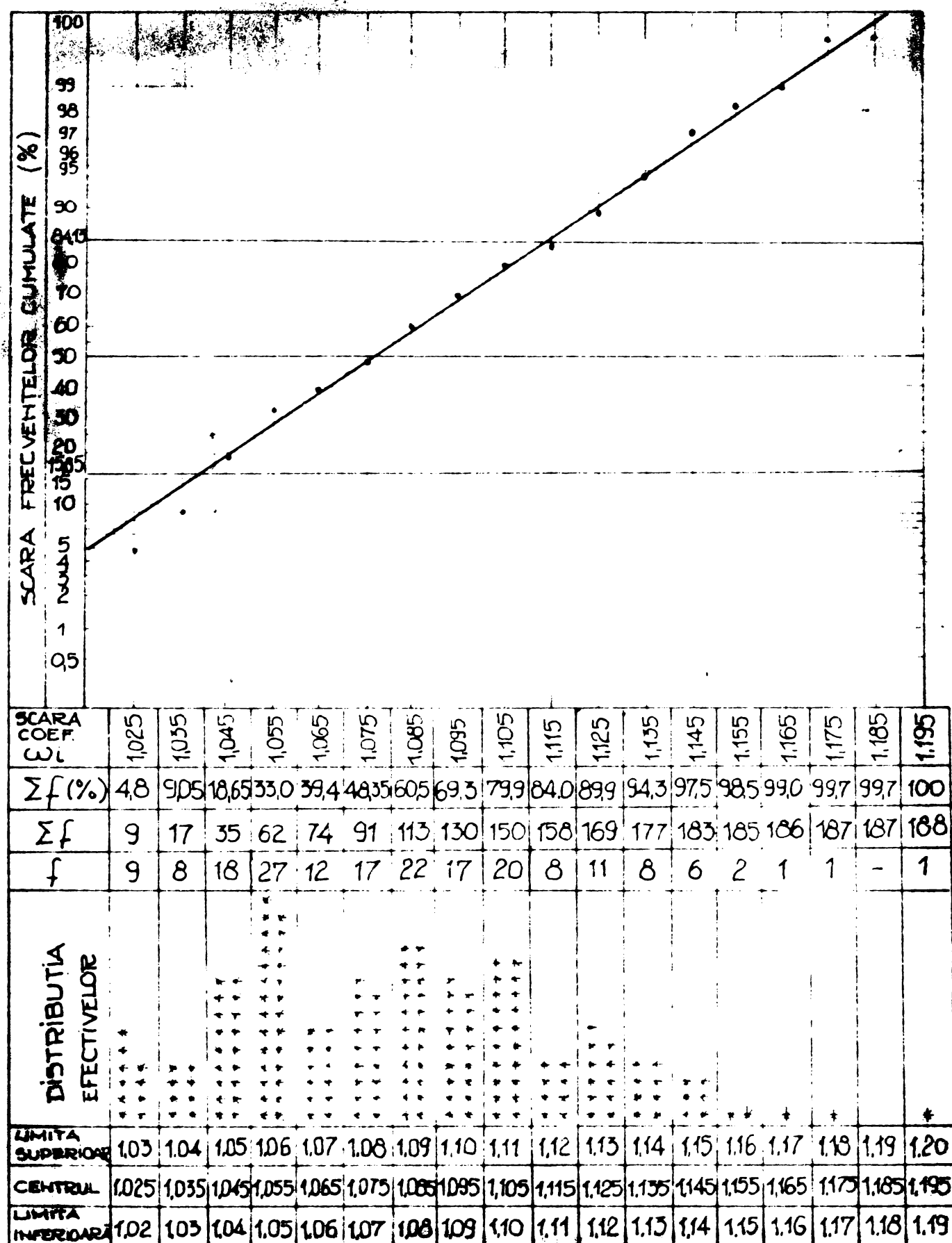


Fig. 2.10. VERIFICAREA NORMALITĂȚII DISTRIBUȚIEI COEFICIENTULUI ω_i

urarea elastică a betonului s-a calculat procentul de elemente la re coeficientul ω_i este mai mic decit 1,03, respectiv decit 1,05, tuția fiind următoarea:

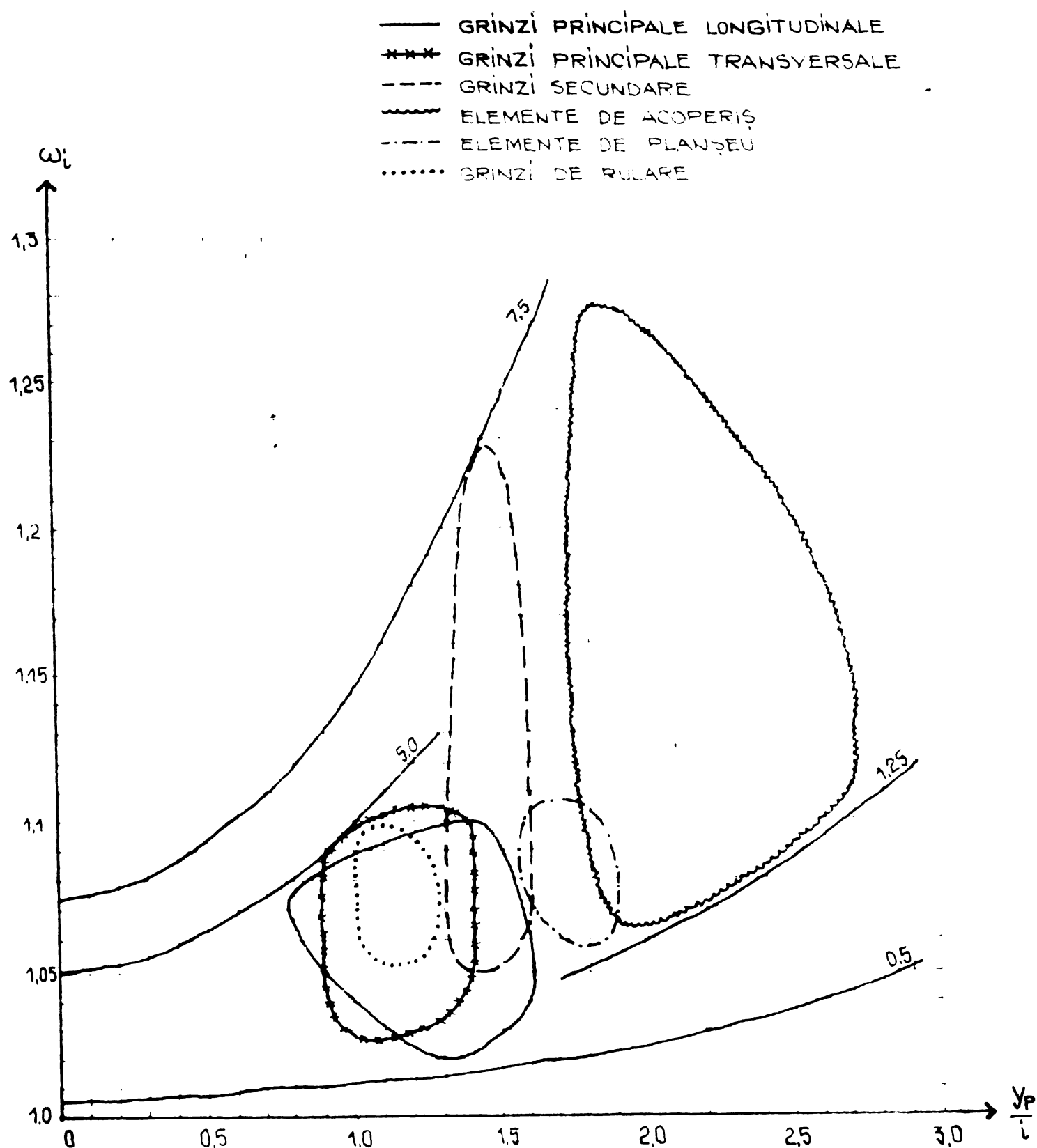


FIG 2.11. ZONELE DE DISPUNERE, PE CATEGORII DE ELEMENTE, A COEFICIENTULUI ω_i .

1,56 % din elemente au coeficientul ω_i sub 1,03

18,15% din elemente au coeficientul ω_i sub 1,05

Având în vedere că procentul de elemente la care coeficientul ω_i este sub 1,05 este ridicat se ia valoarea $\omega_i = 1,03$ ca limită sub care se poate neglija efectul pierderii de tensiune din scurtarea

elastică în casul elementelor cu armătură preîntinsă.

Principalele concluzii, care se desprind din analiza efectuată, sunt următoarele:

- neluarea în considerare a pierderii de tensiune din scurtarea elastică conduce la un calcul acoperitor, în fază inițială, la elementele cu armătură preîntinsă;

- neluarea în considerare a acestei pierderi de tensiune conduce la un calcul descoperitor la verificarea la fisurare a elementelor precomprimate, cu armătură pre- și postîntinsă, în secțiuni normale în faza de exploatare;

- efortul unitar real din armătura preîntinsă este, în medie, cu 6,5...9,5 % mai mic decât efortul unitar de calcul care se ia în considerare la determinarea efortului de precomprimare;

- efectul pierderii de tensiune din scurtarea elastică a betonului poate fi neglijat atunci cînd procentul de armare al armăturii preîntinse $p_p = 100 A_p / A_{b,i}$ este situat sub valorile:

| | | |
|--------------------|------------------------|---|
| 0,430 pentru B 500 | cînd $y_p/i \leq 0,45$ | 0,259 pentru B 500 |
| 0,463 pentru B 600 | | 0,278 pentru B 600 cînd $y_p/i \leq 1,00$ |

| | | |
|--------------------|------------------------|---|
| 0,345 pentru B 500 | | 0,172 pentru B 500 |
| 0,370 pentru B 600 | cînd $y_p/i \leq 0,75$ | 0,185 pentru B 600 cînd $y_p/i \leq 1,75$ |

| | |
|--------------------|------------------------|
| 0,086 pentru B 500 | |
| 0,093 pentru B 600 | cînd $y_p/i \leq 2,25$ |

- faptul că elementele executate pînă în prezent lucrează în condiții corespunzătoare, deși efortul de precomprimare este supraevaluat, conduce la concluzia că încarcările efective de exploatare nu ating valorile prevăzute în norme, fiind deci posibil o reevaluare a acestora.

3. CALCULUL EPORTURILOR UNITARE ÎN SECTIUNILE NORMALE ALE ELEMENTELOR COMPUSE BETON PRECOMPRIMAT - BETON ARMAT.

3.1. Aspecte generale

Materialele tradiționale de construcții betonul, otelul, lemnul, prezintă fiecare în parte anumite avantaje și dezavantaje. Unele deficiențe pot fi înălăturate prin diferite procedee. De exemplu comportarea deficitară a betonului la întindere poate fi îmbunătățită prin armare dispersă cu fibre sau poate fi suplinită prin ar-

mare sau precomprimare, etc. Dezavantajele unui material nu trebuie să fie legate neapărat de proprietățile lui fizico-mecanice, dezavantajele putind să fie și de ordin economic, așa cum ar fi costul ridicat al materialului (otelul), faptul de a fi energo-intensiv (otelul, cimentul, granulitul) sau faptul de a fi material deficitar (otelul, cimentul).

Pe lîngă aceste aspecte mai pot apărea dificultăți tehnologice așa cum ar fi manipularea unor elemente grele sau probleme legate de funcționarea corespunzătoare în exploatare a structurilor prefabricate din beton armat sau precomprimat.

Pentru înălțurarea unor deficiențe tehnice și/sau economice pot fi găsite și alte soluții de realizare a elementelor de construcții așa cum ar fi de exemplu crearea de elemente compuse.

Efectul creerii de elemente compuse asupra greutății și prețului de cost pentru podurile construite în Japonia pînă în anul 1962 este analizat de Iwamoto, fiind evident avantajul elementelor compuse (Tabelul 3.1).

Tabelul 3.1

Greutatea și costului unui

pod de 3 x 32 m

| Tipul de element | Greutate | Cost |
|------------------|----------|------|
| Necompus | 100% | 100% |
| Compus | 87,5 | 92,5 |

puse (Fig.3.1).

Sieess a analizat efectul utilizării secțiunilor compuse otel-beton asupra greutății unor poduri cu deschideri de 9...27 m și cu distanță interax grinzi de 1,5....2,2 m, avantajul fiind net în favoarea elementelor compuse (Fig.3.1).

Pe linia realizării de elemente compuse în intervalul 1929 - 1930 ing.E.Prager construiește pe Calea Victoriei un bloc de locuințe cu planșee ceramice cu grosime totală de 21 cm și deschidere maximă de 6,5 m.

Preocupările în privința realizării de elemente compuse au existat încă din 1914 în Anglia, prin crearea de elemente compuse otel-beton, aceste preocupări fiind sistematizate de Scott și Caughey în 1925. Gillspey se preocupă în 1923 de încercări pe elemente realizate din profile I înglobate în beton, încercări realizate în cadrul lui Canadian Dominion Bridge Company.

Incepînd cu 1940 în Italia se trece pe scări largă la execuțarea de elemente compuse beton precomprimat - beton armat la realizarea podurilor.

Primele recomandări de proiectare a elementelor compuse pen-

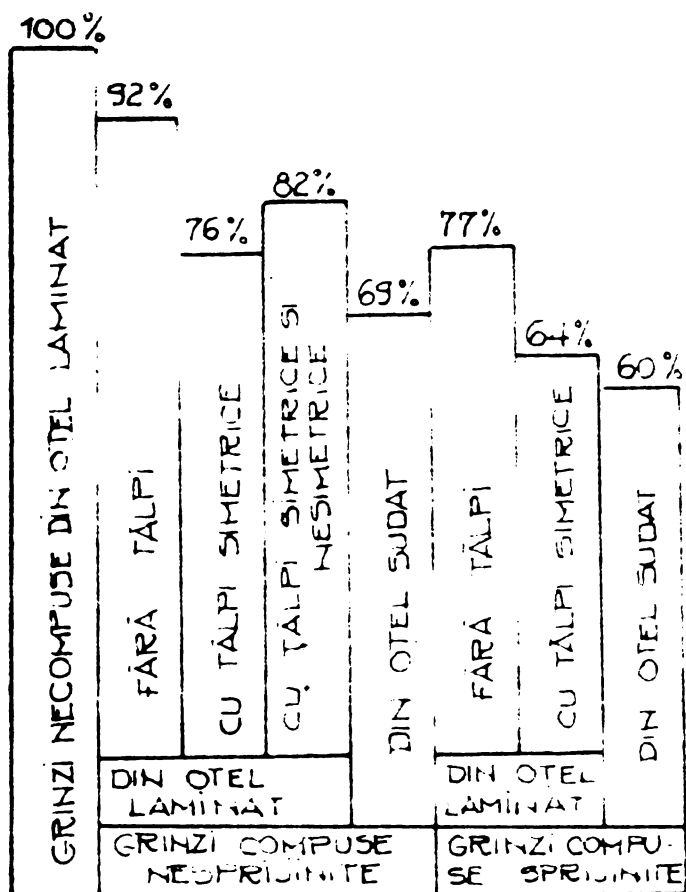


Fig.3.1 GREUTATEA RELATIVĂ A GRINZILOR DE POD SIMPLU REZEMATE

goluri precomprimate, etc. De asemenea în realizarea planșelor construcțiilor civile și industriale pot fi folosite grinzi cu secțiune compusă. În figura 3.3. se prezintă o soluție curentă în țara noastră pentru realizarea planșelor construcțiilor industriale prin utilizarea elementelor \tilde{t}_t precomprimate cu suprabetonare. În figura 3.4. se prezintă secțiunea transversală printr-un planșeu compus cu nervuri dese.

Utilizarea elementelor compuse a luat o largă dezvoltare în realizarea dalelor pline de poduri (Fig.3.5) sau cu goluri (fig. 3.6), precum și în realizarea tablierelor pe grinzi cu dală turnată monolit (Fig.3.7).

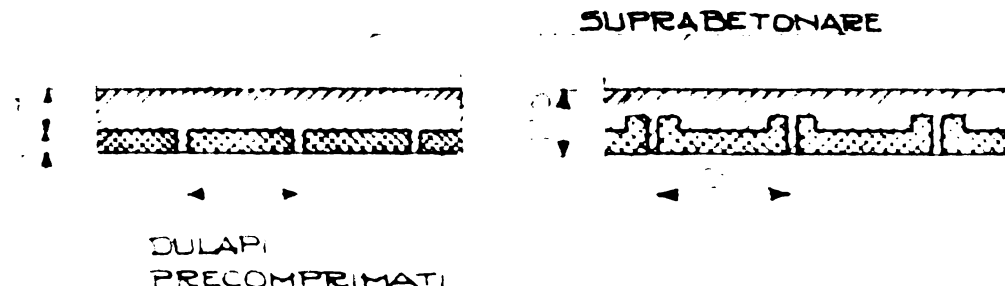


Fig.3.2. PLACI CU SECȚIUNE COMPUȘA

tru poduri au apărut în SUA în anul 1944 (AASTHO Codes) iar pentru clădiri în anul 1960 (ACI-ASCE Committee 333), urmate fiind de normele germane în 1945.

Elementele compuse beton precomprimat - beton armat au în prezent o largă extindere atât în realizarea construcțiilor civile și industriale cît și în realizarea tablierelor de poduri.

În realizarea plăcilor de planșeu, ca elemente compuse, în construcții civile, industriale și poduri se pot utiliza dulapi precomprimăți (Fig.3.2), făgăi cu

Dintre avantajele elementelor compuse beton precomprimat-beton armat se rețin următoarele:
- reducerea greutății elementelor și implicit

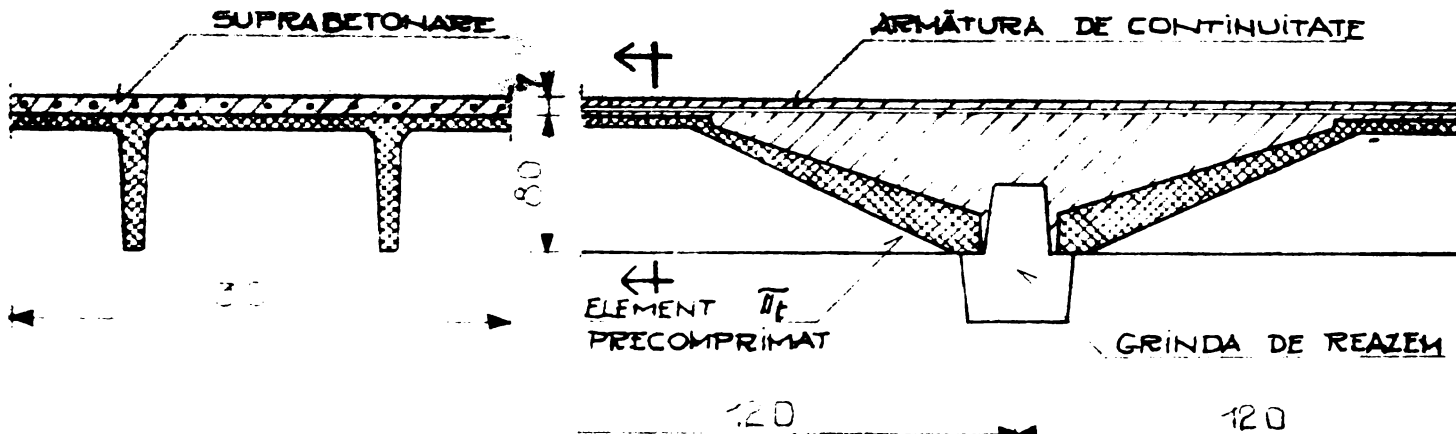


Fig. 3.3 REALIZAREA CONTINUITĂȚII PE REAZEM

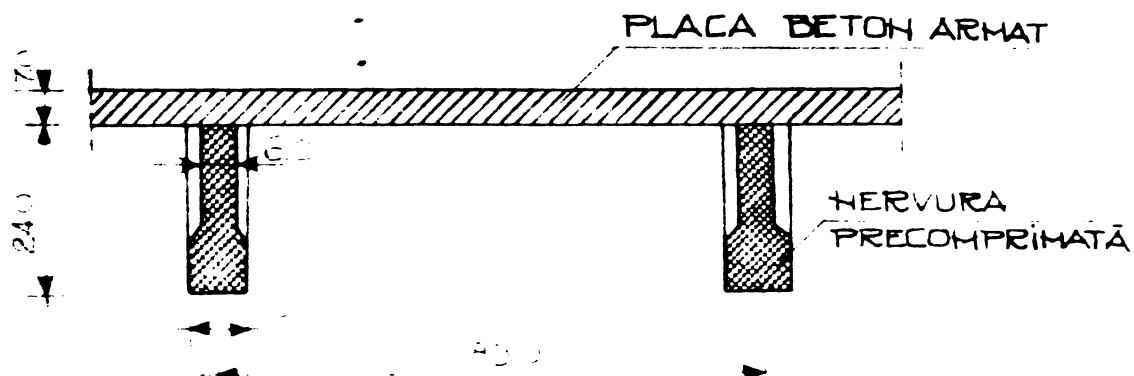


Fig. 3.4. PLANSEU CU SECȚIUNE COMPUȘĂ (ANGLIA)

folosirea unor utilaje ujoare de transport și montaj;

- zona de beton armat, turnată monolit, asigură structurii toate avantajele structurilor monolite;
- eliminarea

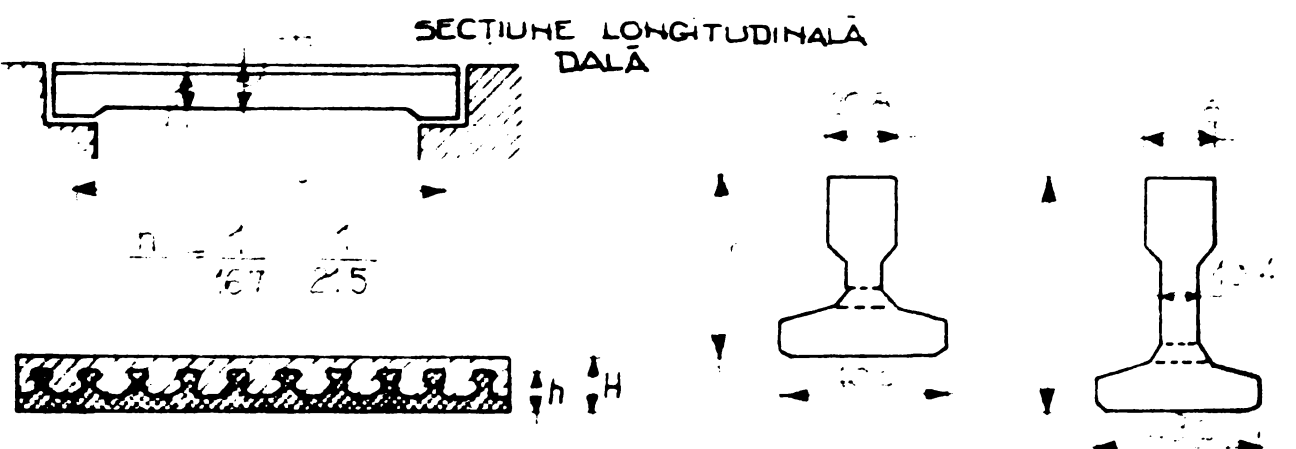


Fig. 3.5. DALĂ PLINĂ TIPIZATĂ (SUA)

partială sau totală a cofrajelor (Fig. 3.5) și susținerile acestora;

- realizarea continuății pe reazeze (Fig. 3.3) cu toate avantajele ce decurg de aici;

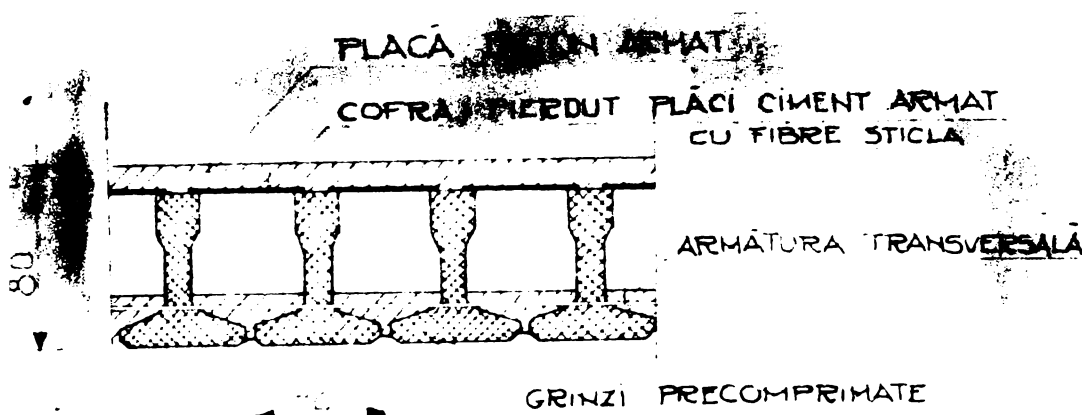


Fig. 3.6 DALĂ COMPUŞĂ CU GOLURI

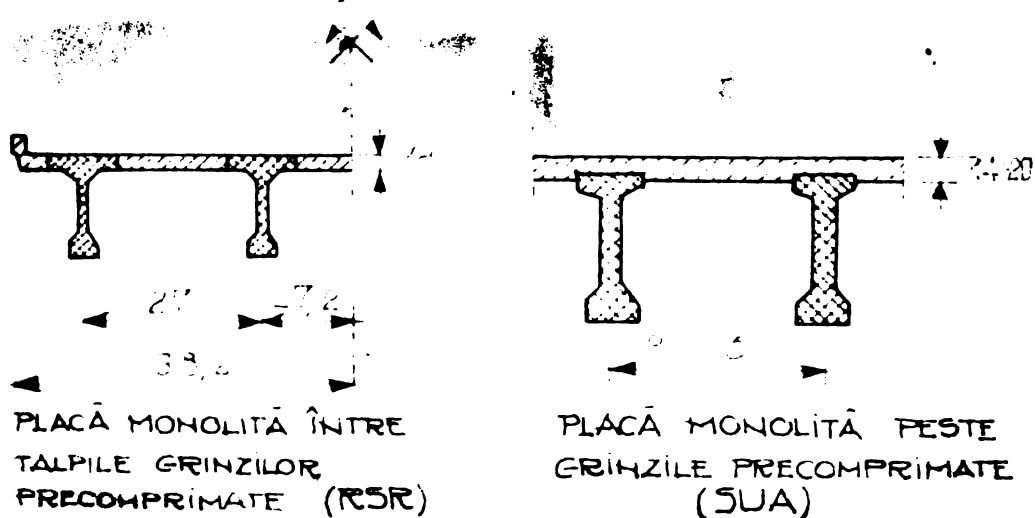


Fig. 3.7 TABLIER DE POD PE GRINZI COMPUSE

mecanismul de calcul al elementelor compuse beton precomprimat - beton armat este mai complicat, fiind deci necesar un timp mai mare pentru încheierea proiectării.

De asemenea există încă o serie de probleme, așa cum ar fi evaluarea corectă a eforturilor unitare în secțiunile normale ținând cont de efectul curgerii lente și al contractiei care sunt diferite pentru cele două tipuri de beton. Cunoasterea exactă a stării de eforturi unitare este necesară pentru evaluarea corectă a siguranței elementului în funcție de clasa de fisurabilitate.

Pentru analiza stării de eforturi unitare se ia în considerare o precomprimare în etape, prima etapă realizându-se cu armături preîntinsă iar etapa următoare, după montarea elementelor și aplicarea unor încărcări permanente, realizându-se cu ajutorul armăturii post-intinse.

Elementele compuse beton precomprimat - beton armat trec prin următoarele faze:

- economii de oțel pentru armăturile pretensionate deoarece se precomprimă o secțiune mai mică;

- dispunerea materialelor în zonele în care fiecare lucrează în modul cel mai corespunzător (betonul armat în zona comprimată, betonul precomprimat în zona întinsă);

- economii de ciment deoarece o parte a secțiunii se execută dintr-un beton de calitate mai redusă,

Pe de altă parte este de subliniat faptul că

timpul t_1 - transferul armăturii preîntinse (toroane): faza initială;

timpul t_2 - executarea portiunii de beton armat;

timpul t_3 - realizarea conlucrării dintre cele două tipuri de beton, conlucrarea considerindu-se efectivă atunci cînd betonul armat a atins 70...80% din marca prescrisă /19/, /86/; imediat înaintea realizării conlucrării: faza intermediară; în funcție de destinația elementului se pot aplica unele încărcări permanente și eventual se poate trece la pretensionarea armăturii postîntinse (fascicole): faza de postîntindere; în funcție de destinația elementului acesta poate fi dat în exploatare: faza de dare în exploatare.

timpul t_∞ - consumarea totală a pierderilor de tensiune și aplicarea tuturor încărcărilor pe element: faza finală.

Față de succesiunea acceptată pentru unele situații pot apărea modificări, care însă nu schimbă esența fenomenelor ce se produc.

Analizînd succesiunea fazelor prin care trece un element compus se constată existența a două etape mari:

- etapa I durează pînă în momentul realizării secțiunii compuse (faza intermediară), fiind caracterizată prin consumarea parțială a contractiei și curgerii lente a betonului precomprimat și prin consumarea parțială a contractiei betonului armat;

- etapa II începe din momentul realizării secțiunii compuse și durează pînă la consumarea totală a deformatiilor din contractie și curgere lentă în ambele tipuri de beton.

Avînd în vedere faptul că cele două tipuri de beton au mărți diferite secțiunea transversală reală se transformă într-o secțiune de calcul. Această transformare se face prin înmulțirea lițimii portiunii de beton armat (Fig.3.8) cu coeficientul de echivalentă n_b al betonului armat.

Pentru transformarea secțiunii prefabricate/compoze într-o secțiune ideală ariile armăturilor preîntinse și postîntinse și ale armăturii nepretensionate de rezistență (complementară), dacă aceasta există, se înmulțesc cu următorii coeficienți de echivalentă:

$$n_{pl} = \frac{E_{pl}}{E_{bp}} \quad n_{p2} = \frac{E_{p2}}{E_{bp}} \quad n_a = \frac{E_a}{E_{bp}}$$

unde: E_{bp} este modulul de elasticitate al betonului precomprimat;

E_{pl} - modulul de elasticitate al armăturii preîntinse;

E_{p2} - modulul de elasticitate al armăturii postîntinse;

E_a - modulul de elasticitate al armăturii complementare.

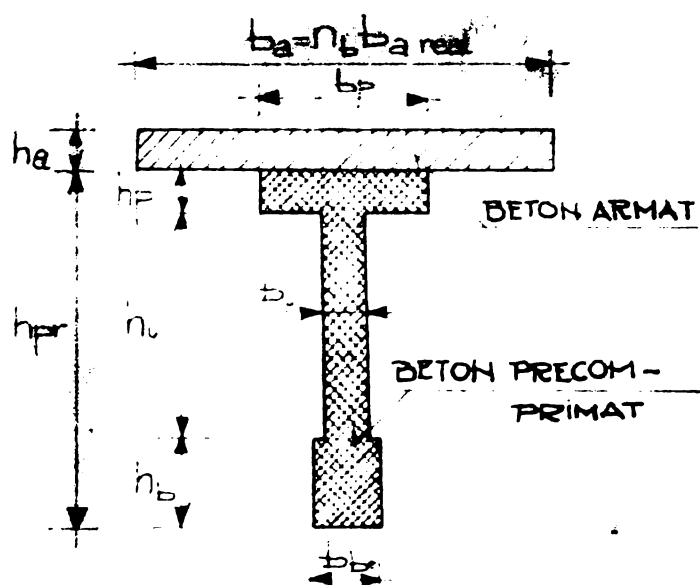


Fig. 3.8. SECTIUNEA COMPUȘĂ DE CALCUL

În figura 3.8 se prezintă secțiunea compusă de calcul. Secțiunea este alcătuită dintr-un beton precomprimat și un beton armat. Dimensiunile sunt indicate în figura 3.8.

Pentru cazul curent al armăturii preîntinse realizată din toroane și al armăturii postîntinse realizată din fascicole $E_{pl} = E_{p2}$. În cele ce urmează se va considera cazul general cînd $E_{pl} \neq E_{p2}$.

Coefficientul de echivalentă al betonului depinde de faza de calcul și de stadiul de lucru al elementului (stadiul I sau II). Particularizarea acestui coefficient de echivalentă se va face pentru fiecare situație în parte.

Pe de altă parte modulul de elasticitate al betonului precomprimat E_{bp} și cel al betonului armat E_{ba} sunt funcții de timp, deci și coeficienții de echivalentă ai armăturilor vor depinde de faza de calcul și de stadiul de lucru al elementului.

3.2. Influenta contractiei și curgerii lente asupra stării de eforturi unitare normale din elementele compuse beton precomprimat - beton armat

Sub efectul încărcărilor exterioare betonul suferă deformații elastice, plastice și viscoase. Deformațiile plastice se datoresc microfisurilor ce se produc în masa betonului în timp ce deformațiile viscoase se datoresc viscozității gelurilor ce intră în componența pietrei de ciment.

Pe lîngă aceste deformații betonul mai suferă fenomenul spontan al contractiei.

Deformațiile din contractie și curgere lenta sunt fenomene covalente așa cum rezultă din cercetările lui L'Hermite (Fig. 3.9)/6/.

Deformația totală din contractie și curgere lenta este proporțională cu efortul unitar, care produce curgerea lenta, atunci cînd acest efort unitar este mare. În acest caz influența curgerii lente este hotărîtoare. Atunci cînd efortul unitar, care produce curgerea lenta, este mic această proporționalitate dispare și contractia devine hotărîtoare.

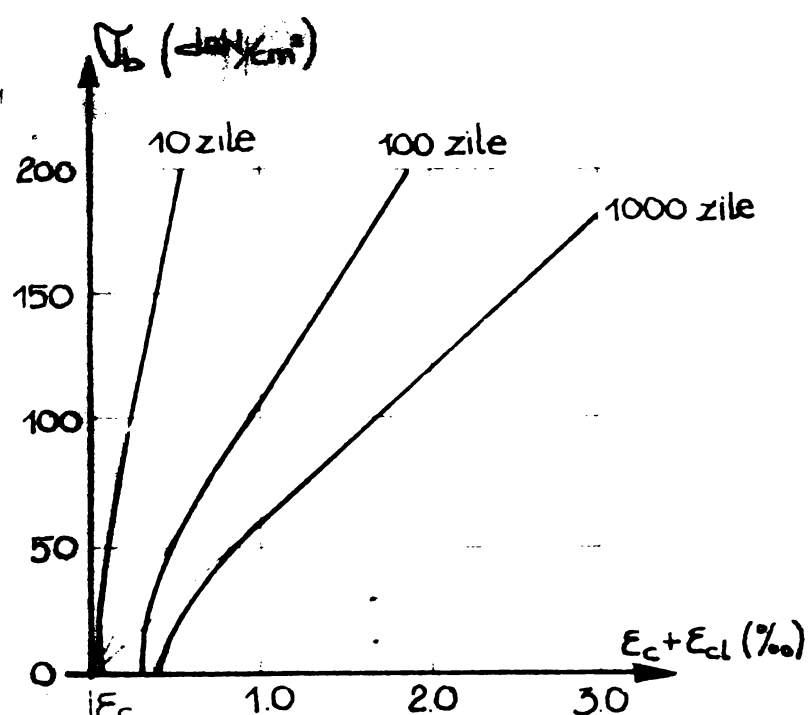


Fig. 3.9. DEFORMAȚIA TOTALĂ DIN CONTRACTIE ȘI CURGERE LENTĂ

re lenta în determinarea pierderii de tensiune $\Delta \tilde{\sigma}_y$.

Pentru cazurile speciale în /109/ se prevede și posibilitatea de a introduce în mod explicit și efectul contractiei în determinarea pierderii de tensiune $\Delta \tilde{\sigma}_y$.

Această procedură este prevăzută de /110/ și /111/ pentru calculul pierderii de tensiune $\Delta \tilde{\sigma}_y$ la elementele precomprimate folosite la realizarea suprastructurilor de poduri.

In cazul elementelor compuse beton precomprimat - beton armat influența contractiei și curgerii lente se resimte prin intermediul pierderii de tensiune $\Delta \tilde{\sigma}_y$ și prin introducerea unei stări suplimentare de eforturi unitare în etapa II, din cauza deformațiilor diferite din contractie și curgere lentă ale celor două tipuri de beton. Deformațiile din contractie și curgere lentă, în etapa II, sunt diferite la cele două tipuri de beton, ele depinzând de:

- valorile finale diferite ale deformațiilor specifice din contractie și curgere lentă ale celor două tipuri de beton;
- valoarea timpului t_3 care stabilește începutul etapei II.

3.2.1. Dezvoltarea deformațiilor specifice din contractie și curgere lentă

3.2.1.1. Dezvoltarea deformațiilor specifice din contractie

Mărimea deformației din contractie depinde de numeroși fac-

Efectul contractiei și curgerii lente asupra stării de eforturi unitare din elementele precomprime se face resimțit prin intermediul indirect al pierderii de tensiune din contractie și curgere lenta $\Delta \tilde{\sigma}_y$.

Normele românești /107/, /108/ și /116/ pentru calculul elementelor precomprime folosite în construcții civile și industriale țin cont de proporționalitatea ce există între efortul unitar din beton și deformația specifică totală din contractie și curgere lenta în determinarea pierderii de tensiune $\Delta \tilde{\sigma}_y$.

tori: cantitatea și calitatea cimentului, raportul a/c, natura și granulozitatea agregatelor, modul de compactare, dimensiunile elementelor, condițiile de păstrare, timpul de la prepararea betonului etc.

Pentru valoarea finală a contractiei Cestelli Guidi recomandă pentru climatul Italiei valori cuprinse în intervalul 0,3...0,5, adoptind o variație exponențială funcție de timp /28/.

Gibson recomandă următoarele valori finale ale contractiei /47/:

elemente în aer foarte umed deasupra apei 0,05...0,15

elemente în aer liber 0,15...0,20

elemente în aer uscat (spatii inchise) 0,20...0,30

Pentru a ține cont de existența armăturii, Gibson ia în considerare coeficientul de reducere a valorii finale γ_{contr} , propus de Ulički, funcție de caracteristica finală a curgerii lente și de produsul $n\mu$.

In vederea determinării contractiei la un timp t este utilizată relația:

$$\varepsilon_t = \varepsilon_{\text{fin}} (1 - e^{-pt}), \text{ cu } p = 1,5...2,0$$

Pentru evaluarea valorii finale a contractiei Guyon utilizează relația /48/:

$$\gamma_{\infty} = \frac{(1-p)}{0,4 + e} \frac{E}{500} (1 + \frac{C}{E})$$

unde: p - este umiditatea relativă a mediului ambiant;

e - dimensiunea cea mai mică a elementului (m);

E - cantitatea de apă (kg/m^3);

C - dozajul de ciment (kg/m^3).

Pentru stabilirea contractiei la un timp t (luni) Guyon recomandă utilizarea relației:

$$\gamma_t = \gamma_{\infty} \frac{(1.5 + t)t}{1 + 4t + t^2}$$

prevăzută în normele braziliene.

Cavaleri de bază pentru mărimea finală a contractiei, în condiții standard, Brenson /86/ propune următoarele valori:

maximă ($\varepsilon_{sh,u}$) = 1,07

medie ($\varepsilon_{sh,u}$) = 0,78

minimă ($\varepsilon_{sh,u}$) = 0,415

Condițiile standard sunt caracterizate prin:

- umiditatea relativă a mediului ambiant $\leq 40\%$

- grosimea medie a elementului 15 cm.

Pentru umidități relative ale mediului ambiant $H > 40\%$ se introduce coeficientul de corecție:

$$(C.F.)_H = \begin{cases} 1,4 - 0,01 H & \text{cind } 40\% < H \leq 80\% \\ 3,0 - 0,03 H & \text{cind } 80\% < H \leq 100\% \end{cases}$$

Pentru elemente cu grosimi $T > 15$ cm se introduce coeficientul de corecție:

$$(C.F.)_T = 1,17 - 0,011 T$$

Pentru grosimi $T < 15$ cm se indică utilizarea coeficientilor prevăzuți de recomandările CEB - FIP 1970.

Cind dimensiunea elementului depășește 30...40 cm se recomandă să se țină cont și de volumul specific al acestuia V/S , atunci cind $V/S \geq 3,8$ cm. Introducerea acestei influențe se face prin coeficientul de corecție:

$$(C.F.)_{VS} = 1,14 - 0,035 V/S$$

Pentru stabilirea contractiei la un timp t mai mare decât 7 zile, pentru betonul întărit în condiții normale, respectiv pentru t mai mare decât o zi, pentru betonul tratat termic, Branson recomandă:

$$(\varepsilon_{sh})_t = \begin{cases} \frac{t}{35+t} (\varepsilon_{sh})_u & \text{beton întărit în condiții normale} \\ \frac{t}{55+t} (\varepsilon_{sh})_u & \text{beton tratat termic} \end{cases}$$

Această procedură de evaluare a mărimii contractiei este acceptată și de ACI Committe 209.

Codul Model CEB-FIP /112/ prevede pentru calculul deformatiei specifice din contractie în intervalul de timp $t_0 \dots t$ relația:

$$\varepsilon_s(t, t_0) = \varepsilon_{s0} [\beta_s(t) - \beta_s(t_0)] (\%) \quad (3.1)$$

unde: $\varepsilon_{s0} = \varepsilon_{s1} \cdot \varepsilon_{s2}$ - coeficientul de bază al contractiei

ε_{s1} - coeficient ce depinde de mediul ambiant și are valorile:

0,13 atmosferă foarte umedă (umiditate 90%)

0,32 mediu exterior, în general (umiditate 70%)

0,52 atmosferă foarte uscată (umiditate 40%)

ε_{s2} - coeficient ce depinde de grosimea fictivă a elementului h_0 și se determină din figura 3.10;

β_s - funcția de dezvoltare în timp a contractiei și care depinde de grosimea fictivă h_0 (Fig.3.11);

Dacă temperatura mediului ambiant T , în care se produce întărirea betonului, diferă sensibil de 20°C , atunci vîrstele reale t și t_0 se corectează în funcție de numărul de zile în care temperatura a

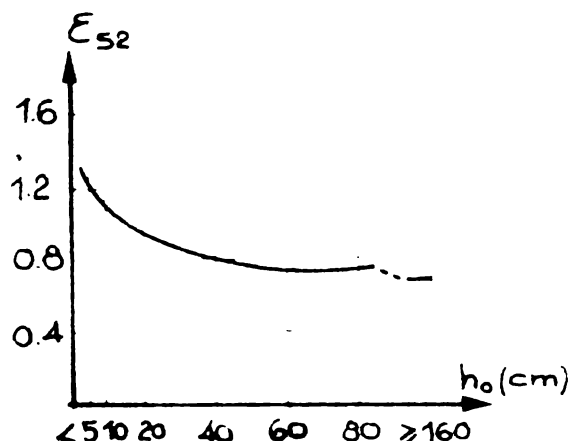


Fig. 3.10. INFLUENTA GROSIMII FICTIVE ASUPRA CONTRACTIEI

avut valoarea T .

Grosimea fictivă este dată de relația:

$$h_0 = \lambda \frac{2A_c}{u}$$

unde: A_c este aria secțiunii de beton;

u – perimetrul în contact cu atmosfera;

$\lambda = 5$ pentru atmosferă foarte umedă (umiditate 90%)

1,5 pentru mediu exterior, în general (umiditate 70%)

1,0 pentru atmosferă foarte uscată (umiditate 40%)

Valoarea finală a contractiei se obține înlocuind în relația (3.1) $t_0 = 1$ zi și $t = t_\infty \geq 10000$ zile. Înălțind în considerare o grosime fictivă mai mare decât 10 cm (cazurile mai frecvente) relația (3.1) devine:

$$\varepsilon_s(t_\infty, 1) = \varepsilon_{s0} (\%) \quad (3.1')$$

Pentru cazurile cînd nu se cere o precizie deosebită Codul Model admite valorile finale $\varepsilon_s(t_\infty, t_0)$ ale contractiei, prezentate în tabelul 3.2.

Tabelul 3.2

Valorile finale ale contractiei $\varepsilon_s(t_\infty, t_0)$ (%)

| Umiditatea relativă a mediului | 75% atmosferă umedă, exterior | | 55% atmosferă uscată, interior | |
|--|-------------------------------|--------------------------|--------------------------------|--------------------------|
| Grosimea fictivă a elementului | mică $h_0 < 20$ cm | mare $h_0 \geq 60$ cm | mică $h_0 < 20$ cm | mare $h_0 \geq 60$ cm |
| Vîrstă betonului de la care se ia în considerare efectul contractiei | mică 1...7 zile | 0,26 | 0,21 | 0,43 |
| | medie 7...60 zile | 0,23 | 0,21 | 0,32 |
| | mare > 60 zile | 0,16 | 0,20 | 0,28 |

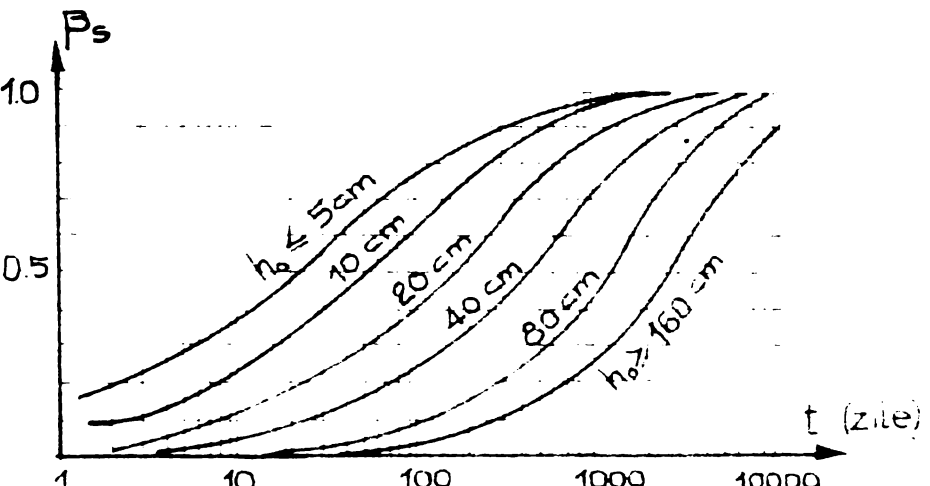


Fig. 3.11. DEZVOLTAREA CONTRACTIEI ÎN TIMP

Pentru calculul elementelor utilizate în construcții civile și industriale STAS lolo7/o-76 prevede următoarea relație pentru evaluarea valorii finale a deformației specifice din contractie:

$$\bar{\varepsilon}_c = k_3 k_4 k_c \varepsilon_c \quad (3.2)$$

unde: ε_c este valoarea de bază a contractiei și are valorile:

0,25 % - pentru betoane obisnuite, netratate termic

0,20 % - pentru betoane obisnuite, tratate termic

0,50 % - pentru betoane usoare, netratate termic

0,40 % - pentru betoane usoare, tratate termic

k_3 - coeficient ce ține cont de influența umidității relative a mediului ambiant și are valorile:

1,3 - pentru umiditate relativă de 40%

1,0 - pentru umiditate relativă de 60%

0,5 - pentru umiditate relativă de 100%

k_4 - coeficient ce ține cont de dimensiunea minimă a elementului b și are valorile:

1,0 pentru $b \geq 30$ cm

1,3 - 0,01 b pentru $b < 30$ cm

k_c - coeficient ce ține cont de modul de realizare al elementului, fiind 0,8 pentru elementele precomprimate cu armătură preîntinsă și 0,6 pentru cele cu armătură postîntinsă.

Relația (3.2) este prevăzută și de proiectul de STAS lolo7/o-83 ca procedeu simplificat.

Valoarea contractiei la un timp t este:

$$\varepsilon_{ct} = K_t \bar{\varepsilon}_c \quad (3.3)$$

utilizând pentru coeficientul K_t valorile din tabelul 3.3. /110/ în lipsa unor precizări în /108/ și /109/.

Pentru un calcul detailat proiectul de STAS lolo7/o-83 prevede relația (3.1), introducind numai modificări de notății.

Pentru calculul suprastructurilor de poduri STAS loll1/2-77 precum și revizuirea acestuia /111/ prevăd următoarea relație pentru evaluarea valorii finale a deformației specifice din contractie:

$$\bar{\varepsilon}_c = K_b K_p K_R \varepsilon_\infty \quad (3.4)$$

unde: ε_∞ este deformația finală normală și are valorile:

0,10 (0,15) - pentru beton cu răspândire maximă de 42(50) cm dispus în aer umed saturat, deasupra apei

0,25 (0,37) - pentru beton cu aceleasi răspândiri dispus în aer liber

0,40 (0,60) - pentru beton cu aceleasi răspândiri dispus în aer uscat, în spații inchise.

K_b' - coeficient care ține cont de dimensiunea minimă a elementului b și are valorile:

1,25 pentru $b < 20$ cm

1,0 pentru $21 \leq b \leq 75$ cm

0,75 pentru $b > 76$ cm

K_p - coeficient ce ține cont de tipul armăturii preten-sionate și anume: 1,0 pentru armături preîntinse și 0,6 pentru cele postîntinse;

K_R - coeficienți având valoarea 1,0 pentru armături preîntin-se și conform tabelului 3.5 pentru armături postîntinse.

Valoarea contractiei la un timp t este dată de relația (3.3), coeficientul K_t determinindu-se din tabelul 3.3.

Tabelul 3.3.

| Coeficientul K_t | | | | | | Toate relațiile de calcul |
|--------------------|------|------|------|------|------|---|
| t (zile) | 2 | 10 | 20 | 30 | 45 | țin cont de influența principala- |
| K_t | 0,0 | 0,20 | 0,25 | 0,30 | 0,35 | lilor factorii ce influențează |
| t (zile) | 60 | 90 | 180 | 360 | 1000 | contractia, existind diferențe |
| K_t | 0,40 | 0,50 | 0,60 | 0,80 | 1,0 | numai în modul de apreciere a |
| | | | | | | ponderii și a felului în care se |
| | | | | | | ține cont de influența acestor factori. |

Noile norme românesti, pentru calculul elementelor de construcții civile și industriale, sunt aliniate la Recomandările CKB - FIP, care la ora actuală reflectă cel mai corect, din punct de vedere cantitativ, fenomenul contractiei.

După cum s-a arătat la punctul 3.1, elementele compuse trece prin două etape, fiecare fiind caracterizată prin consumarea unei anumite părți din contractie.

Notind în continuare cu $\bar{\epsilon}_{(cp)}$ valoarea finală a contrac-tiei betonului precomprimat și cu $\bar{\epsilon}_{(ca)}$ valoarea finală a contractiei betonului armat, indiferent de modul de calcul a acestor valori, de-formațiile specifice ce se consumă în cele două etape, indiferent de legea matematică de variație în timp, sint (Fig.3.12):

- etapa I: în betonul precomprimat $\epsilon_{(op)}^I = \bar{\epsilon}_{(cp)}$; în betonul armat $\epsilon_{(ca)}^I = \bar{\epsilon}_{(ca)}$

- etapa II: în betonul precomprimat $\epsilon_{(op)}^{II} = \bar{\epsilon}_{(op)} - \bar{\epsilon}_{(cp)}$; în betonul armat $\epsilon_{(ca)}^{II} = \bar{\epsilon}_{(ca)} - \bar{\epsilon}_{(ca)}$

Deformația specifică $\bar{\epsilon}_{(ca)}$ nu afectează starea de eforturi unitare deoarece încă nu s-a realizat secțiunea compusă.

In figura 3.24 c se prezintă deformațiile specifice $\epsilon_{(cp)}^{II}$

și $\varepsilon_{(ca)}^{II}$, în ipoteza că ele se pot dezvolta liber. Inegalitatea aceea

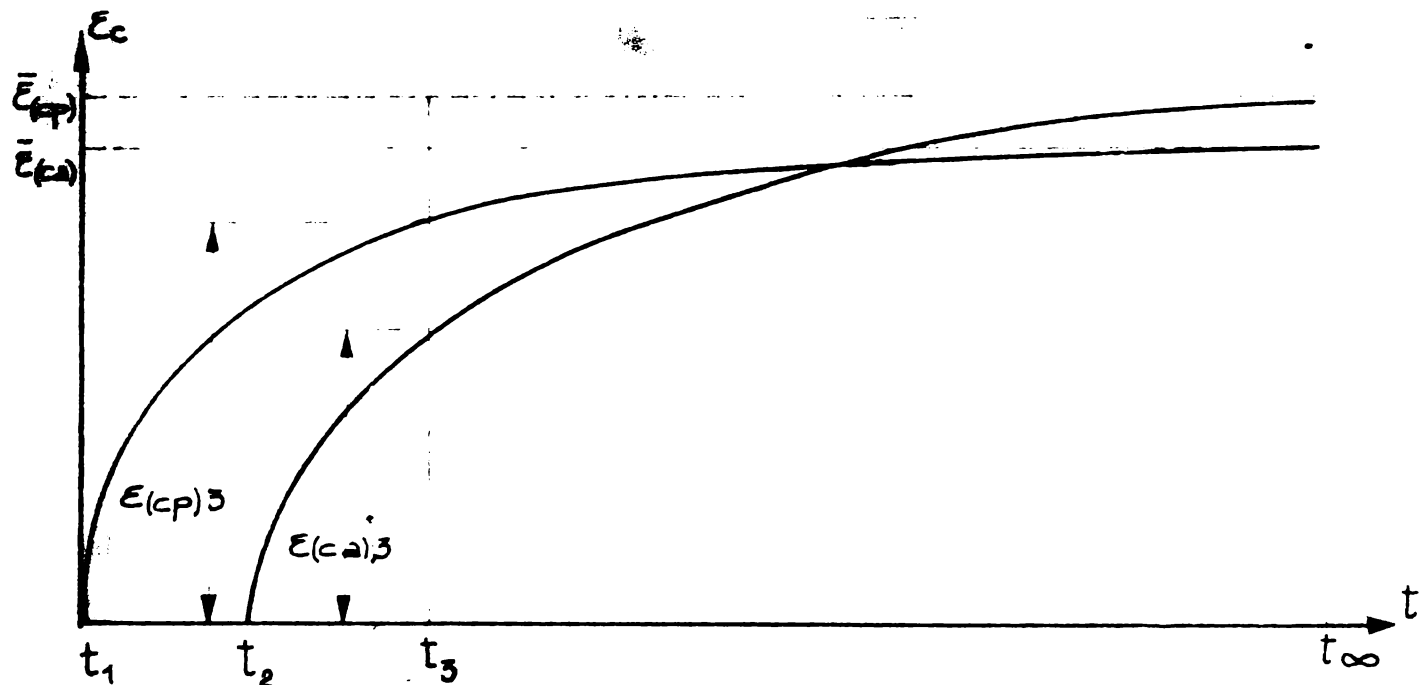


Fig. 3.12 DEZVOLTAREA DEFORMAȚIEI SPECIFICE DIN CONTRACTIE

tor două deformații specifice va introduce starea suplimentară de eforturi unitare.

3.2.1.2. Dezvoltarea deformațiilor specifice din curgere lentă

Mărimea deformației din curgere lentă depinde, în principiu, de aceeași factori ca și contractia. În plus ea mai depinde și de mărimea efortului unitar din beton precum și de vîrstă betonului în momentul aplicării încărcării.

Efectul curgerii lente este prins în calcule prin caracteristica curgerii lente:

$$\varphi = \frac{\varepsilon_{cl}}{\varepsilon_e}$$

unde: ε_e este deformația specifică elastică ce apare în momentul aplicării încărcării de lungă durată;

ε_{cl} – deformația specifică de curgere lentă;

Pentru exprimarea variației în timp a curgerii lente există mai multe teorii dintre care se rețin: teoria imbătrînirii, teoria eredității elastice și teoria mixtă.

Teoria imbătrînirii se bazează pe ipoteza că prin creșterea vîrstei betonului în momentul încărcării valoarea finală a curgerii lente scade. Whitney a constatat, pentru prima dată, para-

relativul pe verticală a curbelor pentru încărcări egale aplicate la tempi diferiți (Fig.3.13 a).

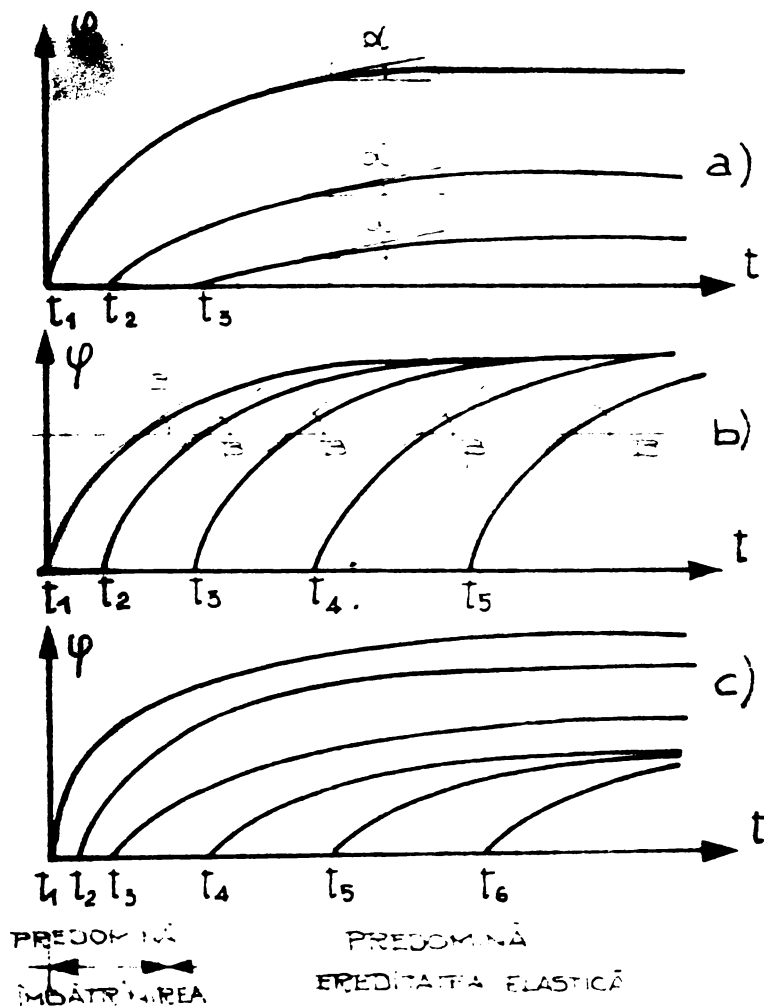


Fig.3.13 VARIATIA ÎN TIMP A CURGERII LENTE

cate la tempi diferiți (Fig.3.13.b).

In acest caz legea de variație pentru încărcarea aplicată la timpul t_i este:

$$\varphi(t, t_i) = \varphi(t - t_i, t_1)$$

Teoria mixtă ține cont de îmbătrînirea mai pronunțată în primul interval de timp cît și de ereditatea elastică (Fig.3.13.c).

In acest caz funcția $\varphi(t, t_i)$ este complexă și nu se poate deduce din $\varphi(t, t_1)$.

S-a constatat experimental că teoria îmbătrînirii corespunde încărcărilor aplicate la vîrste mici ale betonului pînă la maximum 60 zile /46/, așa cum se poate aprecia că se întimplă în realitate, iar teoria eredității elastice corespunde încărcărilor aplicate betoanelor bătrîne.

Teoria îmbătrînirii este acceptată în prezent în marea majoritate a relațiilor ce exprimă legea de variație a curgerii lente.

Variatia în timp a curgerii lente este legată și de variația efortului unitar în beton. Pentru cazurile curente (curgere lentă

cunoscind curba principala a curgerii lente $\varphi(t, t_1)$, această ipoteză permite obținerea curbei pentru o încărcare aplicată la timpul t_i cu relația:

$$\varphi(t, t_i) = \varphi(t, t_1) - \varphi(t_1, t_i)$$

unde: t este timpul cînd se dorește cunoașterea lui φ ;

t_1 - timpul cînd s-a aplicat prima încărcare

t_i - timpul cînd s-a aplicat încărcarea i .

Teoria eredității se bazează pe ipoteza că, independent de momentul încărcării, legea de dezvoltare a curgerii lente rămîne aceeași și valoarea finală rămîne constantă. Se constată o deplasare pe orizontală a curbelor pentru încărcări egale aplicate la tempi diferiți.

liniară) se admite principiul suprapunerii efectelor /49/, /112/ și pentru deformațiile din curgerea lentă a betonului.

Evaluarea caracteristicii curgerii lente

Pentru evaluarea caracteristicii finale a curgerii lente Cestelli Guidi recomandă procedura prevăzută de Recomandările CEB-FIP 1970, iar în lipsa unor date initiale, care să permită utilizarea acestor recomandări, acceptă valoarea 2,0.

Pentru determinarea orientativă a caracteristicii finale a curgerii lente Ghabman recomandă utilizarea nomogramei lui Ulițki /46/ (Fig.3.14).

Caracteristica curgerii lente la timpul t se determină cu relația:

$$\varphi_t = \varphi_{fin} (1 - e^{-\beta t})$$

cind încărcarea se aplică la o vîrstă redusă, respectiv:

$$\varphi_t = 0,25 \varphi_{fin} (1 - e^{-\beta t})$$

cind încărcarea se aplică la o vîrstă înaintată.

Pentru coeficientul β Dischinger recomandă, pentru scopuri practice, valoarea 1,0, iar Kiziria 1,5.

Ca valori de bază pentru caracteristica finală a curgerii lente, în condiții standard, Branson /36/ propune valoarea:

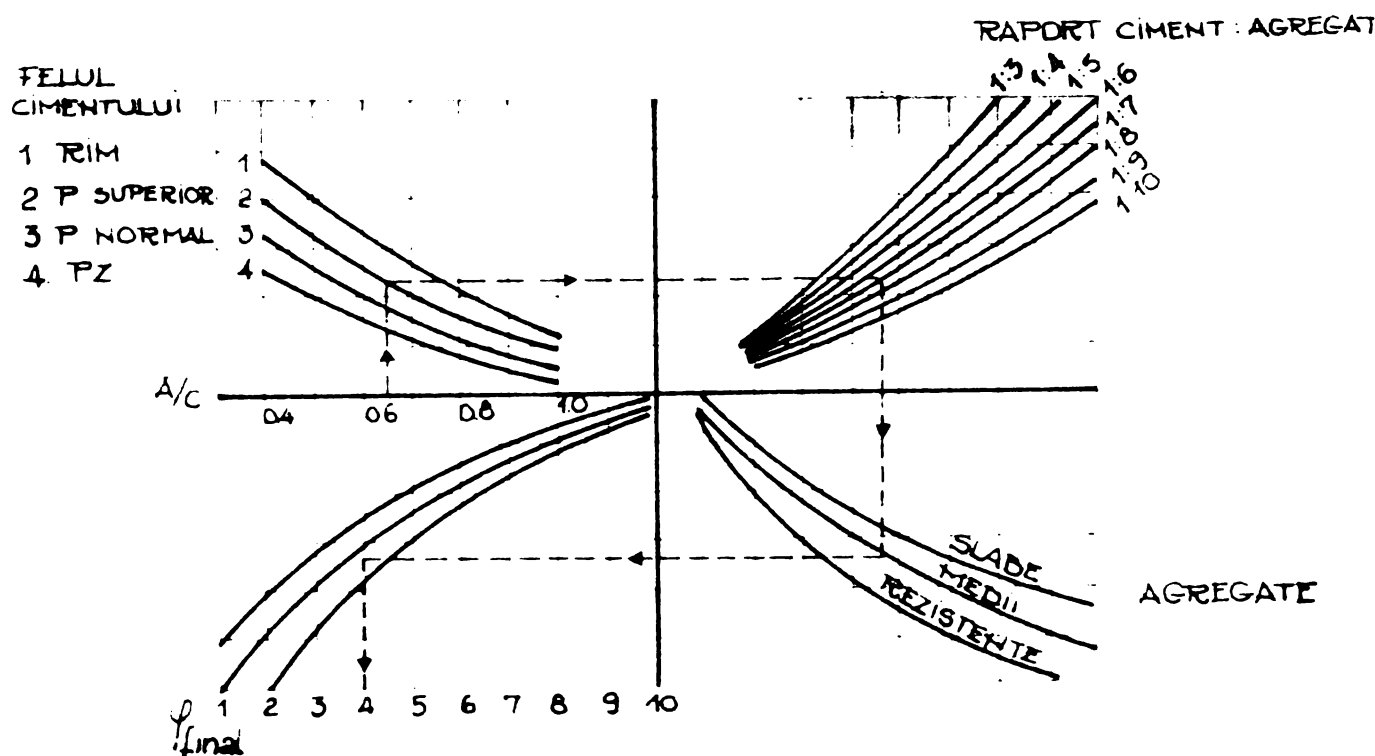


Fig. 3.14 NOMOGRAFMĂ PENTRU DETERMINAREA CARACTERISTICII FINALE A CUREGERII LENTE

maximă $C_u = 4,15$; medie $C_u = 2,35$; minimă $C_u = 1,30$.

Condițiile standard fiind aceleași ca la contractie.

Pentru umidități relative ale mediului ambiant $H > 40\%$ se introduce coeficientul de corecție:

$$(C.P.)_H = 1,27 - 0,0067 H$$

Pentru elemente cu grosimi $T > 15$ cm se introduce coeficientul de corecție:

$$(C.F.)_T = 1,1 - 0,007 T$$

Pentru grosimi $T < 15$ cm se indică utilizarea coeficientilor prevăzuți de Recomandările CEB - FIP 1970.

Cind grosimea elementului depășește 30...40 cm se recomandă să se țină cont și de volumul specific al acestuia V/S, atunci cind $V/S \geq 3,8$ cm. Introducerea acestei influențe se face prin coeficientul de corecție:

$$(C.F.)_{VS} = 1,12 - 0,031 V/S$$

Pentru stabilirea caracteristicii curgerii lente la un timp t mai mare decât 7 zile, pentru betonul întărit în condiții normale, respectiv pentru t mai mare decât o zi, pentru betonul tratat termic, se folosește relația:

$$C_t = \frac{t^{0,6}}{10 + t^{0,6}} C_u$$

Ca și în cazul contractiei această procedură este acceptată de ACI Committee 209.

Codul Model CEB - FIP /112/ prevede pentru calculul caracteristicii curgerii lente relația:

$$\varphi(t, t_0) = \beta_a(t_0) + \varphi_d \beta_d(t-t_0) + \varphi_f [\beta_f(t) - \beta_f(t_0)] \quad (3.5)$$

unde: t este vîrsta betonului în momentul considerat;

t_0 - vîrsta betonului în momentul aplicării încărării;

β_a - funcție ce ține cont de raportul dintre rezistență la compresiune pe cub la t_0 și rezistență finală (Fig.3.15);

φ_d - coeficient al componentei reversibile egal cu 0,4;

$\varphi_f = \varphi_{f1} \cdot \varphi_{f2}$ - coeficient al componentei ireversibile;

φ_{f1} - coeficient ce depinde de mediul ambiant și are valoriile: 1,0 atmosferă foarte umedă (umiditate 90%); 2,0 mediu exterior, în general (umiditate 70%); 3,0 atmosferă foarte uscată (umiditate 40%).

φ_{f2} - coeficient ce depinde de grosimea fictivă h_0 a elementului (Fig.3.16).

β_d - funcție ce corespunde dezvoltării în timp a componentei reversibile a curgerii lente (Fig.3.17).

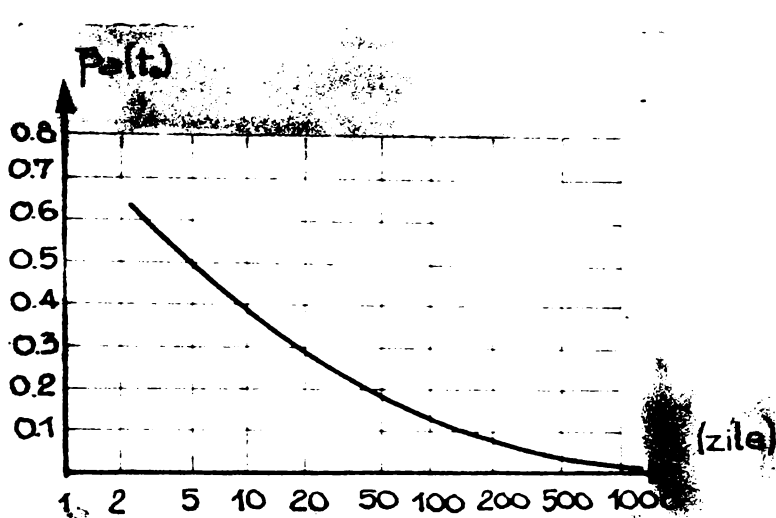


Fig. 3.15. VARIATIA COEFICIENTULUI $\beta_a(t)$

te, pentru încărcările aplicate la timpul t_0 , se obține luând $t = t_\infty \geq 10000$ zile și acceptând, pentru cazurile curente, $t - t_0 = t_\infty - t_0 \geq 10000$ zile:

$$\varphi(t_\infty, t_0) = 0,4 + \beta_a(t_0) + \beta_f [1 - \beta_f(t_0)] \quad (3.5')$$

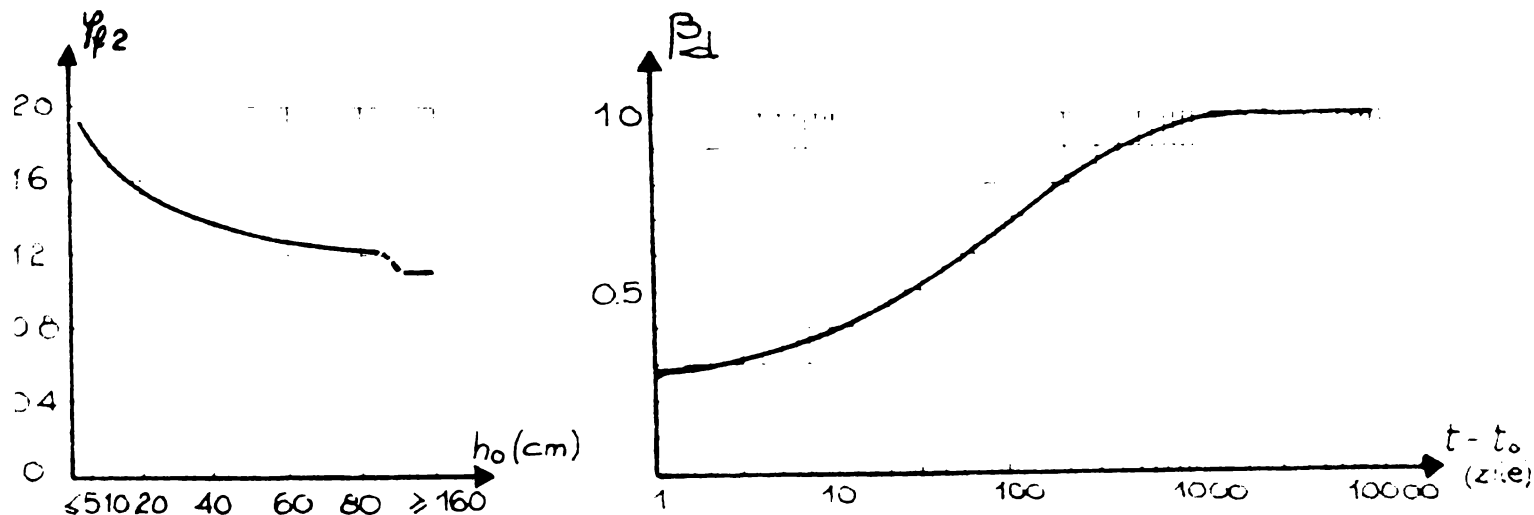


Fig. 3.16. INFLUENTA GROSIMII FICTIVE ASUPRA CURGERII LENTE

Fig. 3.17. DEZVOLTAREA ÎN TIMP A COMPOZEN-
TEI REVERSIBILE A CURGERII LENTE

Pentru cazurile cînd nu se cere o precizie deosebită Codul Model admite valorile finale $\varphi(t_\infty, t_0)$ ale caracteristicii curgerii lente prezentate în tabelul 3.4.

Pentru calculul elementelor utilizate în construcții civile și industriale STAS 10107/0-76 prevede următoarea relație pentru evaluarea caracteristicii finale a curgerii lente:

$$\bar{\varphi} = k_1 k_2 k_3 \varphi_0 \quad (3.6)$$

unde: φ_0 este caracteristica de bază a curgerii lente ea avind, pentru betoanele utilizate în mod curent la realizarea elementelor compuse, următoarele valori: 2,8 pentru B 300; 2,7 pentru B 400; 2,6 pentru

β_f - funcție ce corespunde dezvoltării în timp a componentei ireversibile a curgerii lente și care depinde de grosimea fictivă h_0 (Fig. 3.18).

Valorile t și t_0 se vor corecta dacă este necesar ca și în cazul contractiei.

Valoarea finală a caracteristicii curgerii lente,

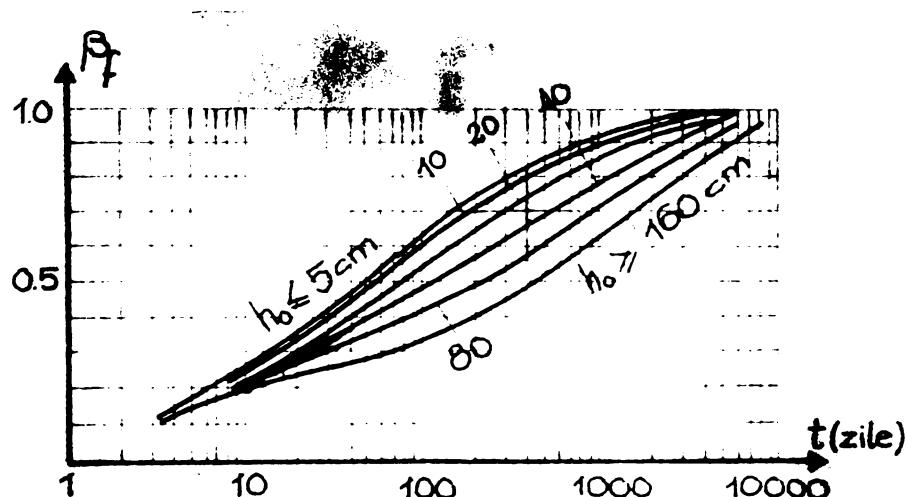


Fig. 3.18. DEZVOLTAREA ÎN TIMP A COMPONENTEI IRVERSIBILE A CURGERII LENTE

B 500; 2,5 pentru B 600;
 k_1 - coeficient de maturitate al betonului (Tabelul 3.5);
 k_2 - coeficient pentru gradul de solicitare al betonului și este egal cu:
 { 1,0 pentru $\sigma_b/R_{bo} \leq 0,5$
 $\{ 2\sigma_b/R_{bo}$ pentru $\sigma_b/R_{bo} > 0,5$

k_3 - are aceeași semnificație și aceleași valori ca în cazul contractiei.

Tabelul 3.4

Valorile finale ale caracteristicii curgerii lente (t_∞, t_0)

| Umiditatea relativă a mediului | 75% atmosferă umedă, exterior | | 55% atmosferă uscată, interior | |
|--|-------------------------------|-----------------------|--------------------------------|-----------------------|
| Grosimea fictivă a elementului | mică $h_0 \leq 20$ cm | mare $h_0 > 60$ cm | mică $h_0 \leq 20$ cm | mare $h_0 > 60$ cm |
| Vîrstă t_0 a betonului cînd se aplică incarcarea | 3..7 zile | 2.7 | 2.1 | 3.8 |
| | medie | | | 2.2 |
| | 7..6 zile | 2.2 | 1.9 | 3.0 |
| | mare | | | 2.5 |
| | >60 zile | 1.4 | 1.7 | 1.7 |
| | | | | 2.0 |

Relația (3.6) este prevăzută și de proiectul de STAS 1007/0-83 ca procedeu simplificat.

Valoarea caracteristicii curgerii lente la un timp t este:

$$\varphi_t = k_p \bar{\varphi} \quad (3.7)$$

utilizând pentru coeficientul k_p valorile din tabelul 3.6.

Pentru un calcul detailat al caracteristicii curgerii lente proiectul de STAS 1007/0-83 prevede relația (3.5) introducind numai modificări de notății.

Pentru calculul suprastructurilor de poduri STAS 1011/2-77 precum și revizuirea acestuia prevăd următoarea relație pentru evaluarea caracteristicii finale a curgerii lente:

Tabelul 3.5

Coefficientul de maturitate al betonului

| Durata în zile de la turnarea betonului pînă la aplicarea încărărilor | R_b^0 | R_b | Coefficientul de maturitate pentru construcții civile și industriale k_l | Coefficientul de maturitate pentru suprastructuri de poduri K_R |
|---|---------|-------------|--|---|
| 1...28 | 0,6 | 1,3 | | 1,5 |
| | 0,7 | interpolare | | 1,4 |
| | 0,8 | liniară | | 1,25 |
| | 0,9 | | | 1,15 |
| | 1,0 | 1,0 | | 1,0 |
| 28 | | 1,0 | | 1,0 |
| 45 | | | | 0,9 |
| 60 | | 0,7 | | 0,85 |
| 90 | | 0,6 | | 0,75 |
| 120 | | 0,55 | | |
| 180 | | 0,5 | | 0,65 |
| 360 | | 0,5 | | 0,5 |

Tabelul 3.6

Coefficientul $k_{\bar{\varphi}}$

| Durata în zile de la aplicarea încărării | 2 | 10 | 20 | 30 | 45 |
|--|------|------|------|------|------|
| $k_{\bar{\varphi}}$ | 0,10 | 0,33 | 0,37 | 0,40 | 0,43 |
| Durata în zile de la aplicarea încărării | 60 | 90 | 180 | 360 | 1080 |
| $k_{\bar{\varphi}}$ | 0,46 | 0,50 | 0,60 | 0,80 | 1,0 |

$$\bar{\varphi} = k_b K_R \varphi_\infty \quad (3.3)$$

unde: φ_∞ este caracteristica normată a curgerii lente finale și are valorile:

1,5 (2,2) pentru beton cu răspindire maximă de 42 (50) cm dispus în aer uscat saturat, deasupra apei

2,0 (3,0) pentru beton cu răspindire maximă de 42 (50) cm dispus în aer liber

3,0 (4,5) pentru beton cu răspindire maximă de 42 (50) cm dispus în aer uscat, în spații închise

K_b - coeficient care ține cont de dimensiunea minimă a elementului b și are valorile:

1,0 pentru $b \leq 75$ cm

0,9 pentru $76 \leq b < 150$ cm

0,8 pentru $b > 151$ cm

K_R - coeficient care ține cont de maturitatea betonului (Tabelul 3.5).

Valoarea curgerii lente la un timp t este:

$$\varphi_t = K_t \bar{\varphi} \quad (3.9)$$

utilizând pentru K_t valorile din tabelul 3.3.

Relațiile pentru evaluarea caracteristicii finale a curgerii lente țin cont de principali factori ce influențează curgerea lentă a betonului.

Procedura cea mai completă este cea propusă de Recomandările CEB - FIP, la care este aliniat și proiectul de standard pentru calculul elementelor de construcții civile și industriale.

Evaluarea deformatiei specifice din curgerea lentă

Pentru cazul cînd caracteristica curgerii lente se determină cu relația (3.5) Codul Model CEB-FIP prevede următoarea relație pentru calculul deformatiei specifice de curgere lentă:

$$\varepsilon_{cc}(t, t_0) = \frac{\sigma(t) + \sigma(t_0)}{2E_{c28}} \varphi(t, t_0) \quad (3.10)$$

unde: $\sigma(t)$ și $\sigma(t_0)$ sunt eforturile unitare în beton la timpul t și t_0 ;

E_{c28} - modulul de elasticitate al betonului la 28 zile.

Relația (3.10) este acceptată, cu alte notări, și de proiectul de STAS 1007/0-83.

In cazul în care efortul unitar în beton nu variază decît puțin (pierderi de tensiune pentru elementele prevăzute cu armături reduse) Codul Model, ca de altfel și alți autori, acceptă următoarea relație de calcul a deformatiilor specifice din curgerea lentă la timpul t:

$$\varepsilon_{clt} = \frac{\sigma}{E_b} \varphi_t \quad (3.11)$$

respectiv, pentru valoarea finală:

$$\bar{\varepsilon}_{cl} = \frac{\sigma}{E_b} \bar{\varphi} \quad (3.12)$$

unde: σ_b este efortul unitar în beton produs de încărcările exterioare;

E_b = modulul de elasticitate al betonului, considerat constant în timp cu valoarea sa de la 28 zile.

In vederea evaluării deformărilor specifice din curgere lentă în etapa I și II se acceptă pentru simplitate, forma (3.11) principiul suprapunerii efectelor și următoarele notății, indiferent de modul de calcul:

$\bar{\varphi}_{p1}$ - caracteristica finală a curgerii lente a betonului precomprimat pentru încărcările aplicate la timpul t_1 ;

$\bar{\varphi}_{p1,j}$ - caracteristica curgerii lente a betonului precomprimat la timpul t_j , pentru încărcările aplicate la timpul t_1 ;

$\bar{\varphi}_a$ - caracteristica finală a curgerii lente a betonului armat (avind în vedere faptul că în succesiunea fazelor prezentată la punctul 3.1 încărcările permanente ce pot produce curgere lentă a betonului armat se aplică o singură dată nu s-a prevăzut indice de timp caracteristicii finale a betonului armat).

Deformările specifice din curgere lentă ce se consumă în cele două etape, indiferent de legea matematică de variație în timp, sunt (Fig. 3.19):

- etapa I: în betonul precomprimat:

$$\varepsilon_{(clp)}^I = \frac{1}{E_{bp}} \left[\varphi_{p1,3} \sigma_{(bp)t1} + \varphi_{p2,3} \sigma_{(bp)t2} \right]$$

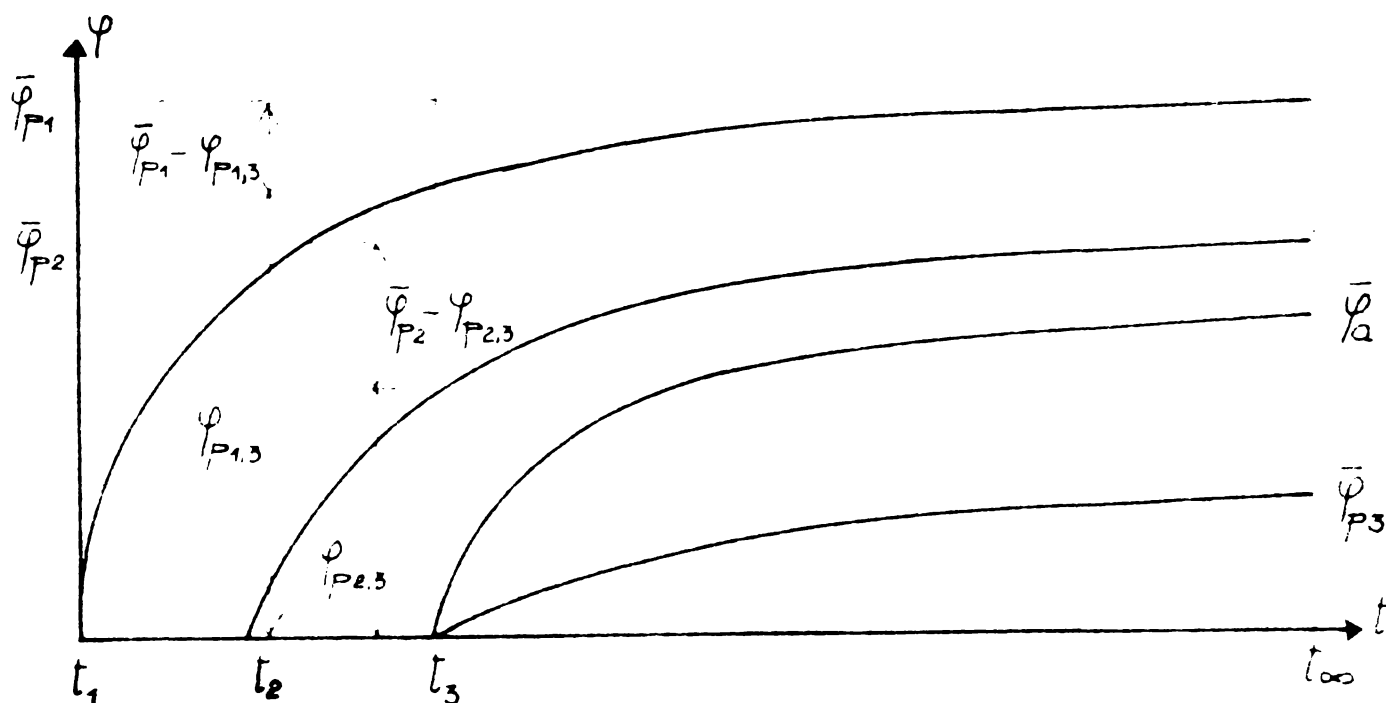


Fig. 3.19 DEZVOLTAREA CURGERII LENTE

- în etapa II: în betonul precomprimat:

$$\varepsilon_{(clp)}^{II} = \frac{1}{E_{bp}} [(\bar{\varphi}_{p1} - \varphi_{p1,3}) \bar{\sigma}_{(bp)t1} + (\bar{\varphi}_{p2} - \varphi_{p2,3}) \bar{\sigma}_{(bp)t2} + \bar{\varphi}_{p3} \bar{\sigma}_{(bp)t3}]$$

în betonul armat:

$$\varepsilon_{(cla)}^{II} = \frac{1}{E_{bp}} \bar{\varphi}_a \bar{\sigma}_{(ba)t3}$$

unde: $\bar{\sigma}_{(bp)t1}, \bar{\sigma}_{(bp)t2}$ sunt eforturile unitare în betonul precomprimat, calculate pe secțiunea prefabricatului, sub încărcările aplicate la timpul t_1 , respectiv la timpul t_2 ;

$\bar{\sigma}_{(bp)t3}, \bar{\sigma}_{(ba)t3}$ - efortul unitar în betonul precomprimat, respectiv armat, calculat pe secțiunea compusă, sub încărcările aplicate la timpul t_3 .

In figura 3.24 b. se prezintă deformațiile specifice $\varepsilon_{(clp)}^{II}$ și $\varepsilon_{(cla)}^{II}$, în ipoteza că ele se pot dezvolta liber. Inegalitatea celor două deformații specifice, la nivelul de contact dintre cele două tipuri de beton, va introduce starea suplimentară de eforturi unitare.

3.2.2. Metode pentru determinarea eforturilor unitare suplimentare din contractie și curgere lentă.

Codul Model CEB-PIP 1978 recomandă ca în cazul elementelor realizate din betoane cu calități diferite să se țină cont de diferențele ce există între deformațiile specifice de contractie și curgere lentă a betoanelor ce formează elementul și la evaluarea stării de eforturi unitare normale să se țină cont de eforturile suplimentare ce apar din cauza acestor diferențe.

Determinarea acestei stări suplimentare de eforturi unitare este laborioasă pentru motivele arătate la începutul punctului 3.2. O rezolvare relativ ușoară se poate face prin adaptarea metodei fibrelor conjugate a lui Busemann. O procedură mai condensată, denumită interacțiunea deformațiilor specifice, are la bază teoria eforturilor unitare initiale.

3.2.2.1. Metoda fibrelor conjugate

Principiul metodei fibrelor conjugate

Metoda fibrelor conjugate, propusă de Busemann /26/, constă în înlocuirea secțiunii transversale reale cu două fibre fictive, de o anumită arie, dispuse la anumite distanțe față de centrul de greutate.

tate al secțiunii. Pozițiile celor două fibre fictive, denumite fibre conjugate, se determină în aşa fel încit deformațiile pe care le are una din fibre să nu se transmită și la celalaltă.

Dacă se cunosc deformațiile specifice și eforturile unitare în cele două fibre, pe baza ipotezei secțiunilor plane, se pot determina deformațiile specifice și eforturile unitare la orice nivel al secțiunii transversale (Fig. 3.20).

Poziția celor două fibre conjugate k_1 și k_2 rezultă din condiția ca o forță axială aplicată la una din ele (de exemplu $N_{k_1}=1$) să nu producă efort unitar în celalaltă fibră. Ecuatia care permite stabilirea acestei condiții este:

$$\frac{1}{A_b} - \frac{1 \cdot z_1 \cdot z_2}{I_b} = 0$$

pusă sub forma:

$$z_1 z_2 = \frac{I_b}{A_b} = i_b^2 \quad (3.13)$$

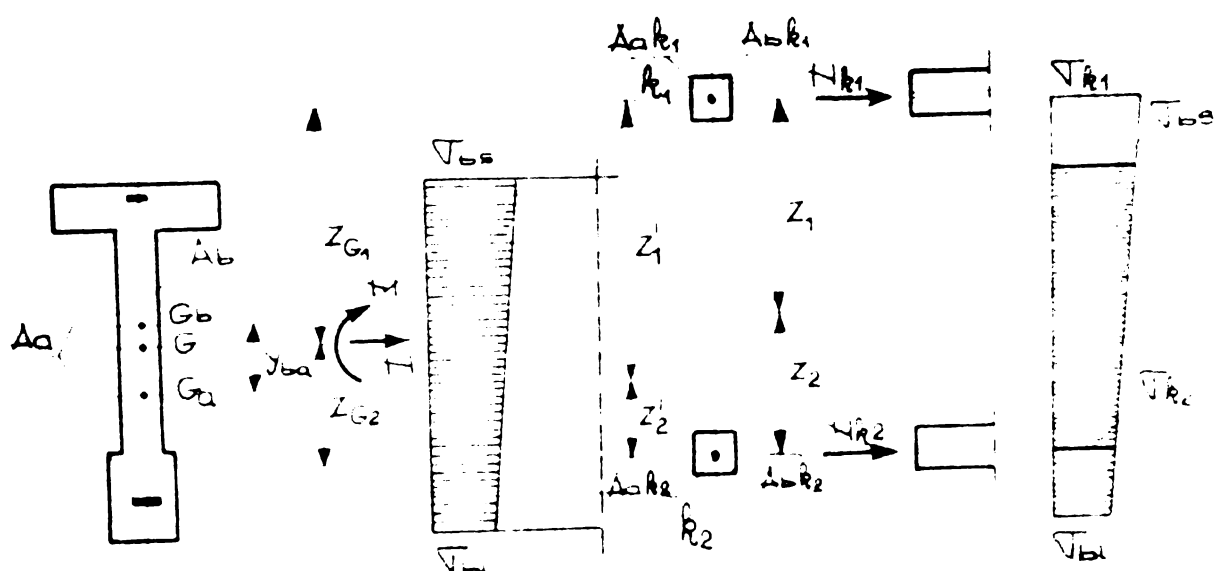
In mod similar se obține pentru armătura:

$$z'_1 z'_2 = \frac{I_a}{A_a} = i_a^2$$

De asemenea trebuie respectate condițiile geometrice:

$$z_1 + z_2 = z'_1 + z'_2$$

$$z_2 - z'_2 = y_{ba}$$



SECTIUNE TRANSVERSALĂ REALĂ

FIBRELE CONJUGATE

Fig. 3.20 POZIȚIA FIBRELOR CONJUGATE LA O SECTIUNE DE BETON ARMAT

In final rezultă:

$$z_2 = \left[\pm (y_{ba}^2 - i_b^2 + i_a^2) + \sqrt{(y_{ba}^2 - i_b^2 + i_a^2)^2 + 4y_{ba}^2 i_0^2} \right] / 2y_{ba} \quad (3.14)$$

$$z_1 = \frac{i_b^2}{z_2} \quad (3.15)$$

In relația (3.14) se va lua semnul plus cind G_b este situat mai sus decit G_a și invers.

Ariile fibrelor conjugate de beton se obțin din condiția ca efortul unitar din fibre conjugată, sub efectul forței axiale din fibra respectivă, determinat cu caracteristicile reale ale secțiunii transversale să fie egal cu efortul unitar determinat cu aria fibrei conjugate. Exprimând această condiție pentru cele două fibre, se obține:

$$\frac{1}{A_b} + \frac{1 \cdot z_1^2}{I_b} = \frac{1}{A_{bk1}}$$

$$\frac{1}{A_b} + \frac{1 \cdot z_2^2}{I_b} = \frac{1}{A_{bk2}}$$

Lăsând în considerare și relația (3.13), rezultă:

$$A_{bk1} = \frac{z_2}{z_1 + z_2} A_b$$

$$A_{bk2} = \frac{z_1}{z_1 + z_2} A_b$$

In mod analog se obține aria armăturii pentru cele două fibre conjugate:

$$A_{ak1} = \frac{z'_2}{z'_1 + z'_2} A_a$$

$$A_{ak2} = \frac{z'_1}{z'_1 + z'_2} A_a$$

Pentru o secțiune compusă beton precomprimat-beton armat, ca cea din figura 3.22, se obține:

$$A_{bpkl} = \frac{z_{p2}}{z_{pl} + z_{p2}} A_{bp}$$

$$A_{bpk2} = \frac{z_{p1}}{z_{pl} + z_{p2}} A_{bp}$$

$$A_{bakl} = \frac{z_{a2}}{z_{al} + z_{a2}} A_{ba}$$

$$A_{bak2} = \frac{z_{a1}}{z_{al} + z_{a2}} A_{ba}$$

unde: $A_{ba} = b_a h_a = n_b b_a \text{real } h_a$ (vezi Fig.3.8)

In acest fel secțiunea compusă se transformă în două fibre compuse, cu cele două tipuri de beton dispuse coaxial, încărcate centric.

Eforturile care solicită secțiunea, momentul încovoiator M și forța axială N aplicată în centru de greutate al secțiunii G , se înlocuiesc cu forțele N_{k1} și N_{k2} aplicate în fibrele k_1 și k_2 (Fig. 3.20):

$$N_{k1} = \frac{NZ_{G2} + M}{Z_{G1} + Z_{G2}}$$

$$N_{k2} = \frac{NZ_{G1} - M}{Z_{G1} + Z_{G2}}$$

Modificarea eforturilor unitare datorită contractiei și curgerii lente într-un element compus încărcat centric

Prin intermediul metodei fibrelor conjugate secțiunea compusă s-a transformat în două elemente compuse încărcate centric (Fig. 3.21).

Elementul compus beton precomprimat-beton armat este încărcat centric la timpul t_1 , cu forțe N ce acționează numai asupra betonului precomprimat, producind în acest beton efortul unitar

$\tilde{\sigma}_{(bp)} = N/A_{bpk}$. În momentul realizării conlucrării t_3 în betonul armat efortul unitar este $\tilde{\sigma}_{(ba)} = 0$.

Sub acțiunea contractiei și curgerii lente, în intervalul de timp dt , forța axială N se va modifica cu $-dN_{cl}$, iar în betonul armat va apărea forță $+dN_{cl}$.

Deformările specifice ale celor două tipuri de beton, date rate contractiei și curgerii lente, vor fi:

- pentru betonul precomprimat:

$$\varepsilon_{(bp)} = \frac{N}{E_{bp} A_{bpk}} d\varphi_{pit} + d\varepsilon_{(cp)t} - \frac{dN_{cl}}{E_{bp} A_{bpk}} - \frac{N_{cl}}{E_{bp} A_{bpk}} d\varphi_{pi,t}$$

- pentru betonul armat:

$$\varepsilon_{(ba)} = \frac{dN_{cl}}{E_{ba} A_{bak}} + \frac{N_{cl}}{E_{ba} A_{bak}} d\varphi_{a,t-t_3} + d\varepsilon_{(ca)t}$$

Datorită conlucrării dintre cele două tipuri de beton, conlucrare realizată la timpul t_3 , cele două deformații specifice trebuie să fie egale. Din această egalare rezultă ecuația diferențială:

$$\frac{dN_{cl}}{dt} + \left[B \frac{d\varphi_{pi,t}}{dt} + (1-B) \frac{d\varphi_{a,t-t_3}}{dt} \right] N_{cl} + E_{bp} A_{bpk} B \left(\frac{d\varepsilon_{(cp)t}}{dt} - \frac{d\varepsilon_{(ca)t}}{dt} \right)$$

$$- B \left(\frac{dN_{cl}}{dt} + N_{cl} \frac{d\varphi_{pi,t}}{dt} \right) = 0$$

Resolvarea acestei ecuații pentru $t = t_3$ conduce la relația:

$$\begin{aligned} N_{cl} &= NB \exp \left[-B\varphi_{pi,t} + (1-B)\varphi_{a,t-t_3} \right] \int_{t_3}^t \frac{d\varphi_{pi,t}}{dt} \exp \left[B\varphi_{pi,t} + (1-B)\varphi_{a,t-t_3} \right] dt \\ &+ BE_{bp} A_{bpk} \exp \left[-B\varphi_{pi,t} - (1-B)\varphi_{a,t-t_3} \right] \int_{t_3}^t \left(\frac{d\varepsilon_{(cp)t}}{dt} - \frac{d\varepsilon_{(ca)t}}{dt} \right) . \\ &\cdot \exp \left[B\varphi_{pi,t} + (1-B)\varphi_{a,t-t_3} \right] dt \end{aligned} \quad (3.16)$$

unde: $B = \frac{1}{1 + \frac{1}{n_b / \mu_{bk}}}$

$$\mu_{bk} = \frac{A_{bek}}{A_{bpk}}$$

Modificarea eforturilor unitare din efectul curgerii lente

Pentru luarea în considerare numai a efectului curgerii lente în relația (3.16) se admite:

$$\frac{d\varepsilon_{(cp)t}}{dt} = \frac{d\varepsilon_{(ca)t}}{dt} = 0$$

iar relația (3.16) devine:

$$N_{cl} = NB \exp \left[-B\varphi_{pi,t} - (1-B)\varphi_{a,t-t_3} \right] \int_{t_3}^t \frac{d\varphi_{pi,t}}{dt} \exp \left[B\varphi_{pi,t} + (1-B)\varphi_{a,t-t_3} \right] dt \quad (3.17)$$

Pentru $t = t_\infty$ ecuația (3.17) devine:

$$U_{cl} = \frac{U}{1 + \frac{\bar{\varphi}_a}{\bar{\varphi}_{pi}} \frac{1}{n_b/\mu_{bk}}} \left\{ 1 - \exp \left[- \frac{\bar{\varphi}_{pi}}{1 + \frac{1}{n_b/\mu_{bk}}} (1 + \frac{\bar{\varphi}_a}{\bar{\varphi}_{pi}} \frac{1}{n_b/\mu_{bk}}) \right] \right\} \quad (3.17')$$

sau:

$$U_{cl} = U \bar{\theta} \quad (3.17'')$$

coeficientul $\bar{\theta}$ fiind intabulat in functie de $\bar{\varphi}_{pi}$, $\bar{\varphi}_a$ si n_b/μ_{bk} in /5/ si /46/.

Conoscind valoarea U_{cl} ce produce modificarea fortei U , deci a eforturilor unitare, se pot calcula eforturile unitare ce rezulta in urma consumului curgarii lente. Acestea sint:

- in betonul precomprimat:

$$\sigma_{(bp)}^{cl} = \frac{U-U_{cl}}{A_{bpk}} = \bar{\sigma}_{(bp)}^{(1-\bar{\theta})} \quad (3.18)$$

- in betonul armat

$$\sigma_{(ba)}^{cl} = \frac{U_{cl}}{A_{bak}} = \frac{U_{cl}}{A_{bpk}} \frac{A_{bpk}}{A_{bak}} = \frac{\bar{\sigma}_{(bp)}^{(1-\bar{\theta})}}{\mu_{bk}} \quad (3.19)$$

Modificarea eforturilor unitare din efectul contractiei

Pentru luarea in considerare numai a efectului contractiei in relatie (3.16) se admite:

$$U = \frac{dU}{dt} = 0$$

iar relatie (3.16) devine:

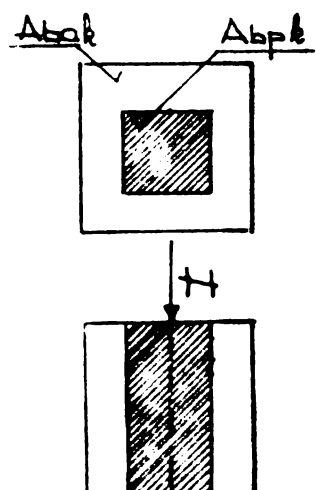


Fig. 3.21. ELEM COMPOSU
ÎNCĂRCAT CENTRIC

$$U_c = E_{(cp)} A_{bpk} \exp \left[-B \bar{\varphi}_{pi,t} - (1-B) \bar{\varphi}_{a,t-t_3} \right] \left/ \left(\frac{d\epsilon_{(cp)}}{dt} - \frac{d\epsilon_{(ca)}}{dt} \right) t \right. \\ \cdot \exp \left[B \bar{\varphi}_{pi,t} + (1-B) \bar{\varphi}_{a,t-t_3} \right] dt \quad (3.20)$$

Pentru $t = t_\infty$ ecuatia (3.20) se poate scrie sub forma:

$$U_c = \bar{\epsilon}_{(cp)}^{II} A_{bpk} \bar{\theta}_c - \bar{\epsilon}_{(ca)}^{II} A_{bak} \bar{\theta}'_c \quad (3.21)$$

coeficientii $\bar{\theta}_c$ si $\bar{\theta}'_c$ fiind intabulati in functie de n_b , μ_{bk} $\bar{\varphi}_{conv} = \bar{\varphi}_{pi} + \bar{\varphi}_a/n_b \mu_{bk}$ si de raportul dintre viteza de dezvoltare in timp a con-

tractiei și aceea a curgerii lente.

Eforturile unitare ce apar din efectul contractiei sunt:

- în betonul precomprimat:

$$\sigma_{(bp)}^c = - \varepsilon_{(cp)}^{II} E_{bp} (\bar{\epsilon}_c - \frac{\varepsilon_{(ca)}^{II}}{\varepsilon_{(cp)}^{II}} \bar{\epsilon}'_c) \quad (3.22)$$

- în betonul armat:

$$\sigma_{(ba)}^c = \frac{\varepsilon_{(cp)}^{II} E_{bp}}{\mu_{bk}} (\bar{\epsilon}_c - \frac{\varepsilon_{(ca)}^{II}}{\varepsilon_{(cp)}^{II}} \bar{\epsilon}'_c) \quad (3.23)$$

Modificarea eforturilor unitare datorită curgerii lente într-un element compus încovoiat

După cum se constată din figura 3.19 încărcările care produc curgerea lentă se aplică:

- la timpul t_1 și t_2 producind curgerea lentă a betonului precomprimat;

- la timpul t_3 producind curgere lentă atât în betonul precomprimat cât și în cel armat.

Modificarea eforturilor unitare din curgerea lentă se va face pentru fiecare t_i ($i=1\dots 3$) în parte și apoi se va face însumarea rezultatelor.

Efectul curgerii lente produse de încărcările aplicate la timpul t_1

Eforturile care se aplică la timpul t_1 sunt efortul de precomprimare din teroane N_{pl} și momentul încovoietor din greutatea proprie a elementului M_1 . Aceste solicitări se reduc în centrul de greutate al secțiunii precomprimate, apoi se repartizează celor două fibre conjugate și se determină starea de eforturi unitare (Fig.3.22):

$$\sigma_{(bp)kl} = \frac{N_{kl}}{A_{bpkl}} \quad \sigma_{(bp)k2} = \frac{M_{k2}}{A_{bpk2}}$$

Eforturile unitare, în centrele de greutate ale fibrelor conjugate, cu luarea în considerare a deformațiilor de curgere lentă sunt (Fig.3.22)

- în fibre k_1

- în betonul precomprimat

$$\sigma_{(bp)kl}^{cl} = (1 - \bar{\epsilon}_{k1}) \sigma_{(bp)kl}$$

- în betonul armat

$$\sigma_{(ba)kl}^{cl} = \frac{\sigma_{(ba)kl}}{\mu_1} \bar{\epsilon}_{k1}$$

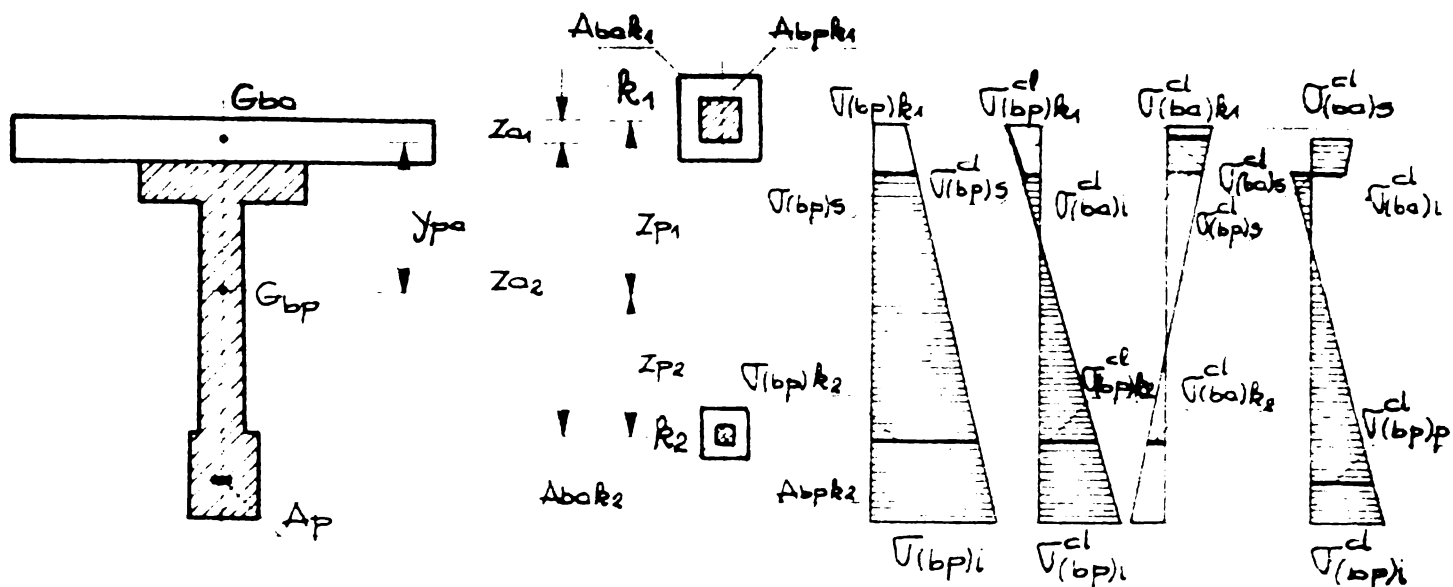


Fig. 3.22. INFLUENȚA CURGERII LENTE ASUPRA EFORTURILOR UNITARE APĂRUTE ÎNAINTE DE REALIZAREA CONLUCRĂRII

- în fibra k_2

$$-\text{în betonul precomprimat } \bar{\sigma}_{(bp)k2}^{cl} = (1 - \bar{\theta}_{k2}) \bar{\sigma}_{(bp)k2}$$

$$-\text{în betonul armat } \bar{\sigma}_{(ba)k2}^{cl} = \frac{\bar{\sigma}_{(ba)k2}}{\mu_2} \bar{\theta}_{k2}$$

unde: $\bar{\theta}_{k1}, \bar{\theta}_{k2}$ este coeficientul $\bar{\theta}$ din relația (3.17") calculat pentru cele două fibre conjugate;

$$\mu_1 = \mu_b \left(1 - \frac{y_{pa}}{z_{p2}} \right)$$

$$\mu_2 = \mu_b \left(1 + \frac{y_{pa}}{z_{p1}} \right)$$

Efectul curgerii lente produse de încărcările aplicate la timpul t_2 .

Eforturile unitare, ce produc curgerea lentă începând cu timpul t_2 , sunt generate de momentul încovoietor din greutatea betonului armat. Procedura este identică ca și în cazul încărcărilor aplicate la timpul t_1 .

Efectul curgerii lente produse de încărcările aplicate la timpul t_3 .

Eforturile ce acționează la timpul t_3 sunt efortul de precomprimare din fasciole N_{p2} (dacă se efectuează precomprimare în etape) și momentul încovoietor M_3 din diferite încărcări permanente,

aplicate după realizarea conlucrării. Aceste eforturi acționează pe secțiunea compusă. După reducerea lor în centrul de greutate al secțiunii compuse ele se repartizează celor două fibre conjugante.

Eforturile unitare, în fibrele conjugante sunt:

- în fibra k_1

$$-\text{în betonul precomprimat: } \sigma_{(bp)kl} = \frac{n_{k1}}{A_{bpkl} + A_{bakl}}$$

$$-\text{în betonul armat: } \sigma_{(ba)kl} = n_b \sigma_{(bp)kl}$$

- în fibra k_2

$$-\text{în betonul precomprimat } \sigma_{(bp)kl} = \frac{n_{k2}}{A_{bpk2} + A_{bak2}}$$

$$-\text{în betonul armat } \sigma_{(ba)k2} = n_b \sigma_{(bp)k2}$$

Se efectuează calculul considerind încărcat numai betonul precomprimat cu $\sigma_{(bp)kl}$ și $\sigma_{(bp)k2}$ rezultând $\sigma_{(bp)kl}^{cl'}$, $\sigma_{(bp)k2}^{cl'}$, $\sigma_{(ba)kl}^{cl'}$ și $\sigma_{(ba)k2}^{cl'}$ și se stabilește diagrama de eforturi unitare pe secțiunea transversală caracterizată prin $\sigma_{(bp)i}^{cl'}$, $\sigma_{(bp)s}^{cl'}$, $\sigma_{(ba)i}^{cl'}$ și $\sigma_{(ba)s}^{cl'}$.

Se efectuează calculul considerind încărcat numai betonul armat cu $\sigma_{(ba)kl}$ și $\sigma_{(ba)k2}$ rezultând $\sigma_{(bp)kl}^{cl''}$, $\sigma_{(bp)k2}^{cl''}$, $\sigma_{(ba)kl}^{cl''}$ și $\sigma_{(ba)k2}^{cl''}$ și se stabilește diagrama de eforturi unitare pe secțiunea transversală caracterizată prin eforturile unitare $\sigma_{(bp)i}^{cl''}$, $\sigma_{(bp)s}^{cl''}$, $\sigma_{(ba)i}^{cl''}$ și $\sigma_{(ba)s}^{cl''}$.

Diagrama de eforturi unitare pentru încărcările aplicate la timpul t_3 este caracterizată de:

$$\sigma_{(bp)i}^{cl} = \sigma_{(bp)i}^{cl'} + \sigma_{(bp)i}^{cl''} \quad \sigma_{(bp)s}^{cl} = \sigma_{(bp)s}^{cl'} + \sigma_{(bp)s}^{cl''}$$

$$\sigma_{(ba)i}^{cl} = \sigma_{(ba)i}^{cl'} + \sigma_{(ba)i}^{cl''} \quad \sigma_{(ba)s}^{cl} = \sigma_{(ba)s}^{cl'} + \sigma_{(ba)s}^{cl''}$$

Eforturi unitare datorită contractiei intr-un element comun incovinut

În vederea determinării eforturilor unitare din efectul contractiei se utilizează relația (3.22) pentru calculul lui $\sigma_{(bp)kl}^c$ și precum și relația (3.23) pentru determinarea lui $\sigma_{(ba)kl}^c$ și $\sigma_{(bp)k2}^c$.

Cu ajutorul acestor valori se stabilește diagrama de eforturi unitare pe înălțimea secțiunii transversale (Fig.3.23).

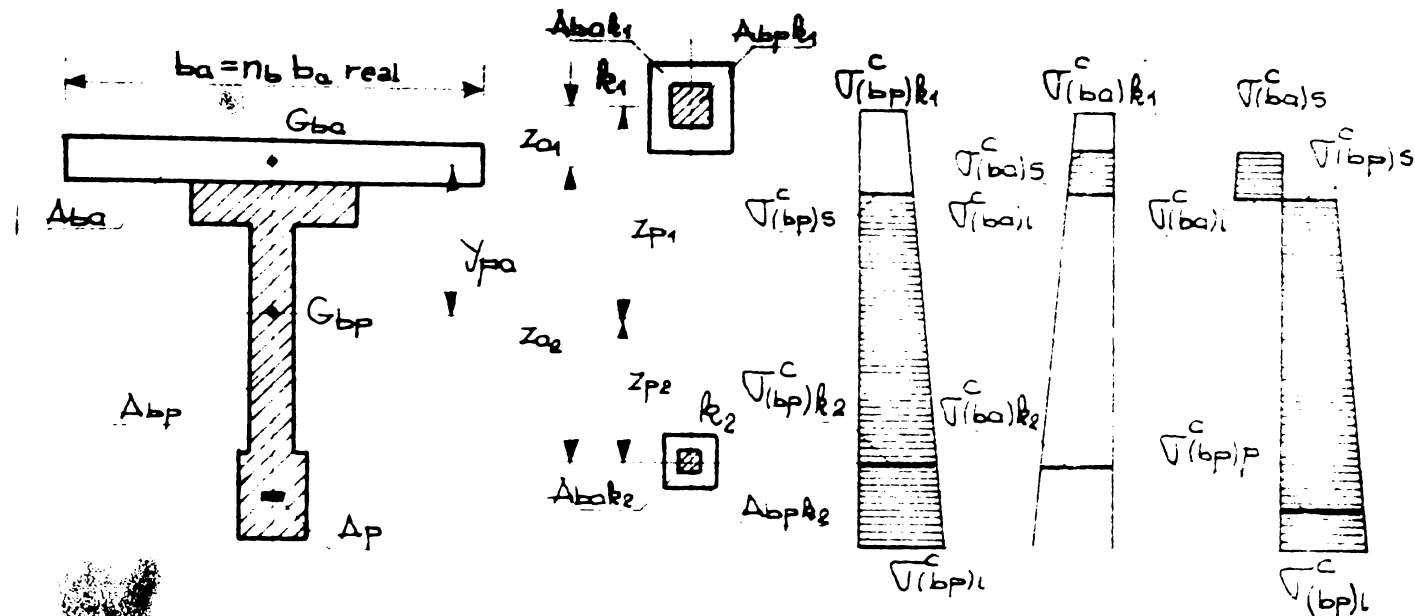


Fig. 3.23. EFORTURI UNITARE, DIN CONTRACTIE, PE SECTIUNEA COMPUȘĂ

3.2.2.2. Metoda interacțiunii deformatiilor specifice.

Principiul teoriei eforturilor unitare initiale

Teoria eforturilor unitare initiale se poate aplica oricărui tipuri de deformații specifice initiale (contractie, temperatură, precomprimare, etc) existente într-o secțiune de beton /4/.

Eforturile unitare initiale apar deoarece fiecare fibră, paralelă cu axa barei, tinde să-și ia o deformație specifică proprie, diferită în fiecare punct al secțiunii.

Deformația specifică, initială ε , numită și deformație liberă, este deformația care ar putea să se dezvolte liber. Secțiunile rămânind plane și după deformație, deformațiile specifice initiale nu se pot dezvolta liber, deoarece fibrele sunt legate între ele, rezultând astfel eforturile unitare initiale σ^{INT} .

Eforturile unitare initiale de deformațiile specifice initiale, sunt în echilibru pe secțiunea transversală. Condițiile de echilibru sunt:

$$\int \sigma^{INT} dA = 0 \quad \int \sigma^{INT} y dA = 0 \quad (3.24-3.25)$$

Pozitia centrului de greutate este dată de relația:

$$\int E y dA = 0 \quad (3.26)$$

Deformația unei fibre de lungime d_l , aflată la distanță y de centrul de greutate al secțiunii, este εd_l . Efortul unitar inițial modifică deformația fibrei cu $\sigma^{INT} d_l / E$, astfel că deformația totală a fibrei va fi:

$$\Delta dl = (\varepsilon + \gamma^{INT}/E)dl \quad (3.27)$$

Secțiunea transversală suferă, prin deformație o translație ε_0 și o rotație $d\varphi$. Admitând ipoteza secțiunilor plane deformația totală a fibrei este:

$$\Delta dl = \varepsilon_0 dl + y d\varphi = (\varepsilon_0 + y \omega) dl \quad (3.28)$$

unde: ε_0 este deformația specifică în axa barei după deformare;

$$\omega = d\varphi/dl - rotația specifică.$$

Egalind (3.27) cu (3.28) rezultă:

$$\gamma^{INT} = E(\varepsilon_0 + y \omega - \varepsilon) = E \varepsilon^{INT} \quad (3.29)$$

unde: $\varepsilon^{INT} = \varepsilon_0 + y \omega - \varepsilon$ este deformația specifică care generează eforturile γ^{INT} .

Deformația specifică care respectă ipoteza secțiunilor plane este: $\varepsilon_{plan} = \varepsilon_0 + y \omega$

Valorile ε_0 și ω se obțin înlocuind pe (3.29) în (3.24-3.25) și având în vedere (3.26) rezultă:

$$\varepsilon_0 = (\int \varepsilon EdA) / (\int EdA) \quad \omega = (\int \varepsilon EydA) / (\int Ey^2 dA) \quad (3.30-3.31)$$

sau:

$$\varepsilon_0 = N/E_b p A_{bi} \quad \omega = M/E_b p I_{bi} \quad (3.30'-3.31')$$

unde: $N = \int \varepsilon EdA$ este forța axială fictivă corespunzătoare deformațiilor specifice libere;

$M = \int \varepsilon EydA$ - momentul forței N în raport cu centrul de greutate al secțiunii ideale.

Determinarea eforturilor unitare din interacțiunea deformațiilor specifice din curgere lentă.

Deformațiile specifice din curgere lentă, ce vor produce interacțiunea, sunt cele care se dezvoltă în etapa II și anume $\varepsilon_{(clp)}^{II}$ și $\varepsilon_{(cla)}^{II}$. Rezultatul interacțiunii este prezentat în figura 3.24 b, eforturile unitare de interacțiune $\gamma_{(bp)}^{INTcl}$ și $\gamma_{(ba)}^{INTcl}$ se calculează cu relația (3.29).

Determinarea eforturilor unitare din interacțiunea deformațiilor specifice din contractie.

Deformațiile specifice din contractie, ce vor produce interacțiunea, sunt cele care se dezvoltă în etapa II și anume $\varepsilon_{(cp)}^{II}$ și $\varepsilon_{(ca)}^{II}$. Rezultatul interacțiunii este prezentat în figura 3.24 c., eforturile unitare de interacțiune $\gamma_{(bp)}^{INTc}$ și $\gamma_{(ba)}^{INTc}$ se calculează cu relația (3.29).

Comparind metoda interacțiunii deformațiilor specifice cu

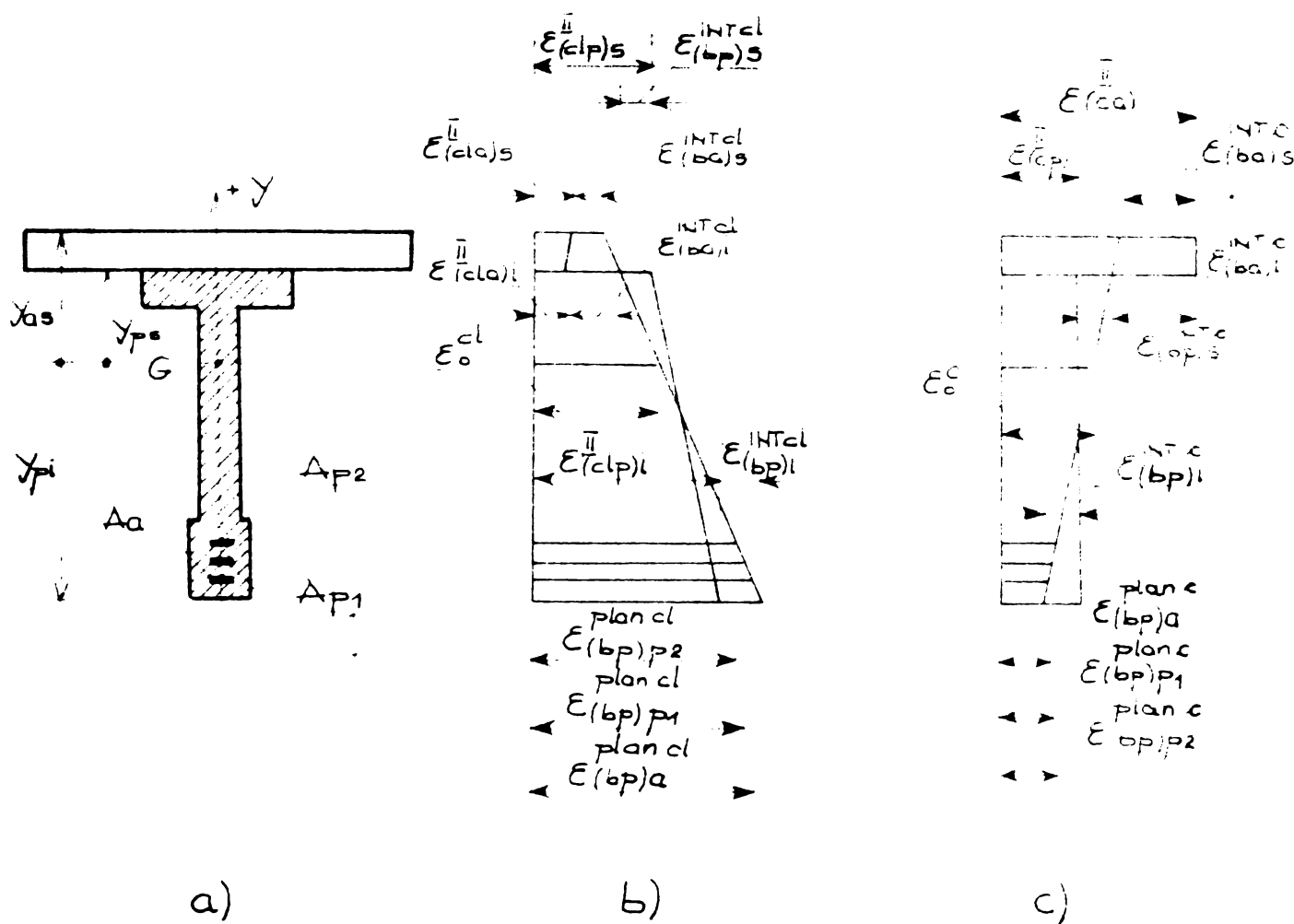


Fig. 3.24. INTERACȚIUNEA DEFORMAȚIILOR SPECIFICE DIN CONTRACTIE
SI CURGERE LENTA

metoda fibrelor conjugate se constată că dacă la ultima metodă calculele trebuie redate de mai multe ori, în cazul primei metode calculele se efectuează o singură dată.

In cazul metodei interacțiunii deformațiilor specifice nu este necesar să se facă o corecție asupra contractiei și curgerii lente, corecție necesară din cauza prezenței armăturii, deoarece de prezența acestei se ține cont, direct, în calcule.

3.3. Relatii si prevederi privind calculul elementelor compuse beton precomprimat - beton armat în stadiul de exploatare.

Determinarea eforturilor unitare, în stadiul de exploatare, în elementele compuse este dificilă din cauzele arătate la punctul 3.2. Dacă pentru determinarea eforturilor unitare în stadiul nefisurat există diferite procedee propuse, atunci pentru calculul eforturilor unitare în stadiul fisurat nu se fac nici un fel de aprecieri, deși la ora actuală se admite funcționarea cu zona întinsă fisurată.

Străleșki admite, pentru prinderea efectului contractiei asupra stării de eforturi unitare, că betonul armat mai are de consumat

valoarea $\bar{\epsilon}_{bc}$ [1-exp(- ζt_0)], $\bar{\epsilon}_{bc}$ fiind valoarea finală a contractiei betonului armat. Restul de contractie produce o forță de compresiune excentrică asupra secțiunii compuse.

Pentru calculul elementelor compuse Cestelli Guidi ia în considerare ipoteza că cele două tipuri de beton au proprietăți reologice identice /28/.

Pentru determinarea diagramei de eforturi unitare Cestelli Guidi determină eforturile unitare din pierderile de forță de precomprimare. Aceste eforturi unitare se scad din cele produse de încărcările exterioare și de efortul de precomprimare. Pierderile de efort de precomprimare (Fig.3.25) se calculează în funcție de pretensionarea în etape.

Pierderile de efort de precomprimare se calculează după cum urmează (Fig.3.25): ΔN_I din momentul primei precomprimări pînă în momentul realizării secțiunii compuse; acționează pe secțiunea elementului precomprimat; $\Delta N_I'$ are în vedere scurtarea elastică a betonului produsă de eventualele pretensionări ulterioare pe secțiunea compusă; acționează pe secțiunea compusă; ΔN_{II} din momentul realizării secțiunii compuse, avînd în vedere și eventuala precomprimare în etape.

Pentru luarea în considerare a efectului contractiei betonului armat secțiunea compusă se încarcă cu o forță excentrică F_r , platată în centrul de greutate al betonului armat, care are valoarea: $F_r = E_s B_s \gamma$, γ fiind diferența dintre contractiile celor două betoane. Deoarece contractia betonului armat este împiedicată de betonul precomprimat, în betonul armat vor apărea întinderi (Fig.3.25).

Principala constatare care se poate face este faptul că nu

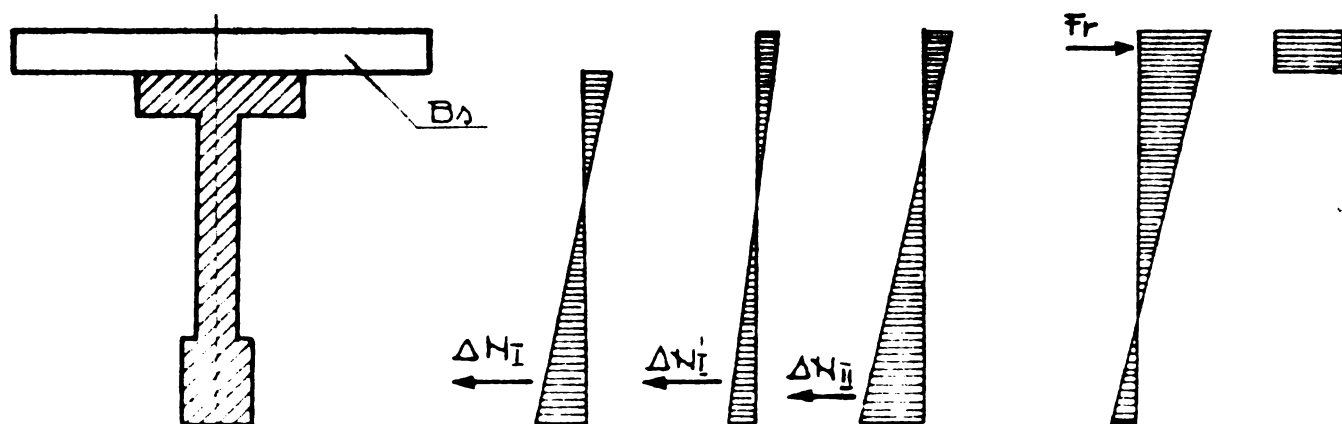


Fig. 3.25. EFORTURI UNITARE DIN PIERDERI DE FORȚĂ DE PRECOMPRIMARE

se ține cont de proprietățile reologice diferite ale celor două tipuri de beton, lucru important în evaluarea corectă a pierderilor de efort de precomprimare.

Pentru luarea în considerare a influenței curgerii lente a betonului asupra stării de eforturi unitare, cu luarea în considerare și a efectului armăturii, Ghibsman /46/ apelează la introducerea unui coeficient de corecție η_{cl} , care ține cont de influența armăturii asupra curgerii lente. Dacă centrul de greutate al armăturii coincide cu centrul de greutate al betonului, în care este înglobată, coeficientul de corecție se calculează cu relația:

$$\eta_{cl} = \theta_a / n_p \mu_p \bar{\rho}_{pi}$$

unde: θ_a este un coeficient întabulat în /62/;

$$\mu_p = A_p / A_{bp}$$

Dacă centrul de greutate al armăturii nu coincide cu centrul de greutate al betonului se folosește pentru calcul metoda fibrelor conjugate. Se determină coeficientul de corecție în dreptul fiecărei fibre conjugate apoi în dreptul centrului de greutate al secțiunii compuse ideale (Fig. 3.26). Aria de armătură luată în considerare va cuprinde și armătura nepretensionată afectată de raportul E_a/E_p .

In continuare calculul se efectuează conform punctului 3.2.2.1. afectind caracteristica curgerii lente cu coeficientul η_{cl} .

Pierderea de tensiune în armătura pretensionată se determină cu relația: $\Delta \sigma_{cl} = n_p \sigma_{(bp)p}^{cl}$ (pentru $\sigma_{(bp)p}^{cl}$ vezi figura 3.22). În mod similar se procedează pentru determinarea variației efortului în armătura nepretensionată.

Pentru a ține cont de influența armăturii asupra contractiei Ghibsman introduce un coeficient de corecție η_{contr} care se găsește întabulat /62/. Cu acest coeficient se afectează valoriile $\varepsilon_{(cp)}^{II}$ și $\varepsilon_{(ca)}^{II}$ ce se introduc în

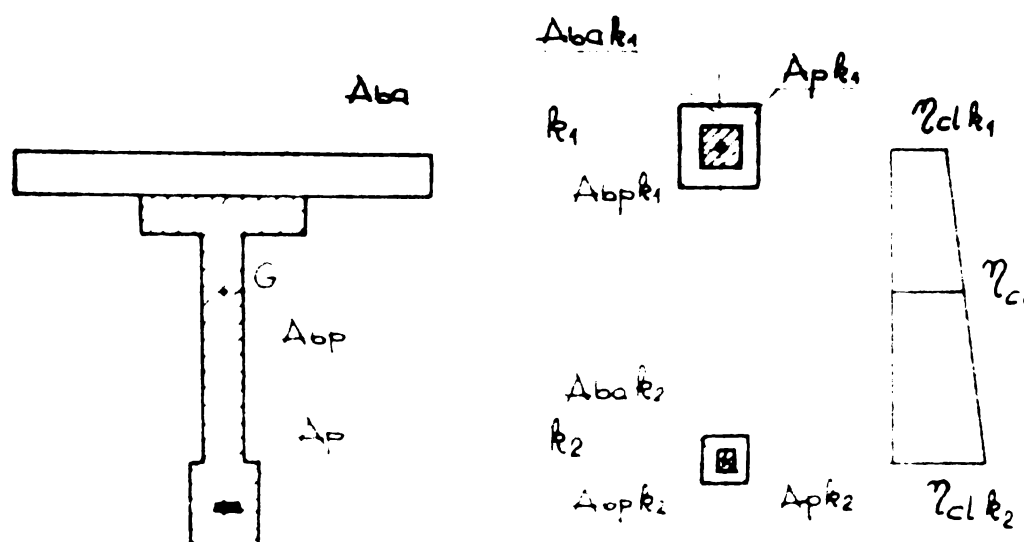


Fig. 3.26. DETERMINAREA COEFICIENTULUI η_{cl}
LA SECȚIUNILE COMPUSE

relațiile (3.22 - 3.23).

Pierderea de tensiune în armătura pretensionată se determină cu relația (Fig.3.23): $\Delta \sigma_c = n_p \sigma_c^c (b_p)_p$. În mod similar se procedează dacă în secțiune există armătură nepretensionată.

Metoda propusă de Ghibgsman pentru luarea în considerare a influenței armăturii asupra curgerii lente și contractiei, deși este aproximativă, prințe efectele tuturor factorilor ce apar.

Pentru luarea în considerare a efectului contractiei și curgerii lente Guyon /48/ ia în considerare deformațiile specifice ce apar ulterior realizării secțiunii compuse și anume (Fig.3.27):

- ε_1 și ε'_1 - contractia și curgerea lentă în betonul pre-comprimat

- ε_2 - contractia betonului armat.

Elementul precomprimat primește o curbă suplimentară:

$$\rho = -\frac{\varepsilon'_1 - \varepsilon_1}{h_1} = \left[\varphi(t+t_3) - \varphi(t_3) \right] \frac{M_0}{E_1 I_1}$$

unde: M_0 este momentul încovoietor produs de efortul inițial de pre-comprimare;

Pentru restabilirea coincidenței între cele două tipuri de beton, pe linia de contact, se introduc necunoscutele F și M . Ecuațiile de echilibru, în cazul grinzelor precomprimate cu placă din beton armat la partea superioară, sint:

$$F \left[\frac{1}{E_1 S_1} \left(1 + \frac{v_1^2}{r_1^2} \right) + \frac{1}{E_2 S_2} \left(1 + \frac{v_2'^2}{r_2^2} \right) \right] + M \left(\frac{v_1}{E_1 I_1} - \frac{v_2'}{E_2 I_2} \right) = \varepsilon_2 - \varepsilon_1 \quad (3.32)$$

$$M \left(\frac{1}{E_1 I_1} + \frac{1}{E_2 I_2} \right) = \frac{\varepsilon'_1 - \varepsilon_1}{h_1} \quad (3.33)$$

In urma unor simplificări rezultă $F = E_2 S_2 (\varepsilon_2 - \varepsilon_1) / 4$, valoare ce permite determinarea eforturilor unitare în cele două elemente componente ale secțiunii compuse.

In luarea în considerare a influenței contractiei și curgerii lente, asupra stării de eforturi unitare, Guyon nu ține cont de curgerea lentă a betonului armat. Evident procedeul descris poate fi aplicat și altor tipuri de secțiuni, unde simplificările anterioare nu pot fi admise, precum și cazurile cind încărcările, care produc curgerea lentă, se aplică la diferiti timpi.

Branson /86/ ține cont de efectul contractiei și curgerii

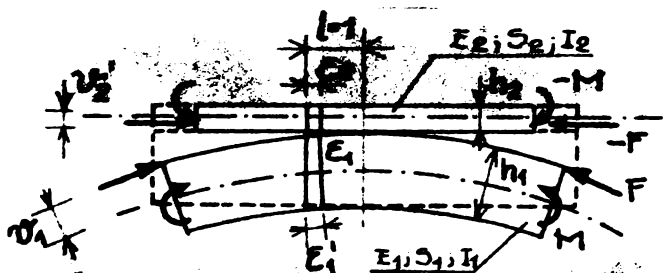


Fig. 3.27. NECENTRACIILE FORȚEI

dusă de o forță păsată în centrul de greutate al betonului monolit; forță este produsă de diferența de deformații specifice (din contractie și curgere lentă) dintre cele două betoane (Fig. 3.28); forță Q exercită o compresiune excentrică asupra secțiunii compuse și o întindere centrică asupra betonului armat.

Branson ia în considerare pentru ambele tipuri de betoane efectul contractiei și curgerii lente însă consideră că aceste deformații specifice sunt uniform distribuite pe secțiunea transversală, a betonului precomprimat, respectiv armat, ceea ce nu corespunde realității.

Normele românești pentru calculul elementelor de construcții civile și industriale /108/, /109/, precum și cele pentru calculul suprastructurilor de poduri /110/, /111/ nu fac precizări privind calculul eforturilor unitare, în astfel de elemente, în stadiul de exploatare.

Indrumătorul tehnic departamental /117/, elaborat de IPTANA, introduce efectul contractiei betonului armat asupra stării de eforturi unitare, prin intermediul unei forțe excentrice, pe secțiunea

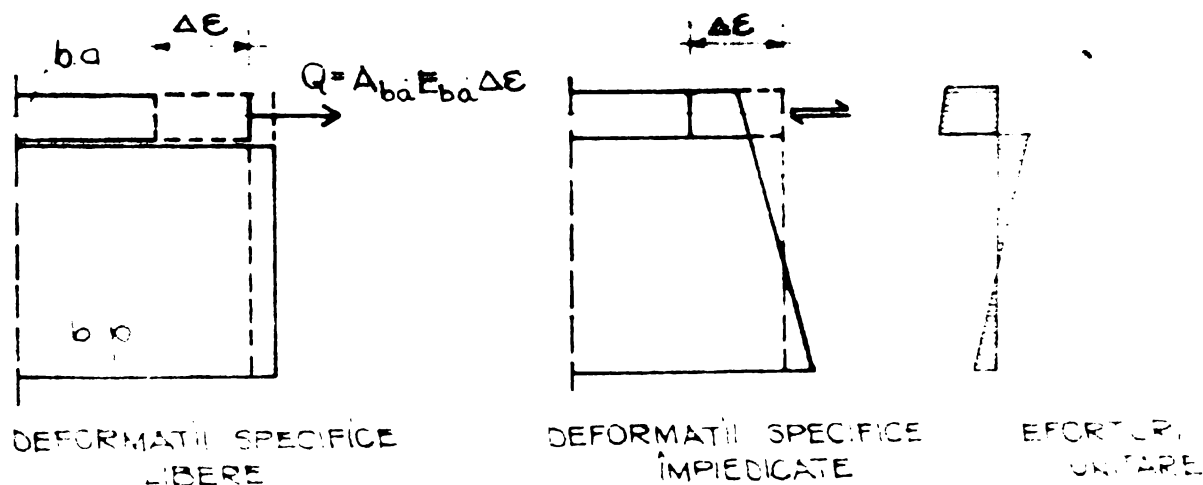


FIG 3.28. EFORTURI UNITARE PRODUSE DE DIFERENȚA DE DEFORMATII SPECIFICE DIN CONTRACTIE SI CURGERE LENTĂ

compusă. Valoarea acestei forțe, ce acționează în centrul de greutate al betonului armat, este:

$$N_{cp} = \Delta c / \left(\frac{1}{E_{bp} A_{bp}} + \frac{1}{E_{ba} A_{ba}} + \frac{d^2}{E_{bp} I_{bp} + E_{ba} I_{ba}} \right)$$

unde: d este distanța de la centrul de greutate al betonului armat pînă la centrul de greutate al secțiunii compuse;

Δc efectul contractiei asimilat cu o scădere de temperatură.

Din forța N_{cp} se calculează eforturile unitare numai în betonul precomprimat. Nu se ține cont de faptul că în betonul armat apar întinderi.

3.4. Calculul eforturilor unitare în secțiunile normale nefisurate ale elementelor compuse

Calculul în fază inițială se face avînd în vedere efortul real de precomprimare (pct.2.3).

3.4.1. Calculul în fază intermediară

Faza intermediară este identică cu sfîrșitul etapei I de dezvoltare a deformațiilor specifice de contractie și curgere lentă.

Pierderea de tensiune din contractie și curgere lentă în armătura preintinsă (toroane) este generată de deformațiile specifice ce se dezvoltă în această etapă și se evaluatează cu relația:

$$\Delta \sigma_{pl\gamma}^I = (\varepsilon_{(cp)pl}^I + \varepsilon_{(clp)pl}^I) E_{pl} \quad (3.34)$$

iar efortul unitar în armătura nepretensionată de rezistență (complementară) este:

$$\Delta \sigma_{a\gamma}^I = (\varepsilon_{(cp)a}^I + \varepsilon_{(clp)a}^I) E_a \quad (3.35)$$

Expresiile (3.34) și (3.35) pot fi aduse la forme prevăzute de /108/ și /110/. Dacă elementele sunt prevăzute cu armături complementare se vor introduce și coeficienții de corecție prevăzuți de /116/, coeficienți cuprinși și în noua redactare a STAS lolo7/o-83.

In această fază efortul unitar în toroane este:

$$\sigma_{ppl}^{int} = \sigma_{ppl} - \left[\Delta \sigma_{pl\gamma}^I + (\Delta \sigma_{plr3} - \Delta \sigma_{plri}) \right]$$

iar efortul real de precomprimare este: $N_{pl}^{int} = A_{pl} \sigma_{ppl}^{int} - A_a \Delta \sigma_{a\gamma}^I$

unde: $\Delta \sigma_{plr3}$ este pierderea de tensiune, din relaxarea toroanelor, la timpul t_3 ;

$\Delta \sigma_{plri}$ - pierderea de tensiune, din relaxarea toroanelor, în fază inițială.

Diagrama de eforturi unitare în beton este reprezentată de diagrama D_1 din figurile 3.29...3.31 și rezultă din efortul real de precomprimare N_{pl}^{int} și momentul încovoiator M_{1+2} produs de încărcăriile permanente aplicate la timpul t_1 și t_2 .

Efortul unitar în armătura complementară este:

$$\gamma_a^{int} = -n_a \gamma_{(bp)a}^{int} - \Delta \gamma_{aI}^I$$

Faza intermediară este origine pentru calculul eforturilor unitare în celelalte faze.

3.4.2. Calculul în faza de dare în exploatare

Faza de dare în exploatare este precedată de faza de postîntindere, dacă există fasciole pentru precomprimare în etape.

In aceste faze este realizată secțiunea compusă, coeficientii de echivalentă n_b , n_{pl} , n_{p2} și n_a evaluindu-se în funcție de mărcele realizate de cele două tipuri de beton. La fel se procedează și cu caracteristicile geometrice ale secțiunii compuse ideale.

Pierderile de tensiune în fasciole se determină în conformitate cu /108/, /110/ și /116/, iar efortul real de precomprimare în conformitate cu punctul 2.3.

In toroane va apărea o pierdere de tensiune din cauza întinderii ulterioare a fascicolelor, egală cu (Fig.3.29):

$$\Delta \gamma_{pls} = n_{pl} \gamma_{(bp)pl}^{p2}$$

Din cauza realizării secțiunii compuse această pierdere de tensiune va provoca o pierdere de efort de precomprimare în toroane, care acționează pe secțiunea compusă. Valoarea acestei pierderi de efort de precomprimare este:

$$\Delta N_{pl} = A_{pl} \Delta \gamma_{pls}$$

Valorile eforturilor unitare în cele două tipuri de beton rezultă, în faza de postîntindere, din insumarea diagramelor $D_1 \dots D_4$ (Fig.3.29), iar în faza de dare în exploatare din insumarea diagramelor $D_1 \dots D_5$.

Eforturile unitare în toroane, fasciole și armătura pasivă în faza de postîntindere sunt (Fig.3.29):

$$\gamma_{ppl}^{post} = \gamma_{ppl}^{int} - \Delta \gamma_{pls} + n_{pl} \gamma_{(bp)pl}^3; \quad \gamma_{pp2}^{post} = \gamma_{pk2}^{int} - \sum \Delta \gamma_{p2}^I$$

$$\gamma_a^{post} = \gamma_a^{int} + n_a (\gamma_{(bp)a}^3 + \gamma_{(bp)a}^A - \gamma_{(bp)a}^{p2})$$

iar în fază de dare în exploatare săint:

$$\sigma_{ppl}^{de} = \sigma_{ppl}^{post} + n_{ppl} \sigma_u^u (bp)_{ppl}; \quad \sigma_{pp2}^{de} = \sigma_{pp2}^{post} + n_{p2} \sigma_u^u (bp)_{p2}$$

$$\sigma_a^{de} = \sigma_a^{post} + n_a \sigma_u^u (bp)_a$$

unde: σ_{pk2} este efortul unitar de control în fascicole;

$\Sigma \Delta \sigma_{p2}$ - suma pierderilor de tensiune ce apar la pretensionarea fascicolelor.

3.4.3. Calculul în fază finală

Determinarea eforturilor unitare, în fază finală, se poate face prin asimilarea cu secțiunile compuse otel-beton /5/ sau pe baza metodei interacțiunii deformațiilor specifice.

In această etapă coeficienții de echivalentă n_0 , n_{p1} , n_{p2} , n_a se stabilesc în funcție de valorile finale ale modulilor de elasticitate ale celor două tipuri de betoane. Caracteristicile geometrice ale secțiunii compuse ideale se calculează în consecință.

3.4.3.1. Calculul prin asimilarea cu secțiunile compuse otel-beton

După depășirea fazei intermediare are loc o dezvoltare paralelă, dar cu viteze diferite, a deformațiilor specifice ale betonului precomprimat, $\varepsilon_{(cp)}^{II}$ și $\varepsilon_{(clp)}^{II}$, și ale betonului armat, $\varepsilon_{(ca)}^{II}$ și $\varepsilon_{(cla)}^{II}$. La un moment dat deformațiile specifice, din contractie și curgere lentă, ale betonului precomprimat se epuizează rămânind să se dezvolte restul de deformații specifice ale betonului armat. Se face asimilarea cu secțiunile compuse otel-beton, deoarece betonul precomprimat și-a epuizat deformațiile specifice, din contractie și curgere lentă, și se găsește în aceeași situație ca și otelul dintr-o secțiune compusă otel-beton.

Față de procedura inițială a asimilării cu secțiunile compuse otel-beton /5/, se are în vedere aplicarea unei precomprimări în etape și luarea în considerare a caracteristicii curgerii lente a betonului precomprimat pentru fiecare timp de aplicare a încărcărilor.

Restul de deformații specifice ale betonului armat, din curgere lentă, vor produce o modificare a modulului de elasticitate al betonului armat:

$$E_{ba'} = E_{ba} / (1 + \Delta \bar{\varphi})$$

unde: $\Delta \bar{\varphi} = \bar{\varphi}_a - \varphi_{pm}$

$\varphi_{pm} = \varepsilon_{(cp)}^{II}/(\bar{\varepsilon}_{(bp)} t_1 + \bar{\varepsilon}_{(bp)} t_2 + \bar{\varepsilon}_{(bp)} t_3)$ - caracteristica medie a curgerii lente a betonului precomprimat, în etapa II, determinată în centrul de greutate al întregii armături pretensionate.

În acest caz coeficientul de echivalentă al betonului armat, pentru încărcările de lungă durată, este:

$$n_{b\varphi} = E_{ba\varphi}/E_{bp} = n_b/(1+\Delta\bar{\varepsilon})$$

Cu ajutorul acestui coeficient se calculează caracteristicile geometrice, $A_{bi\varphi}$ și $I_{bi\varphi}$, ale secțiunii compuse ideale pentru încărcările de lungă durată.

Efectul restului de contractie a betonului armat se ia în considerare printr-o forță excentrică de compresiune asupra secțiunii compuse. Valoarea acestei forțe este: $N_c = (\varepsilon_{(ca)}^{II} - \varepsilon_{(cp)}^{II}) E_{bp} b_{a\varphi} h_a$.

Dacă betonul precomprimat și-a epuizat contractia el va împiedica betonul armat să se contracte, cu cantitatea $\varepsilon_{(ca)}^{II} - \varepsilon_{(cp)}^{II}$, astfel că în acest beton vor apărea întinderi.

Pierderile de tensiune din contractie și curgere lentă, în toroane și fascicole sunt:

$$\Delta\bar{\varepsilon}_{pl\varphi}^{II} = (\varepsilon_{(cp)pl}^{II} + \varepsilon_{(clp)pl}^{II}) E_{pl}; \quad \Delta\bar{\varepsilon}_{p2\varphi}^{II} = (\varepsilon_{(cp)p2}^{II} + \varepsilon_{(clp)p2}^{II}) E_{p2}; \quad (3.36-3.37)$$

iar efortul unitar în armătura complementară este:

$$\Delta\bar{N}_{a\varphi}^{II} = (\varepsilon_{(cp)a}^{II} + \varepsilon_{(clp)a}^{II}) E_a \quad (3.38)$$

Relațiile (3.36 - 3.38) pot fi aduse la forme prevăzute în /108/, /110/ și /116/.

Pierderea de efort de precomprimare, în toroane, se calculează cu relația:

$$\Delta\bar{N}_{pl} = A_{pl} \left[\Delta\bar{\varepsilon}_{pls}^{II} + \Delta\bar{\varepsilon}_{pl\varphi}^{II} + (\Delta\bar{\varepsilon}_{plr}^{II} - \Delta\bar{\varepsilon}_{pl3}^{II}) \right] + A_a \Delta\bar{\varepsilon}_{a\varphi}^{II} \quad (3.39)$$

Efortul real de precomprimare din fascicole se determină conform punctului 2.3.

Valorile eforturilor unitare în cele două tipuri de beton rezultă din însumarea diagrameelor din figura 3.30.

Eforturile unitare în toroane, fascicole și armătura complementară sunt (Fig. 3.30):

$$\bar{\varepsilon}_{pp1} = \bar{\varepsilon}_{pp1}^{\text{int}} - \left[\Delta\bar{\varepsilon}_{pls}^{II} + \Delta\bar{\varepsilon}_{pl\varphi}^{II} + (\Delta\bar{\varepsilon}_{plr}^{II} - \Delta\bar{\varepsilon}_{pl3}^{II}) \right] + n_{pl} (\bar{\varepsilon}_{(bp)pl}^3 + \bar{\varepsilon}_{(bp)pl}^c + \bar{\varepsilon}_{(bp)pl}^{uld} + \bar{\varepsilon}_{(bp)pl}^{usd})$$

$$\bar{\varepsilon}_{pp2} = \bar{\varepsilon}_{pp2}^{\text{post}} - (\Delta\bar{\varepsilon}_{p2\varphi}^{II} + \Delta\bar{\varepsilon}_{p2r}^{II}) + n_{p2} (\bar{\varepsilon}_{(bp)p2}^0 + \bar{\varepsilon}_{(bp)p2}^{uld} + \bar{\varepsilon}_{(bp)p2}^{usd})$$

$$\bar{\sigma}_a = \frac{int + n_a (\bar{\sigma}^3_{(bp)a} + \bar{\sigma}^\Delta_{(bp)a} - \bar{\sigma}^c_{(bp)a} + \bar{\sigma}^o_{(bp)a} + \bar{\sigma}^{uld}_{(bp)a} + \bar{\sigma}^{usd}_{(bp)a})}{a_p} - \Delta \bar{\sigma}_{a_p}^{II}$$

unde: $\Delta \bar{\sigma}_{p2r}$ este pierderea de tensiune din relaxarea fascicolelor.

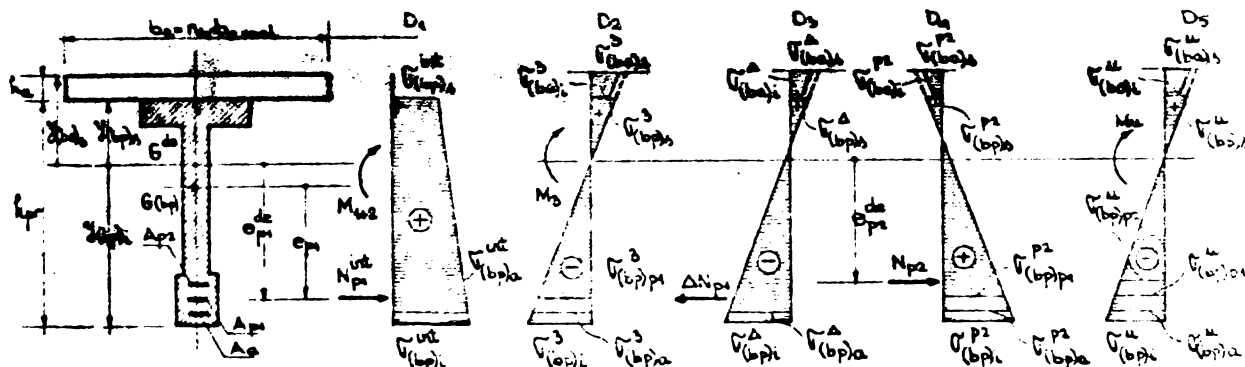


FIG.3.29. DIAGRAME DE EFORȚURI UNITARE ÎN FAZĂ DE POSTINTINDERE ȘI DARE ÎN EXPLODARE.

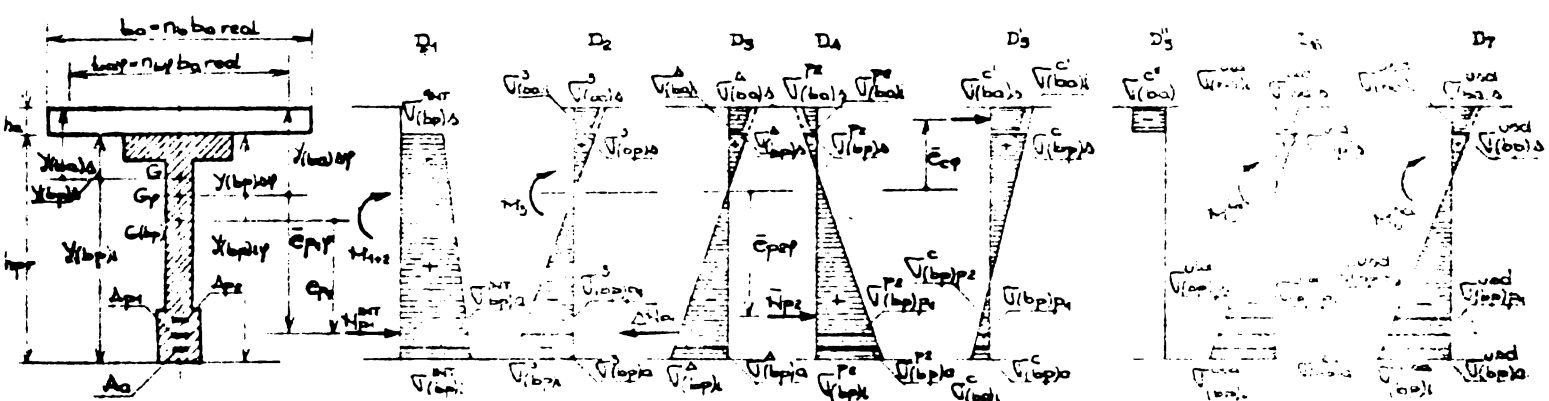


FIG.3.30. DIAGRAMA DE EFORȚURI UNITARE ÎN FAZĂ FINALĂ, PRIN METODA ASIMILĂRII CU SECTIUNI COMPOZITE OTEL-BETON

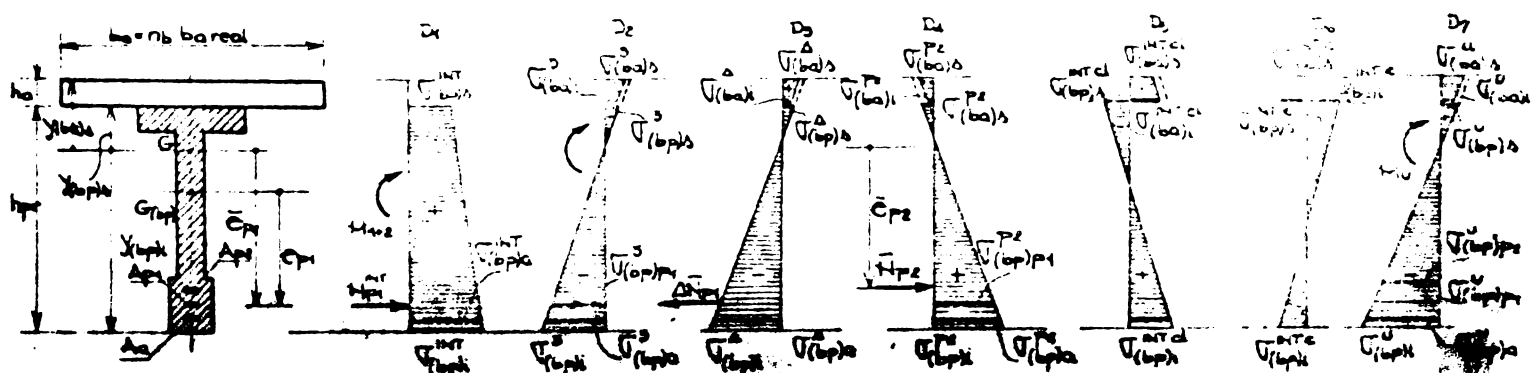


FIG.3.31. DIAGRAME DE EFORȚURI UNITARE ÎN FAZĂ FINALĂ, PRIN METODA INTERACȚIUNII DEFORMAȚIILOR SPECIFICE

3.4.3.2. Calculul pe baza interacțiunii deformațiilor specifice.

Pierderile de tensiune, în toroane și fasciole, din contractie și curgere lentă se determină pe baza deformațiilor specifice obținute în urma interacțiunii deformațiilor specifice (Fig.3.24):

$$\Delta \bar{\sigma}_{pl_p}^{II} = (\varepsilon_{(bp)pl}^{plan c} + \varepsilon_{(bp)pl}^{plan cl})_{E_{pl}}; \Delta \bar{\sigma}_{p2_p}^{II} = (\varepsilon_{(bp)p2}^{plan c} + \varepsilon_{(bp)p2}^{plan cl})_{E_{p2}} \quad (3.40-3.41)$$

Efortul unitar în armătura pasivă este:

$$\Delta \bar{\sigma}_{a_p}^{II} = (\varepsilon_{(bp)a}^{plan c} + \varepsilon_{(bp)a}^{plan cl})_{E_a} \quad (3.42)$$

Pierderea de efort de precomprimare în toroane se calculează

cu relația (3.39) introducind valorile din (3.40) și (3.42), iar efortul real de precomprimare din fascicole se calculează conform punctului 2.3, cu valoarea din (3.41).

Valorile eforturilor unitare în cele două tipuri de beton se obțin prin însumarea diagramelor din figura 3.31.

Eforturile unitare în toroane, fascicole și armătura complementară sunt (Fig. 3.31):

$$\bar{\sigma}_{pp1} = \sigma_{pp1}^{int} - [\Delta \sigma_{pls} + \Delta \sigma_{pl\varphi}^{II} + (\Delta \sigma_{plr} - \Delta \sigma_{plr3})] + n_{pl} (\sigma_{(bp)pl}^3 + \sigma_{(bp)pl}^u)$$

$$\bar{\sigma}_{pp2} = \sigma_{pp2}^{post} - (\Delta \sigma_{p2}^{II} + \Delta \sigma_{p2r}) + n_{p2} \sigma_{(bp)p2}^u$$

$$\bar{\sigma}_a = \sigma_a^{int} + n_a (\sigma_{(bp)a}^3 + \sigma_{(bp)a}^u - \sigma_{(bp)a}^{p2} - \sigma_{(bp)a}^u) - \Delta \sigma_{a\varphi}^{II}$$

3.4.3.3. Analiză comparativă a celor două metode de calcul ale eforturilor unitare în fază finală.

Metoda interacțiunii deformațiilor specifice este o metodă exactă deoarece asigură egalitatea deformațiilor specifice, din contractii și curgere lentă, la nivelul de contact dintre cele două tipuri de beton, asigurînd astfel respectarea ipotezei secțiunilor plane. Lucrîndu-se cu valorile deformațiilor specifice este scoasă din discuție viteza de dezvoltare a acestor deformații, viteză care în cazul metodei asimilării este neluată în considerare, introducîndu-se în acest fel alt factor ce determină caracterul aproximativ al metodei asimilării. Ca dezavantaj al metodei interacțiunii deformațiilor specifice este faptul că ea este mai laborioasă decît metoda asimilării.

In vederea comparării rezultatelor obținute prin cele două metode, s-a calculat starea de eforturi unitare, în fază finală, pentru grinda de pod din figura 3.32, realizată în două variante de armare. Solicitările avute în vedere sunt următoarele: gr. proprie a grinzi prec. $M_1 = M_p = 9,53$ tm; gr. plăcii de beton armat $M_2 = M_a = 6,63$ tm; greutatea căii de rulare $M_3 = M_{calc} = 2,56$ tm; convoi rutier $M_u = M_c = 30,0$ tm.

In figura 3.32 se prezintă și diagrama de eforturi unitare în fază intermediară, iar în figura 3.33 diagramele de eforturi unitare.

Din compararea rezultatelor se desprind următoarele constatări:

- în cazul precomprimării puternice (varianta 1 de armare)

starea de eforturi unitare, sub încărcările totale (diagrama DF), în betonul precomprimat este aceeași, indiferent de metoda folosită, existind diferențe în privința betonului armat;

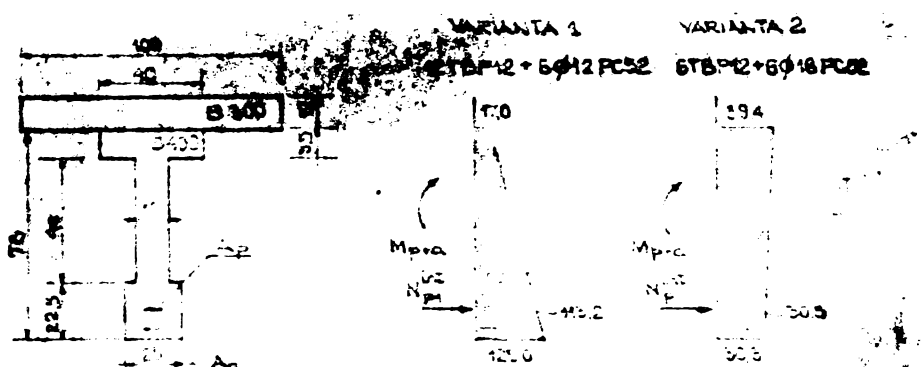
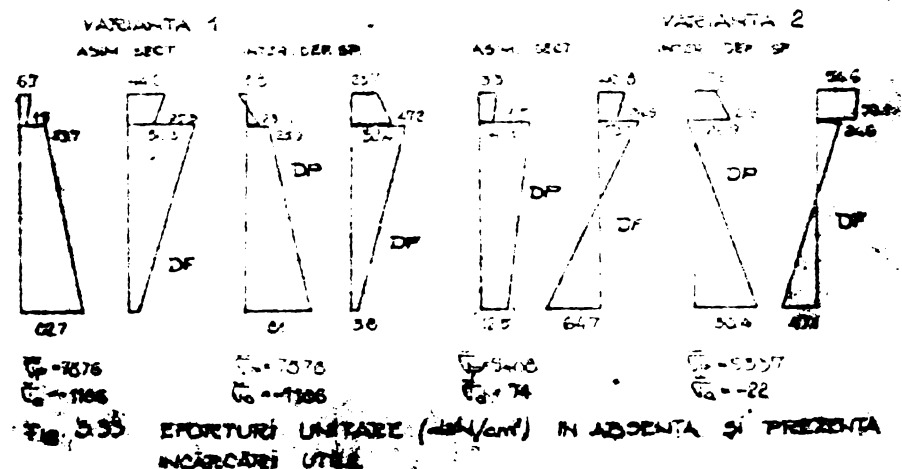


FIG. 3.32. SECȚIUNE TRANVERSALĂ și EFORȚURI UNITARE ÎN FAZĂ INTERMEDIARĂ.



rezultatele obținute prin cele două metode, metoda asimilării conducind la eforturi unitare mai mari în betonul precomprimat, sub efectul încărcărilor totale;

- între eforturile unitare în armături nu există diferențe sensibile.

Având în vedere rezultatele obținute, caracterul exact al unei metode, respectiv cel aproximativ al celeilalte, precum și volumul de muncă cerut:

- se poate accepta utilizarea metodei asimilării cu secțiunile compuse otel-beton în cazul elementelor puternic precomprimate (grad de precomprimare, conform relației 4.4, cuprins în intervalul 0,9....1,0);

- în cazul elementelor importante (indiferent de gradul de precomprimare), precum și în cazul elementelor secundare cu precomprimări reduse (grad de precomprimare 0,6....0,8) se va utiliza metoda interacțiunii deformațiilor specifice.

3.4.3.4. Influenta momentului de realizare a portiunii de beton armat asupra stării de eforturi unitare.

In momentul proiectării elementelor compuse este necesar a

- diferențele de mai sus se datoresc efectului puternic al interacțiunii deformațiilor specifice de curgere lentă, interacțiune ce crează întinderi cu caracter permanent în betonul armat (diagrama DP) și care nu se evidențiază, decât în cazul utilizării metodei bazate pe interacțiunea deformațiilor;

- în cazul precomprimării reduse (varianta 2 de armare) există diferențe sensibile între

se cunoaște timpul la care se va realiza portiunea de beton armat decarece aceasta influențează sensibil starea de eforturi unitare.

In vederea evaluării influenței timpului de realizare a portiunii de beton armat (t_2) asupra eforturilor unitare s-a luat în considerare secțiunea compusă din figura 3.34 în trei variante de armare. Pentru momentul realizării portiunii de beton armat s-au admis următoarele valori pentru timpul t_2 : 1; 2; 3; 4 săptămâni; 2; 3; 4; 5; 6 luni; 1; 2; 3 ani. Calculele sunt prezentate în anexa 2.1.

In figurile 3.35 a...3.38 a se prezintă modul de evoluție al eforturilor unitare în cele patru fibre ale secțiunii din efectul interacțiunii deformațiilor de curgere lentă, contractie, precum și efectul cumulat.

In figurile 3.35 b...3.38 b se prezintă modul de evoluție al eforturilor unitare în momentul cînd elementul nu este încărcat cu sarcina utilă.

In figura 3.39 se prezintă modul de evoluție al momentului încovoiator de decompresiune.

Influența timpului t_2 , de realizare a portiunii de beton armat, are o influență cvasiliniară asupra eforturilor unitare din interacțiunea curgerii lente, atunci cînd realizarea portiunii de beton armat se face într-un interval de pînă la două luni de la transfer. Dacă realizarea portiunii de beton armat se realizează la un interval mai mare de două luni de la transfer se constată o atenuare a influenței timpului t_2 și indiferent de varianta de armare eforturile unitare tind spre aceeași valoare (Fig. 3.35 a.... 3.38 a).

Aceeași cvasiliniaritate se constată și în cazul eforturilor unitare în lipsa încărcării utile (Fig.3.35.b....3.38 b), urmată de o tendință de stabilizare, mai pronunțată în cazul procomprimării mai puternice. Influența cantității de armătură pretensionată este mai puternică în cazul efortului unitar din fibra inferioară a betonului precomprimat, în celelalte fibre diferențele sunt cu mult mai reduse. In fibra inferioară a betonului precomprimat, în cazul variantei 3 de armare, și în fibrele betonului armat se constată și o schimbare

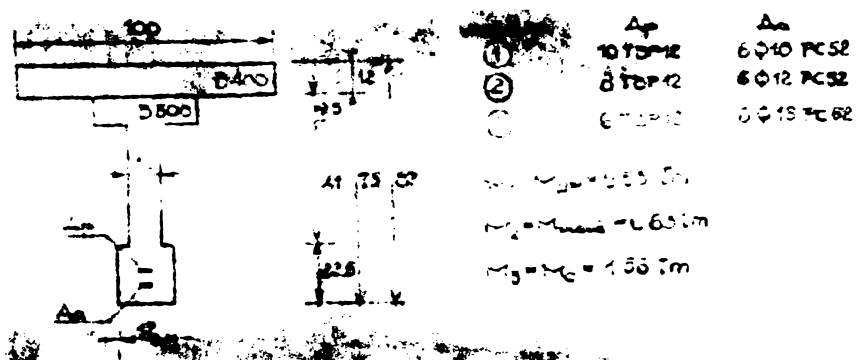


Fig. 3.34. DATE DE REALIZARE A PORTIUNII DE BETON ARMAT

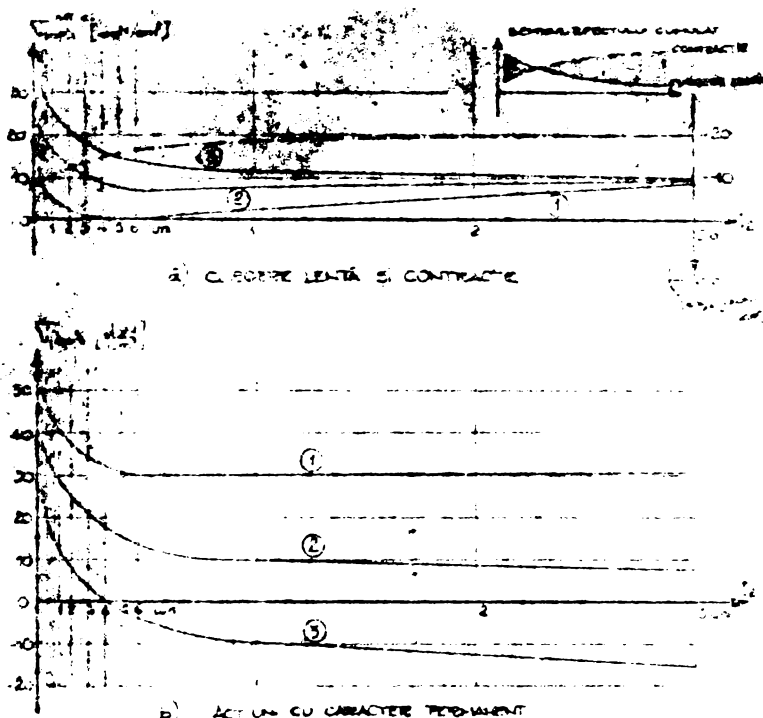


Fig. 355 EVOLUTIA ESFORȚUILOR UNITARE ÎN FIBRA MEDIICĂ
A DETONIULUI PRECOMPRIMAT

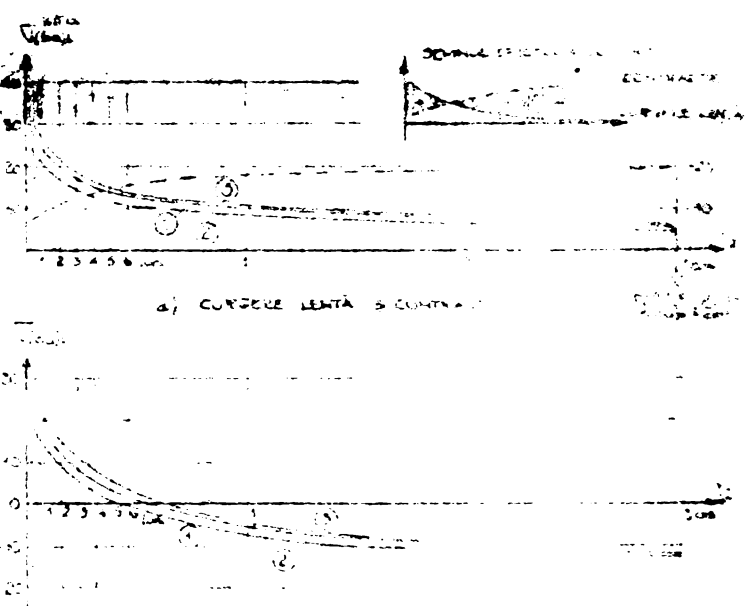


Fig. 357 EVOLUTIA ESFORȚUILOR UNITARE ÎN FIBRA MEDIICĂ
A DETONIULUI ARMAT

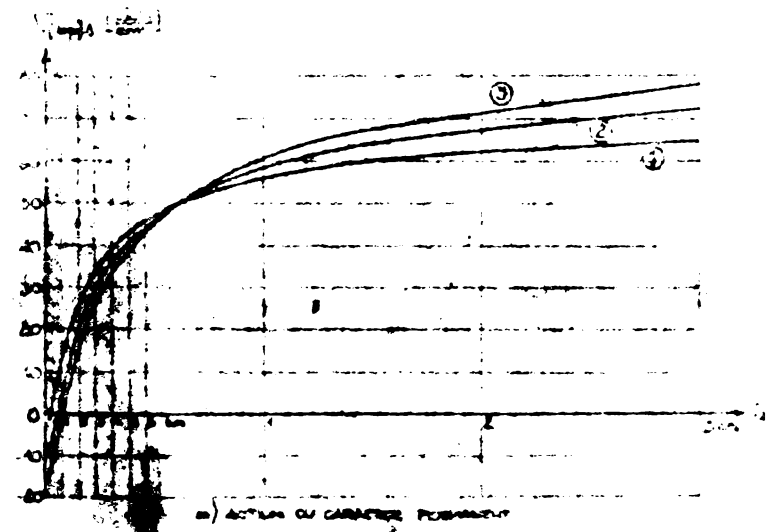
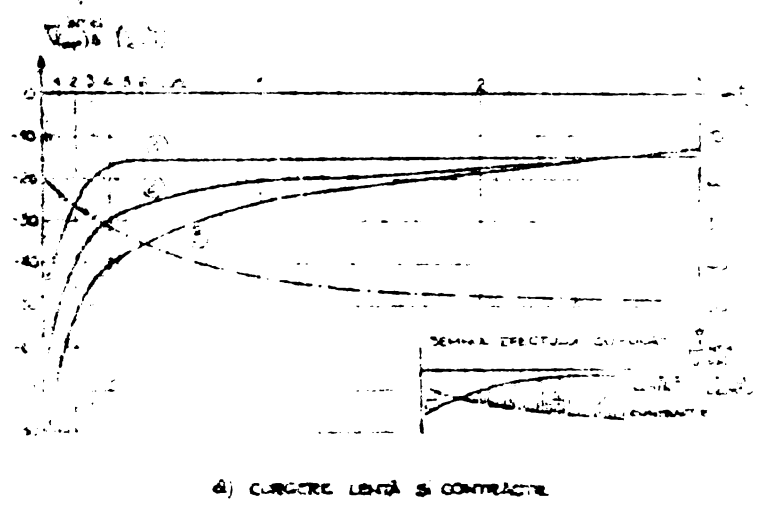


Fig. 358 EVOLUTIA ESFORȚUILOR UNITARE ÎN FIBRA SUPERIOARĂ
A DETONIULUI ARMAT

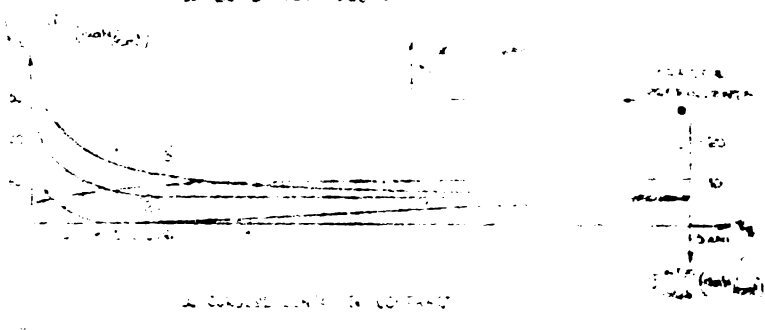


Fig. 359 EVOLUTIA ESFORȚUILOR UNITARE ÎN FIBRA SUPERIOARĂ
A DETONIULUI ARMAT

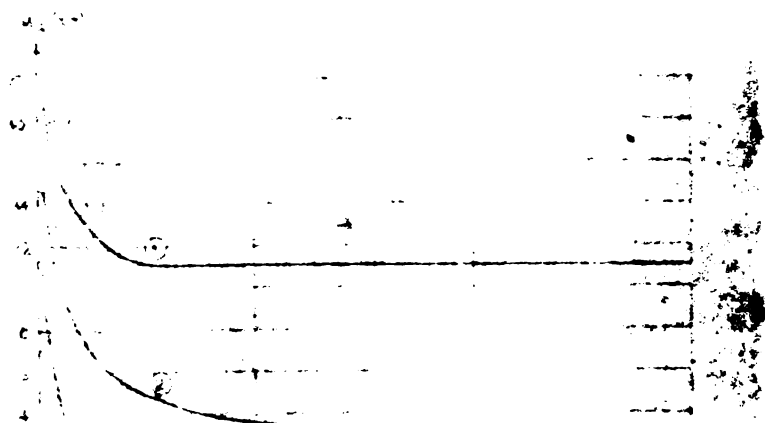


Fig. 360 EVOLUTIA ESFORȚUILOR UNITARE ÎN FIBRA SUPERIOARĂ
A DETONIULUI ARMAT

de semn atunci cînd portiunea de beton armat se realizează mai tîrziu de un an de la transfer.

Eforturile unitare din interacțiunea deformațiilor specifice de curgere lentă au un efect favorabil, de reducere a eforturilor unitare din interacțiunea deformațiilor specifice din contractie. În tabelul 3.7. este dat intervalul de timp pentru realizarea portiunii de beton armat. În aşa fel ca să se producă o anulare a efectului contrac-

Tabel 3.7.

Intervalul optim de timp pentru realizarea portiunii de beton armat

| Varianta | Fibra | | | |
|----------|-------------|----------|----------|---------------|
| | (bp)i | (bp)s | (ba)i | (ba)s |
| 1 | 1 - 3 săpt. | 2 luni | 3-5 luni | 0,5-2 luni |
| 2 | 2 - 3 luni | 3-4 luni | 4-6 luni | 3-6 luni |
| 3 | 3 - 6 luni | 5-7 luni | 4-6 luni | 9 luni - 1 an |

ției, rezultînd ca favorabil intervalul de timp de una pînă la trei luni.

Momentul încovoietor de decompresiune este puternic afectat de timpul cînd se realizează portiunea de beton armat (Fig.3.39). În cazul variantei 1 de armare se constată totuși, o stabilizare a scăderii momentului încovoietor de decompresiune, în timp ce în cazul variantei 3 se ajunge pînă la anularea momentului încovoietor de decompresiune.

Desigur că rezultatele anterioare nu pot fi generalizate la toate tipurile de elemente compuse, ele dînd numai o privire de ansamblu, asupra influenței timpului de realizare a portiunii de beton armat, desprinzîndu-se și concluzia că trebuie acordată o atenție deosebită elementelor cu precomprimări reduse.

3.5. Determinarea momentului încovoietor de fisurare al elementelor compuse beton precomprimat - beton armat

Despre necesitatea cunoașterii momentului încovoietor de fisurare al elementelor precomprime părerile diferitilor autori și prevederile diferitor norme de calcul sunt împărtite.

Dintre normele românești Normativul P 8-62 /106/ prevedea calculul momentului încovoietor de fisurare. Normele românești actuale /108/, /110/ și /116/, precum și noile revizuirile /109/ și /111/ prevăd, în secțiuni normale, verificarea inchiderii fisurilor și verificarea deschiderii fisurilor, apariția fisurilor nefiind prevăzută.

Dığı normele românești nu prevăd verificarea apariției fi-

surilor din punctul de vedere al încercărilor de laborator și al interesului științific, momentul încovoietor de fisurare este o mărime ce prezintă interes.

3.5.1. Ipoteza și relații pentru calculul momentului încovoietor de fisurare al elementelor precomprimate

Principala problemă în determinarea momentului încovoietor de fisurare o constituie comportamentul betonului întins: elastic sau plastic. În prezent problema este transată în favoarea comportamentului plastic al betonului, cu luarea în considerare a unor factori ce reduc plasticizarea. Dintre cei ce admit comportarea elastică a betonului întins, se pot aminti Branson /86/, Pinglot-Pons /78/, iar dintre cei ce iau în considerare comportamentul plastic se pot reține Guyon /48/, Cestelli Guidi /28/, toți autori români. Printre normele de calcul ce iau în considerare comportamentul plastic se pot aminti: normele sovietice /114/, normele CAER /115/, precum și vechiul normativ românesc P 8-62 /106/, în timp ce normele CEB-FIP iau în considerare comportamentul elastic /113/.

Ipotezele folosite pentru determinarea momentului încovoietor de fisurare sunt: ipoteza secțiunilor plane; comportarea elastică a betonului comprimat; comportarea plastică a betonului întins; deformăția specifică limită la întindere a betonului, ținând cont de plasticizarea sa, este $\bar{\epsilon}_t = 2R_t/E_b$.

Plecind de la aceste ipoteze, expresia momentului încovoietor de fisurare rezultă din ecuația de momente în raport cu vîrful sămburelui central opus fibrei întinse.

Normativul condiționat P 8-62 prevede pentru calculul momentului încovoietor de fisurare relația

$$M_I^S = W_f R_t + m_a \bar{M}_0^S \quad (3.43)$$

unde: $W_f = \gamma W_0$ este nodul de rezistență la fisurare, a zonei întinse de beton;

R_t - rezistență la întindere a betonului;

M_0^S - momentul efortului de precomprimare față de vîrful sămburelui central;

m_a - coeficient de imprecisie al efortului de precomprimare;

W_0 - modulul de rezistență elastic al zonei întinse

INCERC București și I.P.Iași propun pentru calculul momentului încovoietor de fisurare relația /99/, /100/

$$M_T = W_o R_{bz}^* + M_o^s \quad (3.44)$$

unde: $R_{bz}^* = 1,5 R_t + 0,1 N_o / A_b$ - rezistență aparentă la întindere a betonului.

Normele sovietice /114/ și CAER /115/ prevăd următoarea relație pentru calculul momentului încovoietor de fisurare:

$$M_T = W_T R_t^n + M_o \quad (3.45)$$

unde: $W_T = 2I_c/h-x+S_t$ este modulul de rezistență al zonei întinse de beton cu luarea în considerare a comportării plastice a betonului;

I_c - momentul de inertie al zonei comprimate de beton, în raport cu axa neutră;

S_t - momentul static al zonei întinse de beton, în raport cu axa neutră;

$$x = h - 2 S_c / A_t$$

S_c - momentul static al zonei comprimate în raport cu axa neutră;

A_t - aria zonei întinse de beton;

R_t - rezistență normată la întindere a betonului

M_o - momentul efortului de precomprimare în raport cu vîrful simburelui central opus fibrei întinse.

Toate relațiile având aceleasi ipoteze, au aceeasi formă principală.

Guyon ajunge la o relație similară cu relațiile anterioare adoptînd un comportament elastic al betonului, dar cu o rezistență aparentă la întindere și care corespunde deformării specifice limită $\bar{\epsilon}_t$.

Compararea relațiilor (3.43 - 3.45) cu rezultatele experimentale este prezentată la punctul 5.2.2.

3.5.2. Calculul momentului încovoietor de fisurare al elementelor compuse

Ipotezele prezentate la punctul 3.5.1. sunt valabile și pentru secțiunile compuse beton precomprimat - beton armat, dar aplicarea directă a oricărei dintre relațiile (3.43 - 3.45) nu este posibilă din următoarele cauze: existența unei diferențe de timp între apariția eforturilor unitare în betonul precomprimat și în cel armat și din cauza diferențelor de contractie și curgere lentă, ce există între cele două betoane. Din cauzele expuse mai sus nu se poate stabili o relație între eforturile unitare în beton $\sigma_{(ba)i}$ și $\sigma_{(ba)s}$, pe de o parte și efortul unitar în betonul precomprimat $\sigma_{(bp)s}$ (Fig.3.40)

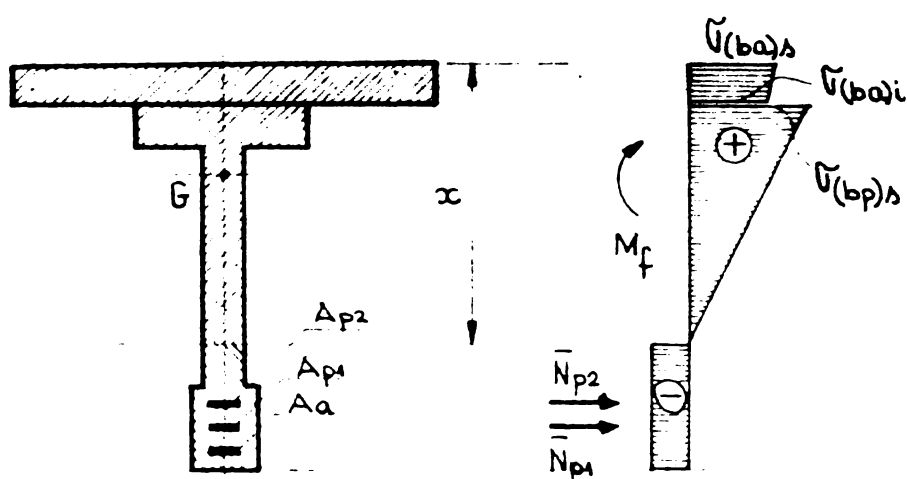


FIG. 3.40. STADIUL I-a ÎN SECȚIUNILE COMPUSE

să de momentul încovoiector de decompresiune M_d . Fisurarea secțiunii normale se va produce sub efectul momentului încovoiector ΔM_p , iar în final momentul încovoiector de fisurare este: $M_f = M_d + \Delta M_p$.

Prin plecarea de la starea de decompresiune se ia în considerare efectul diferențelor de contractie și curgere lentă ale celor două betoane. De asemenea este scoasă din discuție și diferența de timp ce există între apariția eforturilor unitare în cele două betoane.

Pentru deformările specifice și eforturile unitare din figura 3.41 se pot scrie două ecuații de echilibru static și 3 ecuații de compatibilitate a deformărilor specifice. În aceste ecuații intervine și o parte din betonul comprimat în starea de decompresiune și care este capabil de a prelua întinderi. Sistemul de ecuații este:

$$\int_0^{x_1} \sigma_{by} b_y dy - \int_0^{h-x_1} \sigma'_{by} b'_y dy' = 0; \quad \Delta M_f = \int_0^{h-x_1} \sigma'_{by} b'_y z_y dy' \quad (3.46-3.50)$$

$$\sigma_o = \sigma_{(bp)s}^d \frac{h-x}{h_{pr}}; \quad \sigma_o = \sigma_b \frac{x-x_1}{x_1}; \quad \sigma_b = 2R_t \frac{x_1}{h-x_1}$$

Sistemul de ecuații (3.46 - 3.50) este un sistem neliniar de ecuații a cărei rezolvare se poate face cu ajutorul calculatorului electronic prin apelarea bibliotecii matematice generale SANDIA /77/ sau prin încercări.

Eforturile unitare în fibrele comprimate sunt:

$$\sigma_{(bp)s}^d = \sigma_{(bp)s}^d + \sigma_{bl}; \quad \sigma_{(ba)i}^d = \sigma_{(ba)i}^d + k_b \sigma_{bl}; \quad \sigma_{(ba)s}^d = \sigma_{(ba)s}^d + k_b \sigma_b$$

Procedeul descris mai sus a fost comparat cu relația prevăzută de Normativul P 8-62, prin particularizare pe o secțiune dreptunghiulară precomprimată (Fig. 3.42), constatindu-se identitatea rezul-

pentru a se putea stabili mărimea resultantei eforturilor unitare de compresiune.

Coefficienții de echivalență ai betonului armat și ai armăturilor se determină în funcție de valorile finale ale modulilor de elasticitate

Pentru determinarea momentului încovoiector de fisurare se pleacă de la starea de decompresiune produ-

Procedeu aproximativ de determinare a momentului încovoiator de fisurare

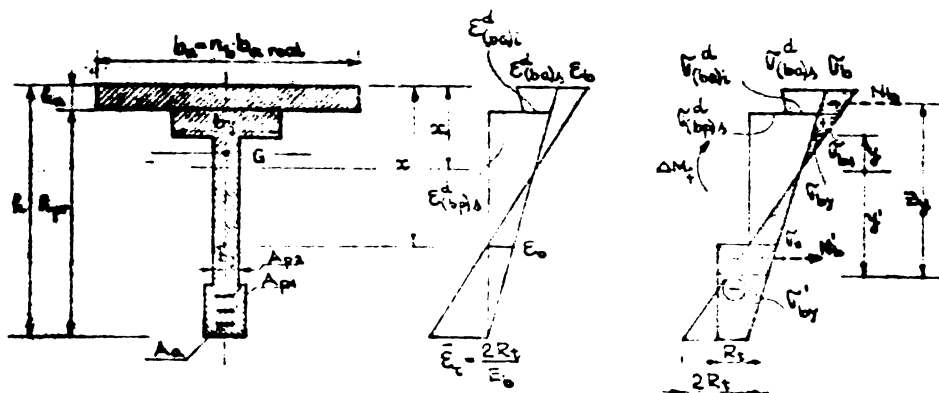


FIG. 3.41. IPOTEZE PENTRU CALCULUL MOMENTULUI ÎNCOVOIATOR DE FISURARE.

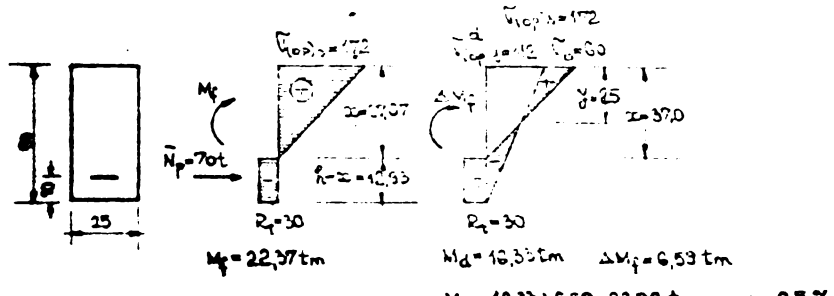


FIG. 3.42. SÍNTESA CALCULELOR COMPARATIVE PRIVIND DETERMINAREA MOMENTULUI ÎNCOVOIATOR DE FISURARE.

Coefficientii k_1 și k_s conțin implicit și coeficientul de echivalentă n_b .

Sistemul de ecuații ce se formează este:

$$\int_0^x b_y y dy - R_t \int_{h-x}^{h-z} b_y' y dy' - (N_{pl}^{\text{int}} - \bar{N}_{pl}) - \bar{N}_{p2} = 0 \quad (3.53)$$

$$M_g = R_t \int_0^x b_y' z_y y dy' + (N_{pl}^{\text{int}} - \bar{N}_{pl}) z_{pl} + F_{p2} z_{p2} \quad (3.54)$$

$$\frac{G}{(bp)s} = \frac{2R_t}{h-x} \frac{x-h}{h-x} \quad (3.55)$$

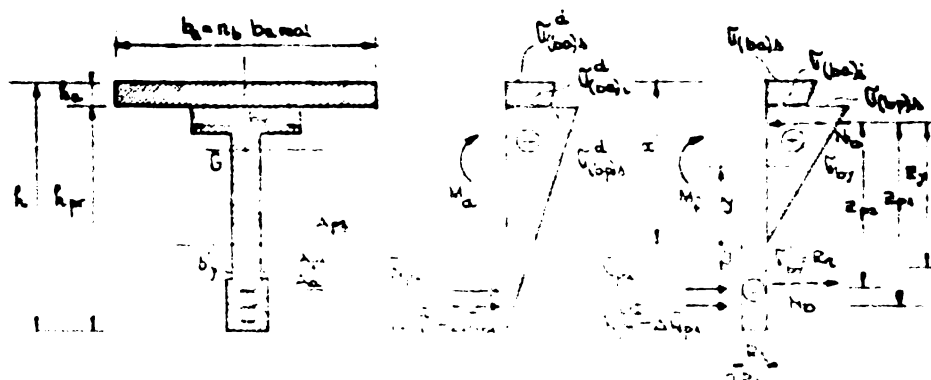


FIG. 3.43. PROCEDU APROXIMATIV DE DETERMINARE A MOMENTULUI ÎNCOVOIATOR DE FISURARE.

Procedeul aproximativ conduce la un calcul descoptor, cu cca 20%, și se bazează pe ipoteza că între eforturile unitare din beton, în stadiul I a, există aceleasi rapoarte ca și între eforturile unitare din beton în stadiul de decompresiune, adică (Fig. 3.43):

$$k_1 = \frac{G_d^d (ba)_1}{G_d^d (bp)_s} \frac{G_d^d (ba)_1}{G_d^d (bp)_s} \quad (3.51)$$

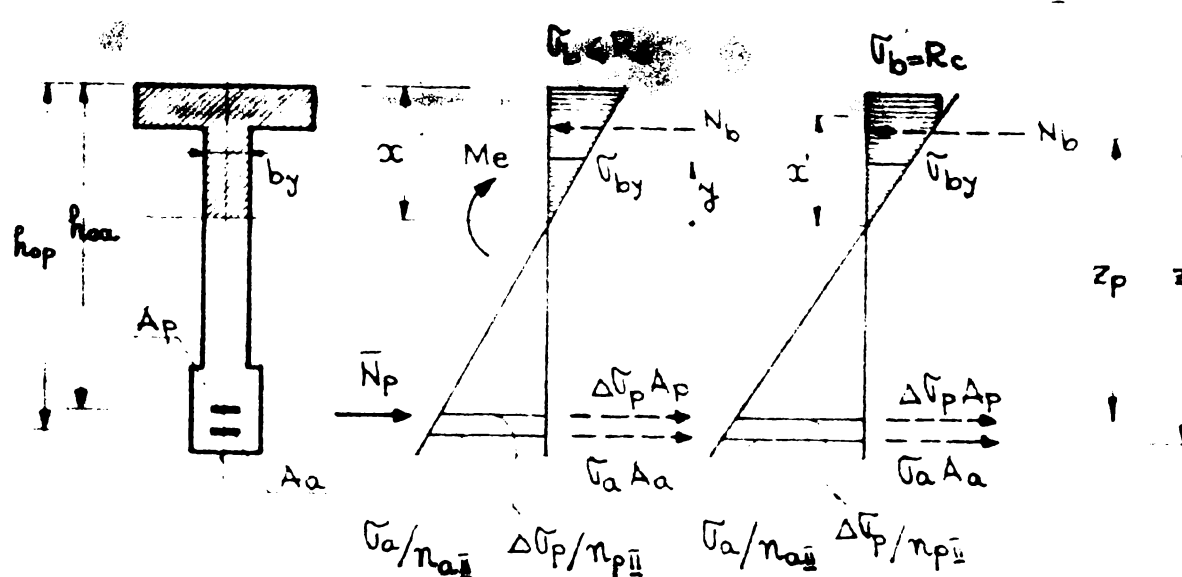
$$k_s = \frac{G_d^d (ba)_s}{G_d^d (bp)_s} \frac{G_d^d (ba)_s}{G_d^d (bp)_s} \quad (3.52)$$

3.6. Determinarea eforturilor unitare în secțiunile normale fisurate ale elementelor compuse

3.6.1. Ipoteze și relații de calcul pentru elementele precomprimate

Calculul eforturilor unitare în stadiul II, cu

zona întinsă fisurată, se face pe baza următoarelor ipoteze (Fig. 3.44): secțiunile rămîn plane și după deformare; betonul întins și nefisurat nu se ia în considerare la preluarea solicitărilor; eforturile unitare de compresiune din beton sunt distribuite liniar pînă la valoarea R_c , în continuare avînd valoarea constantă R_c ; efortul de precomprimare se consideră ca o forță exterioară; coeficientul de echivalentă al armăturii pretensionate este: $n_{pII} = n_p (1 + 0,8v\bar{\rho})$, iar al armăturii pasive, este: $n_{aII} = n_a (1 + 0,3 v\bar{\rho})$ armătura complementară se ia în considerare numai dacă $A_a \geq 0,25 A_p$.



Determinarea
eforturilor uni-
tare și a posi-
ției axei neutre
rezultă din sis-
temul de ecuații

FIG. 3.44. EFORTURI UNITARE ÎN SECȚIUNI NORMALE FISURATE

$$\bar{N}_p = \int_{-x}^x \sigma_b y dy - A_p \Delta \bar{\sigma}_p - A_a \bar{\sigma}_a \quad (3.56)$$

$$M_e - \bar{N}_p z_p = A_p \Delta \bar{\sigma}_p z_p + A_a \bar{\sigma}_a z_a \quad (3.57)$$

$$\Delta \bar{\sigma}_p = \frac{h_{0p} - x}{x} \sigma_b n_{pII} \quad \text{ sau } \Delta \bar{\sigma}_p = \frac{h_{0p} - x}{x} R_c n_{pII} \quad (3.58 - 3.59)$$

$$\bar{\sigma}_a = \frac{h_{0a} - x}{x} \sigma_b n_{aII} \quad \text{ sau } \bar{\sigma}_a = \frac{h_{0a} - x}{x} R_c n_{aII} \quad (3.60 - 3.61)$$

3.6.2. Determinarea exactă a eforturilor unitare în secțiuni-normale fisurate ale elementelor compuse.

Ipotezele simplificatoare de la punctul 3.6.1. sunt valabile și pentru secțiunile compuse beton precomprimat - beton armat, dar aplicarea directă a relațiilor (3.56 - 3.61) nu este posibilă din motivele prezentate la punctul 3.5.2.

Starea de eforturi unitare se poate determina în ipoteza

comportării elastice a celor două tipuri de beton sau în ipoteza comportării elasto-plastice a betonului precomprimat și/sau a betonului armat.

Pentru determinarea stării de eforturi unitare în secțiunile normale fisurate se pleacă de la starea de decompresiune, cu ajutorul ecuațiilor de echilibru static și de compatibilitate a deformațiilor sub efectul momentului încovoiator $\Delta M_e = M_e - M_d$, care reprezintă diferența dintre momentul încovoiator de exploatare și cel de decompresiune.

In ecuațiile de echilibru static intervine și betonul comprimat de sub axa neutră x_1 (Fig.3.45, 3.47....3.49) care este capabil de a prelua întinderi.

Coefficientul de echivalentă al betonului armat, în stadiul II, se ia după cum urmează:

- în cazul comportării elastice și în cazul determinării stării de decompresiune prin metoda asimilării cu secțiunile compuse otel-beton: $n_{bII} = E_{ba}(1+0,8 v_p \bar{\varphi}_{pm})/E_{bp}(1+0,8 v_a \bar{\varphi}_a)$; unde:

$\bar{\varphi}_{pm} = (\varepsilon_{(clp)}^I + \varepsilon_{(clp)}^{II}) / (\varepsilon_{(bp)t1} + \varepsilon_{(bp)t2} + \varepsilon_{(bp)t3})$ este caracteristică finală medie de curgere lentă a betonului precomprimat; v_p - raportul dintre solicitarea de lungă durată și solicitarea totală; v_a - raportul dintre solicitarea de lungă durată ce produce eforturi unitare în betonul armat și solicitarea totală ce produce eforturi unitare în betonul armat.

- în cazul comportării elastice și în cazul determinării stării de decompresiune pe baza interacțiunii deformațiilor specifice:

$$n_{bII} = E_{ba}/E_{bp};$$

- în cazul comportării elasto-plastice: $n_{bII} = R_{ca}/R_{cp}$, unde: R_{cp} este rezistența de calcul la compresiune a betonului precomprimat, iar R_{ca} - rezistența de calcul la compresiune a betonului armat.

Coefficienții de echivalentă pentru armături, în stadiul II, sunt: $n_{p1II} = n_{p1}(1+0,8 v_p \bar{\varphi}_{pm})$, $n_{p2II} = n_{p2}(1+0,8 v_p \bar{\varphi}_{pm})$; $n_{aII} = n_a(1+0,8 v_p \bar{\varphi}_{pm})$. În stabilirea coeficienților de echivalentă se vor avea în vedere valorile finale ale caracteristicilor materialelor.

Determinarea eforturilor unitare în ipoteza comportării elastice a celor două tipuri de beton.

Pentru deformațiile specifice și eforturile unitare din figura 3.45 se pot scrie două ecuații de echilibru static și 6 ecuații de compatibilitate a deformațiilor specifice.

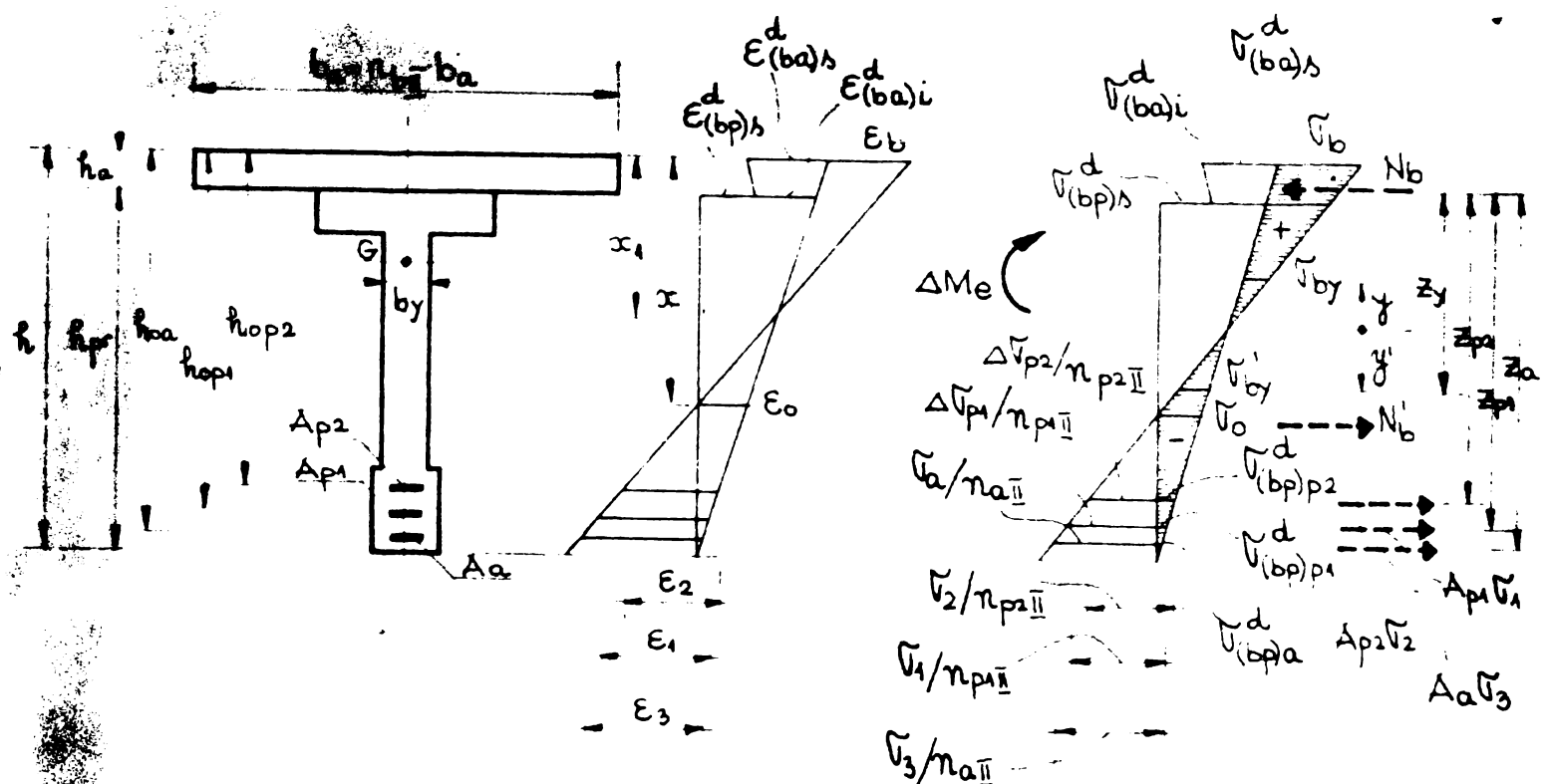


FIG. 3.45. DEFORMATII SPECIFICE SI EFORTURI UNITARE, ÎN STADIUL II, ÎN IPOTEZA COMPORTĂRII ELASTICE A CELOR DOUĂ BETOANE.

Sistemul de ecuații ce se formează este:

$$\int_{-x_1}^{x_1} \sigma_{by} b_y dy - \int_{-x_1}^{x_1} \sigma'_{by} b'_y dy' - A_{p1} \sigma_1 - A_{p2} \sigma_2 - A_a \sigma_3 = 0 \quad (3.62)$$

$$\Delta M_e = \int_{-x_1}^{x_1} \sigma'_{by} b'_y z_y dy' + A_{p1} \sigma_1 z_{p1} + A_{p2} \sigma_2 z_{p2} + A_a \sigma_3 z_a \quad (3.63)$$

$$\sigma_0 = \sigma_{(bp)s}^d (h-x)/h_{pr}; \quad \sigma_0 = \sigma_b (x-x_1)/x_1 \quad (3.64-3.65)$$

$$\sigma_1 = \sigma_b \frac{h_{op1} - x_1}{x_1} n_{p1II}; \quad \sigma_2 = \sigma_b \frac{h_{op2} - x_1}{x_1} n_{p2II}; \quad \sigma_3 = \sigma_b \frac{h_{ba} - x_1}{x_1} n_{aII} \quad (3.66-3.68)$$

Inlocuind pe σ_0 din ecuația (3.65) în ecuația (3.64) rezultă:

$$\sigma_b = \sigma_{(bp)s}^d (h-x)x_1/h_{pr}(x-x_1) \quad (3.69)$$

Sistemul format din ecuațiile (3.62 - 3.63) și (3.66 - 3.68) este un sistem neliniar de ecuații a cărei rezolvare se poate face cu calculatorul electronic, prin intermediul bibliotecii matematice generale SANDIA, sau prin încercări.

Eforturile unitare în secțiunea fisurată sint:

- în fibra superioară a betonului precomprimat:

$$\sigma_{(bp)s} = \sigma_{(bp)s}^d + \sigma_{bl} \quad (3.70)$$

- în fibra inferioară, respectiv superioară, a betonului armat:

$$\sigma_{(ba)i} = \sigma_{(ba)i}^d + n_{bII} \sigma_{bl}; \quad \sigma_{(ba)s} = \sigma_{(ba)s}^d + n_{bII} \sigma_b \quad (3.71-3.72)$$

- în armăturile pretensionate și armăitura complementară:

$$\Delta \sigma_{pl} = \sigma_1 - n_{plII} \sigma_{(bp)pl}^d; \Delta \sigma_{p2} = \sigma_2 - n_{p2II} \sigma_{(bp)p2}^d; \sigma_a = \sigma_3 - n_{aII} \sigma_{(bp)a}^d$$

$$(3.73 - 3.75)$$

In figura 3.46 se prezintă calculul unei secțiuni dreptunghiulare prin intermediul relațiilor de la punctul 2.6.1 și prin particularizarea procedeului de mai sus. Se constată identitatea rezultatelor.

Determinarea eforturilor unitare în ipoteza comportării elasto-plastice a betonului precomprimat și/sau betonului armat.

In cazul plasticizării betonului precomprimat sistemul de ecuații este (Fig.3.47):

$$\int_0^{h-x_1} \sigma_{by} b_y dy - \int_{h-x_1}^h \sigma'_{by} b'_y dy' - A_{pl} \sigma_1 - A_{p2} \sigma_2 - A_a \sigma_3 = 0 \quad (3.76)$$

$$\Delta M_e = \int_0^{h-x_1} \sigma'_{by} b'_y z_y dy' + A_{pl} \sigma_1 + A_{p2} \sigma_2 + A_a \sigma_3 \quad (3.77)$$

$$\sigma_o = \sigma_{(bp)s}^d (h-x)/h_{pr}; \quad \sigma_o = \sigma_b (x-x_1)/x_1 \quad (3.78-3.79)$$

$$\sigma_1 = \sigma_b (h_{op1} - x_1) n_{plII} / x_1; \quad \sigma_2 = \sigma_b (h_{op2} - x_1) n_{p2II} / x_1; \quad (3.80-3.81)$$

$$\sigma_3 = \sigma_b (h_{oa} - x_1) n_{aII} / x_1; \quad \sigma_{(bp)s}^d (h-x_2) / h_{pr} + \sigma_b (x_1 - x_2) / x_1 = R_{cp} \quad (3.82-3.83)$$

Eforturile unitare, în beton, în secțiunea fisurată sunt:

- în fibra superioară a betonului precomprimat: $\sigma_{(bp)s}^d = R_{cp}$;
- în fibra inferioară, respectiv superioară a betonului armat: $\sigma_{(ba)i} = \sigma_{(ba)i}^d + n_{bII} \sigma_{bl}$; $\sigma_{(ba)a} = \sigma_{(ba)a}^d + n_{bII} \sigma_b$;

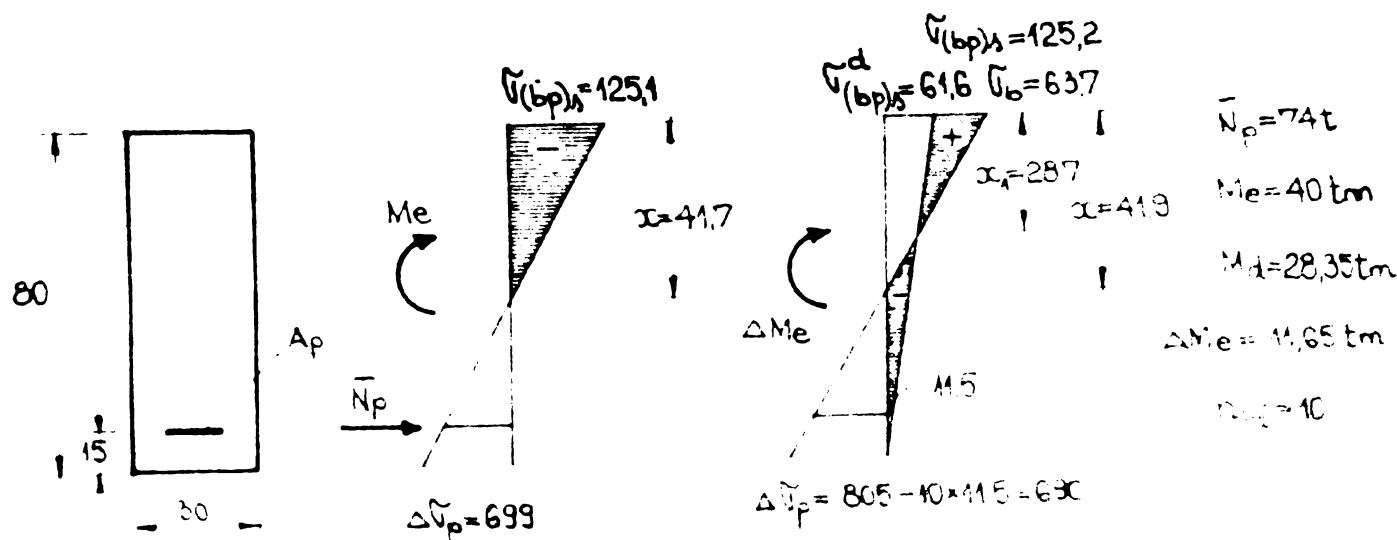


FIG 3.46 SINTEZA CALCULELOR COMPARATIVE PRIVIND CALCULUL EFORȚURILOR UNITARE ÎN SECȚIUNI NORMALE FISURATE

Eforturile unitare în armături se calculează cu relațiile: (3.73 - 3.75).

In cazul plasticizării ambelor tipuri de beton (Fig.3.48), sistemul de ecuații este format din ecuațiile (3.76 - 3.78), la care se adaugă următoarele ecuații:

$$\sigma_o = \sigma_b(x-x_1)/(x_1-x_3) \quad (3.84)$$

$$\sigma_1 = \sigma_b \frac{h_{bp1} - x_1}{x_1 - x_3} n_{p1II}; \quad \sigma_2 = \sigma_b \frac{h_{bp2} - x_1}{x_1 - x_3} n_{p2II}; \quad \sigma_3 = \sigma_b \frac{h_{ba} - x_1}{x_1 - x_3} n_{aII} \quad (3.85-3.87)$$

$$\sigma_{(bp)s}^d \frac{h - x_2}{h_{pr}} + \sigma_{(ba)s}^d \frac{x_1 - x_2}{x_1 - x_3} = R_{cp}; \quad \sigma_{(ba)s}^d - (\sigma_{(bp)s}^d - \sigma_{(ba)i}^d) \frac{x_3}{h_a} = R_{ca} \quad (3.88-3.89)$$

Eforturile unitare, în beton, în secțiunea fisurată sunt:

- în fibra superioară a betonului precomprimat: $\sigma_{(bp)s}^d = R_{cp}$
- în fibra inferioară, respectiv superioară, a betonului armat: $\sigma_{(ba)i}^d = \sigma_{(ba)i}^d + n_{bII} \sigma_{bl}^d; \quad \sigma_{(ba)s}^d = n_{bII} R_{cp} = R_{ca}.$

Eforturile unitare în armături se calculează cu relațiile (3.73 - 3.75).

In cazul, mai rar întâlnit, al plasticizării betonului armat (Fig.3.49) sistemul de ecuații se formează din ecuațiile (3.76-3.78), (3.84-3.87) și (3.89).

Eforturile unitare, în beton, în secțiunea fisurată sunt:

- în fibra superioară a betonului precomprimat:

$$\sigma_{(bp)s}^d = \sigma_{(bp)s}^d + \sigma_{bl}^d$$

- în fibra inferioară, respectiv superioară, a betonului armat: $\sigma_{(ba)i}^d = \sigma_{(ba)i}^d + n_{bII} \sigma_{bl}^d; \quad \sigma_{(ba)s}^d = n_{bII} R_{cp} = R_{ca}$

Eforturile unitare în armături se calculează cu relațiile (3.75 - 3.7).

3.6.3. Procedee aproximative pentru calculul eforturilor unitare

In vederea facilitării calculului eforturilor unitare se prezintă două procedee aproximative pentru cazul, cel mai frecvent, al comportării elastice a celor două tipuri de beton.

3.6.3.1. Procedul rapoartelor (I)

Procedeul se bazează pe admiterea aceloraș rapoarte între eforturile unitare în beton în secțiunile fisurate ca și în secțiunile nefisurate. Aceste rapoarte se stabilesc între eforturile unitare determinate în starea de decompresiune - procedul I 1(Fig.3.50 a) sau între eforturile unitare determinate sub acțiunea momentului încovoiere-

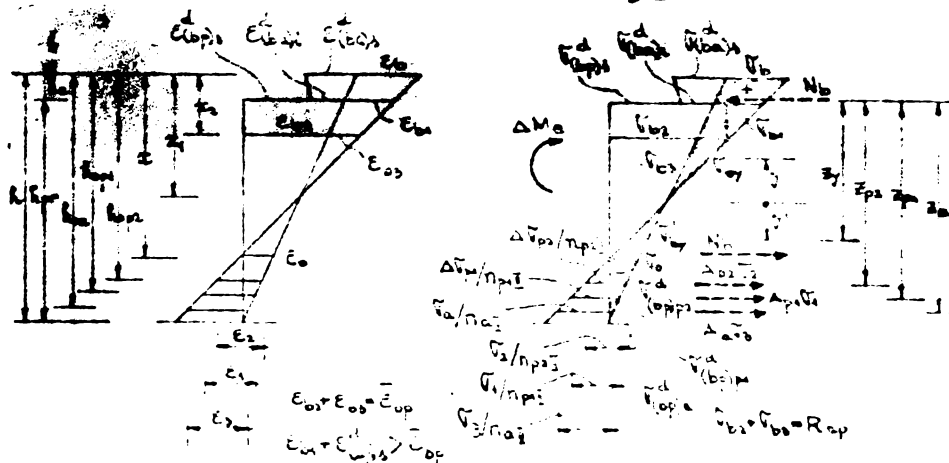


FIG. 3.47. PLASTICIZAREA BETONULUI PRECOMPRIMAT

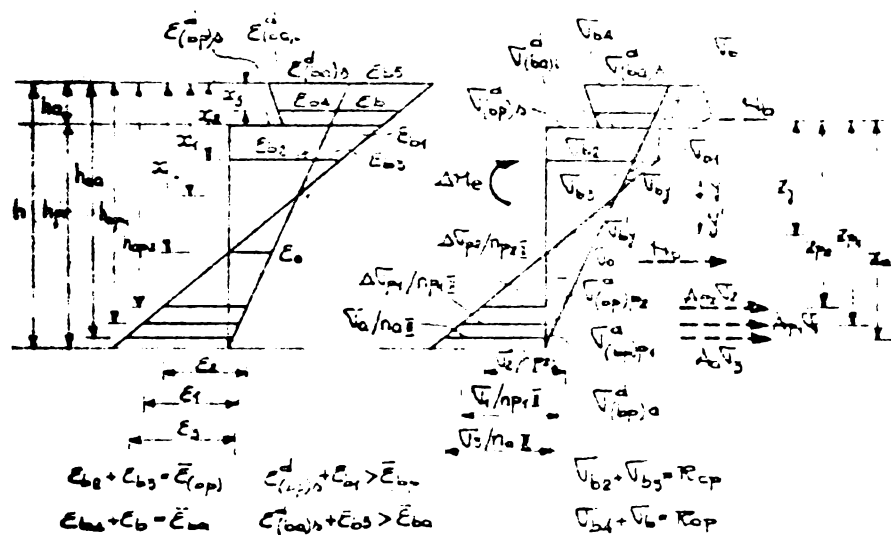


FIG. 3.48. PLASTICIZAREA BETONULUI PRECOMPRIMAT SI ARMAT

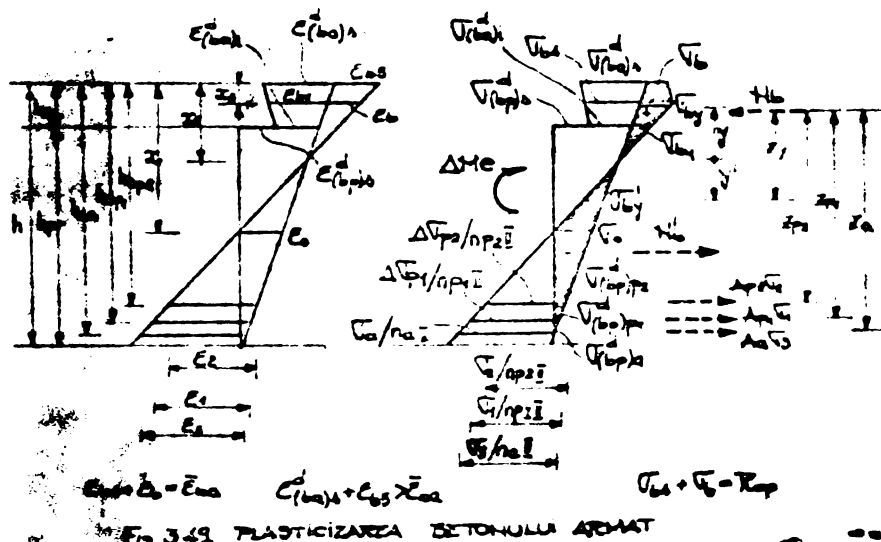


FIG. 3.49. PLASTICIZAREA BETONULUI ARMAT

$$N_{pl}^{int} - \Delta N_{pl} + N_{p2} = \int_{0}^x \sigma_{by} b_y dy - A_{p1} \Delta \sigma_{pl} - A_{p2} \Delta \sigma_{p2} - A_a \sigma_a$$

$$N_e = (N_{pl}^{int} - \Delta N_{pl}) z_{pl} - N_{p2} z_{p2} = A_{p1} \Delta \sigma_{pl} z_{pl} + A_{p2} \Delta \sigma_{p2} z_{p2} + A_a \sigma_a z_a$$

$$\Delta \sigma_{pl} = \sigma_{(bp)s} \frac{h_{op1} - x}{x - h_a} n_{plII}; \quad \Delta \sigma_{p2} = \sigma_{(bp)s} \frac{h_{op2} - x}{x - h_a} n_{p2II}$$

tor de exploatare, în ipoteza că betonul nu fisură - proceful I2 (Fig. 3.50 b).

Rapoartele ce apar între eforturile unitare sînt:

- proceful II

$$k_i^{II} = \sigma_{(ba)i}^d / \sigma_{(bp)s}^d;$$

$$k_s^{II} = \sigma_{(ba)s}^d / \sigma_{(bp)s}^d$$

- proceful I2

$$k_i^{I2} = \sigma_{(ba)i}^e / \sigma_{(bp)s}^e$$

$$k_s^{I2} = \sigma_{(ba)s}^e / \sigma_{(bp)s}^e$$

Valorile acestor rapoarte permit exprimarea eforturilor unitare

$\sigma_{(ba)i}$ și $\sigma_{(ba)s}$ în funcție de $\sigma_{(bp)s}$, în ambele cazuri sistemul de ecuații ce permite determinarea eforturilor unitare este:

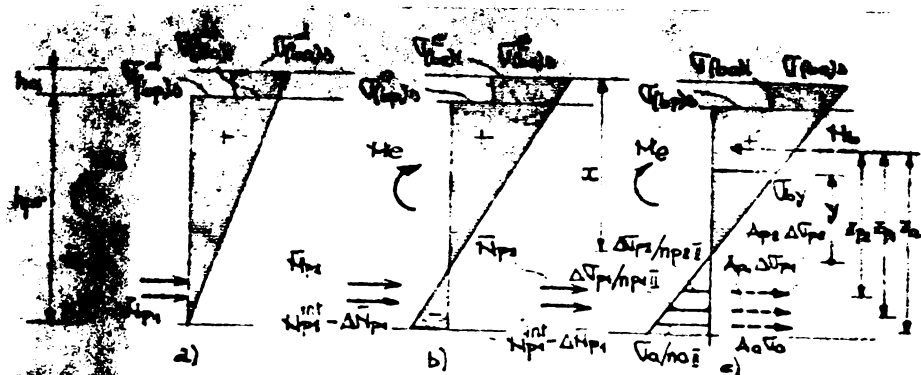


Fig. 3.50. PROCEDUL RAPORTARILOR

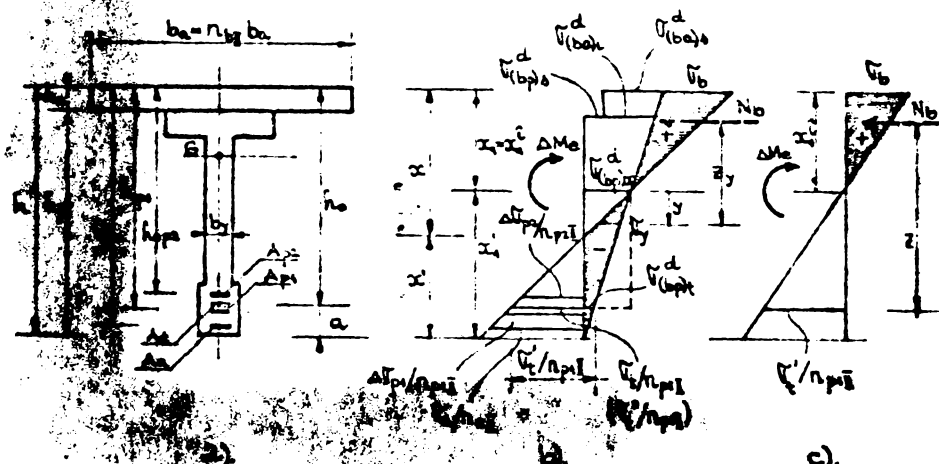


Fig. 3.51. PROCEDUL corecției ULTERIOARE.

dreptunghiulare fisurate ale elementelor precomprimate /48/.

Aria armăturii pretensionate, A_{p1} și A_{p2} , și aria armăturii pasive se înlocuiește cu aria totală: $A_t = A_{p1} + A_{p2} E_p / E_{p1} + A_a E_a / E_{p1}$ care este plasată la distanța a de fibra inferioară. În această aria totală de armătură va apărea, în secțiunea fisurată, efortul unitar σ_t .

Ca origine se ia starea de decompresiune peste care se suprapune starea de eforturi unitare produsă de momentul încovoietor ΔM_e . Din ecuația de momente, scrisă în raport cu N_b , rezultă (Fig. 3.51 b):

$$\sigma_t = \frac{\Delta M_e}{A_t z} - \frac{1}{A_t z} \int_{x_1}^{x'} \sigma_b y dy \quad (3.90)$$

Valoarea integrală din relația (3.90) nu poate fi calculată deoarece nu se cunoaște valoarea x_1' și valoarea x' .

Aproximativ procedeul constă în a admite că valoarea x_1 este egală cu valoarea x_1' , ce apare atunci când secțiunea compusă fisurată și prevăzută cu A_t , este supusă la momentul încovoietor ΔM_e (Fig. 3.51 c), și în a determina în primă aproximatie efortul unitar din armătura totală A_t cu relația:

$$\sigma_t' = \Delta M_e / A_t z \quad (3.91)$$

Tinând cont de efortul unitar în beton în dreptul armăturii A_t , rezultă:

$$\sigma_a = \sigma_{(bp)s} \frac{h_{ba} - x}{x - h_a} n_{all} \quad$$

$$\sigma_{(ba)1} = k_i (bp)s$$

$$\sigma_{(ba)s} = k_s \sigma_{(bp)s}$$

unde: k_i și k_s au valorile k_s^{II} sau k_j^{I2} , după cum este vorba de procedeul II sau I2; acești coeficienți conțin implicit și pe n_{all} .

3.6.3.2. Procedeul corecției ulterioare (II)

Procedeul constituie o generalizare a propunerii, făcută de Levi în Comitetul Lixit CEB-FIP în 1964, privind calculul eforturilor unitare în secțiunile

$$\sigma_t'' = \Delta M_e / A_t z - n_{plIII} \sigma_{(bp)t}^d \quad (3.91')$$

Cunoscind valoarea $x_1 = x_1'$ și x_1' se poate calcula valoarea x' din relația:

$$x' - a = (x_1' - a) \frac{\sigma_t'' / n_{plIII}}{(\sigma_t'' / n_{pl}) + \sigma_{(bp)t}^d}$$

unde: $\sigma_{(bp)x}^d = \sigma_{(bp)s}^d x_1' / h_{pr}$

Cunoscind x_1' și x_1 se poate calcula valoarea integralei din relația (3.90) iar efortul unitar în armătura A_t rezultă prin corecția valorii obținute din relația (3.91) cu valoarea integrală din relația (3.90):

$$\sigma_t = \sigma_t'' - \frac{1}{A_t z} \int_{0}^{x_1'} \sigma_{by} b_y z_y dy$$

Eforturile unitare în armăturile pretensionate și în armătura complementară sunt:

$$\Delta \sigma_{pl} = \sigma_t \frac{h_{op1} - x}{h_0 - x}; \quad \Delta \sigma_{p2} = \sigma_t \frac{h_{op2} - x}{h_0 - x} \frac{s_{p2}}{s_{pl}}; \quad \sigma_s = \sigma_t \frac{h_{os} - x}{h_0 - x} \frac{s_a}{s_{pl}}$$

Efortul unitar în beton este: $\sigma_b = (\sigma_t / n_{plIII} + \sigma_{(bp)t}^d) x_1 / (h_0 - x_1)$
Eforturile unitare în fibrele extreme ale betonului armat și în fibra superioară a betonului precomprimat se calculează cu relațiile (3.70 - 3.72).

3.6.3.3. Compararea proceșelor aproximative cu proceșul exact și posibilități de utilizare

Pentru a analiza exactitatea proceșelor *aproximative* s-a calculat starea de eforturi unitare în secțiunile normale fisurate, pentru trei elemente experimentale din etapa II, prin proceșul exact (Anexa 4) și prin proceșele *aproximative*.

Din analiza valorilor se constată următoarele:

- proceșul raportelor (ambele variante) dă valori mai mici, în fibra superioară a betonului armat (-25%), decât proceșul exact și valori mai mari, în fibra inferioară a betonului armat și în fibra superioară a betonului precomprimat (30%), decât proceșul exact;

- față de proceșul exact, proceșul corecției ulterioare dă în fibrele de beton eforturi unitare mai mici (-35%);

- în privința variației efortului unitar în armătura pretensionată la cele mai apropiate valori conduce proceșul corecției ulterioare (-1,0%), proceșul raportelor conduce la valori mai mici (-1%) decât proceșul exact.

- având în vedere că elementul principal al stării de eforturi unitare, în secțiunea fisurată, îl constituie variația efortului

unitar în armătura pretensionată se recomandă utilizarea procedeului corecției ulterioare, atunci cind se dorește o rezolvare rapidă și suficient de corectă sau cind procedeul exact se consideră prea laborios.

4. INFLUENȚA PREZENTEI SI DISTRIBUȚIEI ARMATURII NEPRETENSIONATE DE REZISTENȚA ASUPRA COMPORTARII LA FISURARE A ELEMENTELOR DIN BETON PRECOMPRIMAT PARTIAL CU ARMATURI PREINTINSE SI BARE PC.

4.1. Generalități

Betonul armat a apărut din necesitatea de a înălțatura, principala deficiență a betonului: slaba comportare la întindere. Armătura, introdusă în beton, are rolul de a prelua întinderile pe care nu le poate prelua betonul, elementul lucrând în exploatare cu betonul înțins fisurat.

Betonul precomprimat a fost conceput pentru a lucra cu toată secțiunea comprimată (eventuale mici întinderi ce să nu producă fisurare), în acest caz armătura având rolul de a crea o stare initială de compresiune, preponderentă în zonele în care din încărcările exterioare apar întinderi.

În mod paradoxal betonul precomprimat integral prezintă anumite dezavantaje: creșteri mari ale săgeților datorate curgerii lente, produsă de un efort mare de precomprimare, efort necesar pentru a anula în întregime eforturile unitare de întindere din încărcările exterioare; un consum sporit de armătură pretensionată mai ales în zonele în care nu este necesară o precomprimare puternică; imposibilitatea de a crea o precomprimare integrală în toate secțiunile unei structuri; irrationalitatea prevederii precomprimării integrale sub combinația cea mai unfavorabilă de încărcări, combinație ce poate apărea relativ rar, pentru durabilitatea elementelor fiind hotărîtoare, de regulă, comportarea sub încărcările de lungă durată; de regulă fisurile, cind apar accidental din diferite motive, sunt la distanțe mari și deformările specifice se concentrează numai la cîteva dintre ele, rezultând în acest fel o comportare necorespunzătoare; o siguranță foarte mare în starea limită de rezistență în fază finală.

În vederea înălțurării, totale sau parțiale, a unor din aceste dezavantaje a existat o singură soluție: reducerea efortului de precomprimare. Consecința acestei reduceri a produs o modificare esențială în concepția despre betonul precomprimat: necesitatea de a admi-

te fisuri. În acest fel s-a produs o apropiere de betonul armat și nu se mai putea discuta, strict, despre betonul precomprimat, ci despre un beton precomprimat parțial, beton ce se situează între betonul armat și cel precomprimat.

Emperger a realizat, în 1939, elemente la care a prevăzut, pe lîngă armătura pretensionată, și armătura nepretensionată și a admis apariția fisurilor sub încărcări ridicate.

În Uniunea Sovietică, începînd cu 1940, se realizează cercetări sistematice privind utilizarea în betonul precomprimat și a armăturii nepretensionate.

În 1941, Abeles, a pretensionat numai 40% din armătura introdusă în element, realizînd după 1948 numeroase poduri de cale ferată în această variantă.

În 1950 în Danemarca, apoi în 1953 în R.P.G. începe utilizarea betonului precomprimat parțial la construcția podurilor.

În perioada următoare betonul precomprimat parțial se extinde tot mai mult și în alte țări.

În țara noastră se introduc prin Normativul P 8-62 categoriile de fisurabilitate, pentru categoria a III prevăzîndu-se verificarea deschiderii fisurilor.

4.2. Definirea mărimi precomprimării și factorii care determină alegerea gradului de precomprimare.

Betonul precomprimat parțial face legătura între betonul armat și betonul precomprimat. Pentru diferențierea acestor trei tipuri de beton s-a optat inițial noțiunea de clasă. Contînutul claselor s-a modificat pe parcursul timpului, în prezent Codul CEB-FIP /112/ prevede trei clase de verificare (numite grupe de exigență) față de efectele fisurării, în funcție de mediul ambient și gruparea încărcărilor.

Normele românești pentru construcții civile și industriale /108/ prevăd trei clase de verificare. Condițiile de verificare pentru secțiunile normale sunt:

- clasa I: inchiderea fisurilor sub încărcările totale de exploatare;
- clasa II: inchiderea fisurilor sub încărcările de exploatare de lungă durată, fisuri de maximum 0,1 mm sub încărcările totale;
- clasa III: limitarea deschiderii fisurilor sub încărcările totale de exploatare.

Leonhard este cel care introduce noțiunea de grad de precomprimare, decarece consideră că utilizarea claselor lasă impresia unei

clasificări calitative /56/ ori în prezent tendința este de a conferi aceeași durabilitate pentru toate elementele precomprimate.

Dimitriev - Birulin definesc gradul de precomprimare prin raportul $\frac{G_p}{R_p}$. Această definiție are dezavantajul că implică utilizarea neeconomică a armăturii pretensionate, armătură care în condițiile ţării noastre are prețul de achiziționare de aproape trei ori mai mare decât armătura PC.

Această definiție indică măsura în care se pretensionează armătura.

$$\lambda_p = A_p G_{0,2} / (A_p G_{0,2} + A_a G_c) \quad (4.1)$$

O relație asemănătoare este propusă de Neamen /65/

$$PPR = A_p G_{pl,z_p} / (A_p G_{pl,z_p} + A_a G_{c,z_a}) \quad (4.2)$$

care, în cazul că cele două armături sunt dispuse la același nivel, devine:

$$PPR = A_p G_{pl} / (A_p G_{pl,z_p} + A_a G_{c,z_a}) \quad (4.2')$$

Gradul de precomprimare indică în acest caz proporția de capacitate portantă ce revine armăturii pretensionate din capacitatea portantă a tuturor armăturilor.

Aceeași formă pentru definiția gradului de precomprimare este acceptată și de Pinglot-Pons /78/ și Bruneekreef /15/ chiar în cazul că cele două tipuri de armături se află la nivale diferențiate.

Această modalitate de definire a gradului de precomprimare nu reflectă comportarea elementelor în stadiul de exploatare.

Walther propune pentru gradul de precomprimare relația (fig.4.1) /12/:

$$\Xi = u_v / u_0 \quad (4.3)$$

unde: u_0 este forță de deviație uniform distribuită produsă de armătura pretensionată pentru realizarea precomprimării integrale, care poate fi luată aproximativ 0,7 ($p + q$);

u_v - forță de deviație realizată de armătura pretensionată efectivă dispusă în grindă.

Relația este aplicabilă numai în cazul grinzilor simplu rezonante și prevăzute cu fascicole cu traseu parabolic.

Pentru definirea gradului de precomprimare, pentru elementele încovioiate, Bachman a propus relația /12/:

$$k = \frac{M_d}{M_e} \quad (4.4)$$

unde: M_d este momentul încovoiator de decompresiune;

M_e - momentul încovoiator total produs de încărcările exterioare.

Gradul de precomprimare k indică fractiunea din momentul încovoietor exterior pentru care secțiunea este comprimată în întregime. Această mod de definire a gradului de precomprimare este susținut și de Brondum Nielsen. Este de asemenea de reținut că cca 95% din lucrările prezentate la Simpozionul FIP de la București, pe tema precomprimării parțiale, admit ca definiție principală relația (4.4).

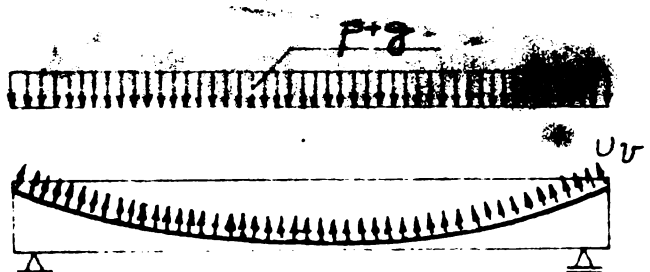


Fig.4.1. EFEKTUL ARMĂTURII PRETENSIONATE "CUREBE"

Pentru aplicarea relației (4.4) și la elementele solicitate excentric aceasta a fost generalizată de Popescu /36/, /37/ și /79/ și pusă sub forma:

$$k = \frac{M_s^0}{M_s} \quad (4.4')$$

unde: M_s^0 este momentul încovoietor produs de efortul de precomprimare în raport cu limita superioară a sâmburelui central.

M_s^0 - momentul încovoietor al solicitărilor M^E și M^P produse de încărcările exterioare totale în raport cu același punct.

Precomprimarea parțială se poate realiza în două variante și anume: precomprimarea limitată (folosită mai des la începutul perioadei de utilizare a precomprimării parțiale) și precomprimarea moderată (folosită pe scară largă în prezent).

Precomprimarea limitată se poate realiza cu armături preîntinse sau postîntinse, cu sensibilitate la coroziune, fără sau cu armături nepretensionate care nu are o contribuție importantă în determinarea capacitatii portante (Fig.4.2 a). Sub efectul încărcărilor totale se admite diagramea de eforturi unitare din figura 4.2.b, deschiderea fisurilor limitându-se la 0,1 - 0,15 mm cu condiția închiderii lor sub efectul încărcării de lungă durată.

Precomprimarea moderată se poate realiza cu armături preîntinse și postîntinse, cu sensibilitate la coroziune și cu armături nepretensionate de rezistență (Fig.4.2 c). De asemenea se pot utiliza pentru armăturile preîntinse bare laminate cu profil periodic, cu sensibilitate redusă la coroziune, fără sau cu armături nepretensionante de rezistență. Starea de eforturi unitare sub efectul încărcărilor totale este prezentată în figura 4.2.d. Deschiderea fisurilor se limitează la 0,1 - 0,15 mm la nivelul armăturii pretensionate sensibile la coroziune. Pentru armăturile pretensionate din bare laminate cu profil periodic și pentru armăturile nepretensionate de rezistență limitarea deschiderii fisurilor se face, ca pentru elementele din beton

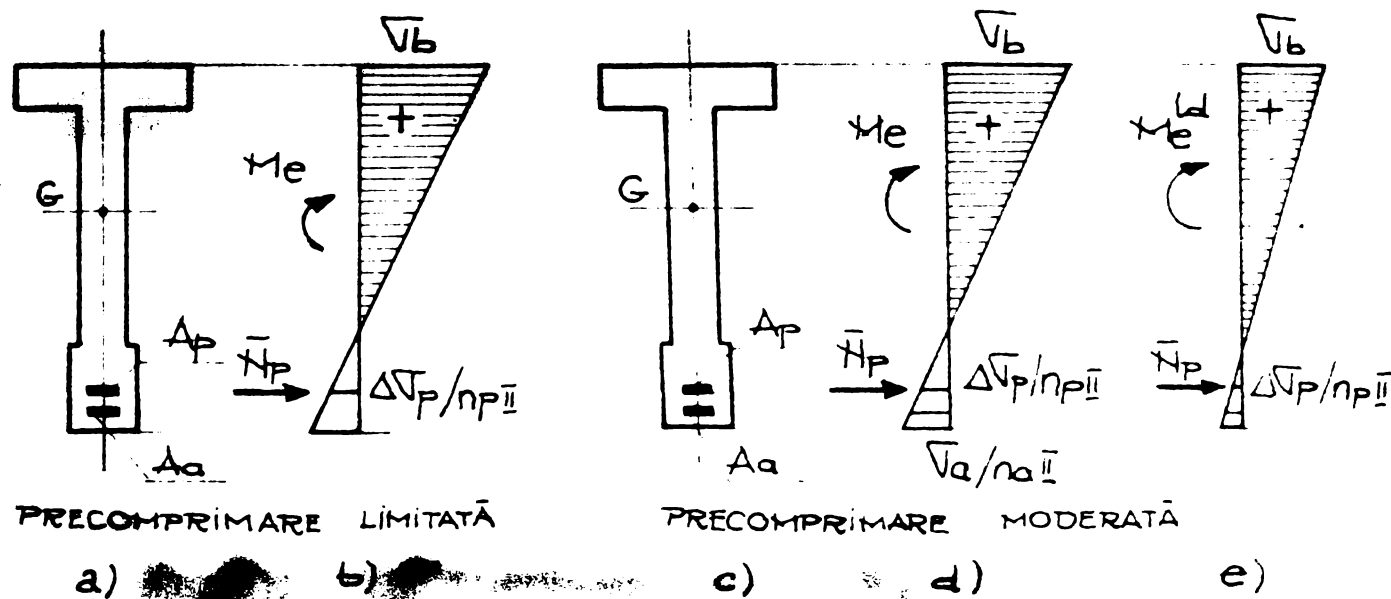


Fig 4.2. VARIANTE DE REALIZARE A PRECOMPRIMĂRII PARTIALE
 armat. Sub acțiunea încărcărilor de lungă durată se cere închiderea fisurilor. Utilizarea unui grad de precomprimare $k = 0,7$, recomandat de /116/, și care este inferior celui corespunzător clasei II de fizurabilitate din STAS 10107/0-76, conduce la neasigurarea închiderii fisurilor sub încărcările de exploatare de lungă durată. Din acest motiv Normativul P 103 /116/ înlocuiește verificarea închiderii fisurilor normale cu limitarea deschiderii medii a fisurilor normale la 0,03 mm (Fig.4.2 e). Deși gradul de precomprimare este mai scăzut în acest caz creșterea de efort unitar în armătura pretensionată este de același ordin de mărimea ca în cazul precomprimării limitate datorită aportului armăturii nepretensionate, plasată mai aproape de fibra inferioară a elementului. În consecință și deschiderea fisurilor, la nivelul armăturii pretensionate este de același ordin de mărime.

Din compararea celor două tipuri de precomprimări partiale se constată că armătura nepretensionată se află în două ipostaze diferite. În cazul precomprimării limitate această armătură nu are un aport important pentru capacitatea portantă și nu are o influență hotărîtoare în comportarea corespunzătoare la fisurare. În cazul precomprimării moderate această armătură are un rol determinant atât în stadiul de exploatare cât și starea limită de rezistență. Din acest motiv s-a propus ca în cazul precomprimării limitate această armătură să fie numită armătură pasivă iar în cazul precomprimării moderate să fie numită armătură complementară /79/.

Alegerea gradului de precomprimare, respectiv a uneia din următoarele variante: precomprimare integrală, precomprimare limitată sau precomprimare moderată, depinde de o serie întreagă de factori. Dintre cei mai importanți se pot aminti: condițiile de funcționare

ale elementului, prețul de cost și energia inglobată în element.

Din punct de vedere al condițiilor de exploatare betonul precomprimat integral este cel mai avantajos. Din cercetările efectuate pînă în prezent, atît în țară /79/ cît și în străinătate /57/, a rezultat că principalul factor în evitarea coroziunii armăturii pretensionate îl constituie realizarea unui beton compact și omogen cu o acoperire corespunzătoare a armăturii, care să asigure alcalinitate corespunzătoare. Durata de dezalcalinizare (înîtierea coroziunii) a armăturilor pretensionate este chiar durata de viață a construcției. De aceea este necesar ca fisurile apărute să aibă, sub încărcările de lungă durată, valori de maximum 0,93 mm. Deschiderile maxime admise, sub încărcările totale de exploatare au din același motiv valori mai mici decît în cazul elementelor din beton armat. Reducerea deschiderii fisurilor se poate obține prin intercalarea unei părți din armătura complementară între armăturile pretensionate /13/, /79/ (Fig.4.3).

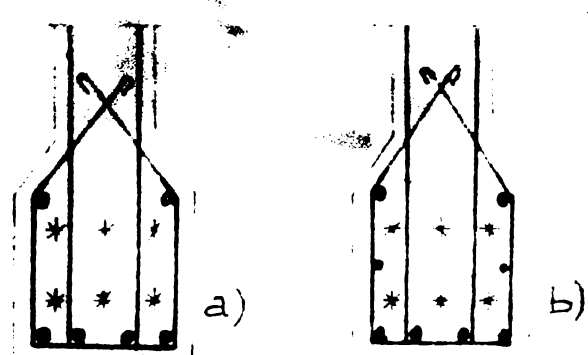


Fig.4.3. DISPUNEREA ARMĂTURILOR COMPLEMENTARE

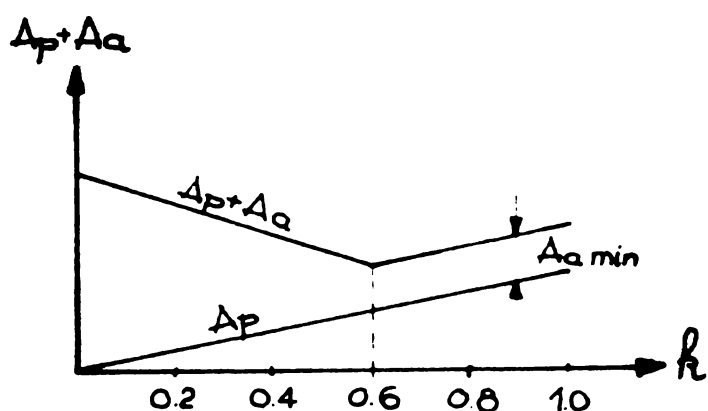


Fig.4.4. VARIATIA CONSUMULUI DE ARMĂTURĂ CU GRADUL DE PRECOMPRIMARE

Principalul avantaj al precomprimării parțiale este reducerea consumului de armătură, atît pretensionată cît și totală /12/, /13/, /48/, /58/, /65/ (Fig.4.4).

In urma calculelor comparative pe tabliere de poduri de cale ferată, Höptner obține reduceri ale armăturii pretensionate, utilizând precomprimarea limitată și precomprimarea moderată /52/. In figura 4.5 se prezintă consumurile specifice de armătură pentru diferite lățimi de tabliere.

Prin reproiectarea, în varianța precomprimării moderate, a unor elemente tipizate s-au obținut reduceri ale armăturii pretensionate cu 25-43 % și a consumului total cu 3,5 - 7%, la elemente cu deschideri de 6 - 9 m, rezultind și o reducere a consumului de ciment cu 15% prin trecerea de la B 500 la B 400 /79/.

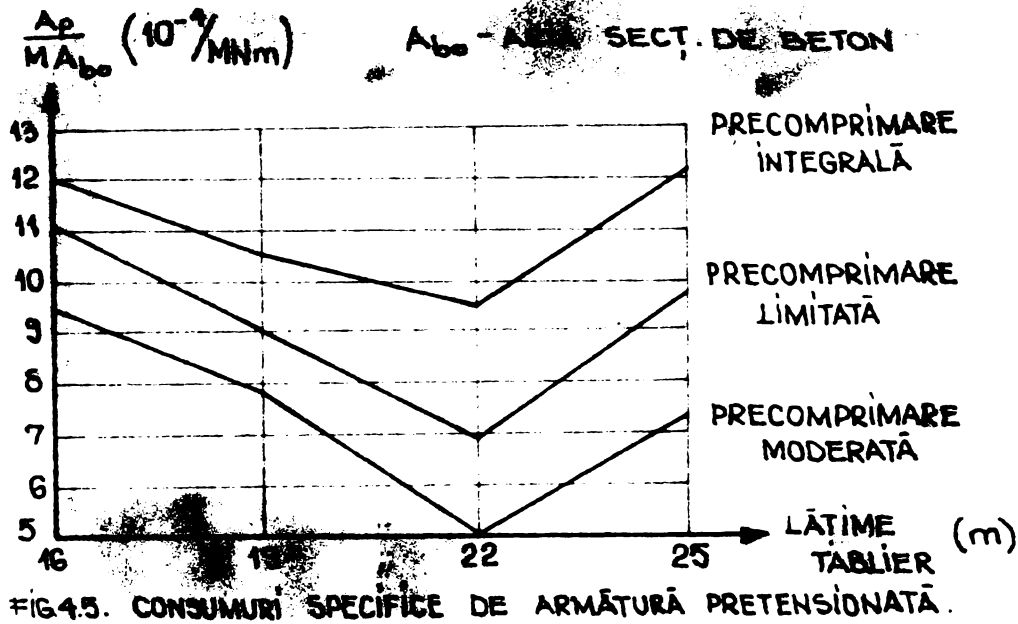


FIG.4.5. CONSUMURI SPECIFICE DE ARMĂTURĂ PRETENSIONATĂ.

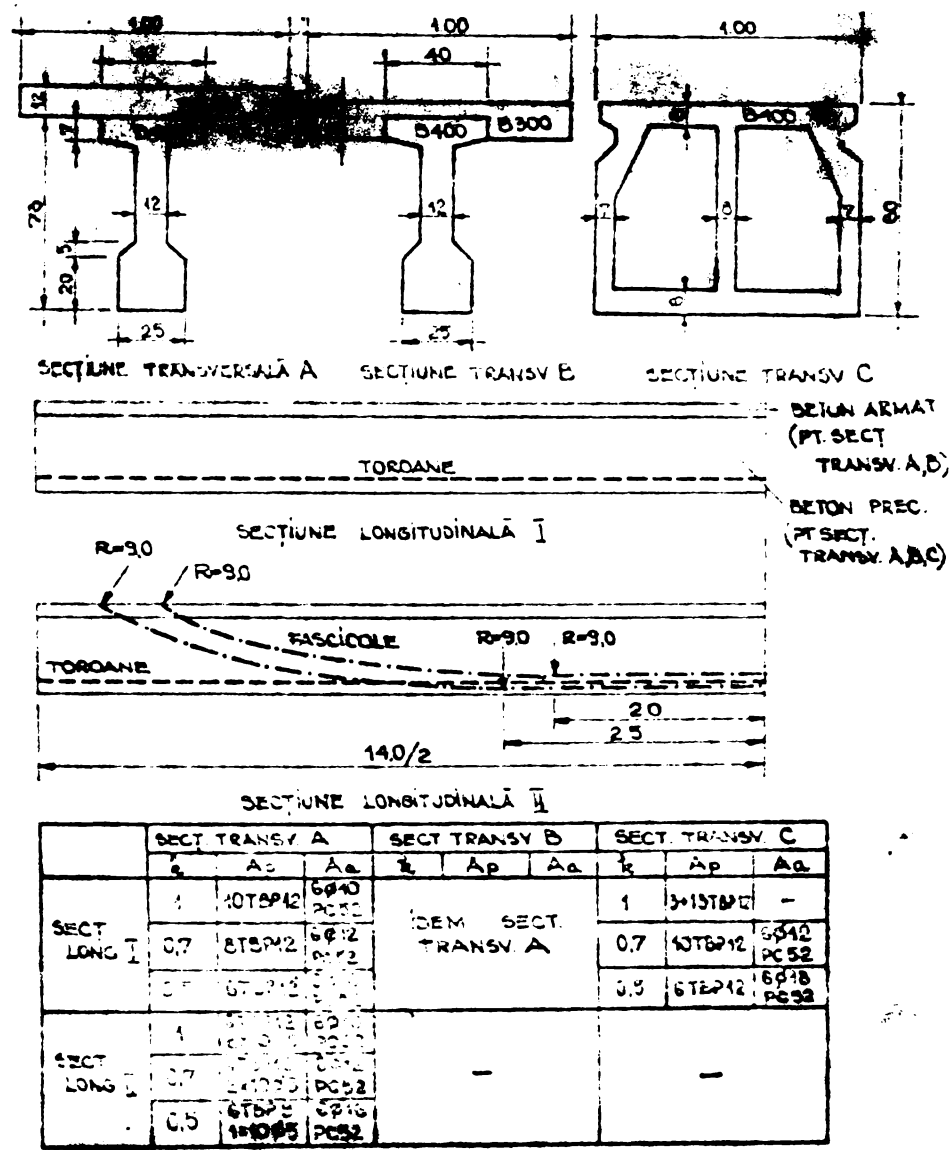


FIG.4.6 ELEMENTE DE POD.

In vederea studierii efectului precomprimării parțiale asupra elementelor de poduri, s-a analizat variația prețului de cost și consumul de energie înglobată pentru elementele prezентate sintetic în figura 4.6. Toate elementele au fost dimensionate pentru acleiași solicitări și au fost concepute pentru poduri cu deschideri de 14 m. În tabelul 4.1 se prezintă variația prețului de cost și a energiei înglobate, valori stabilite pe baza Nomenclatorului de materiale pentru lucrările de construcții montaj și pe baza listei de consumuri energetice specifice, emisă de ICCPDC. Pentru gradele de precomprimare alese costul și energia înglobată sunt minime pentru gradul de precomprimare 0,7 (face excepție consumul energetic la elementul C I).

Tabelul 4.1

Compararea prețului de cost și
energiei înglobate

| Criteriu de apreciere | Element | Grad de precomprimare | | |
|-----------------------|---------|-----------------------|-------|--------|
| | | 1.0 | 0.7 | 0.5 |
| Preț de cost | A I | 100% | 96,5% | 112% |
| | A II | 100% | 97,1% | 113% |
| | B I | 100% | 97,3% | 112,5% |
| | C I | 100% | 96,8% | 115% |
| Energia înglobată | A I | 100% | 95,3% | 119% |
| | A II | 100% | 95,8% | 118% |
| | B I | 100% | 96,1% | 119% |
| | C I | 100% | 100% | 120% |

nătă de suprafața diagramei M_e - f , care este sporită pe măsură reducării gradului de precomprimare (Fig.4.7). După cum rezultă din figura 4.7 elementele parțial precomprimate, în special cele cu precomprimare moderată, au o comportare asemănătoare cu elementele din beton armat.

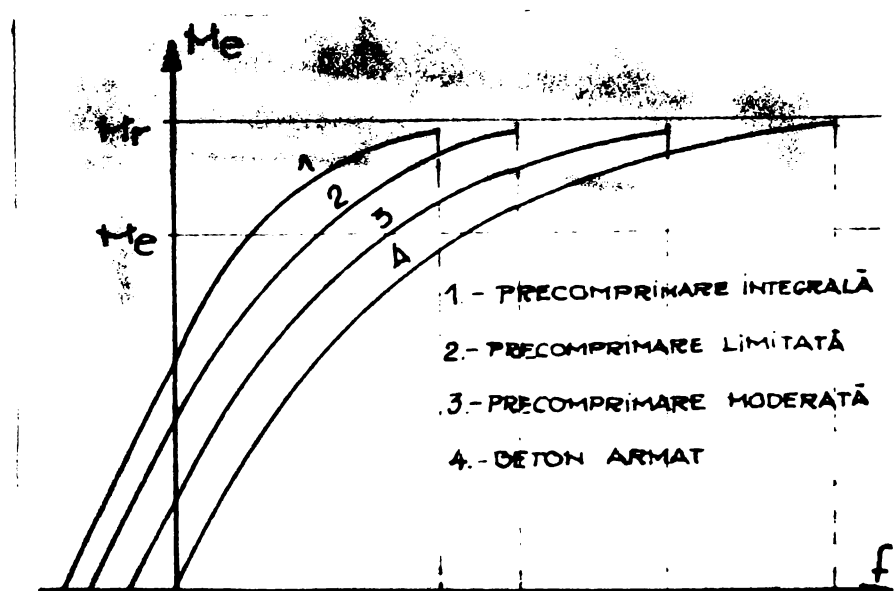


Fig.4.7. DIAGRAMA SOLICITARE - SÂGEATĂ

tului operării de pretensionare și asupra consumului de oțel necesar tipelor metalice autoportante (pentru elementele cu armătura preîntinsă); reducerea secțiunii comprimate la transfer și a mărăcii betonului; reduceri cu consecințe pozitive asupra consumului de ciment; reducerea consumului de energie înglobată în element; creșterea ductilității elementelor.

4.3. Factorii care influențează mărimea deschiderii fisurilor

Mărimea deschiderii fisurilor la elementele parțiale precomprimate este unul din principali factori ce asigură durabilitatea lor și de aceea este de așteptat de către că se acordă o atenție deosebită.

Capacitatea elementelor încovionate de a absorbi energia dinamică produsă de frecările seismică este legată de posibilitatea de deformare a elementelor în momentul ruperii. Această capacitate este determinată de suprafata diagramei M_e - f , care este sporită pe măsură reducării gradului de precomprimare (Fig.4.7). După cum rezultă din figura 4.7 elementele parțial precomprimate, în special cele cu precomprimare moderată, au o comportare asemănătoare cu elementele din beton armat.

Având în vedere cele de mai sus se pot desprinde cîteva avantaje ale betonului parțial precomprimat: reducerea consumului de armături pretensionate și simplificarea disponerii ei; reducerea contrasigurilor, necesare pentru a anula creșterea sigurilor sub efectul curgerii lente; reducerea efortului de precomprimare cu consecințe pozitive asupra con-

sumului de oțel necesar

reducerea consumului de ciment;

reducerea consumului de energie înglobată în element; creșterea ductilității elementelor.

tă. Acești factori își manifestă influența direct sau prin intermediul distanței dintre fisuri.

In prezent este un fapt acceptat că mărimea deschiderii fisurilor este direct proporțională cu distanța dintre fisuri și de aceea factorii ce influențează această distanță influențează în acelaș fel și deschiderea fisurilor.

Mărimea deschiderii fisurilor depinde direct proporțional de variația efortului unitar din armătura pretensionată. In figura 4.8 se prezintă această corelație, determinată experimental, din încercările, efectuate de ICB și ICPPT /38/, pe 6 grinzi de 14 m deschidere, iar în figura 4.9, corelația dintre încărcare (deci implicit variația, efortului unitar) și deschiderea fisurilor obținută din studiile efectuate la Universitatea din Kyoto /73/. Lăsând la o parte erorile inerente, introduse de aparatelor de citire, se constată că există proporționalitate între variația efortului unitar în armătura pretensionată $\Delta \sigma_p$ și deschiderea fisurilor α_f .

Gradul de precomprimare k (relația 4.4) influențează mărimea deschiderii fisurii prin intermediul lui $\Delta \sigma_p$ (Fig.4.10) /13/. Trebuie însă de avut în vedere faptul că reducerea gradului de precomprimare atrage după sine sporirea cantității de armătură complementară, care are un efect favorabil asupra mărimi deschiderii fisurii (Fig.4.9).

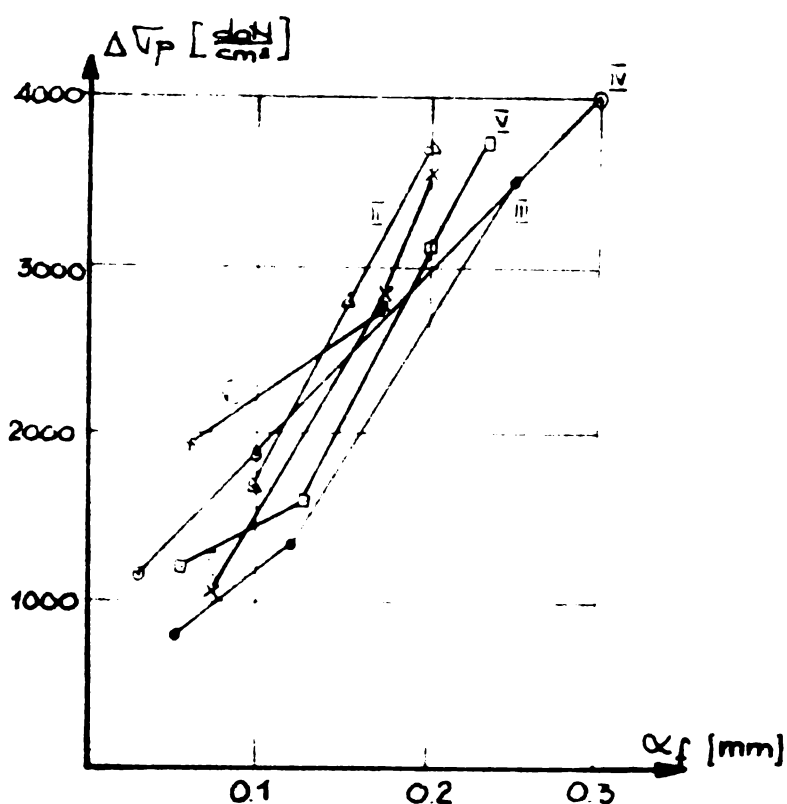


Fig 4.8 VARIATIA LUI α_f CU $\Delta \sigma_p$
(ICB - ICPPT)

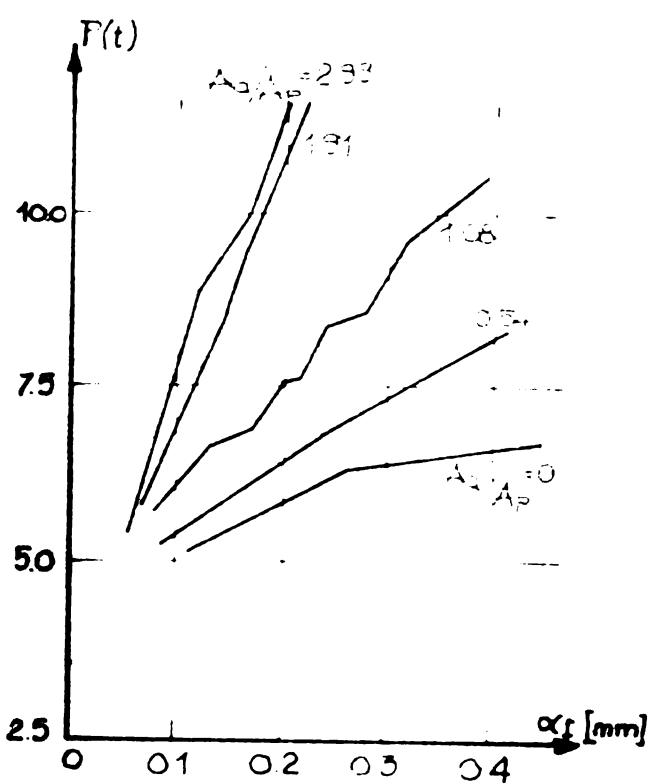


Fig 4.9 VARIATIA LUI α_f CU P
(UNIVERSITATEA KYOTO)

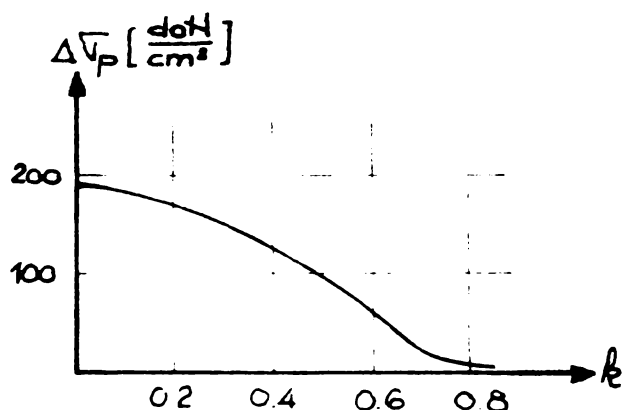


Fig. 4.10 VARIATIA LUI ΔV_p CU k

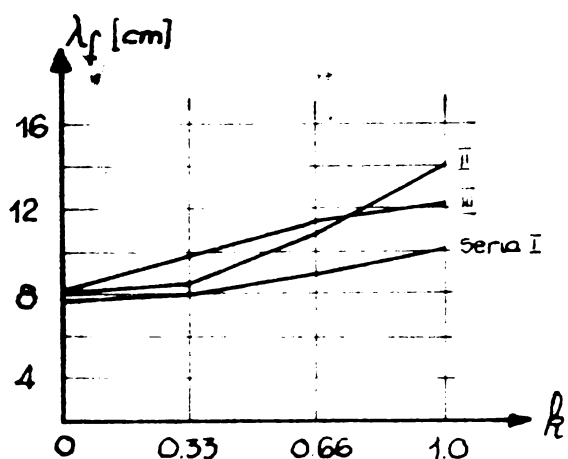


Fig. 4.11. VARIATIA LUI λ_f CU k
(INCERC-ICB)

mare, pe măsură creșterii procentului de armare (Fig.4.12) /75/, /96/ /97/, /98/.

Deschiderea fisurii depinde de variația efortului unitar în secțiunea fisurată, deci de deformăția specifică, corespunzătoare, a armăturii. Această deformăție specifică nu este constantă pe distanța dintre două fisuri, deoarece între aceste fisuri lucrează și betonul întins.

Codul Model CEB-FIP indică pentru determinarea, deformăției specifice medie a armăturii, deformăție ce determină mărimea deschiderii fisurii, relația (Fig.4.13):

$$\varepsilon_{sm,r} = \varepsilon_{s2} = \left[1 - \beta_1 \beta_2 (\sigma_{sr}/\sigma_{s2})^2 \right] \sigma_{s2}/E_s \quad (4.5)$$

unde: σ_{s2} este variația efortului unitar în armătura pretensionată;

ε_{s2} - deformăția specifică corespunzătoare;

σ_{sr} - efortul unitar în armătură, calculat în stadiul II, sub efectul momentului incoeroitor de fisurare;

E_s - modulul de elasticitate al armăturii;

Din încercările efectuate la INCERC București, cu colaborarea ICB, a rezultat că reducerea gradului de precomprimare duce la scăderea distanței dintre fisuri și implicit la reducerea mărimii deschiderii fisurii (Fig.4.11) /38/. De fapt se constată că distanța dintre fisuri este influențată destul de puțin de gradul de precomprimare k .

Procentul de armare influențează distanța dintre fisuri pe două căi și anume (făcind referire la normele românești) prin raportul A_{bt}/u și prin coeficientul β_g , coefficient care ține, de fapt, cont de aderența dintre beton și armătură. Din cercetările întreprinse în Catedra de Beton armat și clădiri de la I.P. "T.V." Timișoara, asupra precomprimării parțiale, cu pretensionare limitată a armăturilor, a rezultat că o anumită deschidere de fisură se obține la o încărcare mai

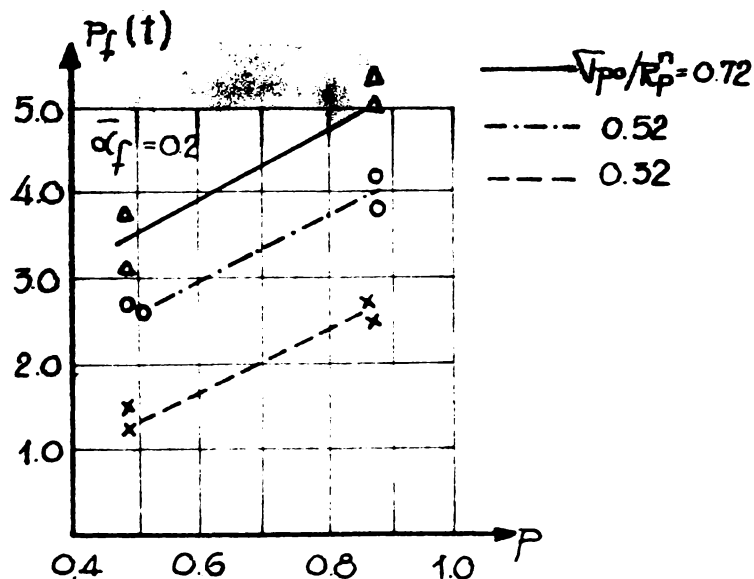


Fig. 4.12 INFLUENȚA PROCENTULUI DE ARMARE ASUPRA LUI $\bar{\alpha}_f$ (BAC - I.P. "T.V.T")

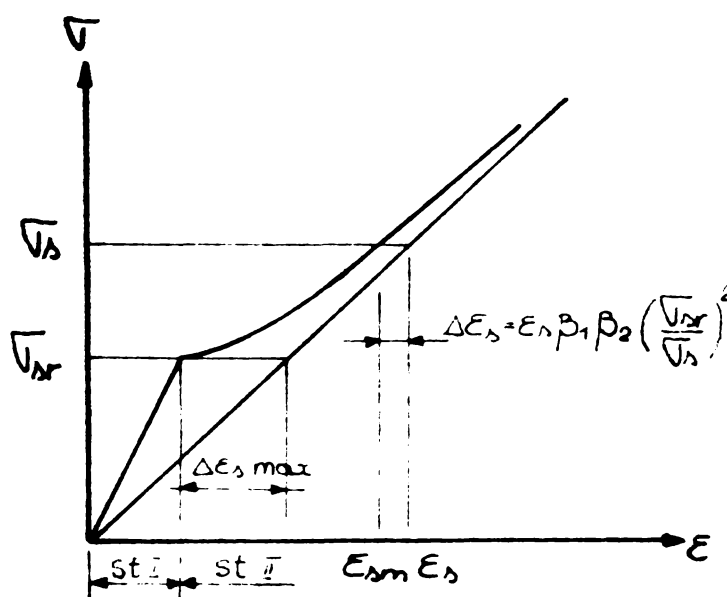


Fig. 4.13. APORTUL BETONULUI ÎNTINS DINTRE FIGURI

primare σ_o / R_p^n .

Pe baza acestor studii s-a stabilit pentru coeficientul β_1 următoarea relație /8/, /75/:

$$\beta_1 = 0,40 + 30 \mu / d \quad (4.6')$$

De regulă armătura complementară se dispune cît mai apropiat de fibra inferioară a elementului. Din studiile efectuate la INCERC București, pe elemente reduse la scară cît și pe elemente la scară naturală, a rezultat că intercalarea unor armături complementare, cu diametru mai mic decit cele dispuse la fibra inferioară, a condus la

β_1 - coeficient ce ține cont de proprietățile de aderență ale armăturii la beton; = 1,0 pentru bare cu profil periodic; = 2,0 pentru bare netede;

β_2 - coeficient ce ține cont de influența caracterului de aplicare al încărcării; = 1,0 la prima încărcare; = 0,5 pentru încărcări permanente sau repetate.

Din studiile lui Nemirovski rezultă că aportul betonului întins dintre fisuri depinde și de treapta de încărcare M_p/M , propunind pentru coeficientul de conlucrare dintre beton și armătură relația:

$$\psi = 1,1 - 1,3 M_p / M$$

Pornind de la studiile lui Nemirovski, pe baza cercetărilor efectuate în Catedra de beton armat și clădiri de la I.P. "T.V." Timișoara pe grinzi precomprime cu pretensionare incompletă a armăturilor, s-a stabilit următoarea relație pentru coeficientul de conlucrare /8/, /75/, /98/:

$$\psi = 1,0 - 0,9 \frac{\sigma_o}{R_p^n} \frac{M_p}{M} \quad (4.6)$$

relație care ține cont de treapta de încărcare și gradul de precom-

îndesarea fisurilor și în consecință la reducerea deschiderii fisurilor /38/, /79/.

4.4. Relatii pentru calculul mărimei deschiderii fisurilor

Pentru evaluarea mărimei deschiderii fisurilor Lloyd, Nejali și Kesler propun relația /59/:

$$w_{\max} = k_1 \Delta \sigma_s \sqrt[3]{d_c A_{cef}} \quad (\text{cm}) \quad (4.7)$$

unde: $\Delta \sigma_s$ este efortul unitar în armătura complementară după redeschiderea fisurilor;

d_c - distanța de la fibra inferioară de beton pînă la centru de greutate al celei mai inferioare armături;

A_{cef} - aria betonului de înglobare;

$$k_1 = 0,0011 \times 10^{-3}$$

Navy și Huang propun următoarea relație /66/

$$w_{\max} = k_2 A_t \sqrt{\sum \mu \Delta \sigma_s} \quad (\text{mm}) \quad (4.8)$$

unde: A_t este aria betonului întins;

$\sum \mu$ - suma perimetrelor barelor;

$$k_2 = 0,84 \times 10^{-6}$$

Bennett propune pentru calculul mărimei deschiderii fisurii relația /18/:

$$w = \beta_1 + \beta_2 \frac{\Delta \sigma_s}{E_s} c \quad (4.9)$$

unde: E_s este modulul de elasticitate al armăturii pretensionate;

c - stratul de acoperire cu beton;

$$\beta_1 = 0,02 \dots 0,04 \text{ mm};$$

$$\beta_2 = 3,0 \dots 6,5$$

Piccare din relațiile anterioare țin cont de cîte un parametru mai important ce influențează deschiderea fisurilor. Astfel relațiile (4.7) și (4.9) țin cont de stratul de acoperire, iar relația (4.8) de perimetrul barelor. Relațiile (4.7 - 4.8) țin cont și de influența zonei de beton în care este plasată armătura.

Cestelli Guidi are în vedere pentru calculul mărimei deschiderii fisurii relația /28/:

$$w = \varepsilon_a f(B \sum \frac{\varphi}{p}) \quad (4.10)$$

unde: ε_a este deformăția specifică a armăturii complementare;

$$\varphi = \frac{T_{ad}}{H^*},$$

B - aria întinsă de beton;

p - suprafața laterală a armăturilor pe unitate de lungime.

Insumarea se face pentru grupuri de bare cu proprietăți diferite de aderență.

Cestelli Guidi consideră că se poate admite proporționalitate între w și parametrul funcției f , astfel că relația (4.10) devine:

$$w = \varepsilon_a B \sum \frac{\varphi}{p} \quad (4.10')$$

Pe lângă relațiile (4.7 - 4.9) în relația (4.10) apare explicit influența proprietăților de aderență ale betonului cu armătura prin coeficientul φ .

Codul Model CEB-FIP prevede pentru calculul deschiderii fisurii relația:

$$w_m = s_{rm} \varepsilon_{sm,r} \quad (4.11)$$

unde: $\varepsilon_{sm,r}$ este deformarea specifică medie a armăturii, conform relației (4.5);

s_{rm} - distanța medie dintre fisuri.

Distanța minimă dintre fisuri este dată de relația:

$$s_{rm,0} = k_2 \frac{f_{ct}}{f_{bdm}} \frac{A_{ct}}{\sum U} \quad (4.12)$$

unde: $k_2 = 0,5$ pentru încovoiere, $= 1,0$ pentru întindere;

f_{ct} - rezistența la întindere a betonului;

f_{bdm} - efortul unitar mediu de aderență;

A_{ct} - aria de beton întins,

$\sum U$ - suma perimetrelor barelor

In normele românești /108/ termenul $k_2 \frac{f_{ct}}{f_{bdm}}$ se regăsește sub forma coeficientului β_f .

Pe baza rezultatelor experimentale și pentru situația cînd toate barele au același diametru distanța medie dintre fisuri este:

$$s_{rm} = 2(c + 0,1 s) + k_1 k_2 \phi / \rho_r \quad (4.13)$$

unde: c este stratul de acoperire cu beton;

s - distanța dintre bare;

k_1 - coeficient ce ține cont de proprietățile de aderență ale armăturilor, $0,4$ pentru bare cu profil periodic; $0,8$ pentru bare netede.

k_2 - coeficient ce ține cont de distribuția eforturilor unitare; $0,125$ pentru încovoiere; $0,25$ pentru întindere,

$$\rho_r = A_s / A_{c,ef}$$

A_s - aria de armătură

$A_{c,ef}$ - aria de înglobare în beton

Normele românesti /108/ prevăd pentru calculul deschiderii fisurii relația (128) care cu notării pentru elemente precomprimate, din clasa II și III de fisurabilitate, devine:

$$\alpha_f = \lambda_f \frac{\psi \Delta \sigma_p}{E_p} \quad (4.14)$$

cu:

$$\lambda_f = \beta_f \frac{A_{bt}}{u}$$

Se prevede ca pentru elemente realizate cu toroane $\lambda_f = a_e$ și $\psi = 1$.

In /109/ se prevede pentru armături prefintinse $\psi = 0,8$.

Normativul pentru elementele parțial precomprime indică și posibilitatea ca verificarea deschiderii fisurilor, sub încărcările de exploatare, să fie înlocuită de respectarea condiției:

$$\Delta \sigma_p < 1000 \text{ daN/cm}^2$$

precindu-se că pînă în momentul elaborării nu există suficiente date pentru un calcul mai detailat. Pentru încărcările de exploatare de lungă durată se cere respectarea condiției:

$$\Delta \sigma_p \leq 300 \text{ daN/cm}^2$$

Din diversele studii efectuate /8/, /18/, /28/, /35/, /73/, /79/, /96/, /97/, /102/, /103/ a rezultat că a admite că distanța dintre fisuri este egală cu distanța dintre etrieri este îndepărtată de realitate, mai ales atunci cînd se prevede și armătură complementară intercalată cu armătură pretensionată.

Avînd în vedere acest lucru se propune pentru calculul distanței dintre fisuri relația:

$$\lambda_f = \beta_f \frac{A_{bi}}{u} \quad (4.15)$$

unde: A_{bi} este aria de înglobare în beton definită conform Anexei II din /109/, dar limitată la cel mult A_{bt} ;

A_{bt} - aria de beton întins în momentul apariției fisurilor;

u - perimetru total al armăturilor;

$\beta_f = a + b \sum \frac{A_i}{d}$, coeficient ce înlocuiește raportul R_t / τ_{am} .

Coefficienții a și b urmează să se determine experimental, rezultînd o evaluare globală a coefficientului β_f , avînd în vedere existența a două tipuri de bare. Se va lua în considerare și raportul dintre armătură pretensionată și armătură complementară.

In privința coefficientului de conlocare ψ , acceptînd propunerea lui Nemirovski, este mai rațional de a se utiliza ca expresie a treptei de încărcare raportul M_d/M_e decarece în mod curent elemen-

tele parțial precomprimate sunt supuse fractiunii de lungă durată a încărcării utile și sub această treaptă ele trebuie să fie cu secțiunile normale inchise. Sub efectul restului de încărcare fisurile se vor redeschide după depășirea lui M_d , relația lui Nemirovski fiind valabilă numai la prima aplicare a încărcărilor. Având în vedere aceste lucruri se propune pentru calculul coeficientului de conlucrare expresia:

$$\psi = a + b \frac{M_d/M_e}{k} = a + bk \quad (4.16)$$

unde coeficienții a și b vor fi determinați experimental.

5. STUDIU EXPERIMENTAL PRIVIND COMPORTAREA IN EXPLOATARE A ELEMENTELOR DIN BETON PRECOMPRIMAT PARȚIAL CU SI FARA SUPRA-BETONARE

5.1. Programul experimental și efectuarea incercărilor

Programul experimental a încercat să elucidese unele dintre problemele semnalate în capitolul anterior, așa cum ar fi: influența efortului real de precomprimare asupra apariției fisurilor; influența diferenților parametri asupra momentului încevoietor de fisurare și de rupere; comportarea elementelor sub efectul unor încărcări-descărăcări repetate; influența diferenților factori asupra distanței dintre fisuri și deschiderii fisurilor; determinarea experimentală a coeficienților β_p și ψ .

Cercetările experimentale s-au desfășurat în Laboratorul de Beton armat al Catedrei de Beton armat și clădiri a Institutului Politehnic "Traian Vuia" din Timișoara.

Programul experimental s-a desfășurat în două etape, și anume:

- etapa I, în perioada 1972 - 1975 pe baza contractului 4110/72 fiind amăt pe studiul apariției fisurilor și al comportării sub încărcarea de exploatare;

- etapa II, în perioada 1981 - 1983 pe baza contractului 870/81 și a fost amăt pe studiul comportării sub încărcarea de exploatare.

5.1.1. Programul etapei I

În etapa I au fost incercate 28 grinză din beton precomprimat parțial, confecționate la INCERC - București, fiind prevăzut a se realiza un beton de maro B 500. Elementele experimentale au fost

înscrise de epruvete prelevate din betonul turnat.

Elementele experimentale

Elementele experimentale din beton precomprimat parțial încercante în această etapă au fost realizate prin pretensionarea incompletă a armăturii pretensionate, formată din toreane. Nu a fost prevăzută armătură de rezistență complementară. Gradul de precomprimare $\frac{G_{po}}{E_p}$ a fost prevăzut de 0,5, 0,7 și 1,0. Procentajele de armare ale elementelor au fost cuprinse între 0,49 % și 0,88 %.

Alcătuirea de principiu a elementelor experimentale este prezentată în figura 5.1. Dimensiunile grinzilor au fost determinate de cofrajul existent la INCERC - București. În tabelul 5.23 (PLIC) se prezintă principalele caracteristici ale elementelor experimentale, care completează datele presentate în figura 5.1.

Realizarea efortului de precomprimare a fost controlată cu doză de forță.

Caracteristicile betonului

Înainte cu o zi de efectuarea încercării s-au făcut determinările pe epruvetele aferente fiecărui element în conformitate cu normele în vigoare. Valorile medii ale rezistențelor mecanice și ale modulului de elasticitate sunt date în tabelul 5.24 (PLIC).

Caracteristicile armăturilor

Determinarea caracteristicilor armăturilor s-a făcut, pe cupeane prelevate din armătura utilizată, în conformitate cu normele în vigoare. În figura 5.2 se prezintă curbele caracteristice pentru TEP 12 și TEP 9.

Răspânditul de încarcare

Pentru realizarea încercării s-a folosit o instalatie cu o presiune maximă de 200 atm.

Pentru măsurarea săgeților s-a folosit microcomparatoare cu precizia 1:10 (Maximov), iar pentru tasarea reazemelor microcomparatoare 1:100. Pentru a urmări eventualele lumecări ale toreanelor s-a prevăzut microcomparatoare 1:1000.

Urmărirea deformațiilor specifice ale betonului s-a realizat cu ajutorul tensometriei electrice rezistive.

Mărimea deschiderii fisurilor s-a urmărit cu ajutorul unei lufe micrometrice cu precizie de 1:10.

În figura 5.3 se prezintă modul de plasare a aparatelor de măsură și schema de încărcare.

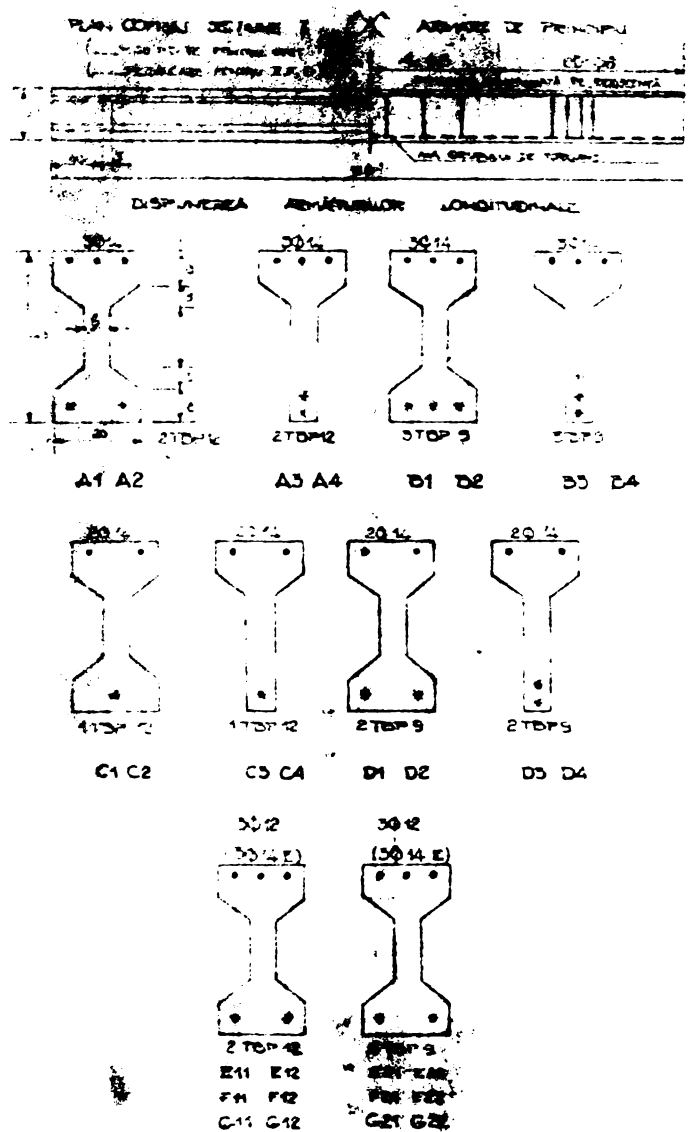


Fig. 51: DISPOZITIVA ELEMENTELOR DIN ETAPA I

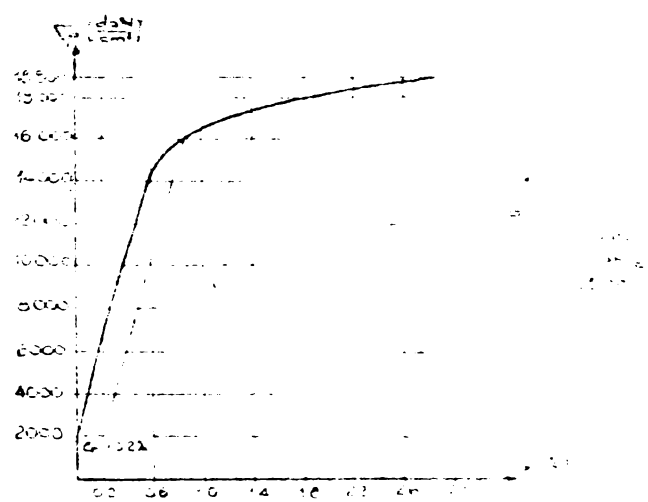


Fig. 52: CURBELE CARACTERISTICE ALE ELEMENTELOR

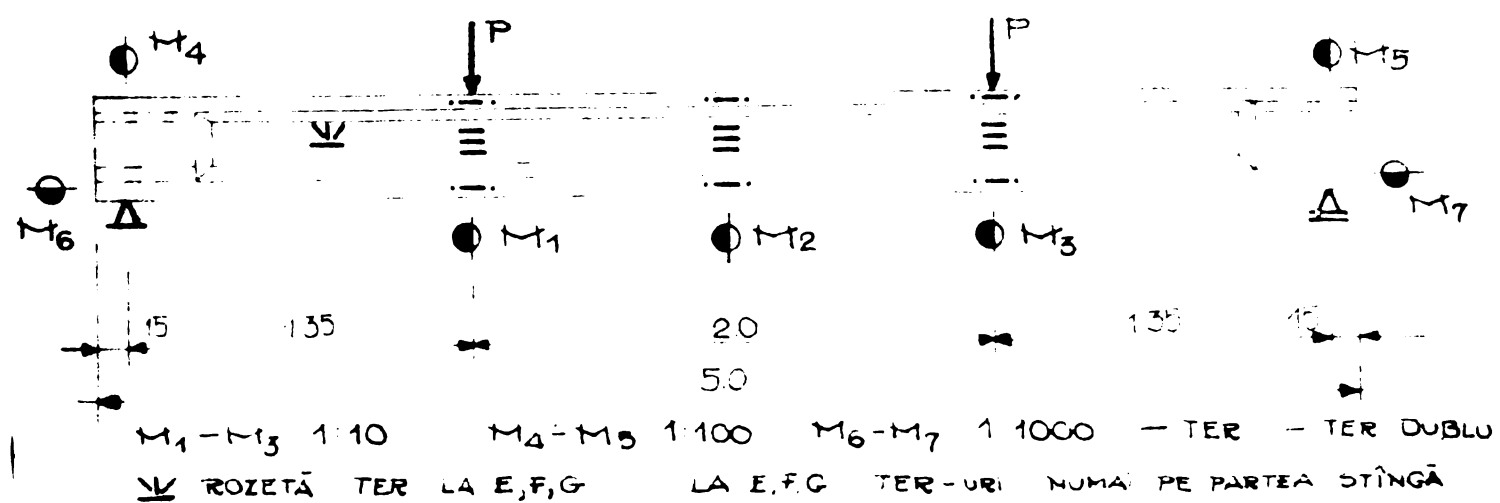


Fig. 53: SCHEMA DE ÎNCĂRCARE SI DISPOZITIA APARATELOR (ETAPA I)

Determinarea valorilor de control

La evaluarea efortului de precomprimare, conform /108/, s-a pornit de la valoarea efortului unitar, la transfer, în armătură. Valorile efortului de precomprimare H_0 , la data încercării, sunt prezentate în tabelul 5.23 (adică).

Momentul incovoietor de fisurare s-a determinat, cu relația (3.43), în ipoteza comportării plastice a betonului întins. Valorile forțelor de fisurare sunt date în tabelul 5.1 (pl/c).

Momentul incovoietor de rupere s-a determinat adoptând pentru efortul unitar din armătura pretensionată valoarea

$$\sigma_{pl} = m_p \sigma_{0,2}. \text{ Valorile forțelor de rupere sunt date în tabelul 5.2 (pl/c).}$$

Tehnologia încercării

Elementele experimentale au fost încercate astfel: încărcare pînă la fisurare; descărcare la zero; refincărcare pînă la rupe-re;

Treapta de încărcare a fost de 10 % din forță teoretică de rupere. Avînd în vedere faptul că s-a acordat atenție apariției fisurilor în intervalul de 80%...120% din forță teoretică de fisurare treapta de încărcare a reprezentat 10% din forță teoretică de fisurare. La refincărcare s-a reținut treapta de redeschidere a fisurilor (0,03 mm) și treapta la care fisurile au o deschidere medie de 0,15 mm; 0,2 mm și 0,3 mm.

5.1.2. Programul etapei II

In treapta II au fost încercate 9 elemente din beton pre-comprimat parțial, dintre care 6 au fost elemente compuse. Elementele precomprimate au fost realizate la "Extraceram" Timișoara - Secția de prefabricate, iar betonul armat monolit, pentru elementele compuse, a fost turnat în cadrul Catedrei de Beton armat și clădiri, cu beton preparat la aceeași unitate. S-a prevăzut realizarea unui beton de marca B 500 pentru elementele precomprimate și un beton de marcă B 400 pentru betonul armat. Elementele experimentale au fost însoțite de epruvete prelevate din betonul turnat.

Precomprimarea parțială a acestor elemente s-a realizat prin modificarea cantității de armătură pretensionată (toroane) și a cantității de armătură complementară. Drept grad de precomprimare s-a ales definiția dată de relația (4.4).

Alcătuirea de principiu a elementelor experimentale este prezentată în figura 5.4. Poziția toroanelor a fost determinată de golurile existente în placă de ancoraj a tiparului metalic.

Dimensiunile elementelor experimentale (în special porțiunea de beton armat) și ariile de armătură au fost astfel alese ca să se poată duce elementele pînă la rupere cu instalația existentă în laborator.

In tabelul 5.3 se prezintă cîteva caracteristici ale elementelor în comparație cu unele elemente tipizate și cu unele elemente experimentale încercate la INCERC - București /79/. Se constată că singura diferență existentă în privința raportului h/L , diferență ce provine din cauza tiparului folosit.

Tabelul 5.3

Compararea elementelor experimentale cu alte elemente

| Element | h/L | $p = A_p/A_b (\%)$ | a_p/h | $A_p \sigma_{pk}/A_{bi}$ |
|---------------------------------|-------------|--------------------|--------------|--------------------------|
| G 18 - 6 - 3 (sect. periculosa) | 1/17 | 0,77 | 0,205 | 105,0 |
| PGP 1/6-a | 1/11 | 0,42 | 0,17 | 57,3 |
| TT 3x18-265 | 1/22,5 | 0,38 | 0,16 | 52,0 |
| CP 1,5x12-265 | 1/24 | 0,23 | 0,125 | 38,5 |
| T 1,5x12-295 | 1/20 | 0,28 | 0,24 | 33,0 |
| ELEM. exp. cu sect. drept /79/ | 1/17 | 0,5 | 0,27 | 66,1 |
| ELEM. exp. T /79/ | 1/17 | 0,35 | 0,24 | 48,1 |
| ELEM. exp. GP 1...3 prec. 1/7 | 0,5 0,24 | 0,37 0,18 | 0,13 | 58,0 23,5 43,5 |
| | comp. 1/6 | 0,38 0,18 | 0,27 0,11 | - |
| Elemente exp. GP 4..6 | 1/7 | 0,61 0,36 | 0,49 0,13 | 73,1 57,6 43,1 |

In tabelul 5.25 (p/ie) se prezintă principalele caracteristici ale elementelor experimentale, care completează datele din figura 5.4.

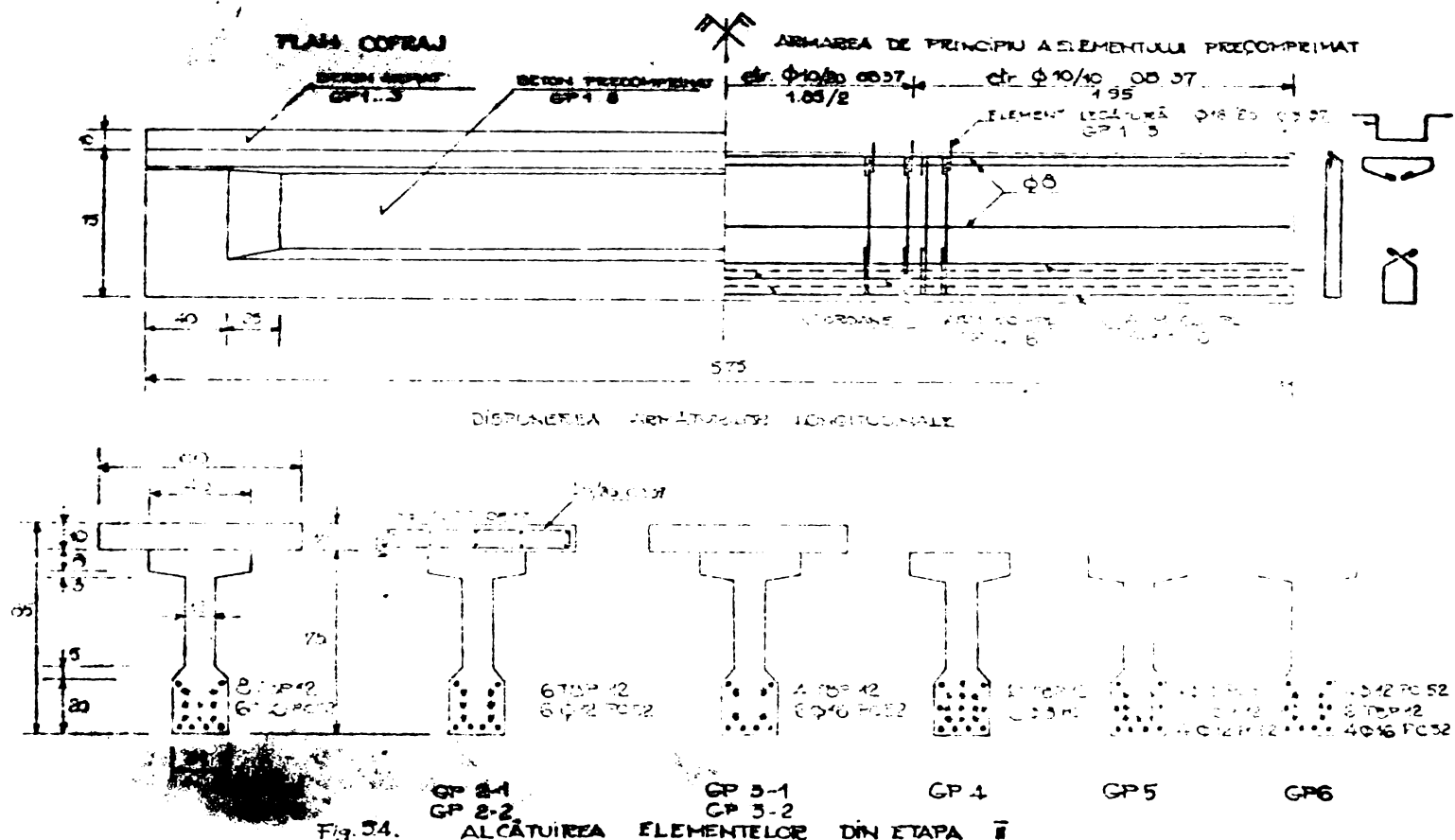
Efortul unitar de control $\sigma_{pk} = 12000 \text{ daN/cm}^2$ s-a verificat cu tensometrul Vogt.

Caracteristicile betonului

Inainte cu o zi de efectuarea încercării s-au făcut determinările pe epruvetele aferente fiecărui element, în conformitate cu normele în vigoare. Valorile medii ale rezistențelor mecanice și ale modulului de elasticitate sunt date în tabelul 5.26 (p/ie).

Caracteristicile armăturilor

Determinarea caracteristicilor armăturilor s-a făcut, pe cupoane prelevate din armătura utilizată, în conformitate cu normele în vigoare. Valorile limitei conventionale de curgere și a rezistenței de rupere sunt date în tabelul 5.27 iar în figura 5.5 se prezintă



curba caracteristică pentru TBP 12 și Ø12 PC 52.

Dispozitivul de încercare

Pentru realizarea încercării s-a utilizat aceeași instalatie ca și în etapa I.

Pentru măsurarea săgeților s-au folosit microcomparatoare cu precizia 1:10 (Maximov), iar pentru tasarea reazemelor microcomparatoare 1:100.

Pentru urmărirea eventualelor luncări la contactul dintre betonul precomprimat și cel armat s-a prevăzut un microcomparator 1:100.

Urmărirea deformațiilor specifice s-a realizat cu ajutorul tensometriei electrice rezistive. Traductoarele au fost plasate pe partea stingă a fiecărei fețe. Pe fața SUD s-au dispus și tensometre mecanice.

Mărimea deschiderii fisurilor s-a urmărit cu ajutorul unei luce micrometrice cu precizie de 1:10.

În figura 5.6 se prezintă modul de plasare a aparatului de măsură și schema de încărcare.

Determinarea valorilor de control

La evaluarea stării de eforturi unitare din momentul încer-

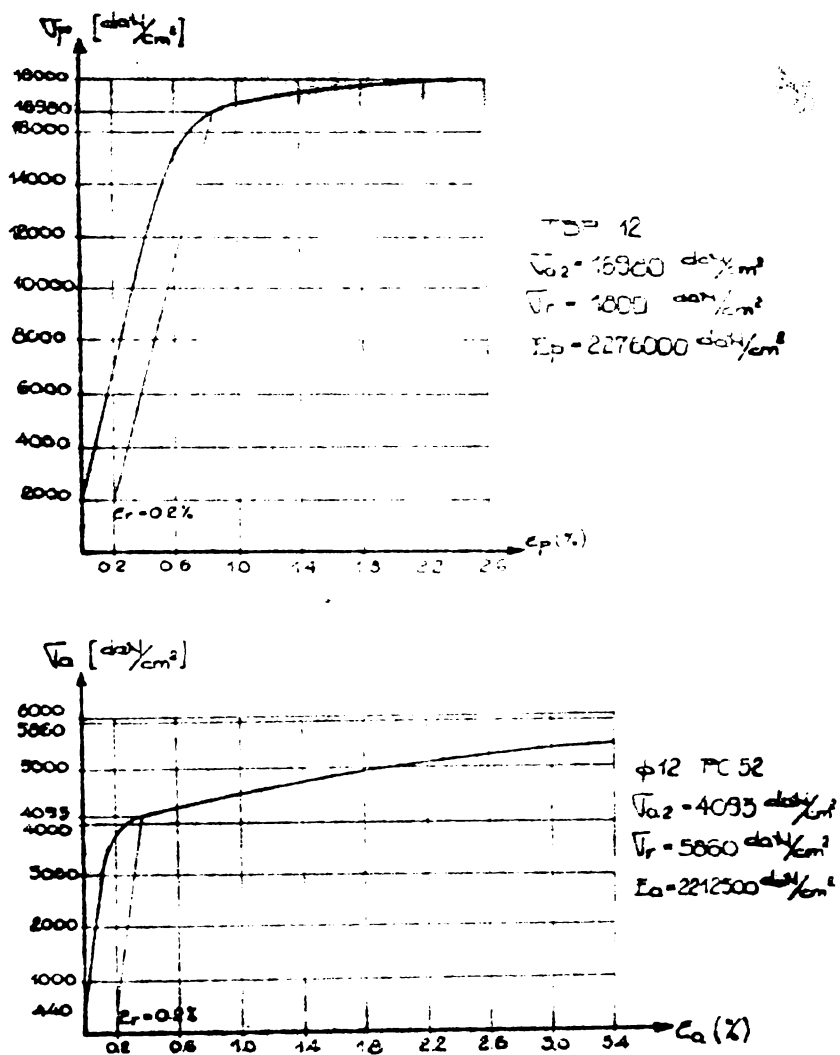


FIG. 55. CURBELE CARACTERISTICE ALE ARMATURILOR (ETAPA II)

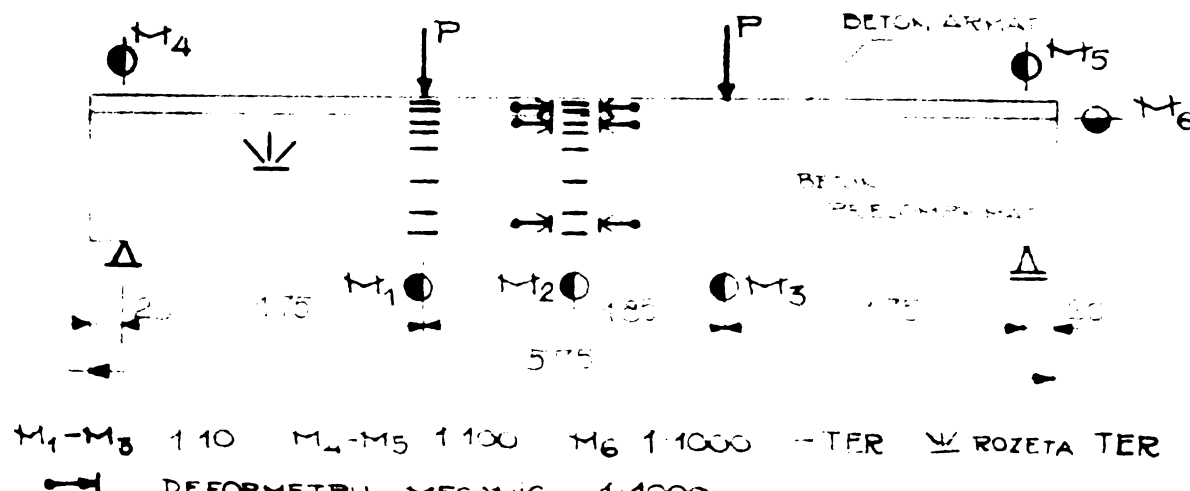


FIG. 56. SCHEMA DE ÎNCĂRCARE SI DISPOZITIA APARATELOR (ETAPA II)

adoptînd pentru efortul unitar din armătura pretensionată valoarea $\sigma_{p1} = m_p \sigma_{0,2}$. Pentru secțiunile compuse coeficientul de echivalentă al betonului armat s-a luat $n_b = R_{ca}/R_{cp}$.

Valorile forțelor de fisurare și rupere sunt prezentate în

cărri elementelor experimentale s-a ținut cont de efortul real de precomprimare, iar la elementele compuse s-a luat în considerare și interacțiunea celor două tipuri de beton. În tabelul 5.4 se prezintă valorile efortului real de precomprimare.

Determinarea momentului încovoietor de fisurare pentru secțiunile compuse s-a făcut prin rezolvarea sistemului de ecuații de la punctul 3.5.2, plecînd de la starea de decompresiune. Pentru elementele compuse calculul stării de decompresiune și calculul momentului încovoietor de fisurare s-a făcut cu ajutorul calculatorului electronic (Anexa 2.2 respectiv Anexa 3).

Pentru elementele GP-4..GP-6, calculul momentului încovoietor de fisurare s-a făcut cu relația (3.43).

Momentul încovoietor de rupere s-a determinat

Tabelul 5.4

Valoarea esfertului de precomprimare

| Element | A_p (cm^2) | A_{bi} (cm^2) | I_{bi} (cm^4) | b_p | y_p (cm) | i | σ_{po} (daN/cm^2) | σ_{pp} (daN/cm^2) | N_p fază la init. | N_p (daN) | In la date inc. (daN) |
|---------|----------------------------|-------------------------------|-------------------------------|-------|--------------------------|-------|---|---|---------------------------|---------------------------|--|
| GP 1-1 | 7,16 | 1469 | 925373 | 7,16 | 28,86 | 1,081 | 9866 | 9127 | 65347 | - | |
| GP 1-2 | 7,16 | 1469 | 925373 | 7,00 | 28,86 | 1,079 | 9866 | 9144 | 65469 | - | |
| GP 2-1 | 5,37 | 1480 | 936049 | 7,80 | 28,05 | 1,064 | 9866 | 9273 | 49794 | - | |
| GP 2-2 | 5,37 | 1480 | 936049 | 7,78 | 28,05 | 1,063 | 9866 | 9281 | 49840 | - | |
| GP 3-1 | 3,58 | 1504 | 958382 | 7,79 | 27,6 | 1,019 | 9866 | 9682 | 34662 | - | |
| GP 3-2 | 3,58 | 1504 | 958382 | 7,79 | 27,6 | 1,018 | 9866 | 9692 | 34696 | - | |
| GP 4 | 8,95 | 1471 | 925863 | 6,81 | 27,52 | 1,091 | 9866 | 9043 | 30935 | 69534 | |
| GP 5 | 7,16 | 1484 | 947259 | 7,43 | 28,2 | 1,081 | 9866 | 9127 | 65347 | 52890 | |
| GP 6 | 5,37 | 1514 | 978982 | 7,63 | 27,5 | 1,059 | 9866 | 9316 | 50029 | 36509 | |

tabelul 5.5.

Valoarea forței corespunzătoare treptei de exploatare s-a făcut luând în considerare un coeficient de siguranță $c=1,8$ (Tabelul 5.5)

Tabelul 5.5
Momente încovoietoare și forțe de fisurare și rupere (etapa II)

| Element | M_p^t (daNm) | P_p^t (daN) | M_r^t (daNm) | P_r^t (daN) | P_e^t (daN) |
|---------|------------------------------|-----------------------------|------------------------------|-----------------------------|-----------------------------|
| GP 1-1 | 49711 | 28420 | 93960 | 53600 | 30000 |
| GP 1-2 | 49831 | 28450 | 93990 | 53600 | 30000 |
| GP 2-1 | 42384 | 24200 | 83329 | 47700 | 26400 |
| GP 2-2 | 40958 | 23400 | 83329 | 47700 | 26400 |
| GP 3-1 | 28735 | 16430 | 78404 | 44700 | 24800 |
| GP 3-2 | 30277 | 17300 | 78460 | 44700 | 24800 |
| GP 4 | 45183 | 25819 | 92840 | 53000 | 29400 |
| GP 5 | 37336 | 21335 | 84800 | 48500 | 24000 |
| GP 6 | 31427 | 17958 | 82100 | 46900 | 25200 |

Tehnologia încercării

Grinziile GP 1...GP au fost încărcate pînă la treapta de exploatare, decarcate și reîncărcate pînă la exploatare. Grinziile GP 1-1, GP 2-1 și GP 3-1 au fost încărcate apoi pînă la rupere, în timp ce grinziile GP 1-2,

GP 2-2 și GP 3-2 au fost supuse la oboselă.

Pentru a urmări evoluția deschiderii fisurilor la diferite nivele de încărcare, elementele GP 4... GP 6 au fost încercate conform schemei din figura 5.7. Prin această tehnologie s-a urmărit evoluția fisurilor, după un număr de 5 încărcări-descărcări, la nivelul P_e^t , iar după atingerea unei suprasarcini (treapta P_2) s-a urmărit evoluția fisurilor sub nivelul încărcărilor de lungă durată.

In principiu încărcarea-descărcarea s-a efectuat cu trepte de 10% din forță corespunzătoare ruperii.

5.2. Rezultatele încercărilor experimentale din etapa I

5.2.1. Apariția fisurilor

Determinarea treptei de apariție a fisurilor s-a făcut pe baza observării directe cu lupa, conjugat cu analiza curbei încărcare-săgeată, atunci cind prin observarea directă se constată o fisură foarte fină și foarte puțin dezvoltată pe înălțimea elementului.

In figurile 5.8 - 5.11 se prezintă diagramele încărcare-să-

geata la mijlocul deschiderii pentru elementele din serie E.

In tabelul 5.6. sint date treptele de apariție a fisurilor, sub forma raportului $\frac{M_f^0}{M_r^0}$, indicindu-se în același timp valoarea procentului de armare $p=100 \frac{A_p}{bh_0}$, precum și raportul $\frac{\sigma_{po}}{R_p^n}$.

Momentul încovoietor de fisurare este puternic influențat de gradul de precomprimare $\frac{\sigma_{po}}{R_p^n}$ (Fig.5.12), la o dublare a gradului de precomprimare corespunzând un spor de 30% al momentului încovoietor de fisurare.

Momentul încovoietor de fisurare este, practic, neinfluențat de procentul de armare (Fig.5.13)

Forma secțiunii transversale are o influență redusă asupra momentului încovoietor de fisurare (Fig.5.14), trecerea de la secțiunea T la secțiunea dublu T ducind la un spor de numai 10% pentru momentul încovoietor de fisurare. Avind în vedere acest

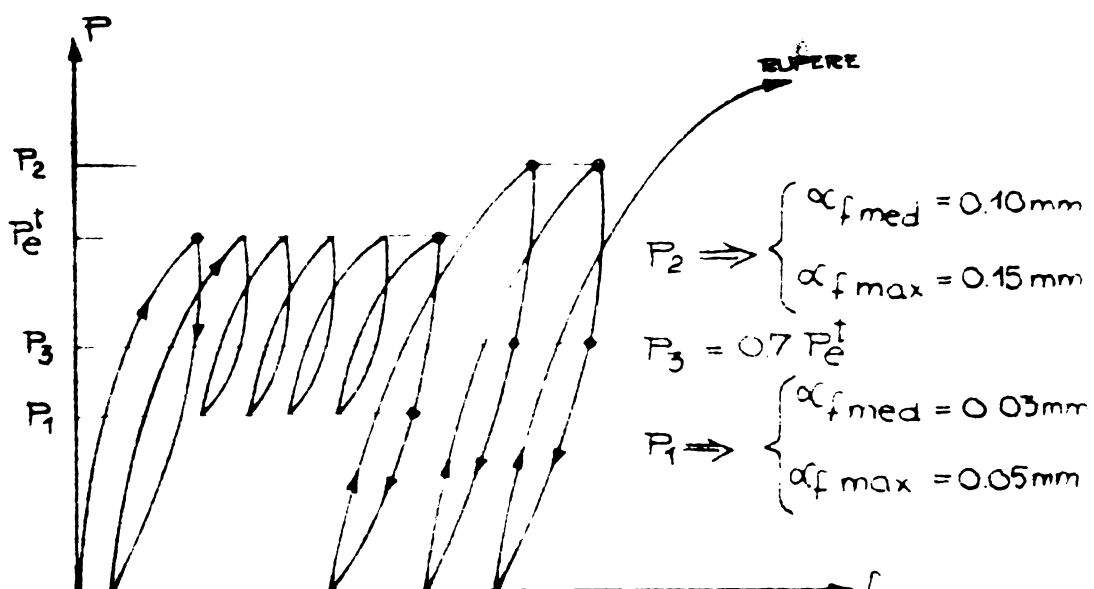
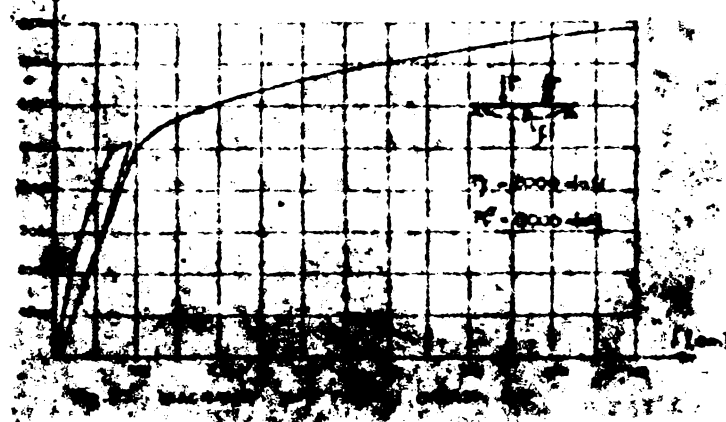
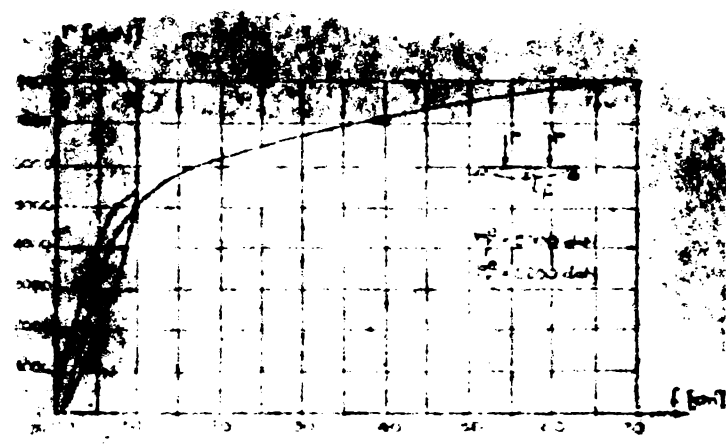


Fig. 5.7. SCHEMA DE ÎNCĂRCARE A GRINZILOR GP4...GP6



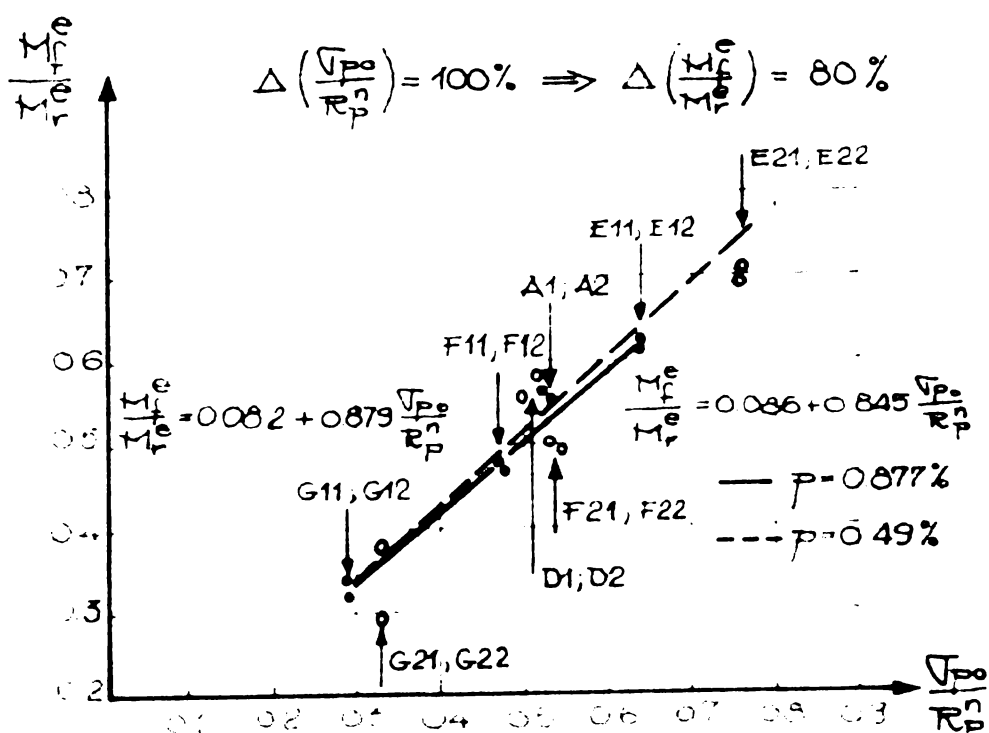
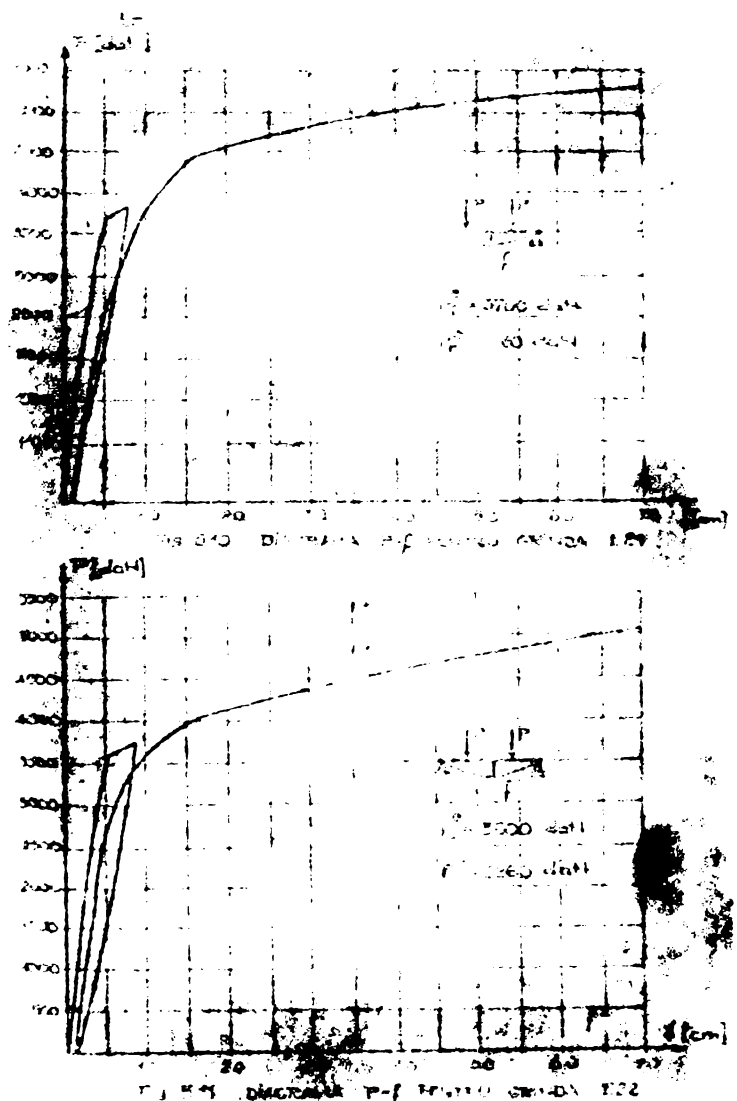


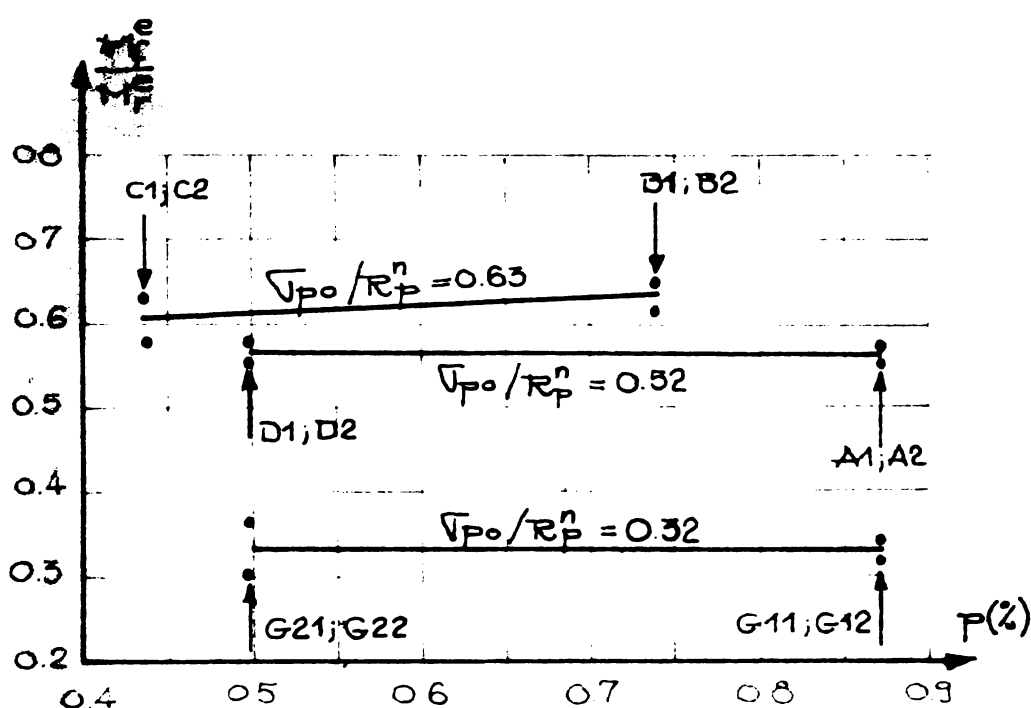
Fig. 5.12. INFLUENȚA GRADULUI DE PRECOMPRIMARE $\frac{V_{p0}}{R_p^n}$ ASUPRA RAPORTULUI M_f^e/M_r^e

lucru precum și faptul că în cazul precomprimării parțiale cantitatea de armătură pretensionată este mai mică (ceea ce implică un efort de precomprimare mai redus și o mai ușoară dispunere a armăturii pretensionate) rezultă că secțiunea T este mai convenabilă pentru cazurile curente.

In tabelul 5.7 se prezintă valorile experimentale ale momentelor încovoietoare de fisurare, valorile teoretice calculate în conformitate cu relațiile (3.43-3.45) prezentate la punctul 3.5.1, precum și compararea valorilor teoretice cu cele experimentale.

Se constată că în mare parte majoritatea a cazurilor valoarea teoretică a momentului încovoietor de fisurare este mai mare decât valoarea experimentală. Normele sovietice și cele CAER conduc la valori teoretice ce se apropie cel mai mult de valorile experimentale, aceasta datorită faptului că evaluarea modului de rezistență la fisurare se face în mod exact, în timp ce normativul P 8-62 prevede un calcul simplificat ($W_f = \gamma V_0$). Este însă adevărat că

prinț-o observație inserată în textul normativului P 8-62 se admite și calculul



* Fig. 5.13. INFLUENȚA PROCENTULUI DE ARMARE ASUPRA RAPORTULUI M_f^e/M_r^e

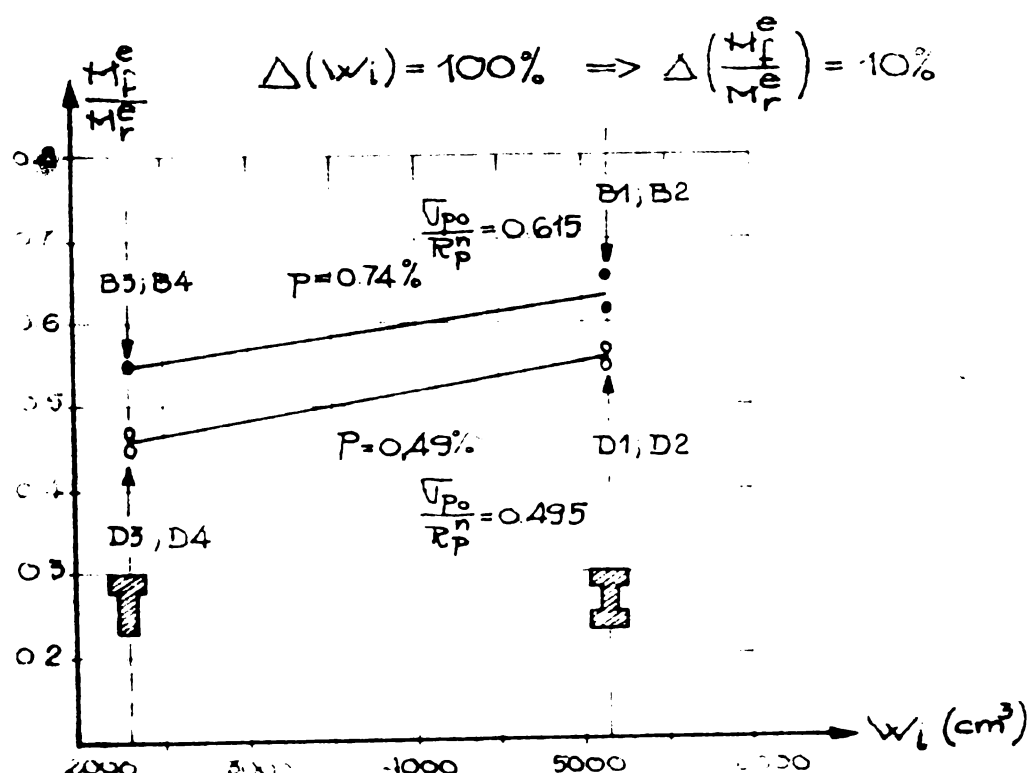


Fig. 5.14. INFLUENȚA FORMEI SECȚIUNII TRANSVERSALE ASUPRA RAPORTULUI M_f^e/M_r^e

lui w_1 , cu relații ce sunt identice cu cele prevăzute de normele sovietice și CAER.

5.2.2. Influenta efortului real de precomprimare asupra momentului încovoietor de fisurare

După cum s-a arătat în capitolul 2, neluarea în considerare a efortului real de precomprimare conduce la calcule descoperitoare în privința verificărilor la fisurare. În vederea evaluării acestei influențe s-au recalculat valori teoretice ale momentelor încovoietoare de fisurare. Coeficientul w_1 și compararea valorilor teoretice cu cele experimentale este redată în tabelul 5.8.

Avind în vedere caracteristicile secțiunilor transversale și ariile

de armătură era de așteptat ca pentru anumite elemente valoarea coefficientului w_1 să fie redusă.

Indiferent însă de valoarea coefficientului w_1 se constată

Tabelul 5.6

Treptele de apariție ale fisurilor la elementele din etapa I

| Ele- ment | p (%) | $\frac{R_p}{R_n}$ | $\frac{L_f}{L_e}$ | Ele- ment | p (%) | $\frac{R_p}{R_n}$ | $\frac{L_f}{L_e}$ |
|--------------|----------|-------------------|-------------------|--------------|----------|-------------------|-------------------|
| A1 | 0,677 | 0,528 | 0,563 | D3 | 0,49 | 0,495 | 0,458 |
| A2 | 0,877 | 0,535 | 0,554 | D4 | 0,49 | 0,495 | 0,458 |
| A3 | 0,877 | 0,510 | 0,435 | E11 | 0,877 | 0,639 | 0,612 |
| A4 | 0,877 | 0,510 | 0,432 | E12 | 0,877 | 0,644 | 0,625 |
| B1 | 0,74 | 0,615 | 0,614 | E21 | 0,49 | 0,758 | 0,705 |
| B2 | 0,74 | 0,620 | 0,053 | E22 | 0,49 | 0,76 | 0,695 |
| B3 | 0,74 | 0,615 | 0,555 | F11 | 0,877 | 0,475 | 0,479 |
| B4 | 0,74 | 0,615 | 0,555 | F12 | 0,877 | 0,470 | 0,469 |
| C1 | 0,438 | 0,650 | 0,573 | F21 | 0,49 | 0,528 | 0,505 |
| C2 | 0,438 | 0,650 | 0,631 | F22 | 0,49 | 0,542 | 0,495 |
| C3 | 0,438 | 0,545 | 0,422 | G11 | 0,877 | 0,290 | 0,339 |
| C4 | 0,438 | 0,545 | 0,445 | G12 | 0,877 | 0,291 | 0,321 |
| D1 | 0,49 | 0,495 | 0,557 | G21 | 0,49 | 0,330 | 0,295 |
| D2 | 0,49 | 0,515 | 0,58 | G22 | 0,49 | 0,323 | 0,367 |

Tabelul 5.7

Compararea valorilor teoretice ale momentelor încovoietoare de fisurare cu cele experimentale (etapa I)

| Ele- ment | M_f (tm) | Normativ P8-62 | | INCERC-București I.P.Iasi | | Normele sovietice Normele CHER | |
|--------------|---------------|-------------------|-------------------|------------------------------|-------------------|-----------------------------------|-------------------|
| | | $\frac{M_f}{M_t}$ | $\frac{M_f}{L_f}$ | $\frac{M_f}{M_t}$ | $\frac{M_f}{L_f}$ | $\frac{M_f}{M_t}$ | $\frac{M_f}{L_f}$ |
| 1 | 2 | 3 | 4 | 5 | 6 | 7 | 8 |
| A1 | 6,08 | 6,33 | 0,961 | 6,24 | 0,974 | 5,99 | 1,010 |
| A2 | 5,76 | 6,35 | 0,907 | 6,24 | 0,923 | 6,04 | 0,950 |
| A3 | 3,37 | 4,49 | 0,751 | 4,24 | 0,792 | 4,90 | 0,690 |
| A4 | 2,70 | 4,49 | 0,601 | 4,24 | 0,64 | 4,90 | 0,550 |
| B1 | 5,40 | 6,63 | 0,814 | 6,58 | 0,823 | 6,13 | 0,885 |
| B2 | 5,75 | 6,63 | 0,867 | 6,59 | 0,872 | 6,21 | 0,925 |
| B3 | 4,05 | 4,52 | 0,896 | 4,34 | 0,932 | 4,79 | 0,850 |
| B4 | 4,05 | 4,52 | 0,896 | 4,34 | 0,932 | 4,79 | 0,850 |
| C1 | 3,38 | 4,65 | 0,727 | 4,52 | 0,750 | 4,00 | 0,847 |
| C2 | 3,72 | 4,65 | 0,800 | 4,52 | 0,823 | 4,00 | 0,934 |
| C3 | 2,70 | 4,89 | 0,552 | 4,65 | 0,583 | 4,45 | 0,608 |
| C4 | 2,70 | 4,89 | 0,552 | 4,65 | 0,583 | 4,45 | 0,608 |
| D1 | 3,38 | 5,13 | 0,659 | 5,12 | 0,660 | 3,95 | 0,855 |
| D2 | 3,72 | 5,13 | 0,725 | 5,12 | 0,725 | 4,07 | 0,915 |
| D3 | 2,70 | 4,71 | 0,573 | 4,36 | 0,618 | 4,01 | 0,672 |
| D4 | 2,70 | 4,71 | 0,573 | 4,36 | 0,618 | 4,01 | 0,672 |
| E11 | 6,75 | 7,83 | 0,862 | 7,12 | 0,950 | 6,78 | 0,490 |
| E12 | 6,75 | 7,84 | 0,861 | 7,13 | 0,974 | 6,78 | 0,990 |
| E21 | 5,00 | 4,57 | 1,094 | 4,34 | 1,150 | 5,16 | 0,969 |
| E22 | 4,86 | 4,59 | 1,059 | 4,36 | 1,110 | 5,16 | 0,943 |
| F11 | 5,40 | 6,22 | 0,868 | 5,85 | 0,937 | 5,48 | 0,984 |
| F12 | 5,06 | 6,21 | 0,815 | 5,83 | 0,870 | 5,44 | 0,932 |

Tabel 5.7.(continuare)

| 1 | 2 | 3 | 4 | 5 | 6 | 7 | 8 |
|--------------|------|------|--------------|------|--------------|------|--------------|
| P21 | 3,57 | 4,79 | 0,745 | 3,65 | 0,980 | 3,99 | 0,837 |
| P22 | 3,50 | 4,80 | 0,729 | 3,66 | 0,960 | 4,06 | 0,865 |
| G11 | 3,88 | 5,34 | 0,727 | 4,41 | 0,880 | 3,92 | 0,987 |
| G12 | 3,55 | 5,36 | 0,662 | 4,42 | 0,803 | 3,92 | 0,906 |
| G21 | 2,00 | 3,94 | 0,508 | 2,95 | 0,67 | 2,99 | 0,681 |
| G22 | 2,50 | 3,92 | 0,638 | 2,94 | 0,85 | 2,95 | 0,661 |
| Media | | | 0,765 | | 0,803 | | 0,849 |

Tabelul 5.8

Influenta efortului real de precomprimare asupra momentului incovoietor de fisurare

| Element | ω_1 | Normativul P8-62 | | INCERC-Bucureşti I.P.Iasi | | Normele sovietice. Normele CAER | |
|--------------|------------|------------------|---------------|------------------------------|---------------|------------------------------------|---------------|
| | | M_p^t | M_p^e/M_p^t | M_p^t | M_p^e/M_p^t | M_p^t | M_p^e/M_p^t |
| | | (tm) | | (tm) | | (tm) | |
| A1 | 1,035 | 6,21 | 0,979 | 6,08 | 1,000 | 5,84 | 1,04 |
| A2 | 1,035 | 6,22 | 0,925 | 6,08 | 0,948 | 5,88 | 0,979 |
| A3 | 1,078 | 4,27 | 0,789 | 3,99 | 0,844 | 4,64 | 0,730 |
| A4 | 1,078 | 4,27 | 0,632 | 3,99 | 0,675 | 4,64 | 0,582 |
| B1 | 1,029 | 6,52 | 0,828 | 6,47 | 0,835 | 5,99 | 0,901 |
| B2 | 1,029 | 6,52 | 0,882 | 6,47 | 0,889 | 6,07 | 0,947 |
| B3 | 1,055 | 4,36 | 0,928 | 5,33 | 0,760 | 4,59 | 0,882 |
| B4 | 1,055 | 4,36 | 0,928 | 5,33 | 0,760 | 4,59 | 0,882 |
| C1 | 1,023 | 4,61 | 0,734 | 4,46 | 0,758 | 3,94 | 0,858 |
| C2 | 1,023 | 4,61 | 0,807 | 4,46 | 0,834 | 3,94 | 0,944 |
| C3 | 1,033 | 4,66 | 0,580 | 4,56 | 0,592 | 4,34 | 0,622 |
| C4 | 1,033 | 4,66 | 0,580 | 4,56 | 0,592 | 4,34 | 0,622 |
| D1 | 1,020 | 5,08 | 0,655 | 5,06 | 0,667 | 3,89 | 0,867 |
| D2 | 1,020 | 5,08 | 0,732 | 5,075 | 0,734 | 4,02 | 0,926 |
| D3 | 1,037 | 4,62 | 0,585 | 4,27 | 0,631 | 3,90 | 0,692 |
| D4 | 1,037 | 4,62 | 0,585 | 4,27 | 0,631 | 3,90 | 0,692 |
| E11 | 1,041 | 7,65 | 0,882 | 6,93 | 0,974 | 6,54 | 1,032 |
| E12 | 1,041 | 7,78 | 0,868 | 6,94 | 0,973 | 6,54 | 1,032 |
| E21 | 1,021 | 4,49 | 1,112 | 4,33 | 1,156 | 5,08 | 0,984 |
| E22 | 1,021 | 4,51 | 1,084 | 4,32 | 1,126 | 5,08 | 0,956 |
| F11 | 1,041 | 6,00 | 0,900 | 5,71 | 0,946 | 5,32 | 1,015 |
| F12 | 1,041 | 6,08 | 0,832 | 5,69 | 0,889 | 5,28 | 0,958 |
| P21 | 1,033 | 5,74 | 0,738 | 3,60 | 0,991 | 3,91 | 0,914 |
| P22 | 1,033 | 4,75 | 0,737 | 3,61 | 0,970 | 3,97 | 0,881 |
| G11 | 1,038 | 5,30 | 1,732 | 4,33 | 0,896 | 3,82 | 1,015 |
| G12 | 1,038 | 5,29 | 0,671 | 4,34 | 0,818 | 3,82 | 0,928 |
| G21 | 1,034 | 3,91 | 0,511 | 2,91 | 0,687 | 2,83 | 0,707 |
| G22 | 1,034 | 3,86 | 0,647 | 2,91 | 0,859 | 2,89 | 0,865 |
| Media | | 0,781 | | 0,834 | | 0,873 | |

o reducere a valorilor teoretice ale momentului incovoietor și în consecință o apropiere a raportului M_p^e/M_p^t de unitate. Se menține aceeași poziție relativă între cele trei relații de calcul a momentului incovoietor de fisurare.

Rezultă că pierderea de tensiune din scurtarea elastică a betonului se face resimțită, trebuie să se țină cont de ea la evaluarea corectă a efortului de precomprimare.

5.2.3. Influența gradului de precomprimare k asupra coeficientului de conlucrare

Având în vedere faptul că în perioada de desfășurare a etapei I drept grad de precomprimare s-a ales raportul $\frac{C_{po}}{R_p^h}$ pentru aceste elemente experimentale s-a stabilit și valoarea gradului de precomprimare k definit ca raport între momentul încovoietor de decompresiune și momentul încovoietor de exploatare. În tabelul 5.23 (plie) se prezintă, pentru grinzile E, F și G valoile k pentru patru trepte de încărcare. Pe baza acestor valori și a coefficientului de conlucrare ψ determinat din valorile experimentale ale distanței dintre fisuri și a deschiderii fisurilor s-au întocmit diagramele din figu-

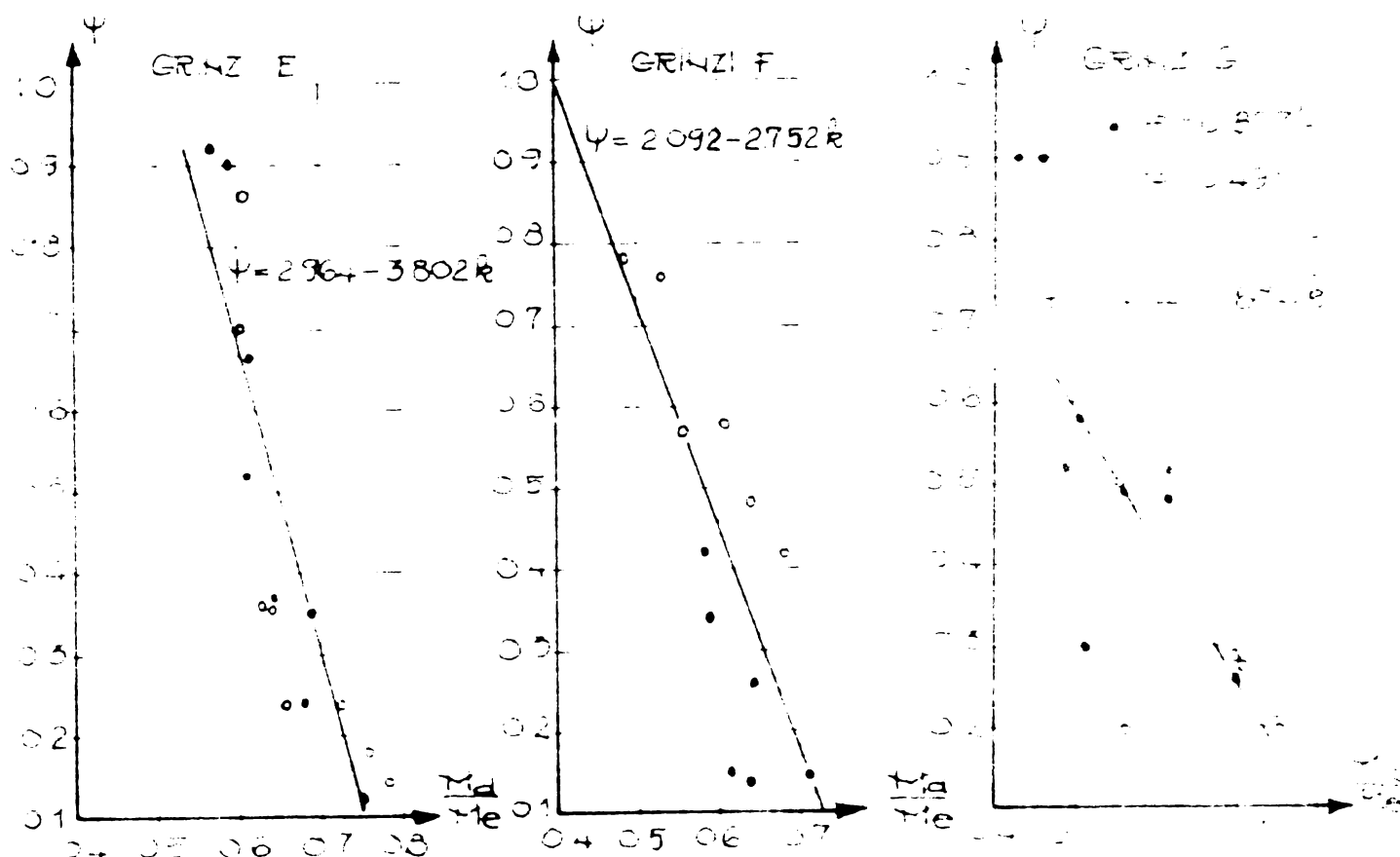


Fig. 5.23. LEGĂTURA ÎNTRE COEF. DE CONLUCRARE ψ și RATIOA M_d/M_e PRECOMPRIMARE / EXPLOATARE

ra 5.15, constatindu-se că punctele astfel obținute se aliniază în jurul unei drepte.

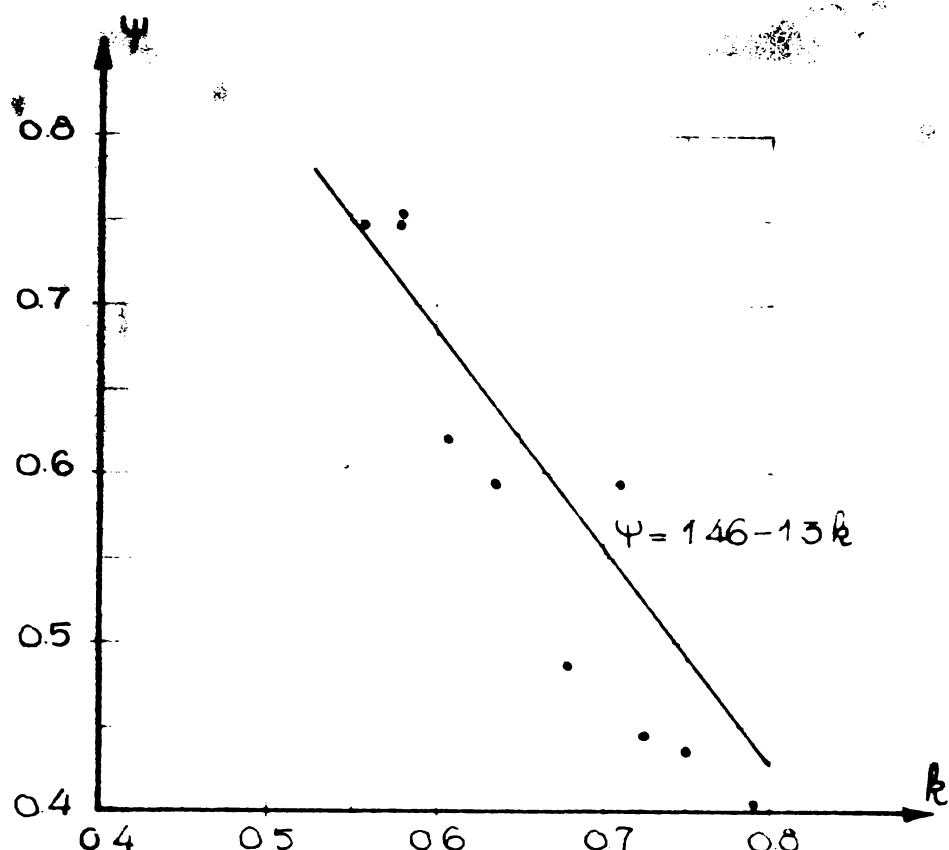


Fig. 5.16. LEGĂTURA DINȚRE ψ și k PENTRU GRINZILE E, F și G LA TREAPTA DE ÎNCĂRCARE $\bar{\alpha}_f = 0,1$ mm

In figura 5.16 se prezintă legătura dintre coeficientul de conlucrare ψ și gradul de precomprimare k pentru grinziile E, F și G pentru treapta de încărcare $\bar{\alpha}_f = 0,1$ mm.

Din rezultatele obținute se poate trage concluzia că între coeficientul de conlucrare ψ și gradul de precomprimare k se poate accepta o legătură de formă relativie (4.16) de la punctul 4.4:

$$\psi = a + bk$$

5.2.4. Ruperea elementelor

La toate elementele experimentale ruperea s-a produs prin zdrobirea betonului comprimat, fără a se produce ruperi ale armăturilor. De asemenea pînă în momentul ruperii nu s-au constatat luncări ale toroanelor. Compararea valorilor teoretice cu cele experimentale este prezentată în tabelul 5.9.

In figura 5.17 este reprezentată influența gradului de precomprimare $\frac{G_{po}}{R_p^N}$ asupra momentului incovoietor experimental de rupere. Se constată, lăsind la o parte împrăștierea rezultatelor că raportul $\frac{G_{po}}{R_p^N}$ nu are o influență sensibilă asupra momentului incovoietor de rupere.

In schimb procentul de armare p are o influență puternică asupra momentului incovoietor experimental de rupere (Fig. 5.18), la un spor al procentului de armare de 100% corespunzînd un spor median de 70% al capacitatei portante.

In figurile 5.19 - 5.20 (plic) se prezintă aspecte ale grinziilor după terminarea încercărilor.

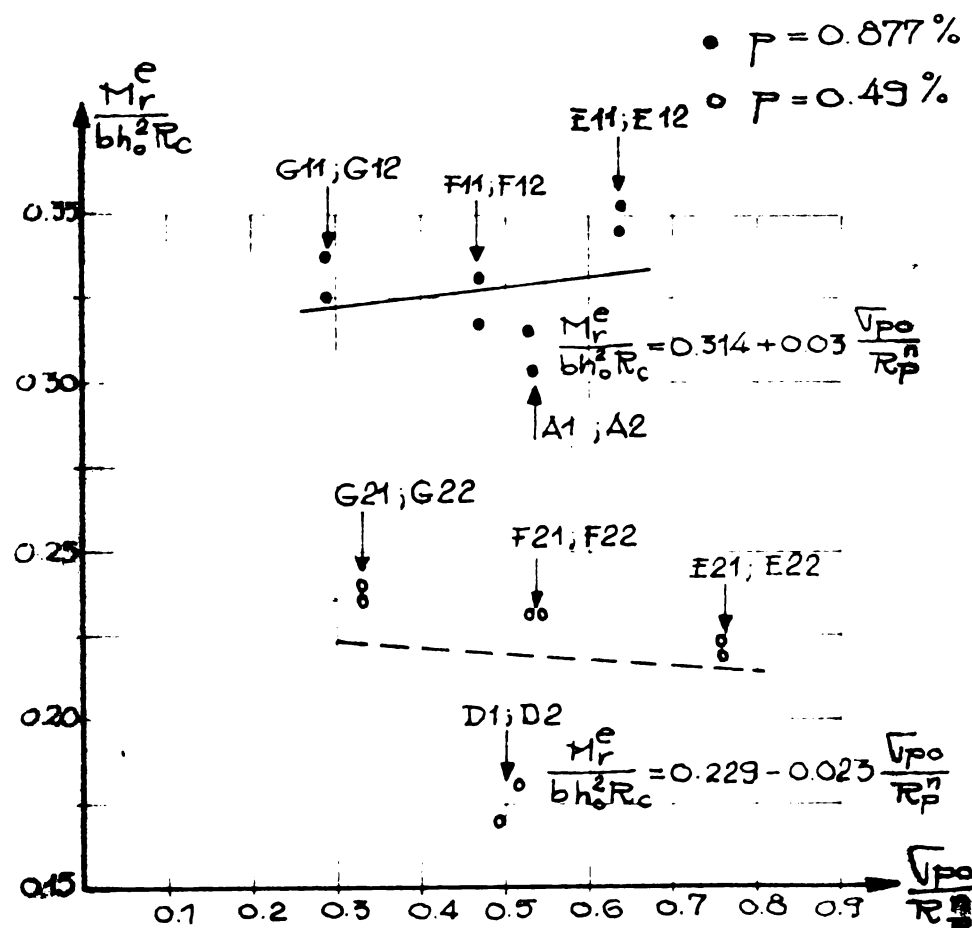


Fig. 5.17. INFLUENȚA GRADULUI DE PRECOMPRIMARE $\frac{V_{p0}}{R_p^n}$ ASUPRA VALORILOR RELATIVE ALE MOMENTELOR ÎNCOVOCĂTOARE EXPERIMENTALE DE RUPERE

tă diagramele de încărcare-săgeată, pentru elementele incercate în etapa II, la mijlocul deschiderii. În cazul elementelor GP 1-2; GP 2-2; GP 3-2 după atingerea încărcării de exploatare s-a trecut în regim de oboseală.

In tabelul 5.10 sunt date treptele de apariție ale fisurilor sub forma raportului $\frac{M_p^e}{M_p}$, indicându-se în acelaș timp valoarea procentului de armare al celor două tipuri de armături precum și gradele de precomprimare propuse și cele realizate. Se constată că procentul de armare nu are o influență deosebită asupra raportului $\frac{M_p^e}{M_p}$.

Treapta de fisurare depinde direct proporțional de gradul de precomprimare (Fig.5.3a), în cazul elementelor compuse influența gradului de precomprimare fiind mai redusă. La o dublare a gradului de precomprimare corespunzând un spor de 35% în cazul secțiunilor compuse, respectiv un spor de 55% în cazul celorlalte secțiuni.

In tabelul 5.11 se prezintă compararea între valorile

5.3. Rezultatele incercărilor experimentale din etapa II

5.3.1. Aparitia fisurilor

Stabilirea treptei la care s-a produs fisurarea s-a făcut pe baza observării directe cu lupa, în paralel cu analiza curbei încărcare-săgeată, atunci cînd prin observarea directă s-a constatat o fisură foarte fină și foarte puțin dezvoltată pe înălțimea elementului.

In figurile 5.21-5.29 se prezintă

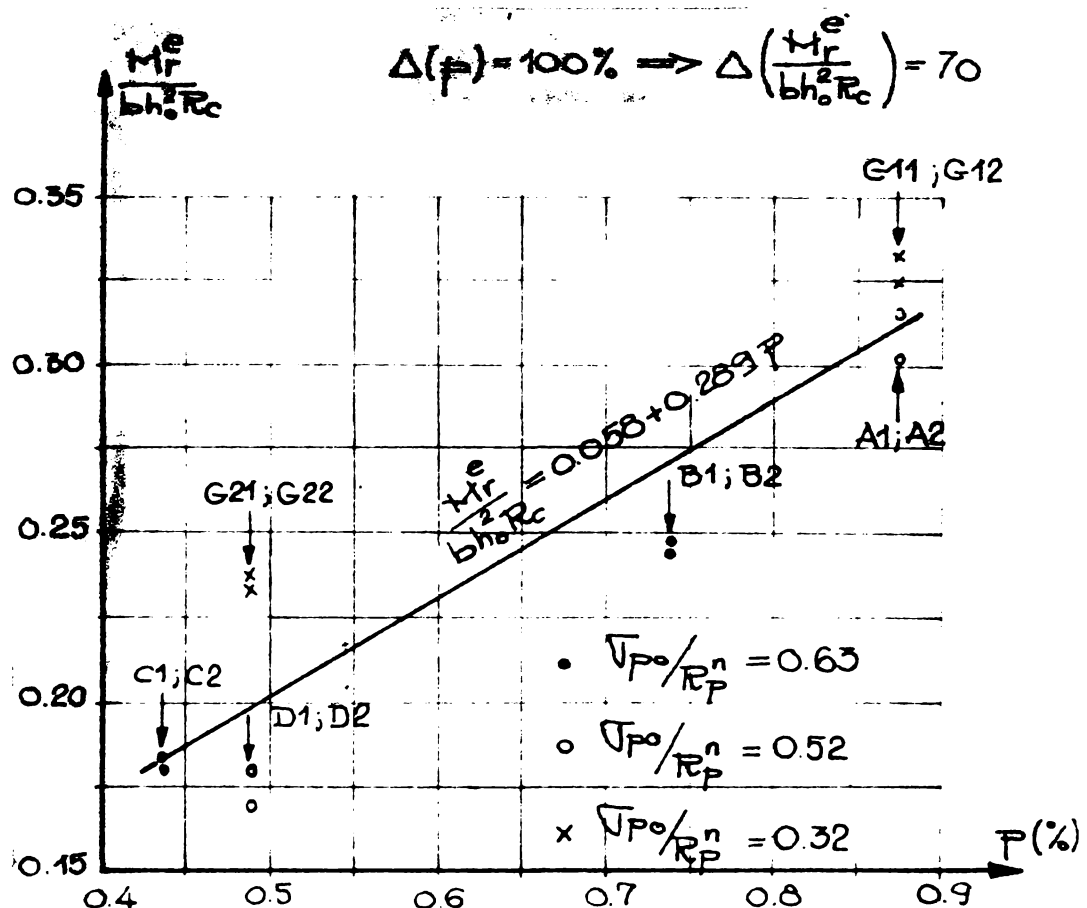


Fig. 5.18. INFLUENTA PROCENTULUI DE ARMARE ASUPRA VALORILOR RELATIVE ALE MOMENTELOR ÎNCOVETOARE EXPERIMENTALE DE TRUPERE

teoretice și cele experimentale ale momentelor încovetoare de fisurare. Ca și în cazul elementelor din etapa I se constată că valoarea teoretică a momentului încovetor de fisurare este mai mare decât valoarea experimentală.

Îlucind media raportului $\frac{M_r}{bh_0^2 R_c}$ pentru elementele din etapa I împreună cu elementele GP 4...GP 6 rezultă valoarea

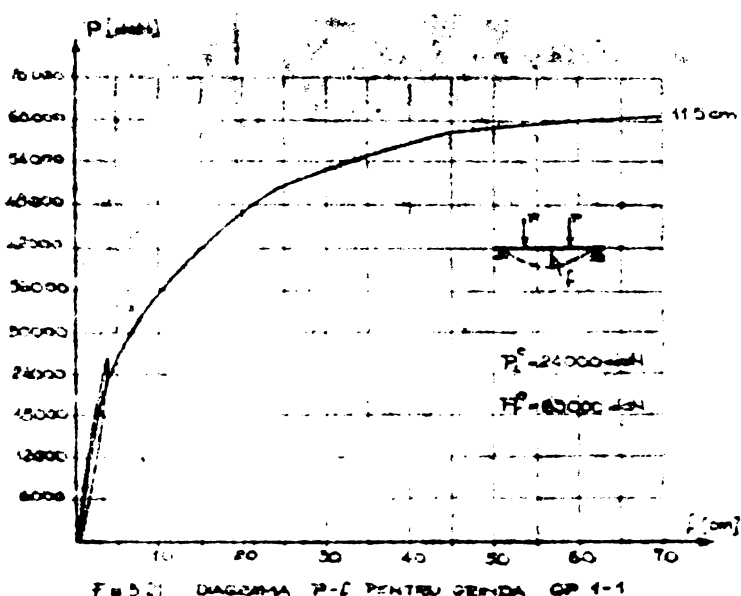
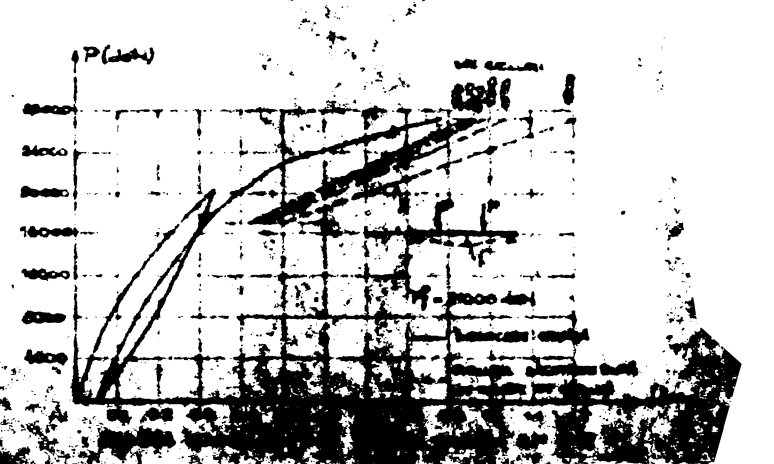
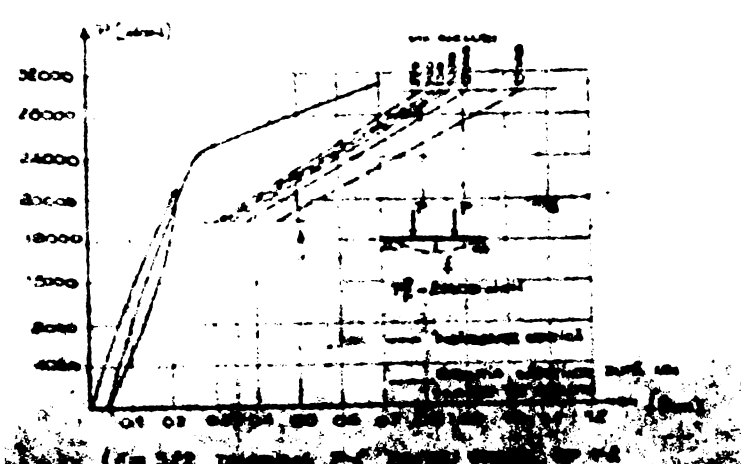
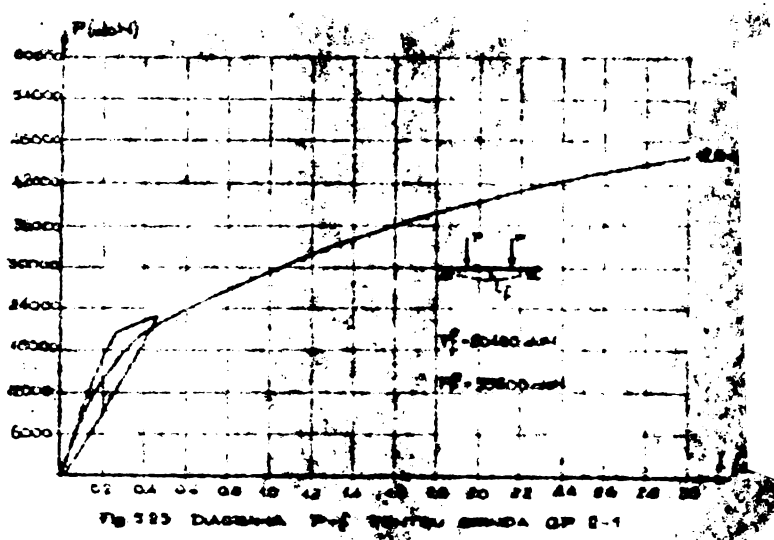
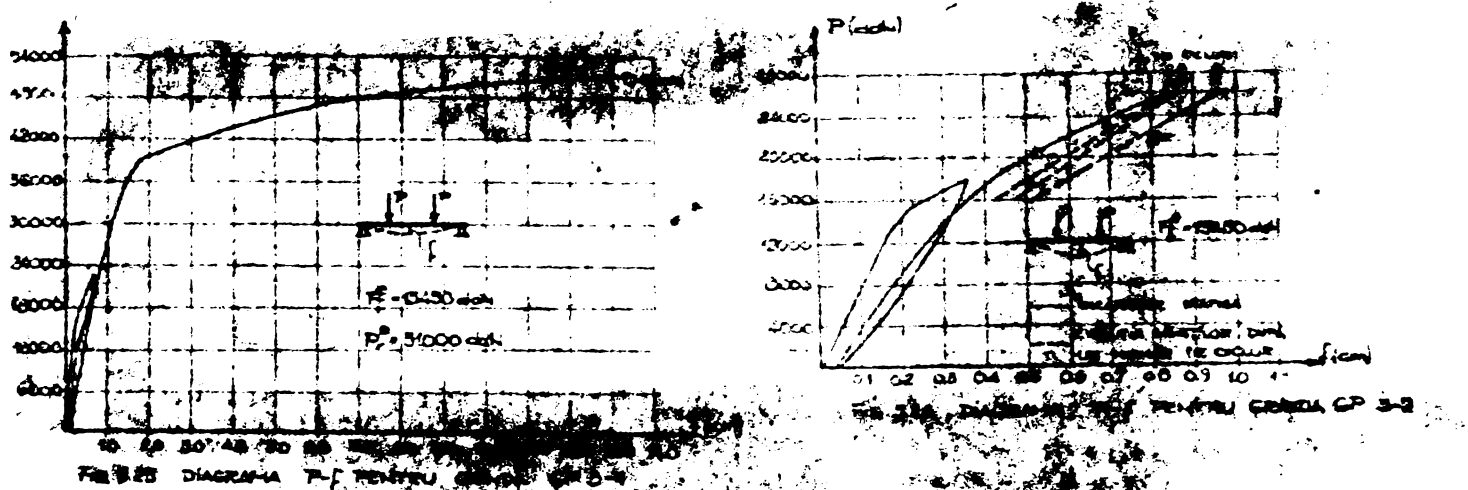


Fig. 5.21. DIAGRAMA P-f PENTRU SECTIA GP 1-1





Tabelul 5.9

Compararea valorilor teoretice ale momentului inco-
voietor de rupere cu cele experimentale (etapa I)

| Element | $\frac{P}{(kN)} (%)$ | $\frac{M_p^e}{R_p^e}$ | M_r^e (tm) | L_r^t (tm) | $\frac{L_r^e}{L_r^t}$ | $\frac{M_r^e}{bh_0^2 R_c}$ |
|---------|----------------------|-----------------------|-----------------|-----------------|-----------------------|----------------------------|
| A1 | 0,877 | 0,528 | 10,8 | 7,4 | 1,46 | 0,315 |
| A2 | 0,877 | 0,535 | 10,4 | 7,4 | 1,41 | 0,303 |
| A3 | 0,877 | 0,510 | 7,75 | 6,5 | 1,19 | 0,234 |
| A4 | 0,877 | 0,510 | 6,25 | 6,5 | 0,96 | 0,189 |
| B1 | 0,74 | 0,615 | 8,8 | 6,54 | 1,32 | 0,249 |
| B2 | 0,74 | 0,620 | 8,8 | 6,54 | 1,32 | 0,249 |
| B3 | 0,74 | 0,615 | 7,3 | 5,26 | 1,39 | 0,203 |
| B4 | 0,74 | 0,615 | 7,3 | 5,26 | 1,39 | 0,209 |
| C1 | 0,438 | 0,650 | 5,9 | 3,97 | 1,49 | 0,182 |
| C2 | 0,438 | 0,650 | 5,9 | 3,97 | 1,49 | 0,182 |
| C3 | 0,438 | 0,545 | 6,4 | 5,05 | 1,58 | 0,176 |
| C4 | 0,438 | 0,545 | 6,07 | 5,05 | 1,51 | 0,167 |
| D1 | 0,49 | 0,495 | 6,07 | 4,67 | 1,30 | 0,170 |
| D2 | 0,49 | 0,515 | 6,4 | 4,67 | 1,37 | 0,180 |
| D3 | 0,49 | 0,495 | 5,9 | 5,12 | 1,43 | 0,172 |
| D4 | 0,49 | 0,495 | 5,9 | 5,15 | 1,43 | 0,172 |
| E11 | 0,877 | 0,639 | 11,05 | 8,24 | 1,53 | 0,353 |
| E12 | 0,877 | 0,644 | 10,8 | 8,24 | 1,49 | 0,345 |
| E21 | 0,49 | 0,758 | 7,1 | 5,62 | 1,53 | 0,221 |
| E22 | 0,49 | 0,76 | 7,1 | 5,62 | 1,35 | 0,221 |
| F11 | 0,877 | 0,475 | 11,3 | 7,27 | 1,55 | 0,332 |
| F12 | 0,877 | 0,470 | 10,8 | 7,27 | 1,48 | 0,317 |
| F21 | 0,49 | 0,528 | 7,1 | 5,60 | 1,54 | 0,233 |
| F22 | 0,49 | 0,542 | 7,1 | 5,60 | 1,54 | 0,233 |
| G11 | 0,877 | 0,290 | 11,5 | 7,32 | 1,57 | 0,337 |
| G12 | 0,877 | 0,291 | 11,1 | 7,32 | 1,51 | 0,324 |
| G21 | 0,49 | 0,330 | 6,89 | 4,60 | 1,50 | 0,238 |
| G22 | 0,49 | 0,328 | 6,91 | 4,60 | 1,50 | 0,238 |

0,772. Pentru elementele compuse GP 1-1...GP 3-2 această medie rezultă 0,852. Această diferență se datorează faptului că momentul incovoietor de fisură s-a calculat cu ipoteza simplificatoare că $W_p = \gamma W_0$, în timp ce la elementele compuse s-a calculat cu procesul exact. Valoarea medie a raportului M_p^e / M_p^t pentru elementele

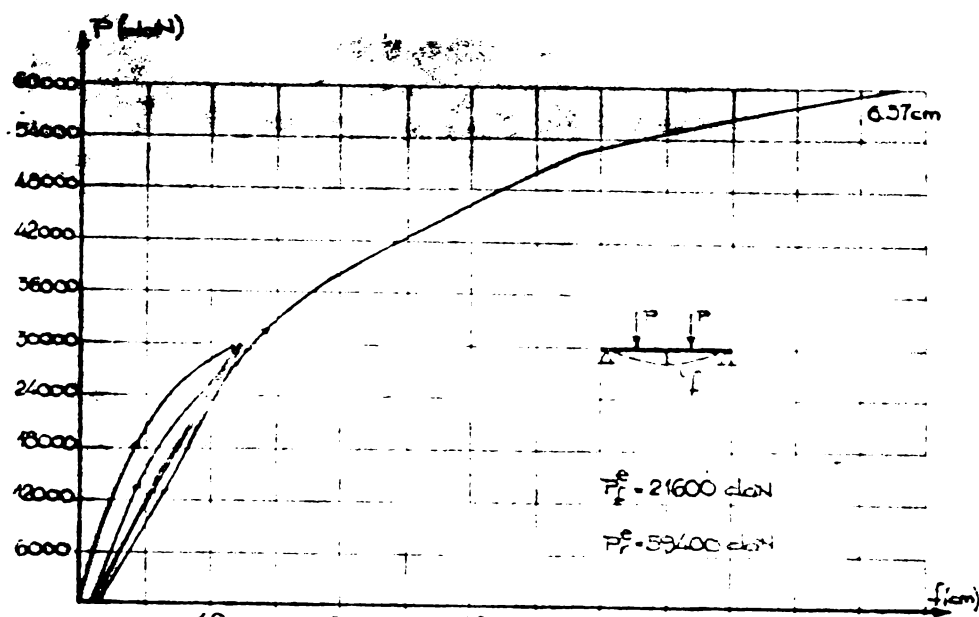


Fig. 5.27 DIAGRAMA $P-f$ PENTRU GRINDA GP-4

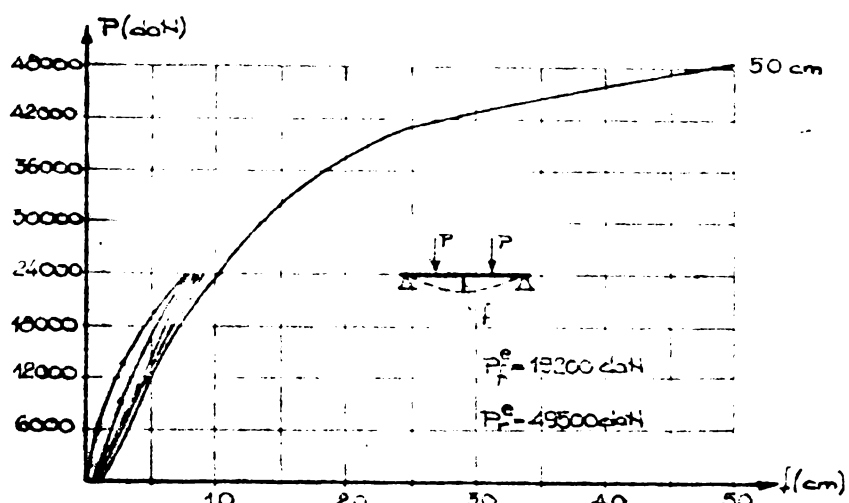


Fig. 5.28 DIAGRAMA $P-f$ PENTRU GRINDA GP-5

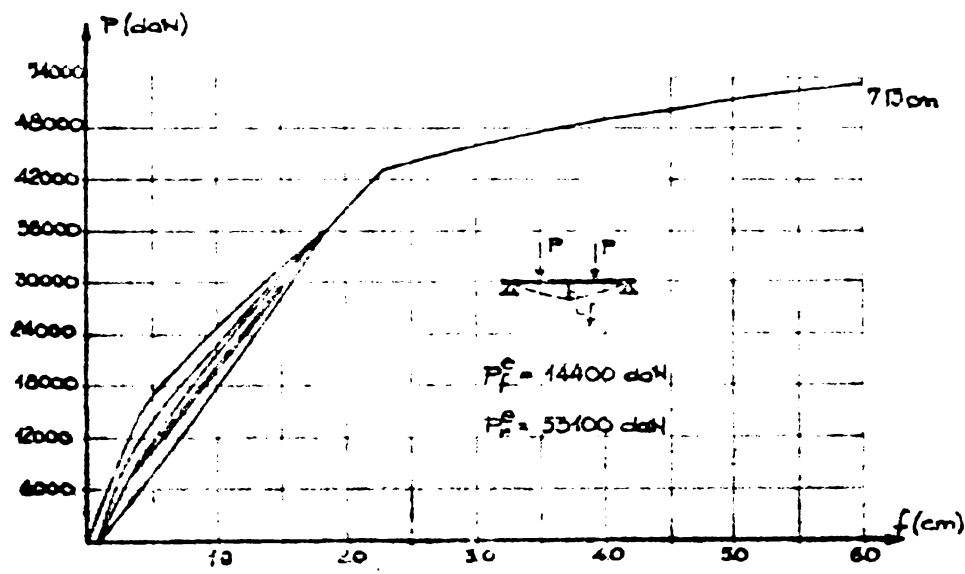


Fig. 5.29 DIAGRAMA $P-f$ PENTRU GRINDA GP-6

compuse se apropiie de valoarea medie 0,849 în cazul utilizării relației 3.45, prevăzută de normele sovietice și CAER, unde pentru determinarea modulului de rezistență la fisurare este prevăzut un calcul exact.

5.3.2. Comportarea în exploatare

Treapta de exploatare a fost dedusă din valoarea teoretică a forței de rupere prin împărțire la coeficientul de siguranță $c=1,8$. În tabelul 5.12 se prezintă valoarea treptei de exploatare, a forței de rupere și coeficientul de siguranță realizat. Se constată că la toate elementele treapta de exploatare a reprezentat, în mod practic, aceeași fracțiune din valoarea forței experimentale de rupere.

Având în vedere faptul că distanța dintre fisuri depinde și de modul de disperare al

armăturilor complementare verificarea normalității distanței s-a făcut pentru cele două variante de disperare a armăturilor precum și pentru ansamblul valorilor (Fig.5.31). Au fost eliminate

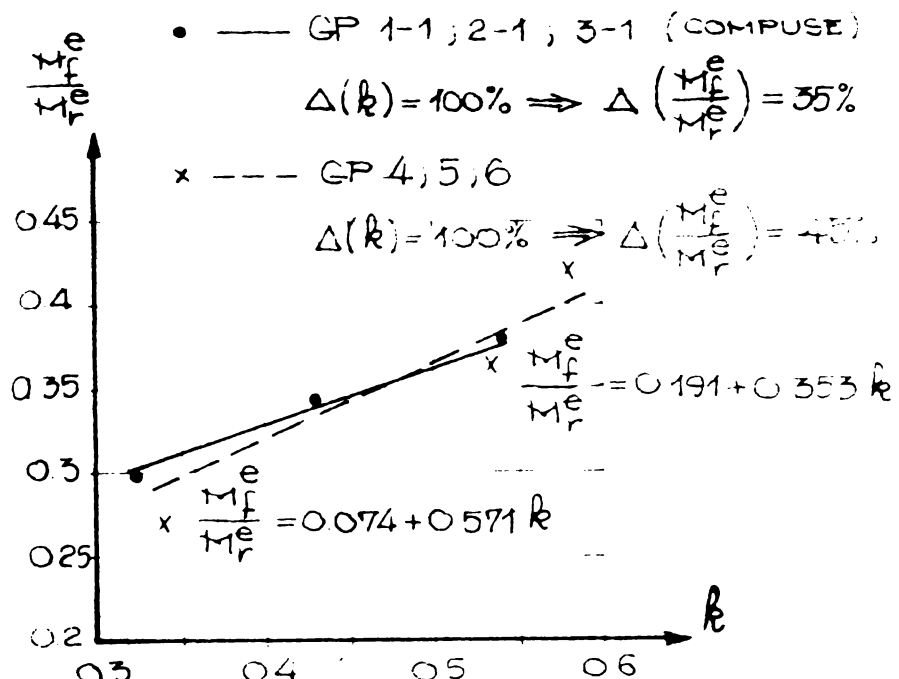


Fig. 5.30. INFLUENTA GRADULUI DE PRE-COMPRIMARE k ASUPRA RAPORTULUI $\frac{M_f^e}{M_r^e}$

Tabelul 5.10

Treptele de apariție ale fisurilor la elementele din etapa II

| Element | A_p | A_a | Grad de precomprimare teoretic | $\frac{M_f^e}{M_r^e}$ |
|---------|-------|-------|--------------------------------|-----------------------|
| | | | experimental | $\frac{M_f^e}{M_r^e}$ |
| GP 1-1 | 0,34 | 0,23 | 0,6 | 0,539 |
| GP1-2 | 0,34 | 0,23 | 0,6 | 0,435 |
| GP2-1 | 0,26 | 0,33 | 0,47 | 0,433 |
| GP2-2 | 0,26 | 0,33 | 0,47 | 0,470 |
| GP3-1 | 0,17 | 0,59 | 0,28 | 0,318 |
| GP3-2 | 0,17 | 0,59 | 0,28 | 0,258 |
| GP 4 | 0,77 | 0,34 | 0,56 | 0,540 |
| GP 5 | 0,62 | 0,56 | 0,48 | 0,580 |
| GP 6 | 0,46 | 1,08 | 0,33 | 0,340 |
| | | | | 0,271 |

valorile extreme.

Principalele caracteristici ale distribuției normale sunt prezentate în tabelul 5.13.

In tabelul 5.13 se prezintă de asemenea valorile medii ale distanțelor dintre fisuri pentru elementele din etapa II. Din compararea valorilor medii se constată că dispunerea intercalată a armăturii complementare cu armătura pretensionată duce la reducerea distanței dintre fisuri. Dispunerea intercalată a cca 20% din armătura complementară a condus la o reducere medie a distanței dintre fisuri cu cca 30...40%.

Gradul de precomprimare k are o influență nesemnificativă asupra valorii

medii a distanței dintre fisuri (Fig.5.32), în timp ce raportul $\sum \mu/d$ are o influență sensibilă asupra distanței dintre fisuri (Fig.5.33). Reducerea distanței dintre fisuri la elementele cu armătură intercalată se datorează faptului că $\sum \frac{P}{d}$ este mai mare decât la celelalte elemente. Mărimea valorii $\sum \frac{P}{d}$ se datorează faptului că diametrul armăturii intercalate este mai mic decât al armăturii inferioare, precum și reducerii înălțimii utile ce determină sporirea procentului de armare.

Tabelul 5.11
Compararea valorilor teoretice ale elemen-
telor incovoiatoare de fisurare cu cele
experimentale

| Ele- ment | M_p^e (tm) | M_p^t (tm) | L_p^e $\frac{L_p^t}{M_p^t}$ |
|--------------|-----------------|-----------------|----------------------------------|
| GP 1-1 | 42,0 | 49,72 | 0,845 |
| GP 1-2 | 36,75 | 49,83 | 0,737 |
| GP 2-1 | 35,70 | 42,38 | 0,844 |
| GP 2-2 | 36,80 | 40,96 | 0,900 |
| GP 3-1 | 27,05 | 28,74 | 0,894 |
| GP 3-2 | 27,05 | 30,28 | 0,893 |
| GP 4 | 37,80 | 45,18 | 0,835 |
| GP 5 | 33,65 | 37,34 | 0,905 |
| GP 6 | 25,20 | 31,43 | 0,797 |
| Medie | | | 0,850 |

Tabelul 5.12
Valoarea realizată a coeficientului
de siguranță

| Element | GP 1-1 | GP 2-1 | GP 3-1 | GP 4 | GP 5 | GP 6 |
|------------|--------|--------|--------|------|------|------|
| $P_e(t)$ | 31,5 | 26,9 | 26,9 | 29,4 | 24,0 | 25,2 |
| $P_e^r(t)$ | 63,0 | 55,6 | 51,0 | 59,4 | 45,6 | 53,1 |
| c_r | 2,0 | 2,03 | 1,9 | 2,01 | 1,91 | 2,1 |

Tabelul 5.13
Distanța dintre fisuri la elementele
din etapa II

| Element | Mod de dispu- nere armă- tură | λ_p (cm) | Caracteristicile dis- tribuției normale λ_p | |
|-------------------------------|---|---------------------|--|----------------------------|
| | medie | max. | media abate- rea standard | coef. varia- ție (%) |
| GP 1-1 | | 14,5 | 30,0 | |
| GP 1-2 | | 15,5 | 23,5 | |
| GP 2-1 | Neinter- calat | 13,9 | 25,0 | |
| GP 2-2 | calat | 12,8 | 24,0 | 12,5 |
| GP 3-1 | | 13,4 | 27,0 | |
| GP 3-2 | | 13,8 | 17,5 | |
| GP 4 | | 10,05 | 15,0 | |
| GP 5 | Intercalat | 10,65 | 19,7 | 10,23 3,88 37,9 |
| GP 6 | | 9,70 | 14,0 | |
| Ansamblul elem. experimentale | | 13,32 | 5,94 | 44,58 |

dintre fisuri. Dispunerea intercalată a cca 20% din armătura complementară a condus la o reducere a deschiderii fisurilor cu cca 10..20%.

Gradul de precomprimare k are o influență semnificativă asupra deschiderii fisurilor, aşa cum se poate constata din figura 5.35.

Valorile deschiderii fisurilor formează o mulțime cu distribuție normală (Fig.5.34) ale cărei caracteristici principale sunt prezентate în tabelul 5.14.

In același tabel se prezintă valorile medii ale deschiderii fisurilor pentru elementele experimentale din etapa II, precum și caracteristicile distribuției

normale pentru cele două grupe de elemente.

Din comparația valorilor medii se constată că dispunerea intercalată a armăturilor complementare cu armătura pre-tensionată duce la reducerea deschiderii fisurilor, ca o consecință directă a reducării distanței

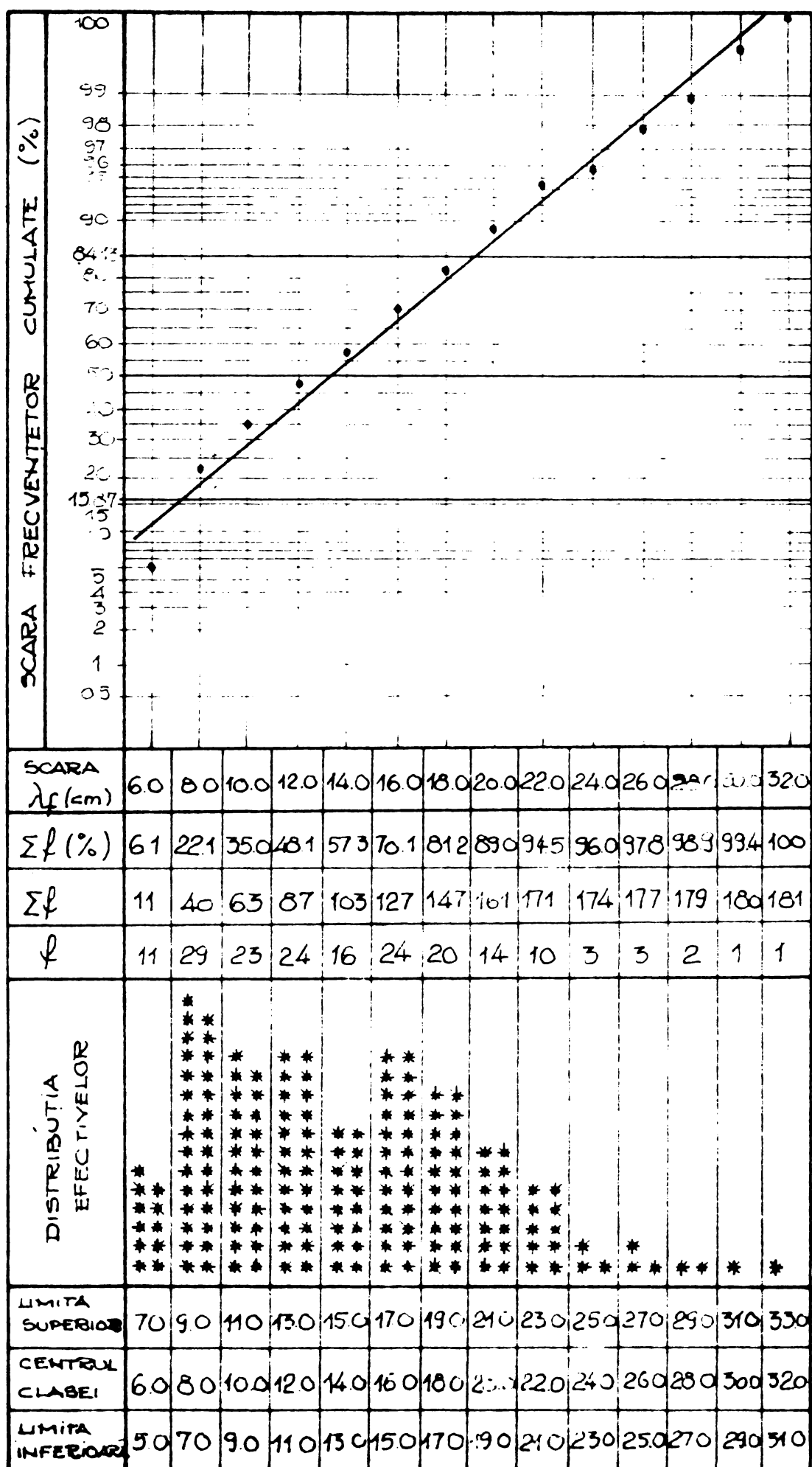


Fig. 5.31. VERIFICAREA NORMALITĂȚII DISTRIBUȚIEI DISTANȚEI DINTRE FISURI λ_f

Pe baza valorilor măsurate pentru distanța dintre fisuri λ_f și pentru deschiderea fisurilor α_f și pe baza variației efortului unitar în armătura pretenzionată ΔG_p s-a calculat coeficientul de conlucrare ψ (Tabelul 5.33-plex). Reprezentarea acestor valori în funcție de gradul de precomprimare k (Fig. 5.36) conduce la concluzia că între ψ și k există o legătură liniară, deși există o oarecare împrengtire a rezultatelor.

După cum s-a arătat la punctul 4.3.2 în Instrucțiunile tehnice pentru elementele din beton precomprimat parțial /116/

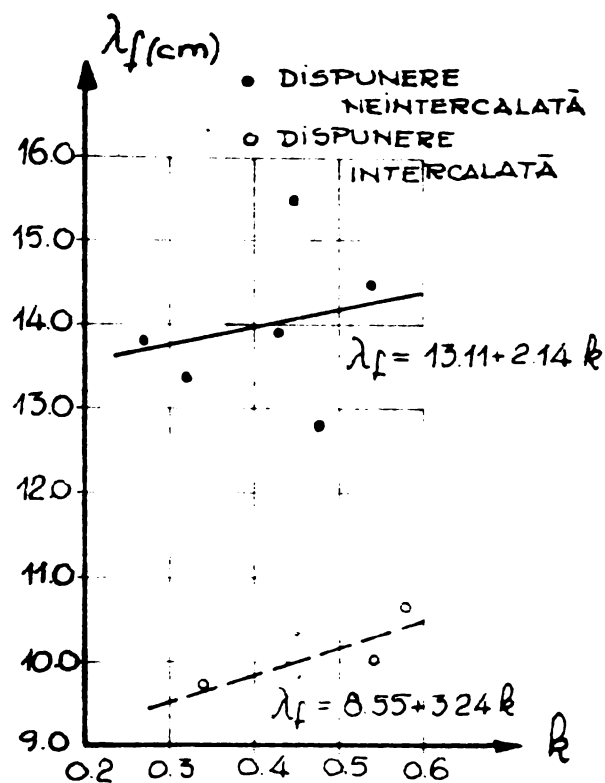


Fig. 5.32 LEGĂTURA DINTRE λ_f SI GRADUL DE PRECOMPRIMARE k (ETAPA II)

verificarea închiderii fisurilor se înlocuiește prin limitarea valorii medii a deschiderii fisurilor la 0,03 mm. Se recomandă ca valoarea maximă a deschiderii fisurilor să fie 0,05 mm.

Elementele GP 4...GP 6 au fost supuse la încărcări-descărcări repetitive pentru a urmări efectul acestora asupra evoluției fisurilor. Prin îndesirea treptelor de încărcare P_1 și P_2 , definite în figura 5.7 (Tabelul 5.15). Deși căutarea acestor valori s-a făcut prin îndesirea treptelor nu s-au putut depista în mod precis valorile prevăzute ale deschiderilor de fisuri, ci valori apropiate. Asupra acestor valori s-a urmărit efectul încărcări-descărcărilor repetitive.

Evoluția deschiderii fisurilor după aplicarea repetată a încărcărilor este prezentată în tabelul 5.16.

In privința evoluției valorii medii a fisurilor după cele cinci încărcări-descărcări se constată un spor de 5% în cazul grinzelii GP 4, respectiv un spor de 11,8% în cazul grinzelii GP5. Deschiderile maxime ale fisurilor nu au suferit modificări. Reducerea valorilor α_f med și α_f max,

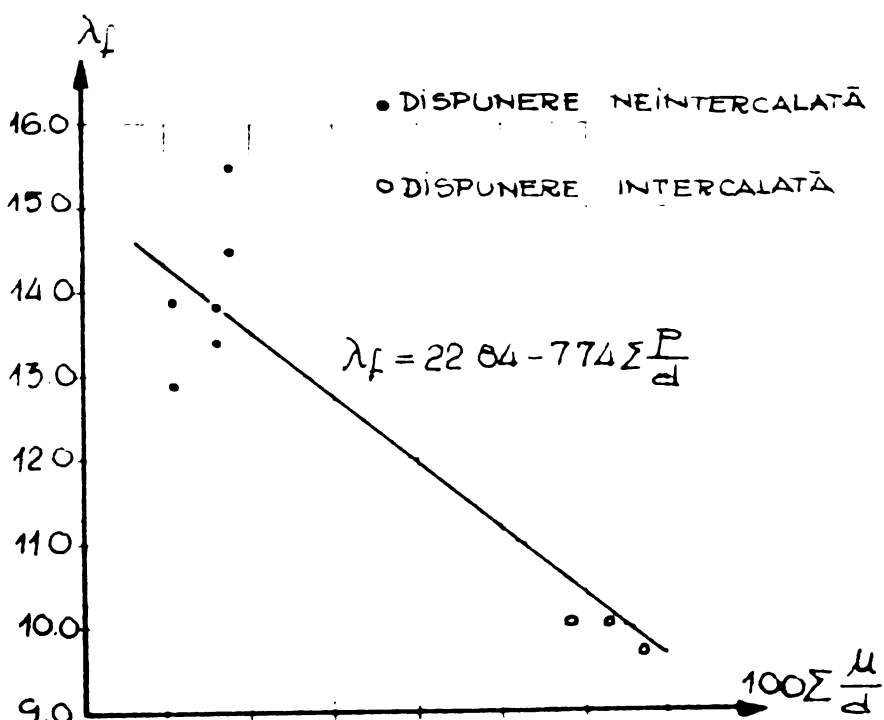


Fig. 5.33 LEGĂTURA DINTRE λ_f SI $\sum \mu_d$

în cazul grinzelii GP 6 se datorează apariției cîtorva fisuri în timpul repetării încărcării, reducindu-se în acest fel distanța dintre fisuri.

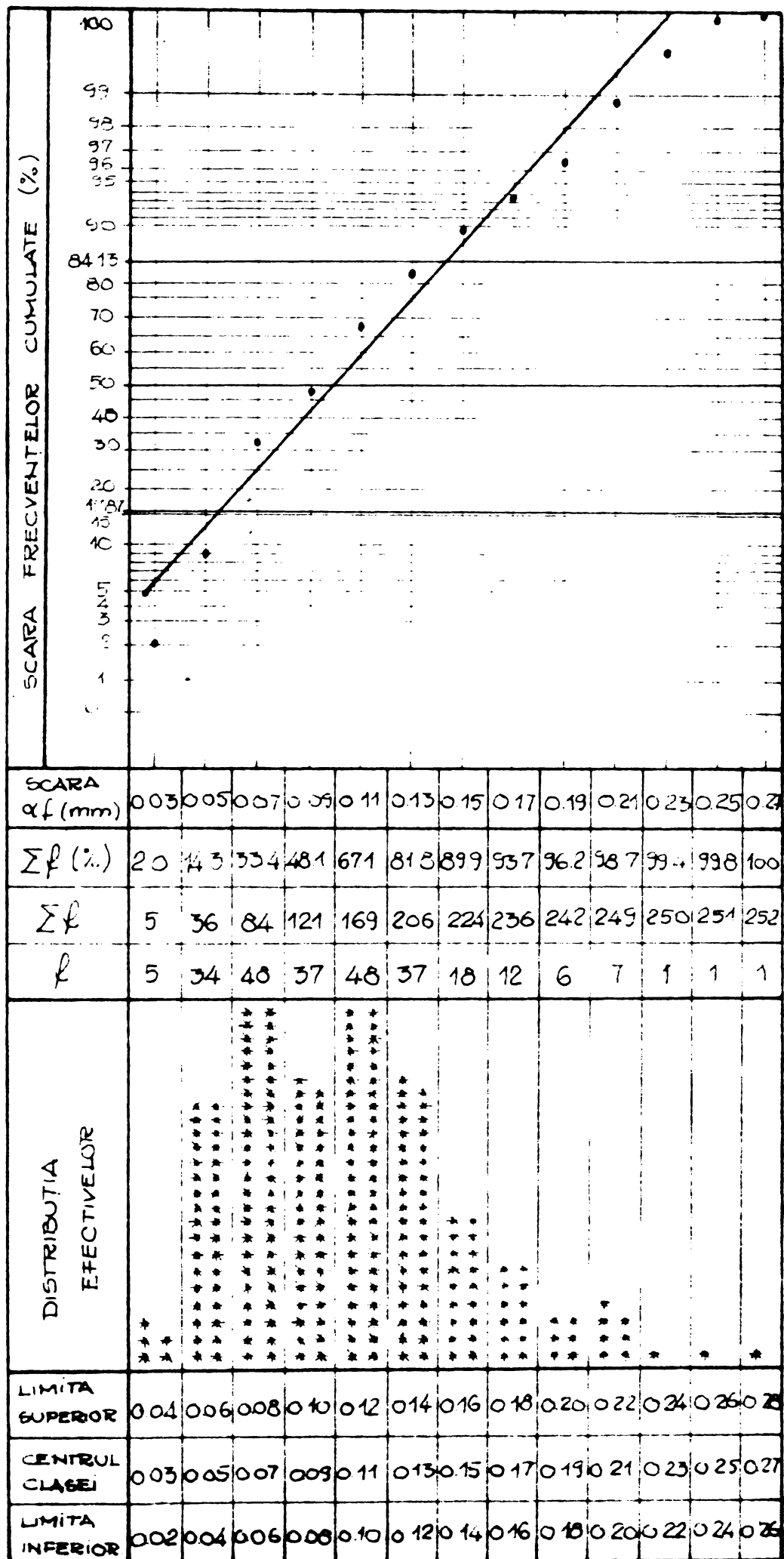


Fig. 5.34. VERIFICAREA NORMALITĂȚII DISTRIBUȚIEI DESCHIDERII FISURILOR α_f

In privința deschiderii remanente a fisurilor la treapta de încărcare P_1 , după descărcare de la treapta de suprasarcina P_2 , se constată la grinzile GP 4 și GP 5 rămăși la valorile

α_f med și α_f max după cele cinci cicluri de încărcare-descărcare.

La grinda GP 6

α_f med și α_f max au crescut cu 11,6%, dar oricum α_f med și α_f max au rămas sub valoarile 0,03 mm. respectiv 0,05 mm.

Deschiderile remanente ale fisurilor la treapta de încărcare P_3 , după descărcarea de la P_2 , sunt mai mari/mici decit valorile de la treapta P_1 , după cum P_2 este mai mare/mic decit P_1 . In urma descărcării repetitive de la P_2 la P_3 , la această treap-

Deschiderea fisurilor la elementele din etapa II

| Element | Mod de dispunere armătură | α_f (mm) | Caracteristicile distribuției normale α_f | | |
|--|---------------------------|--------------------|--|-----------------------|--------------------|
| | | | media max. | abatere standard (mm) | coef. variatie (%) |
| GP 1-1 | | 0,11 | 0,17 | | |
| GP 1-2 | | 0,13 | 0,27 | | |
| GP 2-1 | | 0,10 | 0,2 | | |
| GP 2-2 | Neintercalat | 0,09 | 0,19 | 0,113 | 0,048 42,10 |
| GP 3-1 | | 0,12 | 0,17 | | |
| GP 3-2 | | 0,12 | 0,20 | | |
| GP 4 | | 0,095 | 0,14 | | |
| GP 5 | Intercalat | 0,062 | 0,08 | 0,074 | 0,023 31,54 |
| GP 6 | | 0,065 | 0,10 | | |
| Ansamblul elementelor experimentale | | | | 0,098 | 0,044 45,09 |

Tabelul 5.15

| Element | Valorile trapezelor de încărcare-descărcare | | | | | |
|---------|---|--------------|--------------|--------------|-------------------|-------------------|
| | P_1 (t) | P_2 (t) | P_3 (t) | P_e (t) | $\frac{P_1}{P_e}$ | $\frac{P_2}{P_e}$ |
| GP 4 | 18,9 | 30,9 | 20,6 | 29,4 | 0,65 | 1,05 |
| GP 5 | 19,2 | 31,2 | 16,8 | 24,0 | 0,8 | 1,27 |
| GP 6 | 14,4 | 36,0 | 17,4 | 25,2 | 0,57 | 1,43 |

tă de încărcare nu au survenit modificări importante.

In privința valorilor α_f medii și α_f max la trupa de suprăîncărcare P_2 acestea sunt mai mici sau cu ceva mai mari (α_f med cu maximum 7%, α_f max cu maximum 11,3%), decât 0,1 mm, respectiv 0,15 mm. Aceste valori corespund ca limite ale deschiderii fisurilor pentru valoarea medie respectiv pentru valoarea maximă la nivelul de încărcare corespondator trapezei de exploatare P_e .

Se poate aprecia

aprecia că sub efectul încărcărilor-descărcările repetate modificările survenite nu vor putea afecta siguranța elementelor.

In figurile 5.37 - 5.45 (placă) se prezintă aspecte ale elementelor experimentale sub încărcarea de exploatare. Se constată că în cazul dispunerii intercalate a armăturilor (GP 4...GP 6) distanța dintre fisuri, pe zona de moment încovoietor constant, este mai mică decât în cazul dispunerii neintercalate a armăturilor (GP 1-1...GP 3-2).

In figura 5.46 se prezintă evoluția deschiderii medii și maxime a fisurilor pentru grinzile supuse la obosale (GP 1-2....GP 3-2), pentru care coeficientul de asimetrie a fost 0,6. Se constată că pînă la 66% din numărul total de cicluri deschiderea medie și maximă a fisurilor a manifestat o tendință de stabilizare, după care deschiderea fisurilor a început să crească substanțial, lucru care

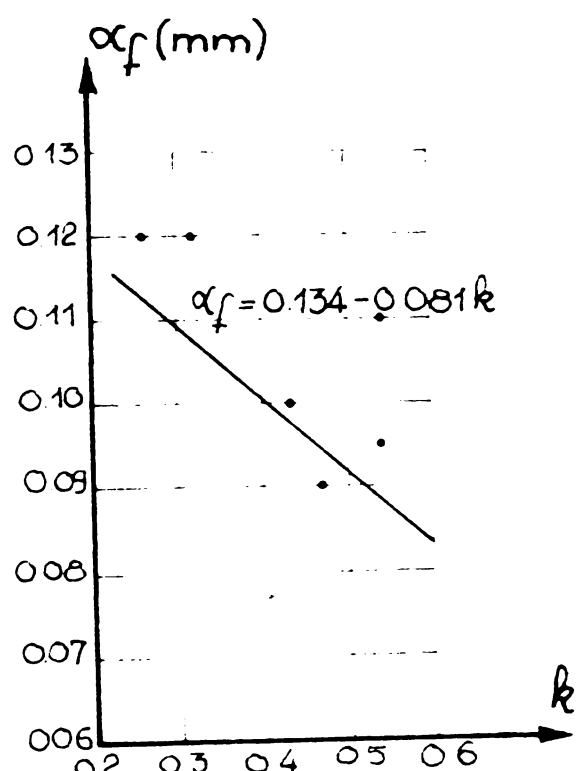


Fig. 5.35. INFLUENTA GRADULUI DE PRECOMPRIMARE ASUPRA MĂRIMII DESCHEIDERII FISURILOR

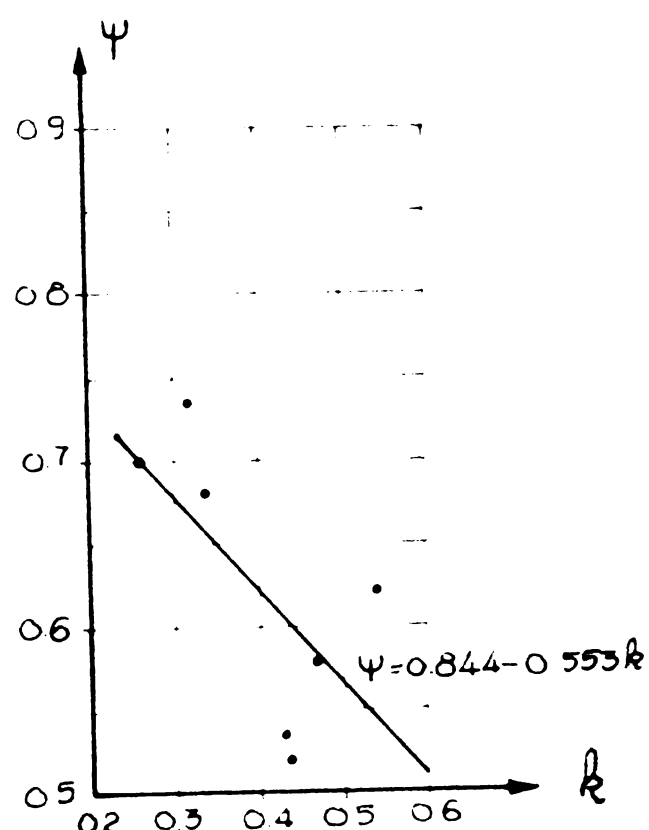


Fig. 5.36. LEGATURA INTRE COEFICIENTUL DE CONFINARE ψ SI GRADUL DE PRECOMPRIMARE k (ETAPA II)

se constată mai ales în cazul deschiderii maxime a fisurilor.

5.3.3. Ruperea elementelor

In toate cazurile elementelor încărcate static ruperea s-a produs prin zdrobirea betonului comprimat.

Compararea valorilor teoretice cu cele experimentale este prezentată în tabelul 5.17. La grinziile GP 4....GP 6 s-a constatat o rupere cu un caracter casant mai pronunțat decât la grinziile GP 1-1....GP 3-1. Acest lucru s-a datorat faptului că la grinziile GP 1-1GP 3-1 în zona comprimată betonul a fost de o calitate mai redusă (beton armat). Ruperea mai casantă a elementelor GP 4.... GP 6 este reflectată și în valoarea relativă a săgeții din momentul ruperii (Tabelul 5.17).

Procentul de armare al armăturii pretensionate are o influență puternică asupra momentului incovoiector de rupere, la un spor de 100% al procentului de armare corespunzând un spor de circa 70% al capacitatei portante (Fig.5.47). Același spor a fost constatat și în cazul elementelor experimentale din etapa I.

Gradul de precomprimare k nu este corelat cu momentul incovoiector de rupere deoarece k se referă la stadiul de exploatare.

La elementele compuse GP 1-1, GP 2-1, GP 3-1 nu s-au constatat lumenări între cele două tipuri de beton, pe toată

Tabelul 5.16

Descinderile medii și maxime și σ_{med} / α_1 max ale fisurilor sub efectuă
în cinci rupțe - deschiderilelor repetate

| Ele- ment | Incarcare - la interval $P_1 - P_e$ | | Deschiderea fisurilor la treapta de incarcare P_1 | |
|--------------|--|------------|---|------------------------|
| | Intrare deschidere fisurilor finalizate ciclurilor | (mm) | Intrare de incarcă- rea la P_2 | deschidere la P_2 |
| QP 4 | 0,037/0,06 | 0,039/0,06 | 0,035/0,05 | 0,033/0,05 |
| QP 5 | 0,032/0,05 | 0,038/0,05 | 0,0345/0,05 | 0,035/0,045 |
| QP 6 | 0,021/0,05 | 0,019/0,03 | 0,018/0,03 | 0,017/0,03 |

135 -

| Ele- ment | Deschiderea fisurilor la P_3 | | Deschiderea fisurilor la P_2 (continuare) | |
|--------------|--------------------------------------|-------------------------------------|---|------------------------------------|
| | deschidere la prima deschidere | deschidere la doua deschidere | la a doua fisurare | la ultima fisurare de rupere |
| QP 4 | 0,043/0,07 | 0,05/0,07 | 0,097/0,15 | 0,033/0,16 |
| QP 5 | 0,0335/0,05 | 0,0345/0,05 | 0,091/0,13 | 0,09/0,12 |
| QP 6 | 0,067/0,09 | 0,068/0,09 | 0,092/0,16 | 0,085/0,12 |

| Ele- ment | Deschiderea fisurilor la P_3 | | Deschiderea fisurilor la P_2 (continuare) | |
|--------------|--------------------------------------|-------------------------------------|---|------------------------------------|
| | deschidere la prima deschidere | deschidere la doua deschidere | la a doua fisurare | la ultima fisurare de rupere |
| QP 4 | 0,043/0,07 | 0,05/0,07 | 0,097/0,15 | 0,033/0,16 |
| QP 5 | 0,0335/0,05 | 0,0345/0,05 | 0,091/0,13 | 0,09/0,12 |
| QP 6 | 0,067/0,09 | 0,068/0,09 | 0,092/0,16 | 0,085/0,12 |

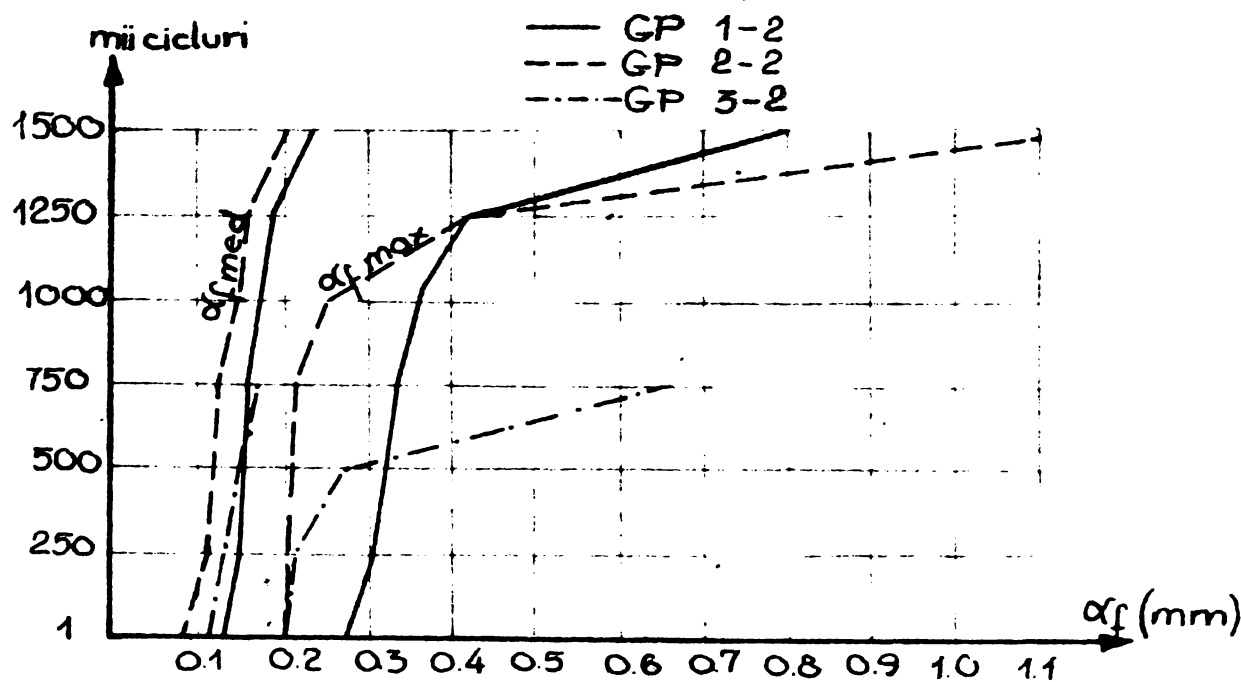


Fig. 5.46. EVOLUTIA DESCHIDERII MEDII SI MAXIME SUB EFECTUL ÎNCĂRCĂRII DE OBOSEALĂ

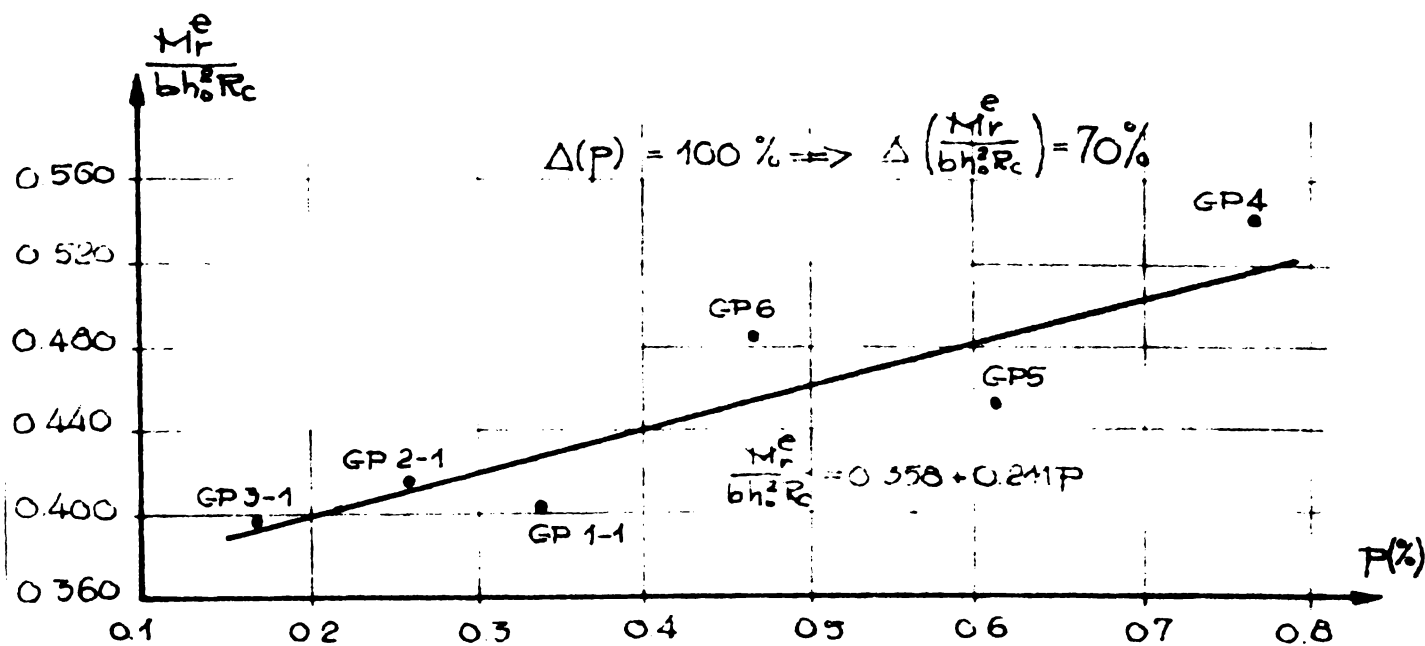


Fig. 5.47 INFLUENTA PROCENTULUI DE ARMARE AL ARMĂTURII PRETENSIONATE ASUPRA VALORII RELATIVE A MOMENTULUI ÎNCOVIOIERII EXPERIMENTAL DE RUPERE

durata încercării.

In figurile 5.48 - 5.53 (plio) se prezintă aspectul grinzilor rupte la încărcări statice, iar în figurile 5.54 - 5.56 (plio) sunt prezentate grinziile GP 1-2, GP 2-2 și GP 3-2 supuse la oboseală la care ruperea s-a produs prin cedarea armăturii.

5.4. Prelucrarea statistică a datelor experimentale

5.4.1. Stabilirea ecuației de regresie prin metoda celor mai mici pătrate.

Eliminarea valorilor extreme

La prelucrarea datelor experimentale există tendință de a se acorda o importanță mai mare valorilor extreme. De multe ori însă valorile extreme se abat de la regula ce domină majoritatea valorilor și în acest caz ele pot erona rezultatele prelucrării, motiv pentru care ele trebuie excluse.

Tabelul 5.17

Compararea valorilor teoretice ale momentelor încovoietoare de rupere cu cele experimentale (etapa II)

| Element | <u>D(%)</u> | | k | $\frac{M_e}{M_r}$ (tm) | $\frac{M_t}{M_r}$ (tm) | $\frac{M_e}{M_t}$ $\frac{M_e}{M_x}$ | $\frac{M_e}{M_r}$ $\frac{M_e}{M_{\text{exp}}}$ | $\frac{f_e}{f_r}$ |
|---------|-------------|-------|-------|---------------------------|---------------------------|--|---|-------------------|
| | A_p | A_a | | | | | | |
| GP 1-1 | 0,34 | 0,23 | 0,539 | 110,5 | 93,96 | 1,13 | 0,403 | 1/46 |
| GP 2-1 | 0,26 | 0,33 | 0,433 | 97,6 | 83,3 | 1,17 | 0,416 | 1/46 |
| GP 3-1 | 0,17 | 0,59 | 0,318 | 88,5 | 73,4 | 1,13 | 0,393 | 1/41 |
| GP 4 | 0,77 | 0,34 | 0,540 | 104,0 | 92,84 | 1,12 | 0,536 | 1/34 |
| GP 5 | 0,62 | 0,56 | 0,580 | 86,6 | 84,3 | 1,02 | 0,454 | 1/107 |
| GP 6 | 0,46 | 1,08 | 0,340 | 93,3 | 82,1 | 1,13 | 0,439 | 1/75 |

Dintre criteriile de eliminare a valorilor extreme se pot aminti cele ale lui Pearson - Hartley, Smirnov-Grubbs, Irwin, etc. În cazul valorilor obținute din măsurători efectuate în domeniul tehnic se apreciază ca cel mai indicat criteriu lui Chauvenet /37/, /35/. Conform acestei metode sunt considerate ca anormale valorile cuprinse în afara intervalului:

$$[x_{\min}, x_{\max}]$$

unde: $x_{\min} = \bar{x} - \sqrt{2} S F_{\text{extr}}$;

$$x_{\max} = \bar{x} + \sqrt{2} S F_{\text{extr}}$$

\bar{x} - media aritmetică a valorilor analizate;

S .. abaterea medie pătratică a valorilor analizate;

F_{extr} - valoare tabelară funcție de numărul de elemente.

Verificarea normalității unei distributii de valori

Pentru a putea stabili o corelație între două siruri de valori este necesar ca acestea să aibă o distribuție normală. Verificarea

expeditivă a normalității unei distribuții se poate face cu rețeaua de probabilitate a lui Henry /28/, /85/, /95/. În figurile 5.31 și 5.34 este prezentată verificare normalității distribuției distanței dintre fisuri, respectiv a distribuției deschiderii fisurilor.

Dacă distribuția are puține valori, de regulă sub 30, se consideră că distribuția este normală atunci cînd:

$$|x_i - \bar{x}| / s \leq t_{1-\alpha, n-1}$$

unde: s este abaterea medie pătratică a sirului x_i ($i = 1, 2, \dots, n$);

$t_{1-\alpha, n-1}$ - valoarea distribuției Student;

α - nivelul de semnificație.

Principalele caracteristici ale unei distribuții normale

In stabilirea coeficientelor ecuației de regresie intervin următoarele caracteristici ale distribuției de valori x_i ($i = 1, 2, \dots, n$):

- media aritmetică: $\bar{x} = \frac{\sum x_i}{n}$

- abaterea medie pătratică: $s = \sqrt{\frac{\sum (x_i - \bar{x})^2}{n-1}}$

Metoda celor mai mici pătrate

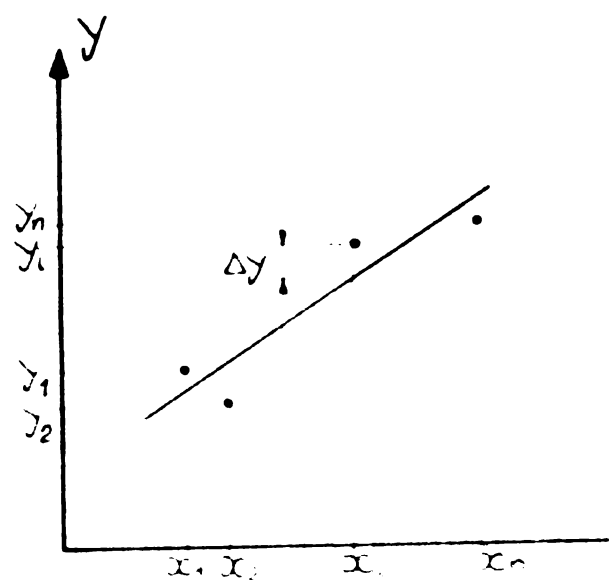
In cazul unei mulțimi bidimensionale, formată din paralele x_i și y_i ($i = 1, 2, \dots, n$), cînd între cele două siruri este acceptată o corelație liniară, acesta se poate exprima prin ecuația:

$$y = a_x + b_x x \quad (5.1)$$

numită și ecuația de regresie a lui y față de x .

Pentru multimea bidimensională se poate stabili și ecuația de regresie a lui x față de y :

$$x = a_y + b_y y \quad (5.1')$$



Coefficientii ecuației de regresie a lui y față de x se stabilesc din condiția că expresia (fig. 5.57):

$$\delta = \sum y^2 = \sum (y - y_i)^2 = \sum (y - a_x - b_x x)^2 \quad (5.2)$$

să aibă un minim, adică:

$$\frac{\partial (y - y_i)^2}{\partial a_x} = 0; \quad (5.3)$$

$$\frac{\partial (y - y_i)^2}{\partial b_x} = 0 \quad (5.4)$$

In urma efectuării derivatelor parțiale rezultă:

$$na_x + b_x \sum x = \sum y; \quad a_x \sum x + b_x \sum x^2 = \sum xy \quad (5.3' - 5.4')$$

Rezolvarea sistemului de ecuații (5.3' - 5.4') conduce la:

$$a_x = \bar{y} - R_x \bar{x}; \quad b_x = R_x$$

unde:

$R_x = r S_y / S_x$ - coeficientul de regresie a lui y față de x ;

$r = p / S_x S_y$ - coeficientul de corelație;

S_x - abaterea medie pătratică a sirului x_i ;

S_y - abaterea medie pătratică a sirului y_i ;

$p = \sum (x_i - \bar{x})(y_i - \bar{y}) / n-1$ - covarianta

In mod similar se obțin coeficienții ecuației de regresie a lui x față de y .

Testul de semnificație al corelației este:

$$t = |r| \sqrt{n-2} / \sqrt{1-r^2} \geq t_{\alpha, n-2} \quad (5.5)$$

unde: $t_{\alpha, n-2}$ se determină din repartiția Student pentru nivelul de semnificație α (în mod curent 1% sau 5%) și pentru $n-2$ (în acest caz n se consideră egal cu numărul total de măsurători efectuate).

Dacă inegalitatea (5.5) este satisfăcută atunci se consideră că există o bună dependență între sirurile x_i și y_i .

5.4.2. Determinarea statistică a coeficientului β_p

După cum s-a arătat la 4.4 faptul de a admite că distanța dintre fisuri este egală cu distanța dintre etrieri, conform /108/ și /109/, constituie o ipoteză îndepărtată de realitate, motiv pentru care se propune relația (4.15) în care coeficientul β_p înlocuiește raportul R_t / τ_{am} .

Coefficientul β_p depinde de procentul de armare, diametrul armăturii și de tipul armăturii, fiind acceptată relația:

$$\beta_p = a + b \mu/d$$

Expresiile coeficientului β_p pentru armături din etal CB 37, PC 52, și PC 60 sunt prevăzute în STAS 10107/o-76 /108/, iar pentru toroane expresia coeficientului β_p a fost dedusă în cadrul Catedrei de Beton armat și clădiri (pct.4.3)

Toate aceste expresii sunt deduse în ipoteza că în secțiune se găsește un singur tip de armătură, ori în prezent tendința generală de realizare a betonului precomprimat este în varianta precomprimării moderate cu armături complementare. În această situație determinarea coeficientului β_p trebuie făcută global, cu luarea în

considerare a ambelor tipuri de armături, expresia lui β_f devenind:

$$\beta_f = a + b \sum \mu/d$$

Având în vedere relația (4.15) se obține:

$$\beta_f^e = \lambda_f^e u / A_{bf}$$

unde: λ_f^e este valoarea experimentală a distanței dintre fisuri.

Având în vedere relația (5.1) sirul x_i este format din valorile $\sum \mu/d$, iar sirul y_i este format din valorile $\lambda_f^e u / A_{bf}$.

In tabelul 5.18 se prezintă valorile $x_i = \sum \mu/d$ și $y_i = \lambda_f^e u / A_{bf}$ (valori medii pentru fiecare grindă).

Verificarea normalității distribuției x_i este prezentată în tabelul 5.19, iar a distribuției $y_i = \beta_f^e$ în figura 5.58.

Determinarea coeficientilor ecuației de regresie s-a efectuat la calculatorul electronic (Anexa 5.3) și luând în considerare că raportul A_p/A_a a rezultat:

$$\beta_f = \begin{cases} 1,42 + 2,0 \sum \mu/d & \text{pentru } A_p/A_a \geq 1,0 \\ 1,37 + 1,82 \sum \mu/d & \text{pentru } 0,5 \leq A_p/A_a \leq 1,0 \\ 1,28 + 1,5 \sum \mu/d & \text{pentru } 0,3 \leq A_p/A_a \leq 0,5 \end{cases} \quad (5.0)$$

Testul de semnificație este:

$$\begin{array}{ll} t = 1,93 < t_{\alpha/2-1} = 2,01 & \text{pentru } A_p/A_a \geq 1 \\ t = 2,03 > t_{\alpha/2-1} = 1,99 & \text{pentru } 0,5 \leq A_p/A_a \leq 1,0 \\ t = 2,03 \approx t_{\alpha/2-1} = 2,02 & \text{pentru } 0,3 \leq A_p/A_a \leq 0,5 \end{array}$$

5.4.3. Determinarea statistică a coeficientului de conlucrare ψ

Bupă cum a rezultat din prelucrarea datelor din etape I și II între coeficientul de conlucrare ψ și gradul de precomprimare k poate fi stabilită o legătură liniară sub forma

$$\psi = a + bk$$

Având în vedere relația (4.14) se obține:

$$\psi^e = \alpha_f^e p / \lambda_f^e \Delta G_p$$

unde: α_f^e este valoarea experimentală a deschiderii fisurii;

λ_f^e - valoarea experimentală a distanței dintre fisuri.

Având în vedere relația (5.1) sirul de valori x_i este format la valurile k, iar sirul y_i este format din valorile ψ^e .

In Anexa 5.4 se prezintă valorile $x_i = k$ și $y_i = \psi^e$ (valori medii pentru fiecare grindă) precum și testul de verificare a normalității distribuțiilor x_i și y_i , constatindu-se că numai două valori din sirul

Tabloul 5.10

x_i nu îndeplinește testul de normabilitate, dar și acestea sunt foarte apropiate de limită.

Determinarea coeficien-
tilor ecuației de regresie
s-a făcut la calculatorul
electronic (Aneza 5.5) re-
zultînd:

$$a = 1,42 \quad b = -1,24$$

astfel că expresia lui ψ
se poate considera:

$$\psi = 1,4 - 1,25 \text{ E} \quad (5.7)$$

Testul de semnificație este: $t=5,32 > t_{\alpha/2, n-1} = 2,07$ apreciindu-se că există o bună corelație, pentru un nivel de semnificație $\alpha = 5\%$.

5.4.4. Compararea relatiilor propuse cu alte relatii și cu rezultatele experimentale.

In vederea verificării relațiilor propuse în lucrare pentru coeficientul β_1 și pentru coeficientul de conlucrare ψ s-au efectuat calcule comparative între relațiile propuse și cele ale altor autori, având în vedere resultatele experimentale obținute pe elementale încercate în Laboratorul de Beton armat și clădiri precum și rezultatele altor autori cu suficiente date initiale pentru o abordare ulterioară.

/78/. Relațiile luate în considerare pentru calcul-

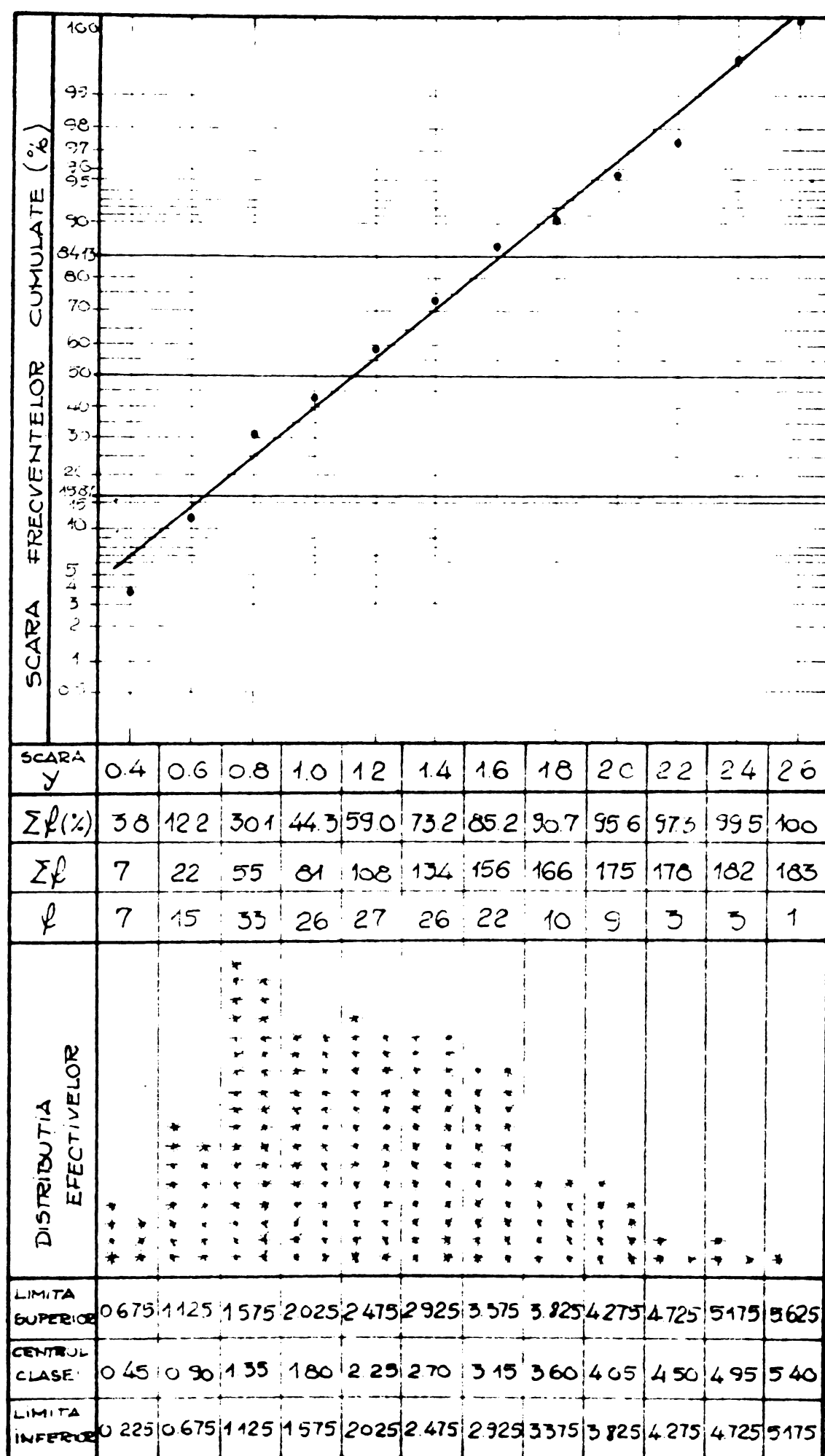


Fig. 5.56. VERIFICAREA NORMALITĂȚII DISTRIBUȚIEI B^e

Tabelul 5.19

Verificarea normalității distributiei $\Sigma p/d$

| Element | x_i | $x_i - \bar{x}$ | $(x_i - \bar{x})^2$ | $\frac{ x_i - \bar{x} }{\bar{x}}$ | Calcule |
|----------|--------|-----------------|---------------------|-----------------------------------|--------------------------------------|
| GP 1-1 | 2,260 | -0,053 | 0,0028 | 0,229 | $\bar{x} = \frac{20,819}{9} = 2,313$ |
| GP 1-2 | 2,260 | -0,053 | 0,0028 | 0,229 | |
| GP 2-1 | 2,146 | -0,167 | 0,0279 | 0,723 | |
| GP 2-2 | 2,146 | -0,167 | 0,0279 | 0,723 | $S = \frac{0,4272}{8} = 0,231$ |
| GP 3-1 | 2,227 | -0,086 | 0,0074 | 0,372 | |
| GP 3-2 | 2,227 | -0,086 | 0,0074 | 0,372 | |
| GP 4 | 2,151 | -0,162 | 0,0262 | 0,701 | $\alpha = 5 \%$ |
| GP 5 | 2,592 | 0,279 | 0,0778 | 1,207 | |
| GP 6 | 2,810 | 0,497 | 0,0247 | 2,150 | $t_{1-\alpha, n-1} = 2,365$ |
| Σ | 20,819 | 0,002 | 0,4272 | | |

Iul deschiderii fisurilor sint cele prezentate in 4.4.

In tabelul 5.20 se prezintă rezultatele calculelor privind distanța dintre fisuri, constatindu-se că există o bună corespondență între valorile calculate și cele experimentale. Media raportului $\frac{\alpha_e}{\alpha_t}$ se apropie semnabil de valoarea obținută de Pinglot-Pons și care este 0,973 /73/.

Tabelul 5.20

Rezultatele comparative privind distanța dintre fisuri

| Element | λ_p^e (cm) | β_p | λ_p^t (cm) | $\frac{\alpha_e}{\alpha_t}$ |
|---------|-----------------------|-----------|-----------------------|-----------------------------|
| GP 1-1 | 14,5 | 1,071 | 13,7 | 1,058 |
| GP 1-2 | 15,5 | 1,071 | 13,78 | 1,12 |
| GP 2-1 | 13,9 | 1,045 | 13,98 | 0,994 |
| GP 2-2 | 12,8 | 1,045 | 13,75 | 0,931 |
| GP 3-1 | 13,4 | 1,065 | 17,07 | 0,785 |
| GP 3-2 | 13,8 | 1,065 | 14,94 | 0,924 |
| GP 4 | 10,05 | 1,235 | 9,07 | 1,108 |
| GP 5 | 10,65 | 1,253 | 10,27 | 1,037 |
| GP 6 | 9,7 | 1,267 | 11,25 | 0,800 |
| | | | Media | 0,973 |

In tabelul 5.21 se prezintă sinteza rezultatelor comparative din tabel 5.34.(plie). Se constată că media raportelor $\frac{\alpha_e}{\alpha_t}$ este foarte apropiată de unitate în cazul rezultatelor obținute prin luarea în considerare a coeficientului de comlucrare ψ ca o funcție de k , relația (5.7), precum și în cazul că acest coeficient este o funcție de $\frac{G_{po}}{R_p^n}$, relația (4.6'). Simplitatea relației (5.7) o face mult mai evantajoasă în comparație cu relația (4.6'). Pe lîngă aceasta mai trebuie de avut în vedere faptul că pretensionarea incompletă a armăturii nu este economică.

Media raportelor $\frac{\alpha_e}{\alpha_t}$ se apropie de unitate și în cazul utilizării relației prevăzute de STAS 1007/o-76 și STAS 1007/o-83. Trebuie însă de precizat că în acest caz există o mare variabilitate a rezultatelor individuale. Astfel pentru elementele din etapa I valoarea medie este supranitără în timp ce pentru elementele din etapa II valoarea medie este subunitară. O astfel de in-

In tabelul 5.21 se prezintă sinteza rezultatelor comparative din tabel 5.34.(plie). Se constată că media raportelor $\frac{\alpha_e}{\alpha_t}$ este foarte apropiată de unitate în cazul rezultatelor obținute prin luarea în considerare a coeficientului de comlucrare ψ ca o funcție de k , relația (5.7), precum și în ca-

Tabelul 5.21
Sinteza calculelor comparative privind deschiderea
fisurilor elementelor din etapa I și II

| Relații de calcul pentru deschiderea fisurilor | Media raportului lui $\frac{\alpha_f^e}{\alpha_f^t}$ | Coefficientul de variație $Cv(\cdot)$ al raportului $\frac{\alpha_f^e}{\alpha_f^t}$ |
|---|--|---|
| STAS 1007/0-76 | 0,360 | 45,3 |
| STAS 1007/0-83 | 0,972 | 48,3 |
| Calculul lui α_f^t luând în considerare $\psi = 1,4 - 1,25 \frac{R_p}{R_n}$ | 1,019 | 41,3 |
| Calculul lui α_f^t luând în considerare $\psi = 1,0 - 0,9 \frac{R_p}{R_n} \frac{E_f}{E_p}$ | 1,054 | 41,5 |
| Lloyd-Rejali-Kesler | 0,58 | 55,57 |
| Navy-Huang | 0,345 | 40,3 |
| CEB-FIP | 0,696 | 41,21 |

prăptiere a valorilor nu se constată în cazul utilizării relației (5.7). Aceeași concluzie se desprinde și din compararea valorilor coeficienților de variație.

La cele mai scoperitoare valori se ajunge prin utilizarea relației lui Lloyd-Rejali-Kesler și CEB-FIP.

În vederea verificării rezultatelor obținute prin utilizarea relației (5.7) cu alte rezultate experimentale s-a calculat deschiderea fisurilor pentru elementele încercate de Pinglot-Pons (Fig. 2.9). Trebuie de semnalat că pentru unul din elemente, B_1 , în lucrarea /78/, din care s-au preluat valorile necesare, s-au semnalat anumite neconcordanțe. Acest lucru se reflectă și în tabelul 5.22 în care se prezintă rezultatele calculelor comparative.

Tabelul 5.22.

Verificarea relației $\psi = f(k)$ pe rezultate experimentale ale lui Pinglot-Pons

| Element | λ_f^e (cm) | $\Delta \sigma_p^e$ (daiN/cm ²) | α_f^e (mm) | k | ψ | α_f^t (mm) | $\frac{\alpha_f^e}{\alpha_f^t}$ |
|---------|-----------------------|--|----------------------|------|--------|----------------------|---------------------------------|
| B_1 | 14,6 | 420 | 0,065 | 0,3 | 1,0 | 0,023 | 2,000 |
| C_1 | 21,4 | 550 | 0,029 | 0,55 | 0,7 | 0,039 | 0,745 |
| D_1 | 19,0 | 615 | 0,020 | 0,75 | 0,46 | 0,026 | 0,770 |

Se constată că pentru elementele C_1 și D_1 valorilor raportului $\frac{\alpha_f^e}{\alpha_f^t}$ se încadrează în multimea valorilor obținute în cazul verificării relației (5.7) pe încercările efectuate în Laboratorul de Beton armat.

Se apreciază că rezultatele calculelor indică o bună determinare a relațiilor pentru coeficienții β_f și ψ .

6. CONCLUZII SI VALORIZAREA REZULTATELOR CERCETARII

Elementele din beton precomprimat parțial, cu și fără suprabetonare, capătă o extindere tot mai largă datorită avantajelor tehnico-economice pe care le prezintă. Dintre cele mai principale se rețin următoarele:

- reducerea consumului de armătură pretensionată cu cca 30%, prin înlocuirea ei cu o cantitate corespunzătoare de armătură complementară;

- reducerea consumului total de armătură cu cca 5%;

- reducerea efortului de precomprimare, și în consecință a operației de pretensionare; în cazul elementelor cu armătură preîntinsă, executate în tipare metalice autoportante, vor resulta economii de metal datorită reducerii forței ce solicită tiparul;

- reducerea consumului de ciment; în urma scăderii efortului de precomprimare se poate reduce marca betonului de la B 600 la B 500, rezultând o diminuare a consumului de ciment cu cca 10%; pe de altă parte datorită reducerii efortului de precomprimare se poate reduce și bulbul de la partea inferioară a elementului;

- reducerea consumului de energie înglobată în element;

- datorită reducerii efortului de precomprimare curgerea lentă se dezvoltă la valori mai mici fiind posibil să se reduce contrasägeata necesară anihilării creșterii deformațiilor sub efectul curgerii lente;

- creșterea ductilității elementelor datorită disponerii în zona întinsă a armăturii complementare.

Importanța acordării precomprimării parțiale este cel mai sugestiv ilustrată prin organizarea la București, în 1980, a simpozionului FIP având ca temă tocmai acest subiect.

Elementele din beton precomprimat pot fi folosite ca atare sau cu suprabetonare de rezistență (elemente compuse beton precomprimat - beton armat).

Utilizarea elementelor compuse aduce cîteva avantaje:

- reducerea consumului de ciment prin diminuarea dimensiunilor elementelor și prin utilizarea în zona monolită a unui beton de calitate mai redusă, cu un consum de ciment mai mic;

- posibilitatea creerii continuității pe razeme, continuitate ce conduce la reducerea momentelor încovoiatoare în cîmp și a sârgetilor sub efectul încărcărilor aplicate după realizarea continu-

tăii;

- posibilitatea folosirii unor utilaje mai ușoare în urma reducerii greutății elementelor;
- crearea unei șaibe monolite la nivelul planseelor și implicit îmbunătățirea comportării structurii la sarcini orizontale.

Avantajele utilizării secțiunilor compuse beton precompresionat - beton armat au condus la o extindere a acestei soluții și la noi în țară, fapt ce se poate constata prin numărul tot mai ridicat de elemente precomprimate tipizate prevăzute cu suprabetonare. Avantajele devin cu atât mai evidente dacă se are în vedere faptul că utilizarea tot mai largă a acestei soluții se face în condițiile absenței unui mecanism de calcul bine pus la punct. Absența acestui mecanism se reflectă prin numărul redus de materiale bibliografice și prin existența a numeroase ipoteze simplificatoare.

Pentru buna funcționare a elementelor din beton precompresionat parțial, cu și fără suprabetonare, trebuie respectate anumite valori limită pentru deschiderea fisurilor sub efectul încărcărilor de lungă durată cît și sub efectul încărcărilor totale, atunci cînd precomprimarea se realizează cu armături sensibile la corozie.

Evaluarea corectă a mărimii deschiderii fisurilor depinde de anumiți factori:

- evaluarea corectă a pierderilor de tensiune;
- determinarea variației efortului unitar în secțiunea fisurată, determinare care este influențată, în cazul elementelor cu suprabetonare, de diferența de contractie și curgere lentă ce există între cele două tipuri de beton;
- luarea în considerare a apotului betonului întins dintre fisuri;
- influența armăturii complementare și a modului ei de dispunere asupra distanței dintre fisuri, distanță ce determină mărimea deschiderii fisurilor.

De asemenea constituie o problemă evoluția deschiderii fisurilor sub efectul unor încărcări-descărcări repetitive, în regim de solicitare statică.

Efortul real de precomprimare

Printre pierderile de tensiune ce influențează evaluarea corectă a efortului de precomprimare se află și pierderea de tensiune

datorită scurării elastice a betonului sub efectul acestui efort. Codul Model CEB - PIP /112/ recomandă ca această pierdere de tensiune să fie luată în considerare atât în cazul elementelor cu armătura preîntinsă cît și a celor cu armătura postîntinsă.

În cazul elementelor cu armătura postîntinsă valoarea reală a efortului unitar σ_{pp} , în fază initială, în armătură se obține scăzând din efortul unitar de control σ_{pk} pierderile de tensiune ce se produc la transfer, conform relației (2.6). Pentru aflarea efortului unitar, în fază finală, $\bar{\sigma}_{pp}$ se scad pierderile de tensiune reologice din valoarea σ_{pp} .

În cazul elementelor cu armătura preîntinsă determinarea pierderii de tensiune din scurarea elastică a betonului este mai dificilă deoarece pe măsura deformării betonului efortul de precomprimare scade din cauza detensionării armăturii (Fig.2.2). Se produce o autoreducere a deformației elastice și în consecință și a pierderii de tensiune din scurarea elastică.

Pentru evaluarea pierderii de tensiune din scurarea elastică Herberg /50/, Kurt-Martinek /53/, Leonhardt /56/ propun o relație ce conduce la o supraevaluare a acestei pierderi de tensiune cu 10,4 %, în timp ce relația propusă de Ghibman /46/ conduce la o supraevaluare cu 18,5%. Cea mai mică supraevaluare o dă relația propusă de Branson /86/ și amme 5,1%.

Pentru evaluarea corectă a pierderii de tensiune din scurarea elastică a betonului se scrie egalitatea dintre deformația specifică a betonului, sub efortul efortului real de precomprimare, și variația deformației specifice a armăturii în urma detensionării armăturii.

Efortul unitar real din armătura A_p și A'_p se calculează cu relațiile (2.28' - 2.28''), iar cind în element este prevăzută numai armătură A_p cu relația (2.28''):

$$\sigma_{pp} = \frac{\sigma_{pq}}{\omega_1}$$

Efortul real din armătura preîntinsă este mai mic, în medie, cu 6,5 ... 9,5 % decit efortul unitar de calcul care se ia în considerare la determinarea efortului de precomprimare.

Coefficientul ω_1 este suprareunitar și el arată în ce măsură efortul unitar real din armătura preîntinsă și efortul real de precomprimare, este mai mic decit efortul unitar de calcul, respectiv decit efortul convențional de precomprimare N_0 .

Din studiul statistic întreprins pe 193 de elemente precomprimate tipizate a rezultat o valoare medie a coeficientului $\omega_1 = 1,077$, limitele extreme fiind 1,021 și 1,287. Acceptând că efectul scurării elastice poate fi neglijat cînd ω_1 este sub 1,03, a rezultat că numai la 1,56 % din cale 193 de elemente studiate se poate neglija acest efect.

Pentru uzurarea calculelor au fost întocmite abace pentru determinarea coeficientilor necesari, coeficiente ce au fost deduci în lucrare.

Neglijarea efortului real de precomprimare are efecte defavorabile asupra verificărilor în stadiul de exploatare (punctul 2.4.1). Din prelucrarea datelor experimentale privind momentul încovoietor de fisurare au rezultat valorile medii ale raportului L_p^t/M_p^e din tabelul 6.1. Apropierea raportului L_p^t/M_p^e de unitate este mai mare în cazul

Tabelul 6.1.

Efectul neglijării efortului real de precomprimare
asupra raportului L_p^t/M_p^e

| Relația de calcul | Normativ P 3-62 | INCERC- resti I.P. Iasi | Bucu- tice Normele sovietice Normele CAER |
|---|--------------------|-------------------------------|--|
| Luarea în considerare a efortului convențional de precomprimare M_0 | 0,765 | 0,803 | 0,849 |
| Luarea în considerare a efortului real de precomprimare M_p | 0,781 | 0,834 | 0,873 |

evaluării momentului încovoietor de fisurare cu ajutorul efortului real de precomprimare. În aprecierea valorilor din tabelul 6.1 trebuie de avut în vedere faptul că pentru elementele experimentale coeficientul ω_1 a avut valori relativ reduse, cuprinse între 1,02 și 1,078.

Efectul scurării elastice a betonului poate fi neglijat atunci cînd procentul de armare al armăturii pretensionate p_p - 100 A_p/A_{bi} este situat sub valorile din tabelul 6.2.

Tabelul 6.2.

Valori limită ale procentelor de armare cînd se poate neglija efectul pierderii de tensiune din scurărea elastică

| Marca betonului | $y_p/i \leq 0,45$ | $y_p/i \leq 0,75$ | $y_p/i \leq 1,00$ | $y_p/i \leq 1,75$ | $y_p/i \leq 2,25$ |
|-----------------|-------------------|-------------------|-------------------|-------------------|-------------------|
| B 500 | 0,430 | 0,345 | 0,259 | 0,172 | 0,086 |
| B 600 | 0,463 | 0,370 | 0,278 | 0,185 | 0,093 |

Faptul că nu s-a ajuns la situații neplăcute, în exploatare, deși efortul real de precomprimare este mai mic decât cel pe care se contează se poate explica și prin aceea că frecvența de apariție, a valorilor maxime ale încărcărilor este redusă.

Determinarea stării de eforturi unitare în secțiunile normale ale elementelor cu secțiune compusă

Secțiunea transversală reală se transformă într-o secțiune de calcul prin înmulțirea lățimii zonei de beton armat cu coeficientul de echivalentă n_b al acestui beton. În funcție de etapa de calcul, eforturile unitare produse de încărcările exterioare se determină cu caracteristicile geometrice ale secțiunii prefabricate sau cu cele ale secțiunii compuse de calcul. Eforturile unitare totale se determină prin însumarea eforturilor unitare determinate în diferitele etape.

Eforturile unitare totale se vor modifica în timp datorită diferențelor ce există între deformațiile din contractie și curgere lentă ale celor două tipuri de beton. Aceste diferențe sunt produse de două cauze:

- calitatea diferită a celor două betoane;
- diferența de timp de la efectuarea transferului armăturii preîntinse și pînă la realizarea efectivă a secțiunii compuse, realizare care se produce conform lui Branson /86/ și Beukel /19/, atunci cînd betonul armat atinge oca 70% din mără.

Diferența dintre contractia și curgerea lentă a celor două tipuri de beton va introduce o stare suplimentară de eforturi unitare. Determinarea acestei stări suplimentare de eforturi unitare se poate face prin metoda fibrelor conjugate sau prin interacțiunea deformațiilor specifice.

Mecanismul de calcul al metodei fibrelor conjugate, concepută de Busemann, este relativ simplu însă el trebuie reluat pentru fiecare etapă de aplicare a încărcărilor.

Interacțiunea deformațiilor specifice, concepută în lucrare pe baza teoriei eforturilor unitare initiale, este ceva mai laborioasă însă are avantajul că nu este necesară aplicarea repetată a ei.

In privința lui rii în considerare a efectului contractiei se admite că diferența dintre contractia betonului armat și cea a betonului precomprimat produce o compresiune excentrică asupra secțiunii compuse și o întindere centrică în betonul armat /5/, /28/, /86/, /117/. Această procedură nu ține cont de faptul că între fibrele ve-

cine trebuie să existe o egalitate a deformațiilor specifice.

In privința prinderii în calcule a efectului curgerii lente opiniile diferitilor autori diferă în mod sensibil: Cestelli-Guidi /28/ consideră că cele două betoane au proprietăți reologice identice, Guyon /48/ ia în considerare numai efectul curgerii lente a betonului precomprimat și pune condiția de egalitate a deformațiilor specifice la nivelul de contact dintre cele două betoane, Ghibșan /46/ utilizează procedeul fibrelor conjugate și aplică coeficienți de corecție datorită prezenței armăturii, Branson /86/ tratează diferența de curgere lentă în același mod ca și contractie.

Pentru calculul eforturilor unitare în secțiunile normale nefisurate se poate folosi metoda asimilării cu secțiunile compuse otel-beton /5/ sau prin utilizarea metodei interacțiunii deformațiilor specifice.

Calculul prin metoda asimilării cu secțiunile compuse otel-beton presupune că deformațiile specifice din contractie și curgere lentă au aceeași viteză de dezvoltare. După consumarea deformațiilor specifice din contractie și curgere lentă ale betonului precomprimat urmând să se consume restul de deformații specifice ale betonului armat. Elementul compus beton precomprimat - beton armat găsindu-se din acest moment în aceeași situație ca și elementul compus otel-beton.

Restul de deformație de curgere lentă a betonului armat va produce o reducere a modulului de elasticitate al betonului armat:

$$E_{ba} = \frac{E_b}{1 + \Delta \bar{\varphi}}$$

În această situație centrul de greutate al secțiunii va cobori, calculindu-se caracteristicile geometrice ale secțiunii pentru încărcările de lungă durată.

Eforturile unitare produse de încărcările de scurtă durată se vor determina cu caracteristicile geometrice ale secțiunii compuse de calcul, iar cele produse de încărcările de lungă durată, inclusiv forța excentrică produsă de restul de contractie a betonului armat, se determină cu caracteristicile geometrice pentru încărcările de lungă durată. Eforturile unitare totale se obțin prin însumarea eforturilor obținute mai sus.

Pentru determinarea eforturilor unitare prin metoda interacțiunii deformațiilor specifice la eforturile unitare, determinate din diferitele trepte de încărcare, pe secțiunea compusă de calcul, se

adună eforturile unitare rezultate din interacțiunea deformațiilor specifice din contractie și curgere lentă.

Din compararea rezultatelor conferite de cele două metode au rezultat următoarele:

- în cazul precomprimării puternice starea de eforturi unitare în betonul precomprimat, sub încărările totale, este aceeași indiferent de metoda utilizată existind diferențe în privința eforturilor unitare în betonul armat;

- diferențele semnalate mai sus se datorează efectului puternic al interacțiunii deformațiilor specifice de curgere lentă, interacțiune ce creează întinderi cu caracter permanent în betonul armat;

- în cazul precomprimării reduse metoda asimilării conduce la eforturi unitare mai mari în betonul precomprimat;

- între eforturile unitare în armături nu există diferențe sensibile.

Având în vedere cele de mai sus, precum și caracterul exact al metodei interacțiunii deformațiilor specifice, precum și volumul de muncă carut:

- se poate accepta utilizarea metodei asimilării cu secțiunile compuse otel-beton pentru elementele cu precomprimare puternică ($k = 0,9 \dots 1,0$);

- în cazul elementelor principale și al elementelor secundare (cu precomprimare redusă) se recomandă utilizarea metodei interacțiunii deformațiilor specifice.

Pentru calculul mărimii deschiderii fisurilor este necesară valoarea variației $\Delta \epsilon_p$ a efortului unitar în armătura pretensionată. Determinarea valorii $\Delta \epsilon_p$ în cazul elementelor compuse nu este posibilă cu relațiile prevăzute pentru elementele precomprimate din următoarele cauze:

- existența unei diferențe de timp în privința aplicării încărărilor asupra betonului precomprimat și asupra betonului armat;

- existența unei diferențe între deformațiile specifice de contractie și curgere lentă ale celor două tipuri de beton.

Pentru determinarea valorii $\Delta \epsilon_p$ se pleacă de la starea de decompresiune peste care se suprapune starea de eforturi unitare produsă de diferența de moment încovoietor dintre momentul încovoietor de exploatare și momentul încovoietor de decompresiune. În ecuațiile de echilibru static intervine și o parte din betonul comprimat care este capabil de a prelua întinderi. În lucrare sunt deduse relațiile de calcul pentru cazul comportării elastice, în zona comprimată, a

betonului precomprimat și a betonului armat. De asemenea sunt deduse relațiile de calcul în cazul comportării elasto-plastice a betonului precomprimat și/sau betonului armat.

Deoarece rezolvarea sistemului de ecuații ce se formează este laborioasă în lucrare au fost elaborate, pentru cazul comportării elasto-plastice, două procedee aproximative pentru calculul lui $\Delta \sigma_p$. Procedeul raportelor admite că între eforturile unitare din betonul comprimat, în secțiunea fisurată, există aceleasi rapoarte ca și în starea de decompresiune sau în starea de exploatare în ipoteza că betonul este capabil de a prelua întinderi. Procedeul corecției ulterioare admite în primă aproximație că variația efortului unitar din armătura pretensionată se obține ca pentru o secțiune supusă la încovoiere sub acțiunea diferenței dintre momentul încovoiator de exploatare și cel de decompresiune. Această valoare se corectează prin luarea în considerare a betonului comprimat din starea de decompresiune, beton capabil de a prelua întinderi, astfel că valoarea inițială a lui $\Delta \sigma_p$ se reduce.

Din comparația celor două procedee aproximative cu procedeul exact au rezultat următoarele erori în privința valorii $\Delta \sigma_p$:

- procedeul raportelor: -9,0...-11,0%
- procedeul corecției ulterioare: 0,5...1,5%

Având în vedere aceste valori și faptul că principalul element al stării de eforturi unitare, în secțiunile fisurate, îl constituie valoarea $\Delta \sigma_p$, se recomandă pentru un calcul rapid cu ajutorul riglei de calcul procedeul corecției ulterioare.

Având în vedere faptul că momentul de realizare a porțiunii de beton armat are un rol important asupra stării de eforturi unitare, s-a efectuat o analiză teoretică a acestei influențe. Din această analiză, efectuată pentru situația că betonul armat se toarnă la 1, 2, 3 săptămâni, 1, 2, 3, 4, 5, 6 luni, 1, 2 și 3 ani, s-au desprins cîteva concluzii dintre care se rețin următoarele:

- eforturile unitare din interacțiunea deformațiilor de curgere lentă au un efect favorabil de reducere a eforturilor unitare din interacțiunea deformațiilor de contractie;
- efectul favorabil al interacțiunii deformațiilor de curgere lentă este maxim atunci cînd zona de beton armat se realizează într-un interval de una pînă la trei luni de la transferul armăturii preîntinse.

Influenta prezentei si distributiei armăturii nepretensionate de rezistență asupra comportării la fisurare a elementelor precomprimate cu armături preîntinse.

Unul din principalele avantaje ale betonului precomprimat parțial îl constituie înlocuirea unei părți din armătura pretensionată cu armătură nepretensionată de rezistență. În cazul precomprimării limitate această armătură nu are un rol deosebit adoptându-se de aceea denumirea de armătură pasivă. În cazul precomprimării moderate armătura nepretensionată are un rol important atât în stadiul de exploatare cât și în stadiul de rupere. Avind în vedere această diferență esențială s-a adoptat pentru armătura nepretensionată de rezistență noțiunea de armătură complementară pentru cazul precomprimării moderate /79/.

Pentru studiul elementelor cu precomprimare parțială este de asemenea importantă stabilirea unei definiții a gradului de precomprimare. Avind în vedere faptul că durabilitatea elementului este asigurată de o corectă funcționare sub încărcările de exploatare s-a ajuns la concluzia că cea mai adecvată definiție pentru gradul de precomprimare este cea dată de raportul dintre momentul încovoietor de decompresiune și momentul încovoietor de exploatare relația (4.4), respectiv (4.4').

Deschiderea fisurilor este direct proporțională cu distanța dintre fisuri. Din cercetările întreprinse la INCKRC - București a rezultat că dispunerea intercalată a armăturilor complementare cu cele pretensionate conduce la reducerea distanței dintre fisuri /38/, /79/, /81/.

Normele românești pentru calculul elementelor precomprimate folosite în construcții civile și industriale admit că distanța dintre fisuri este egală cu distanța dintre etrieri, fapt ce nu corespunde realității.

Pentru elementele precomprimate realizate numai cu toroane TRP în cadrul Catedrei de Beton armat și clădiri a I.P. "Traian Vuia" din Timișoara s-a dedus expresia coeficientului β_f , ce intră în calculul distanței dintre fisuri /8/, /75/:

$$\beta_f = 0,40 + 30 \frac{u}{d} \quad (4.6')$$

Pentru calculul deschiderii fisurilor normale românești /108/ admit pentru coeficientul de conlocare ψ al betonului întins dintre fisuri valoarea $\psi = 1$, iar normele /109/ admit valoarea $\psi = 0,8$. Ambale valori nu corespund realității, acest coeficient depinzând de

treapta de solicitare a betonului, această treapă exprimindu-se prin gradul de precomprimare k . Cu cît gradul de precomprimare este mai mic cu atit treapta de solicitare a betonului este mai mare, deci coeficientul ψ va fi mai mare.

Rezultatele cercetărilor experimentale privind apariția fisurilor și comportarea în exploatare.

In privința momentului încovoietor de fisurare s-au constatat următoarele:

- procentul de armare are o influență nesemnificativă asupra treptei de fisurare M_p^0/M_r^0 ;
- gradul de precomprimare are o influență semnificativă asupra treptei de fisurare M_p^0/M_r^0 .

Din prelucrarea datelor privind distanța dintre fisuri s-au constatat următoarele:

- gradul de precomprimare k are o influență redusă asupra distanței dintre fisuri; reducerea gradului de precomprimare conduce la reducerea distanței dintre fisuri;
- distanța dintre fisuri este puternic influențată de $\sum \frac{A_i}{d}$, creșterea acestei valori conduce la reducerea distanței dintre fisuri.
- dispunerea intercalată a armăturilor complementare conduce la sporirea $\sum \frac{A_i}{d}$ și astfel se explică scăderea distanței dintre fisuri.

Pentru calculul distanței dintre fisuri în lucrare se propune relația:

$$\lambda_f = \beta_f \frac{A_{bf}}{u} \quad (4.15)$$

In relația (4.15) s-a introdus aria de înglobare în beton A_{bf} pentru a se face alinierea la noile norme românești /109/ unde această aria intervene în calculul distanței dintre fisuri la elementele din beton armat.

Expresia coeficientului β_f a fost dedusă pe baza prelucrării statistice a datelor experimentale și are expresia:

$$\beta_f = \begin{cases} 1,42 + 2,0 \sum \frac{A_i}{d} & \text{pentru } A_p/A_a \geq 1 \\ 1,37 + 1,82 \sum \frac{A_i}{d} & \text{pentru } 0,5 \leq A_p/A_a < 1,0 \\ 1,28 + 1,5 \sum \frac{A_i}{d} & \text{pentru } 0,3 \leq A_p/A_a < 0,5 \end{cases} \quad (5.6)$$

Din prelucrarea datelor privind deschiderea fisurilor s-a constatat următoarele:

- deschiderea fisurilor scade cu creșterea gradului de precomprimare;
- între coeficientul de conluorare ψ și gradul de precomprimare există o legătură liniară.

Pe baza prelucririi statistice a datelor experimentale se propune următoarea expresie a coeficientului de conlucrare :

$$\psi = 1,4 - 1,24 k \quad (5.7)$$

Pentru asigurarea unei durabilități corespunzătoare este necesar ca sub efectul încărcărilor de lungă durată deschiderea medie a fisurilor să nu depășească valoarea de 0,03 mm, iar sub efectul încărcărilor totale deschiderea fisurilor să nu depășească 0,1 mm /116/. Aceste valori limită trebuie respectate și după un număr repetat de încărcări-descărcări între cele două limite de încărcare. În urma încărcări-descărcării repetate a elementelor experimentale s-a constatat că nu au intervenit modificări substanțiale în deschiderea fisurilor, modificări care ar putea să afecteze siguranța elementelor.

Pe baza cercetărilor efectuate pe elemente din beton precomprimat parțial, cu și fără suprabetonare, s-a elaborat redactarea I-a și a II-a a Recomandărilor privind proiectarea elementelor din beton precomprimat parțial, cu suprabetonare, folosind armături pretensionate și nepretensionate complementare.

B I B L I O G R A F I E

1. Abeles P.W. - Design of partially-prestressed concrete, JACI, No 10, 1967
2. Abeles P.W., Csuprynski L. - Partial prestressing. Its history, research, application and future developments, Annales de Travaux Publics de Belgique, nr 12, Bruxelles, 1966
3. Abeles P.W., Brown I.E., Hu H.C. - Tests of composite concrete beams with prestressed planks, RILEM, Materials and structures, nr 25, Paris, 1972
4. Avram C. - Betonul armat - proiectarea și dimensionarea secțiunilor, Editura Tehnică, București, 1952
5. Avram C., Bota V. - Structuri compuse otel-beton și beton precomprimat - beton armat, Editura Tehnică, 1975
6. Avram C., Făchioaru I., Filimon I., Miryu C., Tertea I., - Rezistențele și deformațiile betonului, Editura Tehnică, București, 1971
7. Avram C., Filimon I. - Curs de Beton armat, I.P."T.Vuia", Timișoara, 1976
8. Avram C., Filimon I., Deutsch I., Păiuș S. - Aspects concernant la vérification par le calcul aux états-limite de fissuration des éléments linéaires en béton partiellement précontraint, FIP Symposia on partial prestressing, București, 1980
9. Avram C., Filimon I. - Aspecte practice privind calculul elementelor incoviate de beton precomprimat la starea limită de apariție a fisurilor, Revista Construcțiilor și materialelor de construcții, nr 12, București, 1965
10. Avram C., Filimon I. - Curs de Beton armat, Editura de Stat Didactică și Pedagogică, București, 1962
11. Avram C., Pescaru I. - Elemente de plangă din beton și beton precomprimat, Buletinul Științific și Tehnic al I.P."T.Vuia", Tom 2 (16), fasc.2, Timișoara, 1957
12. Bachman H. - From full to partial prestressing, Institut für Baustatik und Konstruktion ETH, Zürich, 1982
13. Bachman H. - 10 Theses on partial prestressing, FIP Symposia on partial prestressing, București, 1980
14. Bachman H. - Precomprimarea parțială a structurilor din beton (traducere), Buletinul Informativ IRUT, 3, București, 1981
15. Bruneakreef S.H. - The behaviour of partially prestressed concrete beams loaded in pure bending, Heron, Volume 23, No 1, Delft, 1978

16. Beeby A.W. - A brief note concerning certain aspects of flexural cracking, May 1971
17. Beeby A.W., Taylor H.P.J. - Cracking in partially prestressed members, VIth International Congress of the FIP, Prague, 1970
18. Bennett E.W. - Behaviour of partially prestressed concrete with reference to the CSE-FIP Model Code, FIP Symposia on partial prestressing, Bucuresti, 1980
19. Beukel A.van den - Composite beams, Veron, Volume 23, no 2, Delft, 1978
20. Birkeland W.H. - Differential shrinkage in composite beams, JACI, vol.31, no 11, 1960
21. Bob C. - Prelucrarea datelor experimentale, Buletinul Stiintific al Sesiunii interjudetene de referate si comunicari tehnico-stiintifice, vol.I, Baia Mare, 1980
22. Bob C.- Curs de Incerarea constructiilor, I.P."T.Vuia", Timisoara, 1981
23. Bota V., Clipii T. - Consideratii privind determinarea esfertului real de precomprimare, Buletinul Stiintific si Tehnic al I.P."T.Vuia", Timisoara, 1982
24. Bota V., Clipii T. - Aplicarea dalelor cu sectiune compusa la realizarea suprastructurilor de poduri, Buletinul Stiintific al Sesiunii interjudetene de referate si comunicari tehnico-stiintifice, Baia Mare, 1980
25. Brondum Nielsen T. - Serviceability limit state analysis of cracked concrete cross-section (Informare CKB), Danmarks Tekniske Hojskole, 1981
26. Busenam R. - Kriechberechnung von Verbundträgern unter Benutzung von zwei Kriechfasern, Bauingenieur, 5, S.418, 1950
27. Căraro T. - Oțeluri superioare pentru betonul armat și betonul precomprimat, Editura Tehnică, Bucuresti, 1969
28. Cestelli Guidi C. - Cemento armato precompresso, Hoepli, Milano 1976
29. Clipii T., Bota V., Deutsch I., Piliman I. - Consideratii privind determinarea stării de esferturi unitare în secțiunile normale nefisurate ale elementelor compuse beton precomprimat-beton armat, Buletinul Stiintific și Tehnic al I.P."T.Vuia" Timisoara, Tom 27 (41), Pascicela 1-2, 1982
30. Clipii T., Bota V., Deutsch I., Piliman I. - Influenta contracției și surgerii lente asupra esferturilor unitare din elementele compuse beton precomprimat-beton armat, Buletinul Stiintific și

Tehnică al I.P."T.Vuia", Tom 27(41) Fascicola 1-2, Timișoara, 1982

31. Clipici T. - Determinarea stării de eforturi uniare în secțiunile normale fisurate ale elementelor compuse beton precomprimat-beton armat, Volumul "40 de ani de învățămînt superior de construcții" Iași, 1981

32. Clipici T., Friedrich R., Tudor Agneta - Näherungsverfahren zur Bestimmung der Spannungen in gerissenen Querschnitten zusammengesetzter Spannbeton-Stahlbetonelemente, Buletinul Stiintific și Tehnic al I.P."T.Vuia", Tom 28 (42), Timișoara, 1983

33. Clipici T. - Stress determination in the cracked normal sections of prestressed concrete - reinforced concrete composite members considering the elastoplastic behaviour of concrete, Buletinul Stiintific și Tehnic al I.P."T.Vuia", Tom 28(42), Timișoara, 1983

34. Dreux G. - Practica betonului precomprimat, Editura Tehnică, București, 1971

35. Dumitrescu D., s.a. - Îndrumător pentru proiectarea și calculul construcțiilor din beton, beton armat și beton precomprimat, Editura Tehnică, București, 1978

36. Dumitrescu D., Popăescu A. - Design aspects of partial prestressed concrete in Romanian Codes, Symposia on partial prestressing, București, 1980

37. Dumitrescu D., Popăescu A. - Curs de Beton precomprimat, Institutul de Construcții, București, 1980

38. Dumitrescu D., s.a. - Recherches concernant le béton pré-contraint partiellement en Roumanie, PIP Symposia on partial prestressing, București, 1980

39. Filimon I., Deutsch I., Clipici T. - Analiza calculului la starea limită de apariție a fisurilor la elementele din beton precomprimat după diferite norme, Construcții, nr 5, București, 1976

40. Filimon I. - Quelques aspects concernant le calcul à la fissuration des éléments fléchis en béton précontraint, Béton, Revue C - Tijdschrift III - 7, Genf, 1964

41. Filimon I., Deutsch I., Friedrich R., Clipici T., Jiva C., Tudor Agneta, Iovan Simina, Florea Aurelia, Marcu Constanță - Elemente din beton parțial precomprimat folosite în construcții industriale, A XI-a Conferință de Beteane, Timișoara, 1982

42. Filimon I., Deutsch I. - Studiul teoretic și experimental privind fisurarea elementelor de beton armat precomprimat solicitate la încovoiere cu forță tăietoare, A V-a Conferință de Beteane, Timișoara

43. Pilimon I., Deutsch I. - Curs de Beton armat și beton pre-comprimat, I.P."T.Vuia", Timișoara, 1979
44. Pilimon I., Deutsch I., Toma Al. - Studiul teoretic și experimental privind apariția și dezvoltarea fisurilor la elementele incoacționate din beton precomprimat solicitate la încărcări statice și dinamice, Buletinul Științific și Tehnic al I.P."T.Vuia", Seria Construcții, Tom 19/33/, fasc.1, Timișoara, 1974
45. François D. - Concrete resistance to cracking, Cahiers de l'A.F.B., nr 183, 1981
46. Ghibsman E.E., Ghibsman M.E. - Teoria și calculul podurilor de beton armat precomprimat, Editura Transporturilor și Telecomunicațiilor, Moscova, 1963
47. Grouni H.M. - Prestressed Concrete - A Simplified Method for Loss Computation, JACI, February, 1973
48. Guyon Y. - Constructions en béton précontraint, Cours CHSBAP, Eyrrolles, Paris, 1966
49. L'Hermite R., Mamillan M. - Nouveaux résultats et récentes études sur la fluage du béton, RILEM - Matériaux et Constructions, No 7 1969
50. Herberg W. - Spannbetonbau, B.G.Teubner Verlagsgesellschaft, Leipzig, 1956
51. Holmberg A., Lindgren S. - Crack spacing and crack widths due to normal force or bending moment, National Swedish Building Research, D2, Stockholm, 1970
52. Höptner M. - Der Einfluss des Verspanngrades auf die Materialökonomie in Eisenbahnbrückebau, FIP Symposia on partial prestressing, București, 1980
53. Kurt E., Martinek P. - Grundlagen des Spannbetonbaus, VEB Verlag für Bauwesen, Berlin, 1972
54. Lazic J., Lazic Vera - Prévision des effets du fluage du béton dans les structures mixte et précontraintes, Annales de l'ITBTP, No 399, Paris, 1981
55. Leonhardt P. - Recommendations for the degree of pre-stressing in prestressed concrete structures, FIP Notes Nr 69, 1977
56. Leonhardt P. - Spannbeton für die Praxis, Verlag von Wilhelm Ernst & Sohn, Berlin, 1962
57. Leonhardt P. - Vorlesungen über Massivbau, Springer Verlag, Berlin, 1980
58. Leonhardt P. - Partial prestressing improves service-

- bility, VIP Symposia on partial prestressing, Bucureşti, 1980
59. Lloyd J.P., Rejali H.M., Kesler C.E. - Crack control in one-way slabs reinforced with deformed welded wire fabric, JACI, vol. 66, no 5, 1969
60. Lopatto A.E. - Spravočník po proiectirovaniu elementov jelezobetoníh constructii, Golovoe izdatelstvo "Vigcia Scola", Kiev, 1978
61. Magnel G. - Le béton précontraint, Editions Fècheyr, Gand, 1953
62. Mazars J. - Evolution of microcracks in concrete: the formation of cracks, Cahiers de l'A.F.B., nr 133, 1981
63. Mihoc Gh., s.a. - Teoria probabilităţilor şi statistică matematică, Editura Didactică şi Pedagogică, Bucureşti, 1970
64. Moenaert P. - Béton armé et béton précontraint, Dunod, Paris, 1967
65. Nasman A.E. - Partially prestressed beams: A unified design procedure for strength and serviceability, Symposia on partial pre-stressing, Bucureşti, 1980
66. Navy E.G., Huang P.T. - Crack and deflection control of pretensioned prestressed beams, JPCI, vol.22, no 3, 1977
67. Negoiţă Al., Dumitras M. - Calculul elementelor încovoiate din beton armat și beton precomprimat pe baza deformaţiilor specifice din secţiunea transversală, Sesionea Știinţifică a I.P.Cluj-Napoca, 1968
68. Nemirovski I.M., Nikitin N.V. - O coeeficiențe dlia rasciota jelezobetonnih elementov, Beton i jelezobeton, Moskva, 1969
69. Nemirovski I.M. - Issledovanie naprjavjeno-deformirovanovo sostoianija jelezobetonnih elementov s uciem rabotij rastiomistovo betona nad tressami i peremotri na etoi osnove teorii rasciota deformatii i raskritia tressoi, Stroisdat, Moskva, 1968
70. Nicula I., Onat T. - Beton armat, Editura Didactică și Pedagogică, Bucureşti, 1982
71. Niculescu S - Întuire în Fortran, Editura Tehnică, Bucureşti, 1972
72. Noar D. - Contribuţii la studiul stările limită de fisurare și rezistență în secțiunile normale la elementele precomprimate armate cu bare groase PC 90 și teroane TBP, Tesă de doctorat, I.P."T.Vuia", Timișoara, 1976
73. Ohada K., Kobayashi K., Matsumura H. - Effects of supplementary reinforcement on flexural and long-term behaviours in

unbonded prestressed concrete beams, FIP Symposia on partial pre-stressing, Bucureşti, 1980

74. Okada K., Toyofuku T. - Class three prestressed concrete beams in flexure and shear, FIP Symposia on partial prestressing, Bucureşti, 1980

75. Păiug S. - Contribuții privind studiul aderenței și influența ei asupra procesului de fisurare a elementelor din beton armat precomprimat cu armătură preîntinsă de tipul toroanelor, Teză de doctorat, I.P."T.Vuia", Timișoara, 1977

76. Rătraru M. - Contribuții la studiul stărilor limită de fisurare și rezistență, în secțiuni inclinate, la elementele precomprime cu bare groase PC 90 și toroane TBP, Teză de doctorat, I.P. "T.Vuia", Timișoara, 1975

77. Petruș O., Constantin O. - Biblioteca matematică generală SANDIA - versiunea FELIX C-256, Buletinul Român de Informatică, vol. III/6, Bucureşti, 1982

78. Pinglot M., Pons G. - Contribution à l'étude du béton partiellement précontraint, 7^e Congrès de la FIP, Contributions Techniques Françaises, New-York, 1974

79. Popăescu A. - Probleme ale comportării și calculului elementelor încovoiate din beton precomprimat cu precomprimare parțială, Teză de doctorat, Institutul de Construcții, București, 1983

80. Popăescu A., Löbel I., Tannenbaum M. - Probleme ale calculului la fisurare al elementelor din beton precomprimat, Revista Construcțiilor și materialelor de construcții, nr 6, București 1970

81. Popăescu A., Dumitrescu D. - Influența distribuției armăturii pretensionate și nepretensionate de rezistență asupra comportării sub încărcări a elementelor din beton precomprimat, Construcții, nr.4, București, 1977

82. Radogna E.P. - Some relevant stages of international activity on behaviour in service, maintenance and repair of concrete bridges, Bulletin d'Information CEB, No 163, Paris, 1983

83. Reagan S.R., Krahl W.H. - Behaviour of prestressed composite beams, Journal of the Structural Division, vol 93, 1967

84. Rungiski L.Z. - Prelucrarea matematică a datelor experimentale, Editura Tehnică, București, 1974

85. Rüsch H. - Interpretation statistique des essais de résistance du béton, Recommandation CEB II, Annexe 4, München, 1984

86. Sabnis G.M. - Handbook of composite construction engineering, Van Nostrand Reinhold Company, New York, 1979

87. Sălăgean T. - Statistica în sechuri, CSIO, Timișoara, 1973
88. Tertea I. - Betonul precomprimat, Editura Tehnică, București, 1981
89. Tertea I., Onete T. - Verificarea calității construcțiilor de beton armat și beton precomprimat, Editura Dacia, Cluj-Napoca, 1979
90. Tiron M. - Prelucrarea statistică și informațională a datelor de măsurare, Editura Tehnică, București, 1976
91. Toma Magdalena - Betonul parțial precomprimat verigă de legături între betonul armat și betonul precomprimat, Construcții, nr 12, București, 1972.
92. Toma Magdalena, Mircea D., Filip M., Popa P. - Aspecte privind comportarea sub încărcări de durată a elementelor încovioiate din beton obisnuit și ușor parțial precomprimate cu toroane sau cu bare PC 90, A IX-a Conferință de Betoane, Timișoara, 1982
93. Viespescu D., s.a. - Tehnologia lucrărilor de beton precomprimat, Editura Tehnică, București, 1979
94. Yule U.G., Kendall M.G. - Introducere în statistică, Editura Științifică, București, 1969
95. Worthing A.G., Geffner J. - Prelucrarea datelor experimentale, Editura Tehnică, București, 1959
96. x x x - Influența tipului și distribuției armăturii pretensionate asupra rezistenței la fisurare a elementelor din beton precomprimat - Cercetări experimentale etapa I, contract 4110/72, Referat I.P."T.Vuia", Timișoara, 1973
97. x x x - Influența tipului și distribuției armăturii pretensionate asupra rezistenței la fisurare a elementelor din beton precomprimat - Cercetări experimentale etapa II, contract 4110/72, Referat I.P."T.Vuia", Timișoara, 1975
98. x x x - Influența tipului și distribuției armăturii pretensionate asupra rezistenței la fisurare a elementelor din beton precomprimat - Concluzii finale și recomandări de proiectare, contract 4110/72, Referat I.P."T.Vuia", Timișoara, 1975
99. x x x - Metodă perfectionată de calcul pentru elementele din beton armat și beton precomprimat privind formarea și deschiderea fisurilor sub acțiunea momentelor încovioitoare, forțelor tăietoare și torsionii, Studiu final și propuneri provizorii de perfecționare, Referat INCERC, București, 1974
100. x x x - Metodă perfectionată de calcul pentru elementele din beton armat și beton precomprimat privind formarea și deschiderea fisurilor sub acțiunea momentelor încovioitoare, forțelor tăietoare

și tosiunii, Studiu final și propunerii previsorii de perfecționare,
Referat I.P.Iași, 1974

lo1. x x x - Studiu privind folosirea diferențiată a pre-comprimării parțiale în corelare cu condițiile de încărcare și exploatare la elemente și structuri. Propunerii pentru introducerea în proiecte tip, contract 9o/1983, Referat INCARC, București, 1983

lo2. x x x - Noi soluții teoretice și experimentale pentru elemente din beton parțial precomprimat folosite în construcții civile și industriale, Cercetari experimentale, etapa I, contract 87o/1981, ICCPDC - Filiala Timișoara, 1982

lo3. x x x - Noi soluții teoretice și experimentale pentru elemente din beton parțial precomprimat folosite în construcții civile și industriale, Cercetari experimentale, etapa II, contract 87o/1981, ICCPDC - Filiala Timișoara, 1983

lo4. x x x - Noi soluții teoretice și experimentale pentru elemente din beton parțial precomprimat folosite în construcții civile și industriale, Instrucțiuni privind proiectarea elementelor din beton precomprimat parțial, cu suprabetonare, folosind armături pretensionate și nepretensionate complementare de rezistență, contract 87o/1981, ICCPDC - Filiala Timișoara, 1982

lo5. x x x - Noi soluții teoretice și experimentale pentru elemente din beton parțial precomprimat folosite în construcții civile și industriale, Instrucțiuni privind proiectarea elementelor din beton precomprimat parțial, cu suprabetonare, folosind armături pretensionate și nepretensionate complementare de rezistență, contract 87o/1981, ICCPDC - Filiala Timișoara, 1983

lo6. x x x - Normativ condiționat pentru calculul construcțiilor la stările limită, P 3-62, CSCAS, București, 1962

lo7. x x x - STAS lolo2-75, Construcții din beton, beton armat și beton precomprimat. Prevederi fundamentale pentru calculul și alcătuirea elementelor, București, 1975

lo8. x x x - STAS lolo7/o-76, Construcții civile și industriale. Calculul și alcătuirea elementelor din beton, beton armat și beton precomprimat, București, 1976

lo9. x x x - STAS lolo7/o-83, Construcții civile și industriale. Calculul și alcătuirea elementelor din beton, beton armat și beton precomprimat, București, 1983

llo. x x x - STAS loll1/2-77, Poduri din beton, beton armat și beton precomprimat. Calculul suprastructurilor, București, 1976

111. x x x - STAS 10111/2-77 (Revizuire), Poduri din beton, beton armat și beton precomprimat. Calculul suprastructurilor, Medadătarea I, București, 1983

112. x x x - Code-Model CEB-FIP pour les structures en béton, Bulletin d'Information CEB 124/125-F, Paris, 1978

113. x x x - Manuel CEB de Calcul "Fissuration et Déformation" (Final Draft), Bulletin d'Information, № 143, Paris, 1981

114. x x x - SdR II-21-75, Norme proiectirovania, betonnie i jelenobetonnie konstrukcii, Moskva, 1976

115. x x x - PC 119/74, Norme de proiectare pentru elementele de construcții din beton, beton armat și beton precomprimat, 1974

116. x x x - Instrucțiuni tehnice pentru proiectarea elementelor din beton precomprimat parțial, folosind armături pretensionate și nepretensionate complementare, P 103-32, București, 1983

117. x x x - Îndrumător tehnic departamental pentru alcătuirea și calculul structurilor de poduri și podețe de goseni cu suprastructuri monolite și prefabricate, IPTANA, București, 1982

118. x x x - Perfectionarea metodelor de calcul și alcătuire a elementelor (liniare și bidimensionale) și structurilor de beton armat, beton precomprimat și compuse otel-beton la solicitări statice și alternative de tip seismic, contract 873/1981, ICUPDC - Filiala Timișoara, 1981

119. x x x - Catalog de elemente prefabricate din beton armat și beton precomprimat, vol.I, IPT, București, 1981

120. x x x - Recommandations de "Nordic Concrete Federation", Informare scrisă Comisia IV-a CEB, Liège, 1974

Tabelul 5.1

Momente încovoiatoare și forțe de fizurare

| Element | δ_0 (cm ³) | A_{bi} (cm ²) | r_s (cm) | r_o | V_f (cm ³) | R_t (daN/cm) | M_o^s (daNm) | L_p^t (daNm) | P_p^t (daN) |
|---------|----------------------------------|--------------------------------|---------------|-------|-----------------------------|-------------------|-------------------|-------------------|------------------|
| A1 | 5232 | 586 | 8,91 | 1,5 | 7850 | 43,2 | 4100 | 6330 | 4681 |
| A2 | 2021 | 421 | 4,80 | 1,75 | 3540 | 39,1 | 4123 | 6350 | 4704 |
| A3 | 2021 | 421 | 4,80 | 1,75 | 3540 | 39,1 | 3340 | 4490 | 3326 |
| A4 | 2021 | 421 | 4,80 | 1,75 | 3540 | 39,1 | 3340 | 4490 | 3326 |
| B1 | 5208 | 567 | 9,19 | 1,5 | 7810 | 43,8 | 4230 | 6630 | 4911 |
| B2 | 2220 | 420 | 5,28 | 1,75 | 3890 | 44,2 | 4250 | 8630 | 4911 |
| B3 | 2220 | 420 | 5,28 | 1,75 | 3890 | 44,2 | 3260 | 4525 | 3352 |
| B4 | 2220 | 420 | 5,28 | 1,75 | 3890 | 44,2 | 3280 | 4525 | 3352 |
| C1 | 5033 | 551 | 9,22 | 1,5 | 7630 | 39,5 | 2320 | 4650 | 3444 |
| C2 | 2354 | 404 | 5,8 | 1,75 | 3920 | 45,0 | 2320 | 4650 | 3444 |
| C3 | 2354 | 404 | 5,8 | 1,75 | 3920 | 45,0 | 2790 | 4890 | 3622 |
| C4 | 2354 | 404 | 5,8 | 1,75 | 3920 | 45,0 | 2790 | 4890 | 3622 |
| D1 | 5119 | 556 | 9,2 | 1,5 | 7680 | 43,6 | 2680 | 5130 | 2085 |
| D2 | 2400 | 409 | 5,9 | 1,75 | 4000 | 37,6 | 2770 | 4130 | 2085 |
| D3 | 2400 | 409 | 5,9 | 1,75 | 4000 | 37,6 | 2550 | 4710 | 3488 |
| D4 | 2400 | 409 | 5,9 | 1,75 | 4000 | 37,6 | 2550 | 4710 | 3488 |
| E11 | 5100 | 573 | 8,9 | 1,5 | 7650 | 43,5 | 4890 | 7830 | 5800 |
| E12 | 5040 | 569 | 8,80 | 1,5 | 7550 | 36,7 | 4900 | 7840 | 5810 |
| E21 | 5040 | 569 | 8,80 | 1,5 | 7550 | 36,7 | 2140 | 4570 | 3385 |
| E22 | 5040 | 569 | 8,80 | 1,5 | 7550 | 36,7 | 2160 | 4590 | 3400 |
| F11 | 5050 | 565 | 8,94 | 1,5 | 7560 | 38,5 | 3570 | 6220 | 4607 |
| F12 | 5050 | 565 | 8,94 | 1,5 | 7560 | 38,5 | 3350 | 5210 | 4600 |
| F21 | 5090 | 560 | 9,07 | 1,5 | 7640 | 43,3 | 1530 | 4790 | 3548 |
| F22 | 5090 | 560 | 9,07 | 1,5 | 7640 | 43,3 | 1540 | 4800 | 3555 |
| G11 | 5050 | 565 | 8,94 | 1,5 | 7560 | 44,0 | 2150 | 5340 | 3955 |
| G12 | 5050 | 565 | 8,94 | 1,5 | 7560 | 44,0 | 2160 | 5360 | 3970 |
| G21 | 5090 | 560 | 9,07 | 1,5 | 7640 | 40,7 | 940 | 3940 | 2919 |
| G22 | 5090 | 560 | 9,07 | 1,5 | 7640 | 40,7 | 930 | 3920 | 2904 |

Tabelul 5.2

Momenete încoeroatoare și forțe de rupere

| Element | σ_{p1} (daN/cm ²) | R_o (daN/cm ²) | α_p | x (cm) | $h_o - \frac{t}{2}$ (cm) | L_r^t (daNm) | P_2^t (daN) |
|---------|---|---------------------------------|------------|-----------|-----------------------------|-------------------|------------------|
| A1;A2 | 14900 | 357 | 0,415 | 3,75 | 32,13 | 7400 | 5481 |
| A3;A4 | 14600 | 344 | 0,475 | 3,82 | 29,09 | 6500 | 4815 |
| B1 | 16050 | 368 | 0,359 | 3,27 | 32,37 | 6540 | 4844 |
| B2 | 15700 | 375 | 0,427 | 3,19 | 26,4 | 5260 | 3896 |
| B3 | 15850 | 337 | 0,221 | 2,11 | 32,95 | 3970 | 2941 |
| C1 | 16000 | 378 | 0,197 | 1,90 | 33,05 | 5050 | 3741 |
| C2 | 16700 | 371 | 0,237 | 2,25 | 32,88 | 4670 | 3459 |
| D3 | 16500 | 357 | 0,271 | 2,31 | 29,85 | 5120 | 3793 |
| D4 | 14650 | 326 | 0,459 | 4,03 | 31,96 | 8240 | 6103 |
| E21 | 16600 | 334 | 0,265 | 2,49 | 32,76 | 5620 | 4162 |
| F11 | 14900 | 355 | 0,418 | 3,75 | 32,13 | 7270 | 5385 |
| F12 | 16500 | 317 | 0,279 | 2,61 | 32,70 | 5600 | 4148 |
| G11 | 14900 | 357 | 0,417 | 3,73 | 32,14 | 7320 | 5482 |
| G21 | 16400 | 302 | 0,293 | 2,73 | 32,64 | 4600 | 3407 |

Tabelul 5.23

| Element | A_p (cm^2) | ρ (kg) | Amprenta prelata. | | Amprenta transv. | | S.I. unifar | | In urma in- | | In date incercare | |
|---------|----------------------------|---------------------------|-------------------|-----------------|------------------|-----------------|--------------------------|-------|-------------|-------|-------------------|-----|
| | | | zona centrală | zona margini | zona centrală | zona margini | in are. la transf. la | po- | po- | po- | po- | po- |
| R1 R2 | 1,75 | 0,317 | 82/20 | 85/10 | 93/5 | 96 | 35 | 8902 | 0,523 | 16100 | 14,58 | |
| A3 A4 | 1,19 | 0,317 | 66/20 | 66/10 | 92/10 | 94/30 | 37 | 9009 | 0,535 | 16250 | 16,92 | |
| B1 B2 | 1,498 | 0,74 | 66/20 | 66/20 | 92/10 | 95/10 | 53 | 8655 | 0,510 | 15500 | 16,92 | |
| B3 B4 | 1,493 | 0,74 | 66/20 | 66/10 | 11740 | 11700 | 42 | 11069 | 0,615 | 16550 | 14,59 | |
| C1 C2 | 0,395 | 0,438 | 66/20 | 66/10 | 11260 | 11265 | 64 | 10731 | 0,615 | 16750 | 16,03 | |
| C3 C4 | 0,895 | 0,438 | 66/20 | 66/20 | 11030 | 11030 | 49 | 10415 | 0,650 | 9370 | 14,27 | |
| D1 D2 | 0,999 | 0,49 | 66/20 | 66/20 | 10316 | 10316 | 63 | 10415 | 0,650 | 9250 | 16,03 | |
| D3 D4 | 0,999 | 0,49 | 66/20 | 66/20 | 9254 | 9254 | 63 | 8890 | 0,515 | 8870 | 14,4 | |
| E1 E2 | 1,79 | 0,877 | 66/30 | 66/20 | 9360 | 9360 | 63 | 8890 | 0,495 | 9250 | 16,05 | |
| F1 F2 | 0,924 | 0,49 | 66/30 | 66/20 | 11350 | 11445 | 63 | 8890 | 0,635 | 3890 | 14,55 | |
| G1 G2 | 1,79 | 0,877 | 66/30 | 66/20 | 14005 | 14005 | 63 | 10928 | 0,641 | 19560 | 16,05 | |
| H1 H2 | 0,999 | 0,49 | 66/30 | 66/20 | 13649 | 13649 | 63 | 13640 | 13640 | 13670 | 14,4 | |
| I1 I2 | 1,79 | 0,877 | 66/30 | 66/20 | 14105 | 14105 | 63 | 13649 | 0,758 | 14446 | 14,55 | |
| J1 J2 | 0,999 | 0,49 | 66/30 | 66/20 | 8475 | 8475 | 63 | 9500 | 0,473 | 14320 | 14,4 | |
| K1 K2 | 1,79 | 0,877 | 66/30 | 66/20 | 14020 | 14020 | 63 | 9525 | 0,470 | 9500 | 14,4 | |
| L1 L2 | 0,999 | 0,49 | 66/30 | 66/20 | 4960 | 4960 | 63 | 9755 | 0,470 | 3790 | 14,55 | |
| M1 M2 | 1,79 | 0,877 | 66/30 | 66/20 | 5050 | 4934 | 63 | 4934 | 0,320 | 6080 | 14,4 | |
| N1 N2 | 0,999 | 0,49 | 66/30 | 66/20 | 6090 | 5940 | 63 | 6090 | 0,320 | 5940 | 14,4 | |

Caracteristicile elementelor experimentale din etapa I

Tabelul 5.24

Caracteristicile betonului folosit în etapa I

| Ele- ment | Nume beto- nului | Rezistență la op- rirea unghiulară/ daN/cm^2 | | | Rezistență la in- tindere (daN/cm^2) | | Modulul de elastici- tate E_b (daN/cm^2) |
|--------------|------------------------|---|-------|----------|---|----------------------|--|
| | | R_b | R_c | R_{pr} | experi- mentală R_t^0 | calculată R_t^c | |
| A1 | 440 | 460 | 357 | 295 | 43,2 | 28,5 | 266000 |
| A2 | 442 | 460 | 357 | 295 | 43,2 | 28,5 | 266000 |
| A3 | 412 | 440 | 344 | 290 | 39,1 | 27,5 | 262000 |
| A4 | 410 | 440 | 344 | 290 | 39,1 | 27,5 | 262000 |
| B1 | 452 | 475 | 363 | 300 | 43,8 | 29,5 | 270000 |
| B2 | 447 | 475 | 368 | 300 | 43,8 | 29,5 | 270000 |
| B3 | 435 | 485 | 375 | 295 | 44,2 | 29,8 | 270000 |
| B4 | 430 | 385 | 375 | 295 | 44,2 | 29,8 | 270000 |
| C1 | 407 | 430 | 337 | 290 | 39,5 | 27,0 | 260000 |
| C2 | 410 | 430 | 337 | 290 | 39,5 | 27,0 | 260000 |
| C3 | 455 | 490 | 378 | 315 | 45,0 | 32,5 | 285000 |
| C4 | 455 | 490 | 378 | 315 | 45,0 | 32,5 | 285000 |
| D1 | 455 | 480 | 371 | 305 | 43,6 | 31,5 | 277000 |
| D2 | 455 | 480 | 371 | 305 | 43,6 | 31,5 | 277000 |
| D3 | 435 | 460 | 357 | 295 | 37,6 | 28,5 | 265000 |
| D4 | 435 | 460 | 357 | 295 | 37,6 | 28,5 | 265000 |
| E11 | 370 | 414 | 326 | 256 | 43,5 | 26,9 | 304000 |
| E12 | 390 | 414 | 326 | 256 | 43,5 | 26,9 | 304000 |
| E21 | 423 | 426 | 334 | 270 | 36,7 | 27,4 | 335000 |
| E22 | 423 | 426 | 334 | 270 | 36,7 | 27,4 | 335000 |
| F11 | 412 | 456 | 355 | 262 | 38,5 | 28,6 | 317000 |
| F12 | 412 | 456 | 355 | 262 | 38,5 | 28,6 | 300000 |
| F21 | 370 | 402 | 317 | 258 | 43,3 | 26,5 | 312000 |
| F22 | 370 | 402 | 317 | 258 | 43,3 | 26,5 | 312000 |
| G11 | 420 | 460 | 357 | 287 | 44,0 | 28,7 | 328000 |
| G12 | 420 | 460 | 357 | 287 | 44,0 | 28,7 | 328000 |
| G21 | 353 | 380 | 302 | 247 | 40,7 | 25,7 | 307000 |
| G22 | 353 | 380 | 302 | 247 | 40,7 | 25,7 | 307000 |

$$R_0 = (0,87 - 0,0002 E_b) R_b$$

$$R_t^0 = 0,57 E_b^{2/3}$$

Tabelul 5.25

Caracteristicile elementelor experimentale din etapa II

| Element | <u>Aria longitudinală</u> | | | | Durata de la transfer la incinare (zile) | Durata de la turnarea betonului până la încinare (zile) |
|---------|----------------------------|---------------------------------|----------------------------|---------------------------------|--|---|
| | A_d (cm^2) | $p = \frac{A_d}{A_{bo}}$ (%) | A_u (cm^2) | $p = \frac{A_u}{A_{bo}}$ (%) | | |
| GP 1-1 | 7,16 | 0,62 | 4,71 | 0,41 | 133 | 28 |
| GP 1-2 | 7,16 | 0,34 | 4,71 | 0,23 | 145 | 48 |
| GP 2-1 | 5,37 | 0,46 | 6,79 | 0,59 | 187 | 34 |
| GP 2-2 | 5,37 | 0,26 | 6,79 | 0,33 | 226 | 62 |
| GP 3-1 | 3,58 | 0,31 | 12,06 | 1,04 | 196 | 41 |
| GP 3-2 | 3,58 | 0,17 | 12,06 | 0,59 | 281 | 120 |
| GP 4 | 8,95 | 0,77 | 4,02 | 0,34 | 126 | - |
| GP 5 | 7,16 | 0,62 | 6,53 | 0,56 | 118 | - |
| GP 6 | 5,37 | 0,46 | 12,56 | 1,08 | 105 | - |

Tabelul 5.26

Caracteristicile betonului folosit în etapa II

| Element | Masă betonu- lui (daN/cm^3) | Rezistență la com- presiune (daN/cm^2) | | | Rezistență la întindere (daN/cm^2) | Modulul de elas- ticitate (daN/cm^2) | | |
|---------|--|---|------------|------------|--|---|--------------|------------------|
| | | R_b | R_c | R_{pr} | | | | |
| GP 1-1 | b.arm. b.prec. | 518 | 345 532 | 276 406 | 259 451 | - 38,9 | 24,2 31,3 | 252550 324970 |
| GP 1-2 | b.arm. b.prec. | 518 | 373 558 | 297 423 | 260 447 | - 41,0 | 25,4 32,1 | 266950 324720 |
| GP 2-1 | b.arm. b.prec. | 430 | 337 458 | 271 357 | 239 345 | - 43,0 | 23,8 28,7 | 272650 291660 |
| GP 2-2 | b.arm. b.prec. | 430 | 341 463 | 273 359 | 247 353 | - 44,0 | 24,0 23,8 | 279900 292000 |
| GP 3-1 | b.arm. b.prec. | 428 | 300 431 | 243 338 | 266 272 | - 34,7 | 22,2 27,6 | 273830 292000 |
| GP 3-2 | b.arm. b.prec. | 428 | 313 460 | 253 358 | 270 265 | - 43,8 | 21,7 28,7 | 279310 292300 |
| GP 4 | | 504 | 515 | 395 | 399 | 42,6 | 30,7 | 333540 |
| GP 5 | | 458 | 504 | 388 | 308 | 38,1 | 30,4 | 305360 |
| GP 6 | | 447 | 504 | 388 | 333 | 40,0 | 30,4 | 297680 |

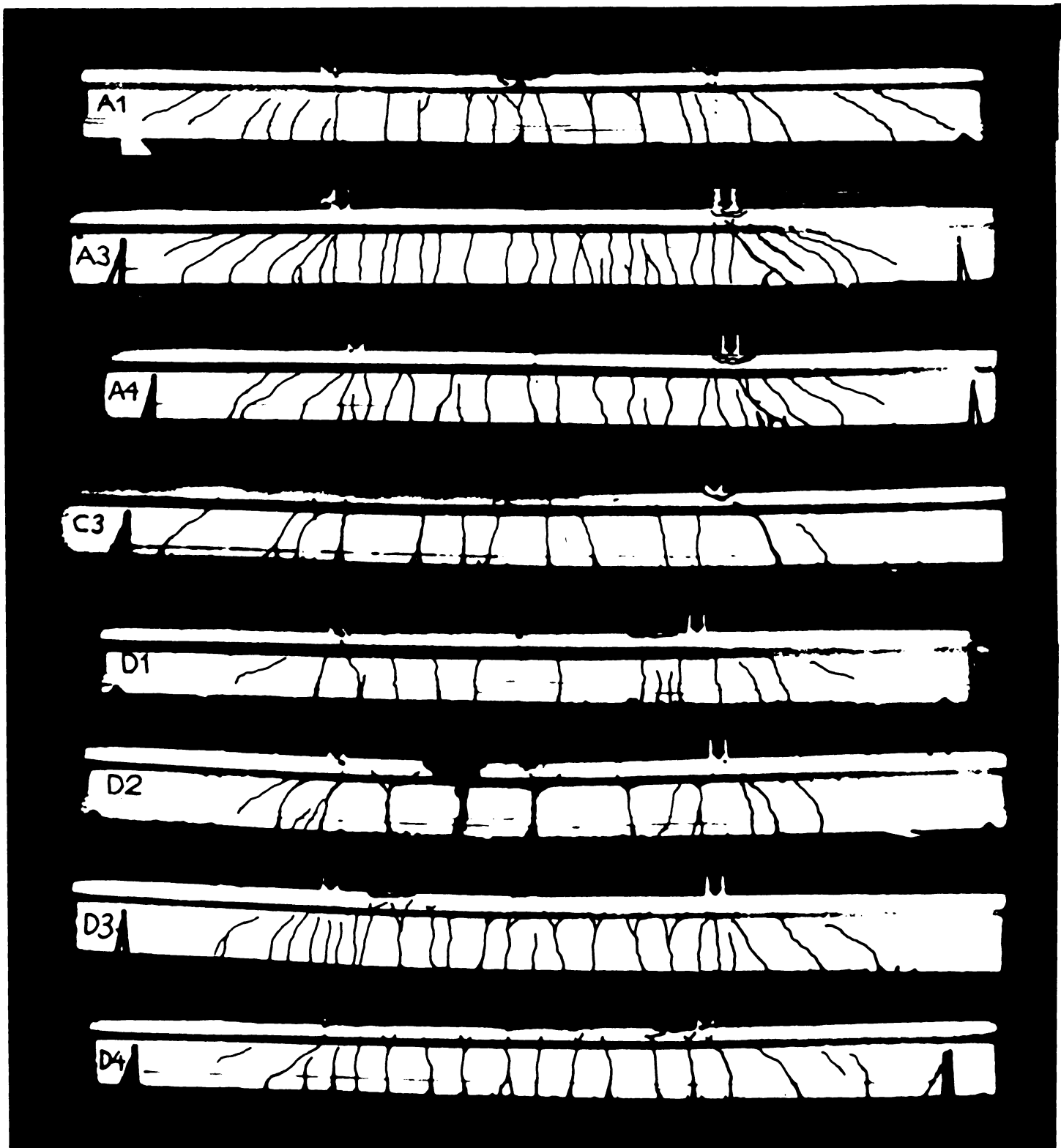


Fig.5.19

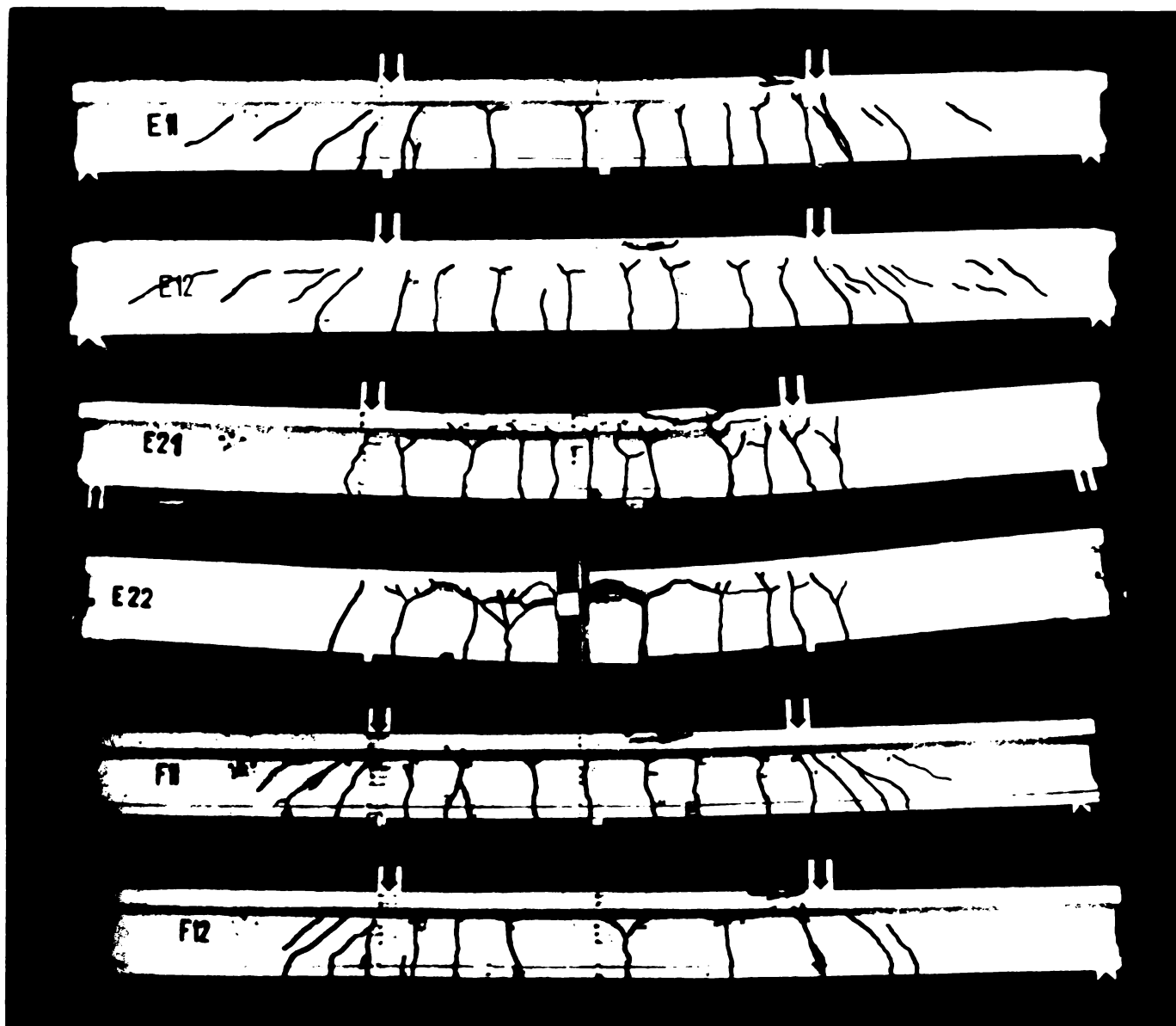


Fig.5.20 a

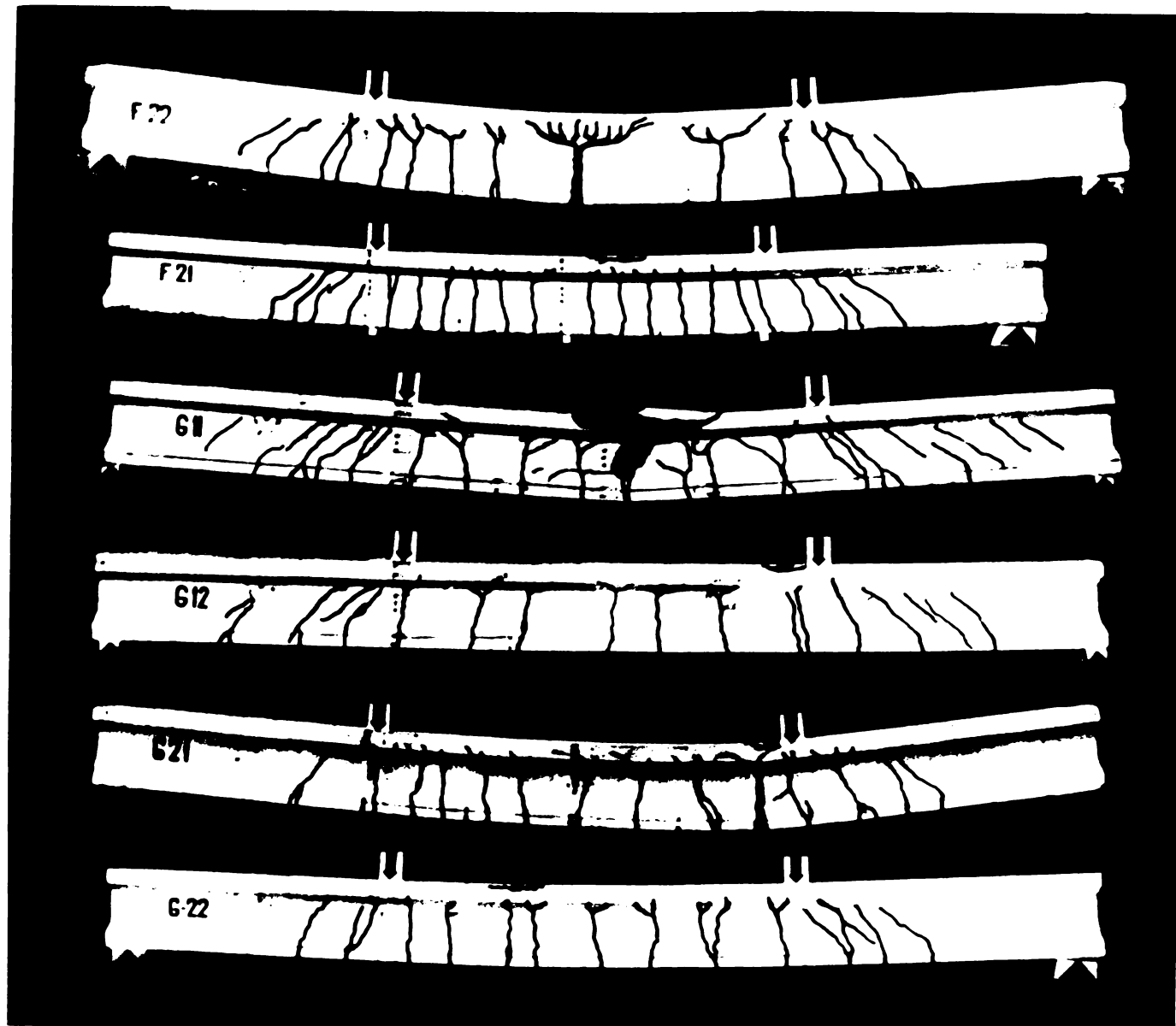


Fig.5.20 b

Tabelul 5.27

Caracteristicile armaturilor (stapa II)

| Tipul armaturii | $G_{0,2}$ (daN/cm ²) | G_r (daN/cm ²) | Modul de elasticitate (daN/cm ²) |
|--------------------|-------------------------------------|---------------------------------|---|
| TBP 12 | 16930 | 18000 | 2276000 |
| 48 PC52 | 3760 | 5535 | 2093000 |
| 610 PC52 | 3930 | 5460 | 1915000 |
| 612 PC52 | 4093 | 5360 | 2212500 |
| 616 PC52 | 3532 | 5175 | 1658000 |

Tabelul 5.28

Determinarea stării de decompresiune la elementele compuse

| Ele- ment de calcul | Nivel de calcul | Eforturi unitare (daN/cm ²) | | | | | | comant in mo- mentul de de- incov. incer- carii de pres. | Starea de de- compre- (daN/ cm ²) |
|------------------------------|-----------------------|---|-------|-------|-------|-------|--------|---|---|
| GP1-1 | {ba}s | 0,58 | -1,39 | -2,29 | 0,15 | -2,96 | | | 46,02 |
| | {ba}i | 0,40 | -0,39 | -3,05 | 0,05 | -2,99 | | 30391 | 31,35 |
| | {bp}s | -18,5 | 0,51 | 1,76 | 4,34 | 0,06 | -11,38 | | 31,61 |
| | {bp}i | 100,5 | -1,11 | -1,70 | -2,28 | -0,09 | 34,51 | | 0 |
| GP1-2 | {ba}s | 0,58 | -2,32 | -3,40 | 0,27 | -4,87 | | | 43,11 |
| | {ba}i | 0,41 | -0,61 | -4,56 | 0,06 | -4,68 | | 20412 | 28,85 |
| | {ba}s | -18,4 | 0,50 | 2,91 | 7,21 | 0,10 | -7,72 | | 33,07 |
| | {bp}i | 100,0 | -1,11 | -2,9 | -3,40 | -1,60 | 91,07 | | 0 |
| GP2-1 | {ba}s | 0,62 | -1,10 | -2,11 | 0,12 | -2,46 | | | 34,27 |
| | {ba}i | 0,43 | -0,23 | -2,98 | 0,03 | -2,76 | | | 22,50 |
| | {bp}s | -10,7 | 0,45 | 1,30 | 4,65 | 0,03 | -4,29 | 21058 | 22,06 |
| | {bp}i | 68,59 | -1,08 | -1,28 | -2,20 | -0,67 | 63,36 | | 0 |
| GP2-2 | {ba}s | 0,62 | -2,87 | -4,58 | 0,36 | -6,73 | | | 26,27 |
| | {ba}i | 0,43 | -0,56 | -6,86 | 0,09 | -6,90 | | 18921 | 15,79 |
| | {bp}s | -10,74 | 0,45 | 3,38 | 10,71 | 0,10 | 3,86 | | 27,50 |
| | {bp}i | 68,68 | -1,08 | -3,58 | -5,07 | -2,02 | 56,93 | | 0 |
| GP3-1 | {ba}s | 0,63 | -0,80 | -2,33 | 0,10 | -2,41 | | | 17,80 |
| | {ba}i | 0,43 | -0,16 | -3,33 | 0,03 | -3,02 | | | 11,01 |
| | {bp}s | -4,28 | 0,45 | 0,94 | 5,28 | 0,03 | 2,42 | 11578 | 17,11 |
| | {bp}i | 39,42 | -1,06 | -1,0 | -2,51 | -0,55 | 34,31 | | 0 |
| GP3-2 | {ba}s | 0,63 | -2,92 | -5,91 | 0,49 | -7,72 | | | 7,20 |
| | {ba}i | 0,43 | -0,43 | -8,43 | 0,13 | -8,35 | | | 1,98 |
| | {bp}s | -4,29 | 0,45 | 3,32 | 13,38 | 0,14 | 13,00 | 8523 | 23,81 |
| | {bp}i | 39,44 | -1,08 | -4,13 | -6,35 | -2,65 | 29,25 | | 0 |

Tabelul 5.29.

Calculul momentului incovoietor și al forței de fisurare pentru elementele compuse

| Element | R_t (daN/cm ²) | x (cm) | ΔL_f (daNm) | L_d (daNm) | L_f^t (daNm) | F_f^t (daN) |
|---------|---------------------------------|-----------|------------------------|-----------------|-------------------|------------------|
| QP 1-1 | 38,9 | 43,08 | 19320 | 30391 | 49711 | 28420 |
| QP 1-2 | 41,0 | 42,83 | 20419 | 29412 | 49831 | 28450 |
| QP 2-1 | 43,0 | 38,05 | 21326 | 21058 | 42384 | 24200 |
| QP 2-2 | 44,0 | 39,69 | 22037 | 18921 | 40958 | 23400 |
| QP 3-1 | 34,7 | 37,81 | 17157 | 11578 | 28735 | 16430 |
| QP 3-2 | 43,0 | 38,57 | 21734 | 8523 | 30277 | 17300 |

Tabelul 5.30

Calculul momentului incoveietor și al forței de fisurare pentru elementele precomprimate

| El- em- ent | V_0 (cm ³) | A_{bi} (cm ²) | r_0 (cm) | γ_0 | V_f (cm ³) | R_t (daN/ cm ²) | L_0^s (daNm) | L_f^t (daNm) | F_f^t (daN) |
|-------------------|-----------------------------|--------------------------------|---------------|------------|-----------------------------|-------------------------------------|-------------------|-------------------|------------------|
| QP 4 | 23428 | 1471 | 15,93 | 1,5 | 35142 | 42,6 | 30212 | 45183 | 25819 |
| QP 5 | 24165 | 1484 | 16,28 | 1,5 | 36248 | 38,1 | 23525 | 37336 | 21335 |
| QP 6 | 25428 | 1514 | 16,79 | 1,5 | 38142 | 40,0 | 16169 | 31427 | 17958 |

Tabelul 5.31

Calculul momentului încovoiator și al forței de rupere (etapa II)

| Element | A_p (cm^2) | A_a (cm^2) | $\frac{C_{0,2} (\text{daN/cm}^2)}{A_p}$ | α_p | α_a | C_{pl} (daN/cm^2) | Lățimea zonei comprim. | x (cm) | M_T^k (daN) | P_t^k (daN) | P_e^k (daN) |
|---------|----------------------------|----------------------------|---|------------|------------|-----------------------------------|------------------------------|-------------|------------------|------------------|------------------|
| QP 1-1 | 7,16 | 4,71 | 16980 | 3930 | 0,119 | 40153 | 15302 | 54,4 | 8,52 | 93960 | 53600 |
| QP 1-2 | 7,16 | 4,71 | 16980 | 3930 | 0,117 | 40149 | 16302 | 56,2 | 8,50 | 93990 | 53600 |
| QP 2-1 | 5,37 | 6,79 | 16980 | 4093 | 0,083 | 4029 | 16379 | 60,7 | 7,66 | 83329 | 47700 |
| QP 2-2 | 5,37 | 6,79 | 16980 | 4093 | 0,083 | 4029 | 16379 | 60,8 | 7,66 | 83329 | 47700 |
| QP 3-1 | 3,58 | 12,06 | 16980 | 3532 | 0,076 | 4039 | 16400 | 57,5 | 5,71 | 78404 | 44700 |
| QP 3-2 | 3,58 | 12,06 | 16980 | 3532 | 0,074 | 4037 | 16400 | 56,5 | 5,71 | 78404 | 44700 |
| QP 4 | 8,95 | 4,02 | 16980 | 3760 | 0,153 | 40142 | 16142 | 40 | 10,1 | 92840 | 53600 |
| QP 5 | 7,16 | 6,53 | 16980 | 48-3760 | 0,123 | 40227 | 16254 | 40 | 9,06 | 84800 | 48500 |
| QP 6 | 5,38 | 12,56 | 16980 | 412-4093 | 0,092 | 40446 | 16289 | 40 | 8,66 | 82100 | 46900 |
| | | | 416-3532 | | | | | | | | 25200 |

Tabelul 5.32

Gradul de prăcăprimare κ

| Element | N _o (dat) | e ₀ (cm) | r _s (cm) | l _a N _o (e ₀ +r _s) (tm) | Treapta de încărcare pentru $\alpha =$ | | | |
|---------|-------------------------|------------------------|------------------------|--|--|-------|------------------------|-------|
| | | | | | M _e (tm) | k | M _e (tm) | k |
| E11 | 19410 | 14,45 | 8,9 | 4,55 | 6,07 | 0,750 | 6,60 | 0,689 |
| E12 | 19500 | 14,45 | 8,9 | 4,59 | 6,75 | 0,680 | 7,10 | 0,646 |
| E21 | 13640 | 14,40 | 8,8 | 3,18 | 4,05 | 0,785 | 4,20 | 0,757 |
| E22 | 13670 | 14,40 | 8,8 | 3,18 | 4,39 | 0,724 | 4,85 | 0,656 |
| P11 | 14440 | 14,45 | 8,94 | 3,39 | 5,53 | 0,613 | 5,80 | 0,584 |
| P12 | 14320 | 14,45 | 8,94 | 3,36 | 4,73 | 0,710 | 5,20 | 0,646 |
| P21 | 9500 | 14,40 | 9,07 | 2,23 | 3,51 | 0,635 | 3,80 | 0,587 |
| P22 | 9750 | 14,40 | 9,07 | 2,29 | - | - | - | - |
| G11 | 3790 | 14,45 | 8,94 | 2,06 | 3,544 | 0,582 | 3,71 | 0,555 |
| G12 | 8830 | 14,45 | 8,94 | 2,07 | 3,71 | 0,558 | 3,71 | 0,557 |
| G21 | 6680 | 14,40 | 9,07 | 1,43 | 1,92 | 2,03 | 2,00 | 1,86 |
| G22 | 5940 | 14,40 | 9,07 | 1,39 | 1,86 | 0,747 | 2,00 | 0,747 |

Tabelul 5.33

Coeficientul de coniacrare ψ (etapa II)

| Element | M_g^e (tm) | ΔG_p (dew/cm ²) | λ_f (cm) | α_f (mm) | ψ |
|---------|-----------------|--|---------------------|--------------------|--------|
| GP 1-1 | 55,0 | 2202 | 14,5 | 0,110 | 0,620 |
| GP 1-2 | 56,5 | 2913 | 15,5 | 0,130 | 0,519 |
| GP 2-1 | 48,9 | 2411 | 13,9 | 0,100 | 0,537 |
| GP 2-2 | 48,9 | 2171 | 12,8 | 0,090 | 0,582 |
| GP 3-1 | 47,0 | 2192 | 15,4 | 0,120 | 0,736 |
| GP 3-2 | 45,5 | 2239 | 13,8 | 0,120 | 0,699 |
| GP 4 | 51,5 | 1543 | 10,05 | 0,095 | - |
| GP 5 | 42,0 | 1210 | 10,65 | 0,062 | 0,866 |
| GP 6 | 44,2 | 1768 | 9,7 | 0,065 | 0,682 |

Tabelul 5.34

| Ele- ment | ΔG_p | JUL 1967/0-16 STA; 10107/083 pt. $\psi = 2(\pi)$ | | | | | Relatia jumplui.. "pe baza lui" $\frac{\alpha_f^e}{\alpha_f^t} / \frac{\alpha_f^t}{\alpha_f^e}$ | | | | | Lloyd- Rejali- Keuler | | | | | Navy-Huang | | |
|--------------|--------------|--|------------------------|---------------------------------|------------------------|---------------------------------|---|---------------------------------|------------------------|---------------------------------|------------------------|---------------------------------|------------------------|---------------------------------|------------------------|---------------------------------|------------------------|---------------------------------|------------------------|
| | | α_f^e (mm) | α_f^t (mm) | $\frac{\alpha_f^e}{\alpha_f^t}$ | α_f^t (mm) | $\frac{\alpha_f^e}{\alpha_f^t}$ | α_f^t (mm) | $\frac{\alpha_f^e}{\alpha_f^t}$ | α_f^t (mm) | $\frac{\alpha_f^e}{\alpha_f^t}$ | α_f^t (mm) | $\frac{\alpha_f^e}{\alpha_f^t}$ | α_f^t (mm) | $\frac{\alpha_f^e}{\alpha_f^t}$ | α_f^t (mm) | $\frac{\alpha_f^e}{\alpha_f^t}$ | α_f^t (mm) | $\frac{\alpha_f^e}{\alpha_f^t}$ | α_f^t (mm) |
| 1 | 2 | 3 | 4 | 5 | 6 | 7 | 8 | 9 | 10 | 11 | 12 | 13 | 14 | 15 | 16 | 17 | | | |
| A1 | 2635 | 0,100 | 0,247 | 0,680 | 0,118 | 0,544 | 0,123 | 0,813 | 0,171 | 0,586 | 0,279 | 0,358 | 0,154 | 0,649 | 0,266 | 0,376 | | | |
| A2 | 2635 | 0,130 | 0,247 | 0,837 | 0,118 | 0,544 | 0,120 | 1,082 | 0,169 | 0,769 | 0,279 | 0,466 | 0,154 | 0,844 | 0,269 | 0,434 | | | |
| A3 | 1850 | 0,100 | 0,210 | 0,900 | 0,088 | 1,235 | 0,060 | 1,667 | 0,078 | 1,280 | 0,137 | 0,722 | 0,072 | 1,389 | 0,095 | 1,054 | | | |
| A4 | 1850 | 0,108 | 0,208 | 1,000 | 0,087 | 1,240 | 0,074 | 1,459 | 0,072 | 1,510 | 0,137 | 0,788 | 0,072 | 1,500 | 0,095 | 1,140 | | | |
| B1 | 2303 | 0,110 | 0,074 | 1,436 | 0,059 | 1,289 | 0,158 | 0,636 | 0,112 | 0,983 | 0,235 | 0,463 | 0,153 | 0,729 | 0,197 | 0,558 | | | |
| B2 | 2303 | 0,123 | 0,074 | 1,864 | 0,059 | 1,491 | 0,133 | 1,038 | 0,111 | 1,243 | 0,235 | 0,587 | 0,153 | 0,902 | 0,196 | 0,703 | | | |
| B3 | 1324 | 0,130 | 0,065 | 1,538 | 0,052 | 1,230 | 0,075 | 1,333 | 0,068 | 1,470 | 0,150 | 0,667 | 0,078 | 1,282 | 0,094 | 0,543 | | | |
| B4 | 1308 | 0,095 | 0,083 | 1,142 | 0,066 | 0,629 | 0,080 | 1,183 | 0,063 | 1,510 | 0,150 | 0,633 | 0,077 | 1,234 | 0,094 | 1,007 | | | |
| C3 | 1203 | 0,130 | 0,100 | 1,300 | 0,086 | 1,250 | 0,107 | 1,215 | 0,073 | 1,780 | 0,039 | 1,461 | 0,041 | 3,170 | 0,096 | 2,354 | | | |
| C4 | 1203 | 0,133 | 0,110 | 1,218 | 0,088 | 1,245 | 0,093 | 1,430 | 0,073 | 1,821 | 0,089 | 1,494 | 0,041 | 3,240 | 0,096 | 2,356 | | | |
| D3 | 3163 | 0,108 | 0,145 | 1,074 | 0,116 | 0,595 | 0,140 | 0,772 | 0,166 | 0,650 | 0,219 | 0,493 | 0,081 | 1,333 | 0,171 | 1,007 | | | |
| E4 | 2126 | 0,104 | 0,063 | 1,650 | 0,050 | 1,320 | 0,136 | 0,765 | 0,105 | 0,990 | 0,148 | 0,702 | 0,067 | 1,552 | 0,121 | 0,856 | | | |
| F11 | 1140 | 0,335 | 0,101 | 0,946 | 0,081 | 1,172 | 0,079 | 1,202 | 0,056 | 1,696 | 0,121 | 0,785 | 0,101 | 0,941 | 0,118 | 0,804 | | | |
| F12 | 2103 | 0,095 | 0,096 | 1,0989 | 0,077 | 0,791 | 0,141 | 0,674 | 0,115 | 0,830 | 0,223 | 0,426 | 0,137 | 0,693 | 0,206 | 0,519 | | | |
| G21 | 1127 | 0,107 | 0,073 | 1,466 | 0,058 | 1,850 | 0,055 | 1,945 | 0,062 | 1,725 | 0,089 | 1,202 | 0,067 | 1,552 | 0,121 | 0,856 | | | |
| G22 | 2000 | 0,115 | 0,080 | 1,446 | 0,064 | 1,800 | 0,149 | 0,772 | 0,122 | 0,942 | 0,157 | 0,732 | 0,101 | 0,941 | 0,118 | 0,804 | | | |
| H21 | 2624 | 0,100 | 0,147 | 1,686 | 0,118 | 0,544 | 0,249 | 1,402 | 0,184 | 0,543 | 0,279 | 0,358 | 0,153 | 0,654 | 0,265 | 0,358 | | | |
| H22 | 1438 | 0,105 | 0,081 | 1,295 | 0,072 | 1,458 | 0,068 | 1,544 | 0,097 | 1,082 | 0,153 | 0,686 | 0,153 | 0,921 | 0,099 | 1,045 | | | |
| I21 | 3069 | 0,120 | 0,120 | 1,000 | 0,096 | 0,800 | 0,323 | 0,372 | 0,183 | 0,615 | 0,241 | 0,500 | 0,141 | 0,851 | 0,351 | 0,341 | | | |
| I21 | 2218 | 0,105 | 0,110 | 1,050 | 0,089 | 0,840 | 0,267 | 0,393 | 0,188 | 0,558 | 0,236 | 0,445 | 0,141 | 0,745 | 0,218 | 0,482 | | | |
| G21 | 2496 | 0,100 | 0,132 | 1,050 | 0,106 | 0,250 | 0,250 | 0,400 | 0,211 | 0,473 | 0,265 | 0,377 | 0,156 | 0,667 | 0,249 | 0,406 | | | |
| G22 | 1562 | 0,100 | 0,061 | 1,640 | 0,056 | 1,783 | 0,100 | 1,162 | 0,627 | 0,222 | 0,265 | 0,377 | 0,156 | 0,667 | 0,249 | 0,406 | | | |
| G22 | 1552 | 0,100 | 0,060 | 1,666 | 0,048 | 2,040 | 0,100 | 0,151 | 0,662 | 0,122 | 0,849 | 0,102 | 0,980 | 0,183 | 0,548 | 0,283 | 0,548 | | |
| G2 | 2202 | 0,110 | 0,245 | 0,449 | 0,196 | 0,561 | 0,098 | 1,220 | 0,104 | 1,058 | 0,243 | 0,321 | 0,223 | 0,480 | 0,154 | 0,724 | | | |
| G2 | 2913 | 0,130 | 0,324 | 0,401 | 0,259 | 0,501 | 0,190 | 0,684 | 0,150 | 0,867 | 0,453 | 0,284 | 0,234 | 0,512 | 0,209 | 0,623 | | | |
| G2 | 2913 | 0,200 | 0,268 | 0,373 | 0,224 | 0,466 | 0,160 | 0,625 | 0,119 | 0,840 | 0,373 | 0,267 | 0,221 | 0,474 | 0,163 | 0,613 | | | |

Tabelul 5.34 (continuare)

| | 1 | 2 | 3 | 4 | 5 | 6 | 7 | 8 | 9 | 10 | 11 | 12 | 13 | 14 | 15 | 16 | 17 |
|-------------------------|------|-------|-------|-------|-------|-------|-------|-------|-------|-------|-------|-------|-------|-------|-------|-------|----|
| GP 2-2 | 2171 | 0,090 | 0,241 | 0,466 | 0,193 | 0,533 | 0,130 | 0,692 | 0,111 | 0,811 | 0,333 | 0,266 | 0,193 | 0,456 | 0,143 | 0,623 | |
| GP 3-1 | 2192 | 0,120 | 0,243 | 0,493 | 0,194 | 0,616 | 0,140 | 0,857 | 0,208 | 0,577 | 0,341 | 0,352 | 0,223 | 0,537 | 0,158 | 0,739 | |
| GP 3-2 | 2239 | 0,120 | 0,241 | 0,481 | 0,199 | 0,601 | 0,132 | 0,903 | 0,122 | 0,984 | 0,349 | 0,200 | 0,198 | 0,603 | 0,157 | 0,764 | |
| GP 4 | 1548 | 0,055 | 0,172 | 0,552 | 0,138 | 0,690 | 0,056 | 1,696 | 0,050 | 1,900 | 0,258 | 0,368 | 0,143 | 0,432 | 0,106 | 0,892 | |
| GP 5 | 1210 | 0,062 | 0,131 | 0,462 | 0,107 | 0,578 | 0,026 | 1,720 | 0,041 | 1,510 | 0,186 | 0,330 | 0,226 | 0,489 | 0,083 | 0,725 | |
| GP 6 | 1763 | 0,065 | 0,193 | 0,332 | 0,157 | 0,415 | 0,033 | 1,032 | 0,073 | 0,833 | 0,275 | 0,236 | 0,165 | 0,329 | 0,127 | 0,513 | |
| Media G ₄ | | 0,960 | 0,972 | 1,019 | 1,054 | 0,98 | 0,98 | 0,945 | 0,945 | 0,696 | 0,696 | 0,696 | 0,696 | 0,696 | 0,696 | 0,696 | |
| | | 45,3 | 43,3 | 41,3 | 41,5 | 55,57 | 40,8 | | | | | | | | | | |

F15-5-43-5-45



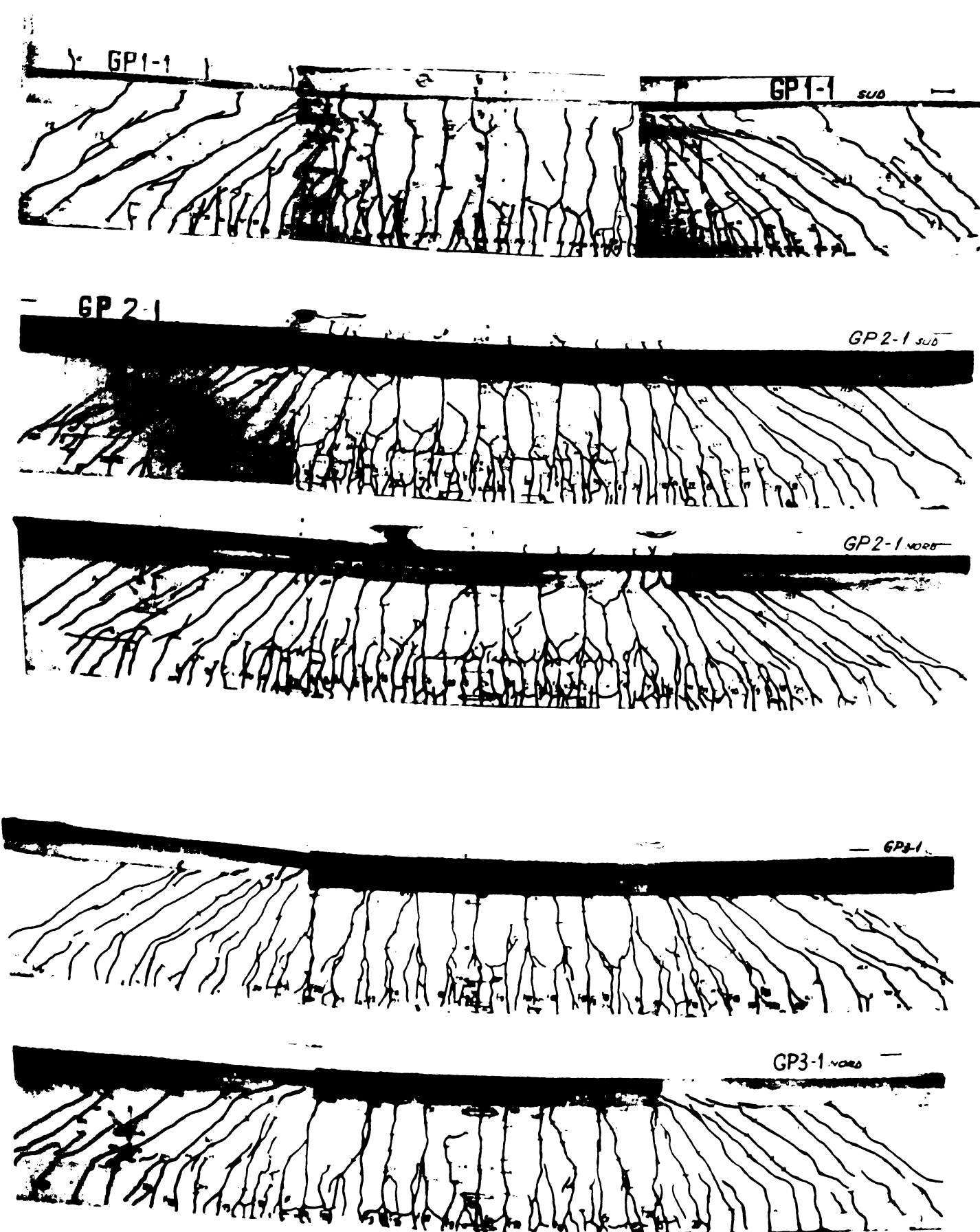


Fig.5.48 - 5.50

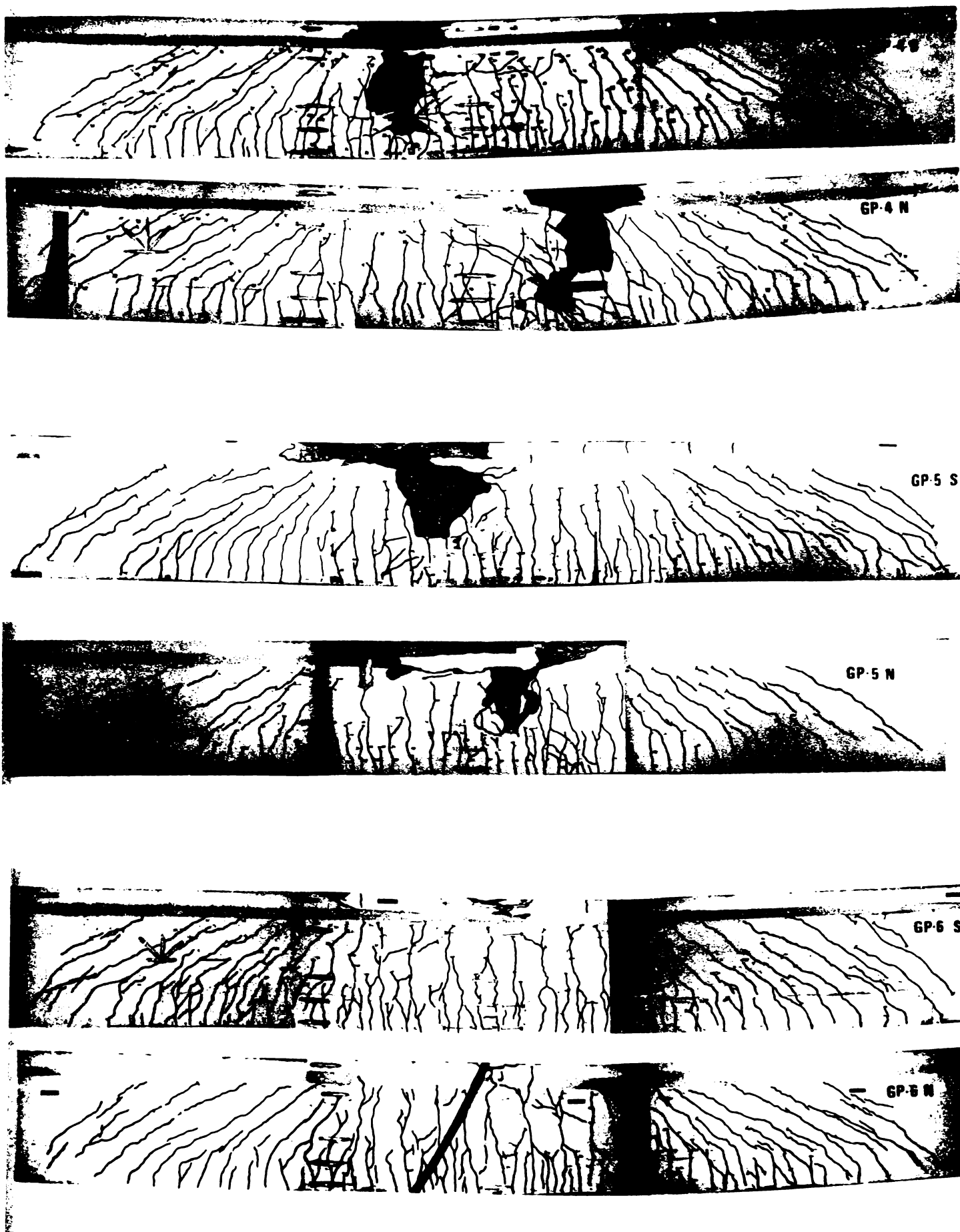


Fig.5.51 - 5.53

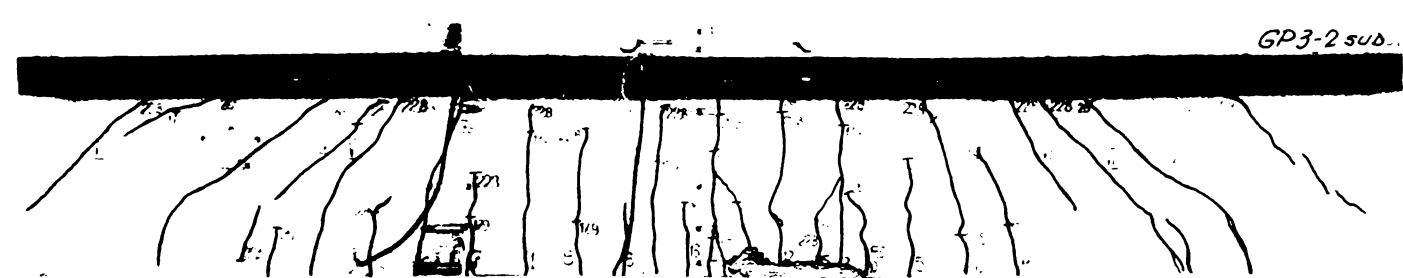


Fig. 5.54-5.56